

01169
2ej. 1

CONTROL DE MOTORES DE PASOS

LUIS AGUSTIN ALVAREZ ICAZA LONGORIA

Tesis

Presentada a la División de Estudios de
Posgrado de la

FACULTAD DE INGENIERIA

de la

UNIVERSIDAD NACIONAL AUTONOMA DE MEXICO

como requisito para obtener

el grado de

MAESTRO EN INGENIERIA

(CONTROL)

CIUDAD UNIVERSITARIA

Octubre de 1987

TESIS CON
FALLA DE ORIGEN



Universidad Nacional
Autónoma de México

Dirección General de Bibliotecas de la UNAM

Biblioteca Central



UNAM – Dirección General de Bibliotecas
Tesis Digitales
Restricciones de uso

DERECHOS RESERVADOS ©
PROHIBIDA SU REPRODUCCIÓN TOTAL O PARCIAL

Todo el material contenido en esta tesis esta protegido por la Ley Federal del Derecho de Autor (LFDA) de los Estados Unidos Mexicanos (México).

El uso de imágenes, fragmentos de videos, y demás material que sea objeto de protección de los derechos de autor, será exclusivamente para fines educativos e informativos y deberá citar la fuente donde la obtuvo mencionando el autor o autores. Cualquier uso distinto como el lucro, reproducción, edición o modificación, será perseguido y sancionado por el respectivo titular de los Derechos de Autor.

RESUMEN	1
1. INTRODUCCION	2
2. DESCRIPCION DE LOS MOTORES DE PASOS	5
3. MODELOS MATEMATICOS DE LOS MOTORES DE PASOS	15
Funcionamiento básico del motor híbrido	16
Modelo mecánico	16
Modelo eléctrico	20
Modelo electromagnético	22
Hipótesis básicas para los modelos matemáticos	25
Resonancia en los motores de pasos	26
4. TECNICAS PARA CONTROL DE MOTORES DE PASOS	30
Técnicas para control de cargas viscosas	30
Técnica del plano de fase	35
Técnica de Venkataratnam	37
Técnica del ángulo de adelanto o conmutación	40
Técnica de control realimentado	45
Técnica de Leenhouts	48
Técnica de Kuo	51
5. ROBUSTEZ DE LAS SECUENCIAS DE CONMUTACION	52
Estabilidad de los motores de pasos	53
Robustez de las secuencias de conmutación	57
6. METODOLOGIA DE CONTROL PROPUESTA	65
Equivalencia par instantáneo-par promedio	66

Cálculo del par promedio	69
Ley de control	71
Cálculo del tiempo de conmutación	72
7. DESCRIPCION DEL MODELO USADO PARA LAS SIMULACIONES	74
Programa de generación de tiempos de conmutación	74
Simulación de las trayectorias	79
Programas auxiliares	80
8. BANCO DE PRUEBAS	81
Subsistema mecánico	83
Subsistema de control	83
Subsistema de medición	86
Programas para controlar el banco de pruebas	87
9. RESULTADOS	90
10. CONCLUSIONES	103
11. REFERENCIAS	105
ANEXO A: Programas para simular el comportamiento de los motores de pasos	108
ANEXO B: Programas para controlar las mediciones del movimiento de los motores de pasos	134
ANEXO C: Acoplamientos para las pruebas en moto- res de pasos	173
Tacómetro digital	174

Reloj	188
Detector de posición	193
Codificador de posición	194
Emulador del detector de posición	198
Acoplamiento de potencia para el motor de pasos	199
ANEXO D: Datos de los experimentos	200

CONTROL DE MOTORES DE PASOS

Luis Alvarez Icaza Longoria
Instituto de Ingeniería, UNAM
Apdo. Postal 70-472
04510, Coyoacán D.F.
México

RESUMEN

Este trabajo trata acerca del problema de control de motores de pasos. Para ello se presenta en primera instancia una revisión de sus características más importantes, seguida de una sección con modelos matemáticos de su comportamiento. Se discuten en especial las principales técnicas que se emplean para abordar el control de los motores de pasos, según la naturaleza de las cargas acopladas a los mismos. Se propone una alternativa para controlarlos, que se basa en la simulación en lazo cerrado del sistema para control de los motores. Como resultado del empleo de esta técnica se derivan secuencias de movimiento de los motores que permiten seguir patrones arbitrarios de movimiento. Se presentan además condiciones para que dichas secuencias de movimiento sean robustas frente a variaciones en los valores de los parámetros del sistema motor-carga. La validez de la metodología propuesta se demuestra tanto teórica como experimentalmente.

El trabajo concluye sobre las condiciones de aplicación de los motores de pasos y las técnicas de control más adecuadas en cada caso.

Los programas empleados para implantar los modelos matemáticos usados y la descripción de los dispositivos que se diseñaron para llevar a cabo los experimentos con buen éxito se incluyen en anexos al final de reporte.

1. INTRODUCCION

Antecedentes

Durante 1981 y 1982 en el Instituto de Ingeniería se diseñó y construyó una máquina para cortar tubos. El dispositivo puede clasificarse como un manipulador robótico de cuatro grados de libertad y resuelve el problema de habilitar, mediante corte por soplete oxiacetilénico, los tubos que se deben unir por soldadura en la construcción de estructuras tubulares de gran tamaño. Los actuadores empleados en todos los casos fueron motores de pasos. Los resultados obtenidos se pueden considerar ampliamente satisfactorios. (En las Refs. 1 a 3 se encuentra ampliamente descrito el trabajo realizado para la construcción de este dispositivo).

A partir de la experiencia descrita se diseñó un segundo manipulador robótico, en este caso de tres grados de libertad, enfocado a resolver el problema de trasladar hileras de envases de vidrio desde una banda transportadora hacia un horno de tratamiento térmomecánico. Se decidió en este caso emplear también motores de pasos como actuadores. (En la Ref. 4 se pueden encontrar más detalles de este dispositivo)

Las condiciones de operación necesarias para esta aplicación presentaron dos variaciones importantes en relación a las de la primera: las

inercias involucradas y las velocidades de movimiento de los motores de pasos eran de mayor magnitud.

Al realizar las pruebas de funcionamiento del dispositivo se encontró que no era posible extrapolar las técnicas de control usadas en la primera aplicación, por lo que era necesario derivar una nueva metodología que tomase en cuenta las variaciones del caso particular. Se propuso entonces realizar estudios para conocer con mayor detalle el comportamiento de los motores de pasos. En este trabajo se describen las actividades realizadas y los resultados obtenidos en dichos estudios.

Contenido

El trabajo se ha dividido en once capítulos y cuatro anexos, su contenido es como sigue. El capítulo dos contiene una descripción general de los motores de pasos: sus tipos y características más importantes. En el tres se presentan los modelos matemáticos más empleados para describir su comportamiento.

En el capítulo cuatro se discuten las técnicas más usadas para el control de motores de pasos y las condiciones en que se las emplean. El capítulo cinco se derivan las condiciones bajo las cuales se puede garantizar que una secuencia de pulsos enviada a un motor de pasos sea robusta y el sexto presenta el esquema de control propuesto en este trabajo.

El capítulo número siete describe los modelos que se emplearon para las simulaciones y el octavo el banco de pruebas que se construyó para realizar los experimentos. En el capítulo nueve se muestran los resultados obtenidos de las simulaciones y experimentos realizados.

El décimo capítulo presenta las conclusiones del trabajo y por último se proporcionan las referencias bibliográficas pertinentes.

El escrito incluye cuatro anexos que contienen respectivamente: los programas para computadora digital con los que se realizaron las simulaciones, los programas para manejar el banco de pruebas, los diagramas electrónicos de los acoplamientos construidos o empleados y los datos de los experimentos realizados.

Agradecimientos

El presente trabajo no se hubiera podido realizar sin la colaboración de Roberto Canales Ruiz, que participó en la dirección de todas las etapas del mismo. Se agradece a Juan Martínez García su amable revisión de los acoplamientos diseñados y su participación en la construcción de uno de ellos. Finalmente se desea reconocer el apoyo que brindó el Instituto de Ingeniería.

2. DESCRIPCION DE LOS MOTORES DE PASOS

Funcionamiento general

Los motores de pasos se pueden clasificar como dispositivos de conversión de energía electromecánica. Las dos características más importantes que tienen son que proporcionan movimientos discretos y que se pueden mover en ambas direcciones.

La naturaleza de la forma como se producen los movimientos discretos ha propiciado su uso controlado por dispositivos digitales. De ahí el que se utilicen profusamente en la construcción de periféricos para equipos de cómputo, o en la de dispositivos que deben funcionar en un entorno supervisado por computadoras (Ref. 5). Las unidades para disquetes, las impresoras y algunas máquinas de control numéricos son buenos ejemplos de aplicaciones de los motores de pasos.

Desde el punto de vista del método de control, estos dispositivos se utilizan en general en malla abierta, lo cual implica una instalación más sencilla y económica. Sin embargo, su correcto funcionamiento en estas circunstancias debe ser garantizado con la adopción de ciertos criterios de diseño y selección.

Tipos de motores de pasos

Existen diferentes tipos de motores de pasos, a continuación se describen los de uso más frecuente. La característica común a todos ellos es que cuentan con embobinados alambrados de manera independiente. Se requieren al menos dos fases para garantizar direccionalidad.

Motor de solenoide y trinquete.- en la Fig. 2.1 se muestra un bosquejo de este tipo de motor. Se componen de una rueda dentada, un trinquete y un par de solenoides. Cuando se energiza alguno de los solenoides, el desplazamiento de su núcleo impulsa la rueda dentada en la dirección correspondiente. El trinquete detiene el movimiento de la rueda cuando ha transcurrido un desplazamiento angular igual al que separa los dientes de esta. Este tipo de motor no puede alcanzar altas velocidades, es ruidoso y en general de gran tamaño. Su uso se encuentra en franca desaparición.

Motor de rotor flexible.- se construye con un estator dentado por el interior y un rotor ovalado dentado por el exterior (véase la Fig. 2.2) El rotor incluye polos magnéticos y el estator algunos electroimanes. El movimiento se produce cuando se fuerzan alineamientos sucesivos entre el núcleo del rotor y los campos magnéticos del estator. Estos motores poseen una gran resolución (de 2000 a 5000 incrementos por revolución), pero no pueden entregar un gran par en su flecha de salida.

Motor de imán permanente.- su diagrama se muestra en la Fig. 2.3, como puede notarse en ella, se construye con un rotor que incluye polos magnéticos de polaridad contraria colocados uno junto al otro. El estator contiene bobinas alineadas de tal forma que su energización secuencial provoca que el rotor se desplace a las posiciones de mínima reluctancia magnética. Se trata de un tipo poco usado, principalmente por el escaso par que pueden proporcionar en sus flechas de salida.

Motor de reluctancia variable.- este tipo de motor era hasta hace 10 años el de uso más difundido. Su estructura básica se describe con ayuda de la Fig. 2.4. Como puede notarse se construye con un rotor que consta de varias secciones dentadas, las que se encuentran distribuidas de manera coplanar con secciones dentadas del estator. El paso angular entre los dientes de las secciones del rotor y del estator es el mismo, sin embargo, estas últimas se encuentran defasadas en la misma proporción entre sí. El movimiento se produce energizando una a una todas las secciones del estator. El rotor gira en cada caso hasta alcanzar la posición en que el circuito magnético tiene mínima reluctancia, razón a la que deben su nombre. El número de secciones del rotor y del estator debe ser mayor que tres con el fin de garantizar

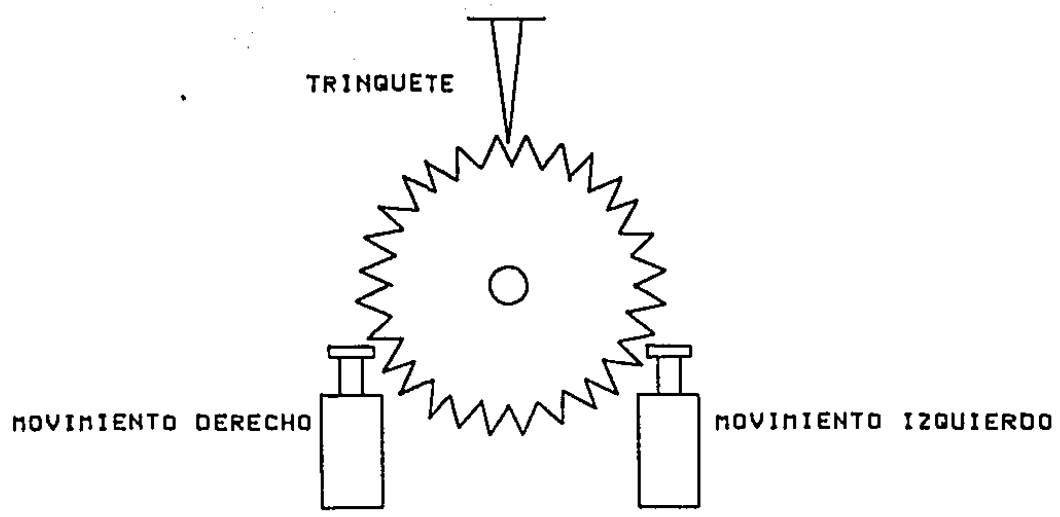


FIG. 2.1 MOTOR DE SOLENOIDE Y TRINQUETE

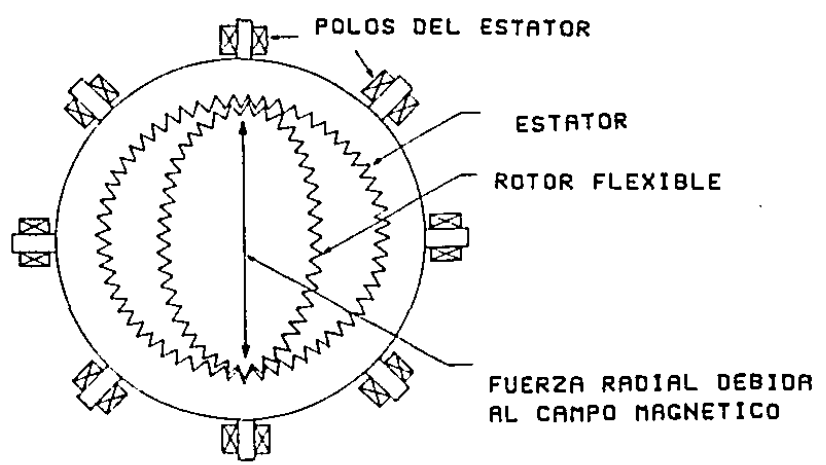


FIG. 2.2 MOTOR DE ROTOR FLEXIBLE

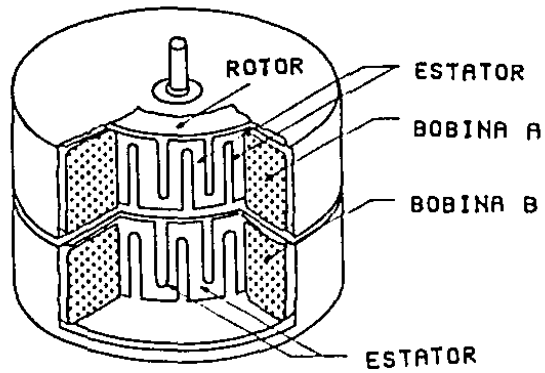


FIG. 2.3 MOTOR DE IMAN PERMANENTE

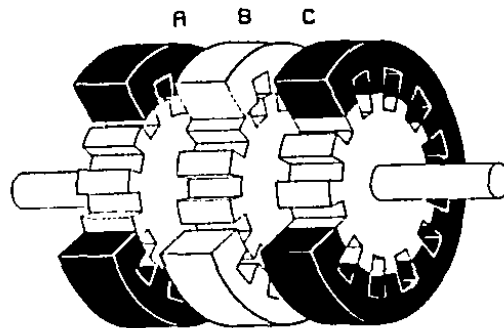
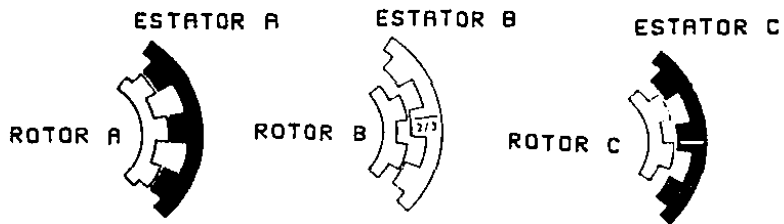


FIG. 2.4 MOTOR DE RELUCTANCIA VARIABLE

direccionalidad y determina el valor del defasamiento angular entre las mismas. Existen algunas variaciones en la construcción de estos motores como son la de contar con una sola sección tanto en el rotor como en el estator, pero magnetizar los dientes de este como si perteneciesen a secciones distintas.

Motor híbrido.- este es el tipo más común de motores de pasos y el de uso más difundido. Se construye con un rotor que tiene dos secciones dentadas, defasada la una respecto a la otra, y un estator también con dos secciones dentadas, pero en este caso con los dientes alineados (ver Fig. 2.5). Los dientes del estator se energizan con dos o más bobinas independientes, cuyo número determina el número de fases que tiene el motor. En la Fig. 2.6 se ilustra el funcionamiento de un motor muy sencillo de este tipo. Las altas velocidades de operación que pueden alcanzar (hasta 10,000 pasos por segundo) y el alto par de retención que proporcionan cuando se encuentran en reposo ha propiciado que sea el tipo más usado, razón por la cual los desarrollos y modelos presentados en este trabajo se realizaron alrededor del mismo.

Formas de manejo de los motores de pasos

La manera en que tradicionalmente se manejan los motores de pasos consiste en enviar secuencias de pulsos hacia ellos y obtener a cambio de cada pulso un movimiento angular equivalente a un paso. Dado que se ha mencionado que los motores son bidireccionales, los motores se dotan de dos puertos que reciben secuencias de pulsos. A cada puerto corresponde recibir órdenes para movimientos en una sola dirección.

De la descripción del inciso anterior se desprende que los movimientos de los motores de pasos dependen de secuencias apropiadas de energización de los embobinados de los motores, por lo que hace falta un acoplamiento que convierta las secuencias de pulsos en secuencias de energización. Para el efecto se han desarrollado lo que se llaman controladores de motores de pasos. El nombre sin embargo resulta semánticamente incorrecto en el contexto de este trabajo, por lo aquí se les ha denominado acoplamientos de potencia.

En todos los casos estos acoplamientos incluyen un autómata finito que convierte las secuencias de pulsos a los estados apropiados de energía en los distintos embobinados. El flujo de corriente en éstos se maneja a través de transistores de potencia, también en todos los casos (véase Fig. 2.7).

Existen diferentes tipos de acoplamientos de potencia, la descripción que se presenta a continuación se refiere a los tres más usados. Su uso

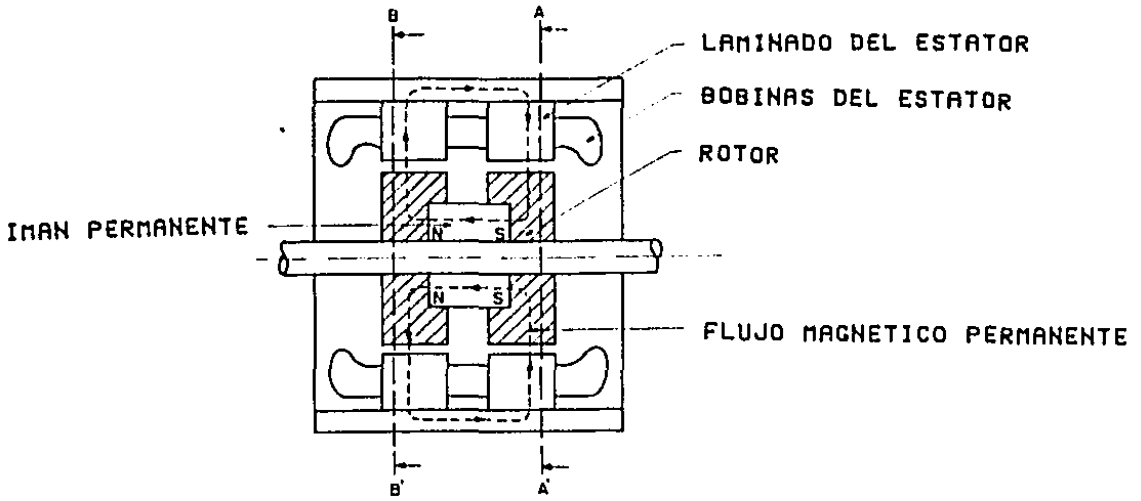


FIG. 2.5 MOTOR HIBRIDO

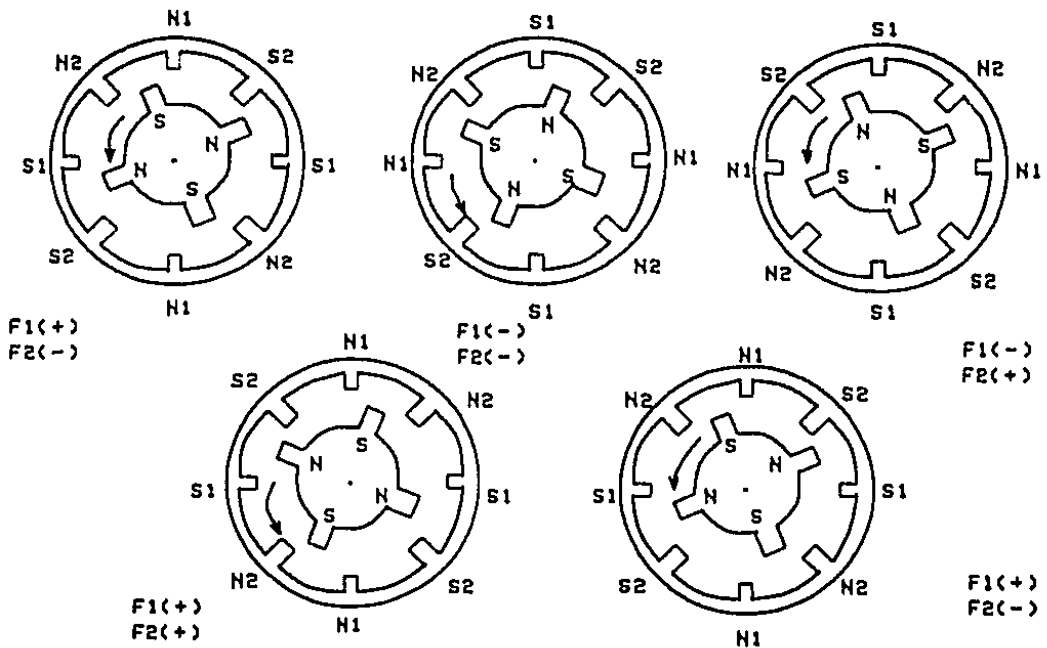


FIG. 2.6 FUNCIONAMIENTO DE UN MOTOR DE PASOS HIBRIDO

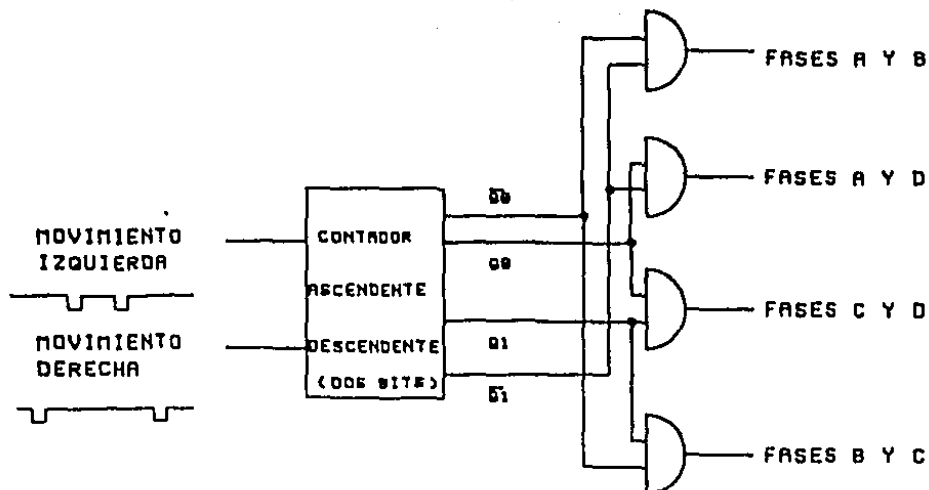
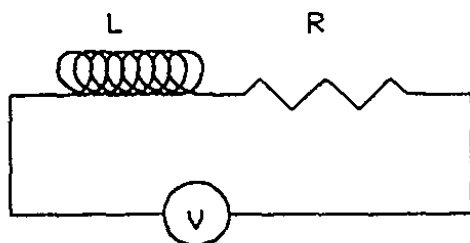
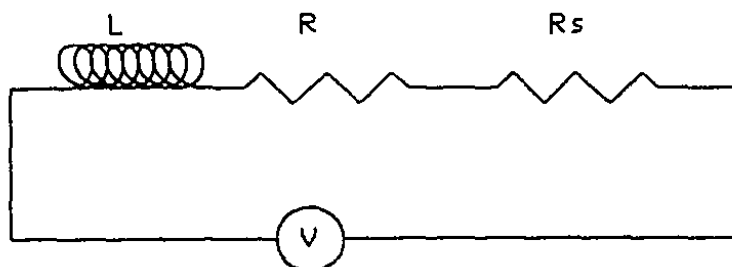


FIG. 2.7 AUTOMATA FINITO PARA MANEJAR LA SECUENCIA DE ENERGIZACION



L - INDUCTANCIA EMOBINADO
R - RESISTENCIA EMOBINADO
V - FUENTE DE VOLTAGE

FIG. 2.8 DIAGRAMA ELECTRICO PARA UNA FASE DEL MOTOR



L - INDUCTANCIA EMOBINADO
R - RESISTENCIA EMOBINADO
Rs - RESISTENCIA EN SERIE
V - FUENTE DE VOLTAGE

FIG. 2.9 DIAGRAMA CON RESISTENCIA EN SERIE

se describe, como ya se mencionó, particularizado a los motores híbridos.

Acoplamiento de potencia por resistencia inductancia

El estudio de la respuesta de los motores que ocupan este tipo de acoplamiento se basa en el circuito simplificado que se ilustra en la Fig. 2.8. Como se sabe el tiempo de levantamiento para este circuito depende de la constante de tiempo del mismo, en este caso el cociente L/R . Dada una combinación de inductancia y resistencia de los embobinados del motor existe una velocidad máxima alcanzable, que corresponde aproximadamente al inverso del tiempo de levantamiento. La relación mencionada permite alcanzar en la mayoría de los casos velocidades del orden de los 200 pasos por segundo, que son insatisfactorias para la mayoría de las aplicaciones.

Para resolver este problema se incluyen resistencias en serie con el motor (Fig. 2.9), las cuales permiten reducir la constante de tiempo de manera considerable. La desventaja consiste, evidentemente, en que para mantener la corriente nominal en los motores se debe aumentar el voltaje de alimentación. En la práctica es común que la relación entre la resistencia que se coloca en serie y la de los embobinados del motor sea de aproximadamente 10, ello implica que de la potencia consumida por el motor el 90% se disipa inútilmente en la resistencia en serie. Además cuando se tratan de alcanzar velocidades superiores a los 1000 pasos por segundo la relación anterior debe elevarse haciendo incosteable usar este tipo de acoplamientos de potencia.

Acoplamientos de fuente de voltaje dual

Este tipo de acoplamiento, como su nombre lo indica, funciona con base en dos fuentes de voltaje. La primera proporciona un voltaje cuyo valor corresponde al necesario para mantener la corriente de estado estable en los motores. La segunda alimenta al circuito con un voltaje mucho mayor al realmente necesario. El funcionamiento grosso modo es como sigue: al energizar un embobinado se le alimenta inicialmente con la fuente de alto voltaje, en forma paralela funciona un detector de corriente que verifica el instante en que esta alcanza el valor nominal. Cuando ocurre esto último, se desconecta la fuente de alto voltaje y se conecta la de bajo valor. Con esta estrategia se puede reducir enormemente el tiempo de levantamiento real y es posible alcanzar velocidades del orden de los 5,000 pasos por segundo. La relación entre los voltajes de las fuentes es más o menos de treinta. En la Fig. 2.10 se muestra el diagrama que correspondería a una fase del motor.

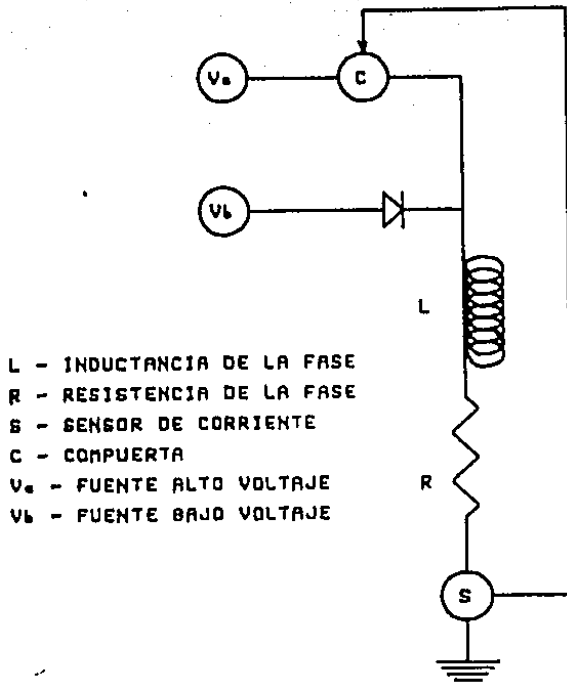


FIG. 2.10 DIAGRAMA DE UNA FASE CON ACOPLAMIENTO DE VOLTAJE DUAL

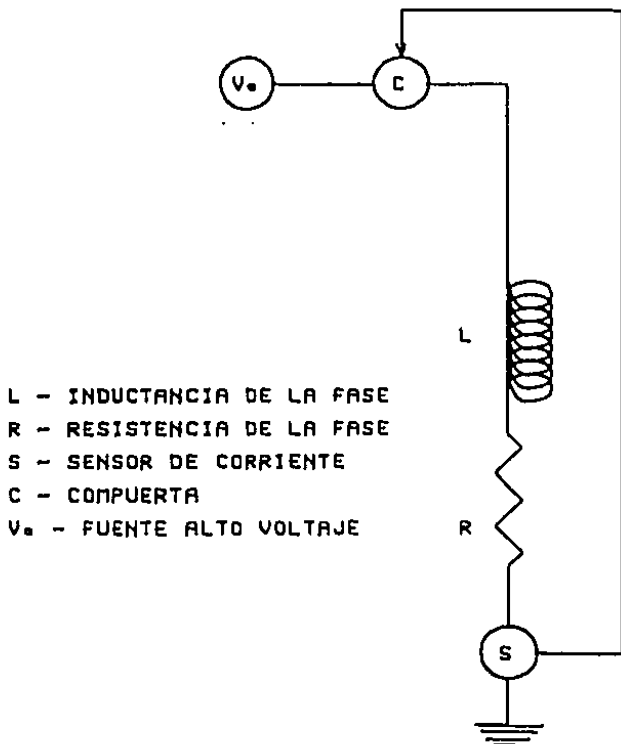


FIG. 2.11 DIAGRAMA DE UNA FASE CON ACOPLAMIENTO POR CORTE DE CORRIENTE

Acoplamiento por corte de corriente

En este tipo de acoplamientos se utiliza únicamente una fuente de alimentación de alto valor. Existen detectores de corriente que alternativamente conectan y desconectan la fuente de alimentación según el valor de la corriente esté por abajo o arriba de la corriente nominal. El voltaje de la fuente excede en un factor de hasta 50 al voltaje nominal necesario en el motor, lo que permite que con este tipo de acoplamientos de potencia se alcancen velocidades del orden de los 10,000 pasos por segundo. La Fig. 2.11 muestra un diagrama para una fase del motor.

3. MODELOS MATEMATICOS DE LOS MOTORES DE PASOS

En este capítulo se describirán los modelos matemáticos empleados para describir el comportamiento de los motores de pasos. Se presentarán modelos para describir los elementos mecánicos, eléctricos y magnéticos de los motores. Los modelos magnéticos se basan en un par de suposiciones, cuya validez se discute en un inciso por separado. Por último, se incluye un modelo para explicar el problema de la resonancia de los motores a bajas velocidades.

Los modelos se presentan de manera constructiva: se parte de los elementos básicos y se incorporan después los de mayor complejidad. Se procede de esta forma pues el trabajo pone especial énfasis en el empleo de modelos simplificados para el diseño de las técnicas de control.

Todas las descripciones se basarán en el motor híbrido de dos fases bipartidas, pues como ya se explicó, es el tipo más difundido y para el cual se realizaron los experimentos de validación de los algoritmos propuestos en este trabajo.

FUNCIONAMIENTO BASICO DEL MOTOR HIBRIDO

En la Fig. 3.1 se muestra el diagrama que corresponde a un motor de pasos híbrido. En la parte mecánica se distingue el rotor, con una inercia J , un amortiguador viscoso, con constante B y un par aplicado τ . En la parte electromagnética se muestran las resistencias e inductancias correspondientes a las cuatro fases del motor. Los valores de aquellas se consideran iguales para todas las fases. Puede notarse que las fases A y C, y las fases B y D tienen puntos de salida comunes.

Existen dos maneras para conseguir que este tipo de motor se mueva de manera discreta. La primera consiste en tratar las fases A y C como una sola fase AC, y las fases B y D como otra sola fase, BD. El funcionamiento bajo este tratamiento coincide con el que se expuso en el capítulo anterior (ver Fig. 2.6). La otra forma se consigue si se energiza a la vez solamente una de las fases de cada pareja A-C y B-D. Bajo este esquema el movimiento del motor se produce cuando se sigue una secuencia como la que describe la Tabla 3.1. Esta segunda forma de manejo es la más usada en la actualidad, a pesar de que implica una pérdida en el par total que puede suministrar el motor. La razón para su uso estriba en la simplicidad de la electrónica del acoplador de potencia que maneja los trenes de pulsos que se envían al motor.

Existe una tercera posibilidad para mover los motores que consiste en dividir en dos etapas el proceso de apagar una fase y prender la otra (este proceso se realiza en una sola etapa en la Tabla 3.1). Cuando se adopta este esquema el motor se mueve únicamente la mitad de un paso, pero se pierde de nueva cuenta la mitad del par disponible para las posiciones en que está energizada una sola fase. La Tabla 3.2 describe las secuencias de energización para el movimiento a medio paso.

MODELO MECANICO

El modelo mecánico para un motor de pasos y el sistema de cargas que se le acople se obtiene al aplicar la segunda ley de Newton al movimiento del motor. La ecuación que se deriva es:

$$J \ddot{\theta} + B \dot{\theta} + F \frac{\dot{\theta}}{|\dot{\theta}|} = \tau \quad (3.1)$$

$$\tau = -T \operatorname{sen} \left(\frac{N_p}{N_f} \theta + K(t) \frac{\pi}{2} \right)$$

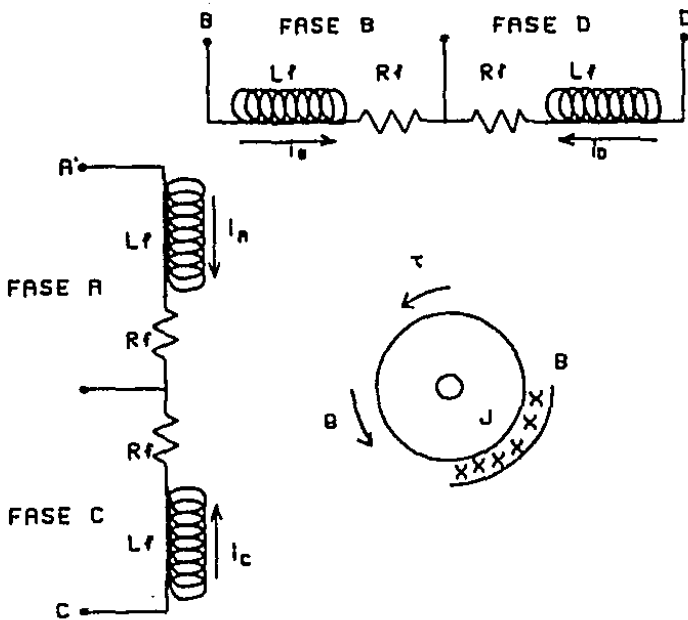


FIG. 9.1 DIAGRAMA DE UN MOTOR DE PASOS HIBRIDO

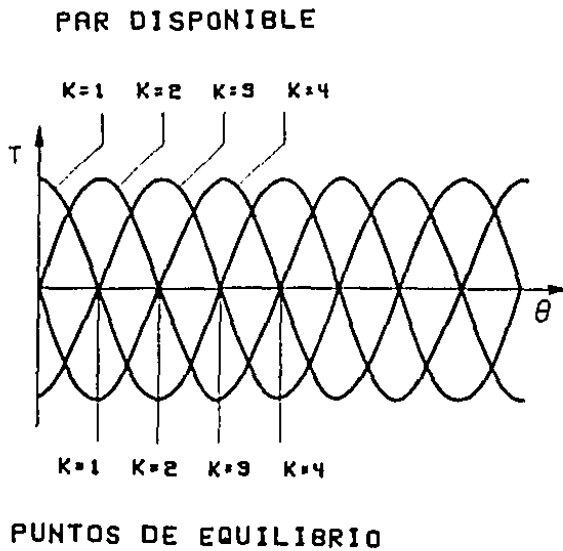


FIG. 9.2 CURVAS PAR-POSICION ANGULAR

	A	B	C	D
1	X	X		
2	X			X
3			X	X
4		X	X	
1	X	X		

MOVIMIENTO DERECHA ↑ ↓ MOVIMIENTO IZQUIERDA
 X - FASE ACTIVA

TABLA 3.1 SECUENCIA PARA MOVIMIENTO DE UN MOTOR DE PASOS

	A	B	C	D
1	X	X		
2	X			
3	X			X
4				X
5			X	X
6			X	
7		X	X	
8		X		
9	X	X		

MOVIMIENTO DERECHA ↑ ↓ MOVIMIENTO IZQUIERDA
 X - FASE ACTIVA

TABLA 3.2 SECUENCIA DE ACTIVACION PARA MOVIMIENTO A MEDIO PASO

donde θ = posición angular del rotor; $\dot{\theta}$ = velocidad del rotor; $\ddot{\theta}$ = aceleración del rotor; J = inercia del rotor-carga; B = coeficiente de amortiguamiento viscoso; F = coeficiente de fricción de Coulomb; T = par aplicado por el motor de pasos; T_m = máximo par que puede aplicar el motor de pasos; N = número de pasos por revolución que proporciona el motor; N_f = número de fases del motor; $K(t)$ es una función de conmutación que cumple con las siguientes condiciones:

$$K(t) = \{1, 2, 3, 4\} \quad (3.2)$$

donde además el tiempo t se puede dividir en un conjunto de subintervalos disjuntos, cuyo límites están dados por los tiempos

$$t_1 < t_2 < \dots < t_n \quad (3.3)$$

llamados tiempos de conmutación. Los valores de $k(t)$ satisfacen:

$$K(t) = K(t_i) \quad ; \quad \forall i \quad [t_i, t_{i+1}) \quad (3.4)$$

$$i = 1, 2, \dots, n-1$$

La ecuación (3.1) indica que el par que proporcionan los motores de pasos varía de manera senoidal con la posición angular del rotor. Esto implica que cuando el motor ha alcanzado la posición que corresponde a un paso entero, el par que aplica es nulo, mientras que cuando se encuentra alejado una distancia angular igual a la magnitud del paso, el par aplicado es máximo y su efecto es el de acercar al motor de pasos hacia la posición de par nulo. A esta última se le conoce como posición de equilibrio estable, y al efecto de restitución, par de retención.

La Fig. 3.2 muestra las curvas par posición que corresponden a las cuatro posiciones estables que se indicaron en la Tabla 3.1. Puede notarse que se trata de curvas senoidales desplazadas noventa grados una con respecto a la otra.

En el inciso que describe los modelos electromagnéticos se retoma esta suposición sobre la variación del par, y se da una comprobación cualitativa para la misma.

Si la ecuación (3.1) se escribe en términos de variables de estado se llega a:

$$\frac{d}{dt} = \omega$$

$$\frac{d\omega}{dt} = \frac{B}{J} \omega - \frac{F}{J} \frac{\theta}{|\dot{\theta}|} - \tau \quad (3.5)$$

MODELO ELECTRICO

El modelo mecánico del inciso anterior no toma en cuenta la forma en que la variación de las corrientes en las fases del motor de pasos puede influir sobre el par generado. Para tomar en cuenta dicho efecto se requiere proponer modelos eléctricos para cada fase del motor.

Cuando se energiza cualquier fase la corriente en la misma satisface la ecuación:

$$V_j = R_f I_j + L_f \frac{dI_j}{dt} \quad j = A, \dots, D \quad (3.6)$$

donde j =fase que se describe; V =voltaje aplicado; I =corriente de fase; R_f =resistencia eléctrica de cada fase; L_f =inductancia de cada fase. La Fig. 3.3 describe el circuito eléctrico para una fase energizada.

En el instante en que se desconecta una fase, la corriente en la misma satisface la ecuación:

$$0 = (R_D + R_f) I_j + L_f \frac{dI_j}{dt} \quad (3.7)$$

donde R_D es la resistencia para descarga. La Fig. 3.4 describe el circuito eléctrico de descarga. Este circuito está dotado de un diodo que impide el paso de corriente durante el ciclo de energización de los embobinados, pero que permite el paso de corriente durante la desconexión del embobinado para evitar sobrevoltajes innecesarios.

La constante de tiempo del circuito de carga es L_f/R_f , y la del circuito de descarga $L_f/(R_f+R_D)$, de donde se concluye que sí:

$$R_D \gg R_f \quad (3.8)$$

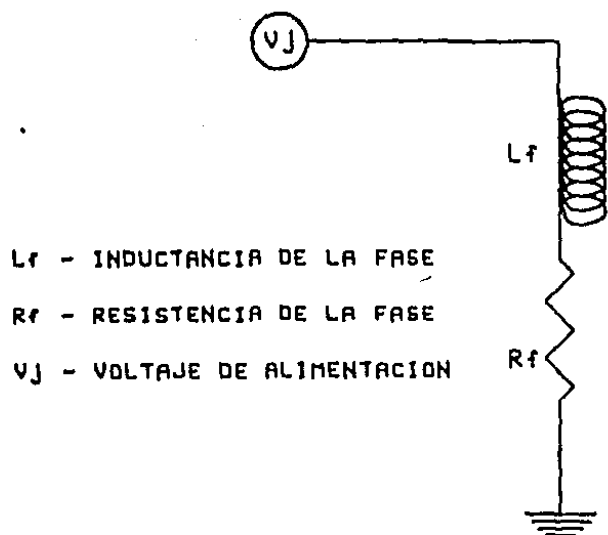


FIG. 3.3 CIRCUITO PARA UNA FASE ENERGIADA

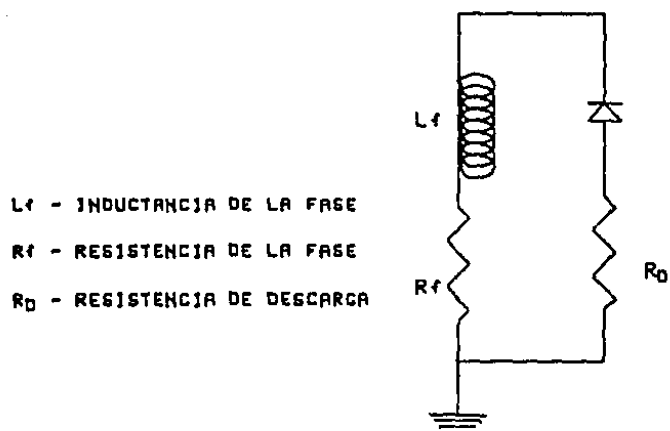


FIG. 3.4 CIRCUITO DE DESCARGA DE UNA FASE

el tiempo de descarga es despreciable y basta con tomar en cuenta los circuitos relacionados con la energización. La Fig. 3.5 muestra la forma de la corriente para la energización y desenergización de una fase.

Tomar todas las ecuaciones posibles en (3.6) implica formar un sistema de ecuaciones diferenciales de cuarto orden. Se pueden hacer consideraciones para reducir esta dimensión. La primera es que como sólo se energizan a la vez una de las fases A y C, y otra de las B y D, es suficiente tomar dos ecuaciones para describir eléctricamente al motor, una para la fase A y otra para la B.

El proceso de conmutación se modela a través de un cambio de condiciones iniciales, este implica resolver la ecuación (3.6) para cada energización de alguna de las fases asociada con ella considerando que la corriente inicial es nula. Otra forma de tomar en cuenta dicho proceso de conmutación es la de modificar la ecuación (3.6) para hacerla de la forma:

$$V_j - V_{\text{nom}} \delta(t - t_c) \cdot R_f I_j + L_f \frac{dI_j}{dt} \quad j = A, \dots, D \quad (3.9)$$

donde V_{nom} = voltaje nominal, siempre y cuando los tiempos de conmutación cumplan con:

$$|t_{i+1} - t_i| > \frac{L_f}{R_f} \quad ; \quad i = 1, 2, \dots, n-1 \quad (3.10)$$

El efecto de la variación de la corriente sobre el par que proporciona el motor se modela a través de

$$\tau = - \frac{T(I_A + I_B)}{2I_{\text{nom}}} \text{ sen } [N_r - K(t) \frac{\pi}{2}] \quad (3.11)$$

donde $N_r = N_p / N_f$ e I_{nom} = corriente nominal.

MODELO ELECTROMAGNETICO

El desarrollo de este modelo se debe a que la variación de la posición del rotor sobre el campo magnético que producen las diferentes fases,

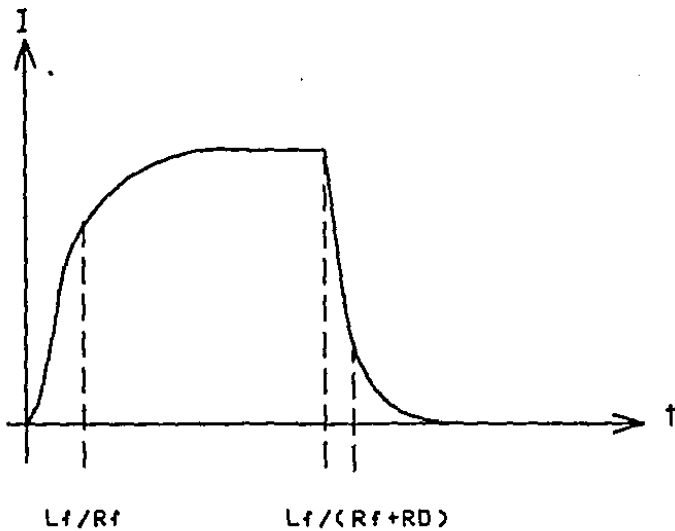


FIG. 3.5 CORRIENTE DE CARGA Y DESCARGA DE UNA FASE

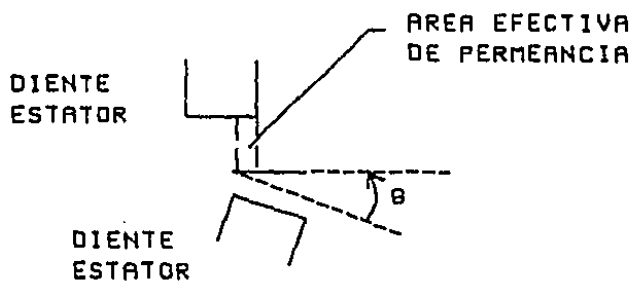


FIG. 3.6 VARIACION DE LA PERMEANCIA CON LA POSICION ANGULAR

produce a su vez una variación en la inductancia de los embobinados. Esta última se consideró constante en el inciso anterior. Si se desea tomar en cuenta dicha variación se debe modificar la ecuación (3.6) para incluir el efecto del acoplamiento magnético sobre el comportamiento de la corriente en los embobinados. El modelo que se presenta fue desarrollado por Kuo (Ref. 6).

Bajo las circunstancias anteriores el modelo que describe cada fase es:

$$V_j = R_f I_j + \frac{d\lambda_j}{dt} \quad j = A, \dots, D \quad (3.12)$$

donde λ =acoplamiento magnético. Desde el punto de vista electromagnético se supone que las fases A y C tienen un 100% de acoplamiento magnético y que las corrientes de cada una producen efectos magnéticos contrarios. La suposición es válida también para las fases B y D. Adicionalmente se supone que las fases A y C están en cuadratura magnética con las fases B y D, por lo que no existen efectos electromagnéticos entre cada par de fases.

El acoplamiento magnético de cada fase tiene dos componentes: una debida a la acción del imán permanente del rotor y la otra debido a la autoinductancia. La componente debida al imán se supone que varía según la expresión:

$$\lambda_{im} = K_\lambda \cos [N_r \theta - (i-1)\frac{\pi}{2}] ; i = 1, 2, \dots, 4 \quad (3.13)$$

con K_λ =constante de proporcionalidad. La autoinductancia de cada fase se considera constante e igual a L. De acuerdo con lo anterior los acoplamientos magnéticos están dados por:

$$\begin{aligned} \lambda_A &= L(I_A - I_C) + K_\lambda \cos (N_r \theta) \\ \lambda_B &= L(I_B - I_D) + K_\lambda \cos (N_r \theta - \pi/2) \end{aligned} \quad (3.14)$$

$$\lambda_C = -\lambda_A$$

$$\lambda_D = -\lambda_B$$

Para este modelo el par que proporciona el motor es:

$$\tau = \frac{K_T}{L} [(I_C - I_A) \sin(N_r \theta) + (I_D - I_B) \cos(N_r \theta)] \quad (3.15)$$

con K_T constante de proporcionalidad, o bien en términos de los acoplamientos, la ecuación (3.15) sería:

$$\tau = \frac{K_T}{L} [\lambda_A \sin(N_r \theta) + \lambda_B \cos(N_r \theta)] \quad (3.16)$$

En variables de estado el modelo completo es:

$$\begin{aligned} \frac{d\lambda_A}{dt} &= \frac{1}{2} [v_A - v_C] - \frac{R}{2L} \lambda_A + \frac{RK}{2L} \cos(N_r \theta) \\ \frac{d\lambda_B}{dt} &= \frac{1}{2} [v_B - v_D] - \frac{R}{2L} \lambda_B + \frac{RK}{2L} \sin(N_r \theta) \end{aligned} \quad (3.17)$$

$$\frac{d\theta}{dt} = \omega$$

$$\frac{d\omega}{dt} = -\frac{B}{J} \omega - \frac{K_T}{JL} \lambda_A \sin(N_r \theta) + \frac{K_T}{JL} \lambda_B \cos(N_r \theta)$$

HIPOTESIS BASICAS PARA LOS MODELOS MATEMATICOS

La ecuación (3.13) incluye el origen de la suposición básica sobre la variación del par versus la posición angular del rotor. Para justificar esta hipótesis considérese la Fig. 3.6. En ella se muestra un esquema simplificado de un diente del rotor, que se mueve para alinearse con el diente correspondiente del estator. La permeancia del flujo magnético está dominada por la proporción del área del diente del rotor que coincide con el diente del estator, por lo que la permeancia está dada por:

$$P = P_1 + P_0 \cos(N_r \theta) \quad (3.18)$$

el término P_1 está asociado con la permeancia mínima, que corresponde con un defasamiento total de los dientes del rotor y estator, mientras que el término P_0 tiene que ver con la ganancia en la permeancia debido a la coincidencia de los dientes.

Se sabe además (Ref. 7) que en la posición de máxima permeancia se da también el máximo acoplamiento magnético, pero se dispone del mínimo par

en la flecha del motor. Esto se debe a que el par se produce por la tendencia de los circuitos magnéticos con partes móviles a encontrar las posiciones de mínima reluctancia o máxima permeancia.

El otro supuesto importante que se realiza en la Ref. 6 para derivar el modelo electromagnético, es que los embobinados de las fases están distribuidos senoidalmente sobre la periferia del estator. A partir de esta suposición se determina el número de vueltas efectivas que acopla cada fase con cada diente del estator. La justificación al respecto se encuentra si se considera que la rotación de un embobinado con respecto a un diente fijo es equivalente, desde el punto de vista del flujo magnético, al efecto de una bobina perpendicular pero con un número menor de vueltas. La Fig. 3.7 ilustra este hecho.

RESONANCIA EN LOS MOTORES DE PASOS

Este inciso describe las causas del problema de resonancia de los motores de pasos. Este fenómeno se presenta a velocidades de movimiento relativamente bajas. Las primeras explicaciones para su presencia se referían a una pérdida brusca en el par que proporciona el motor de pasos (Ref. 8). El desarrollo que se presenta a continuación está basado en el trabajo de Pollack (Ref. 9), quien postula que la resonancia se debe a una pérdida relativamente brusca de amortiguamiento.

Si se desea mover un motor a una velocidad fija ω_p , es posible establecer un sistema de coordenadas angulares que se mueva a dicha velocidad. En este sistema el problema de resonancia de un motor se puede modelar a través de un oscilador amortiguado, es decir, por la expresión:

$$\theta_m = \theta_{om} e^{-Dt} \cos \omega_o t \quad (3.19)$$

donde θ_m = posición del rotor en sistema de coordenadas móviles; θ_{om} = valor inicial de la perturbación en la posición por alteración en la velocidad; ω_o = frecuencia de oscilación en el sistema rotativo; D = coeficiente de amortiguamiento.

La tesis de Pollack es que el coeficiente de amortiguamiento es una función de la velocidad de movimiento es decir:

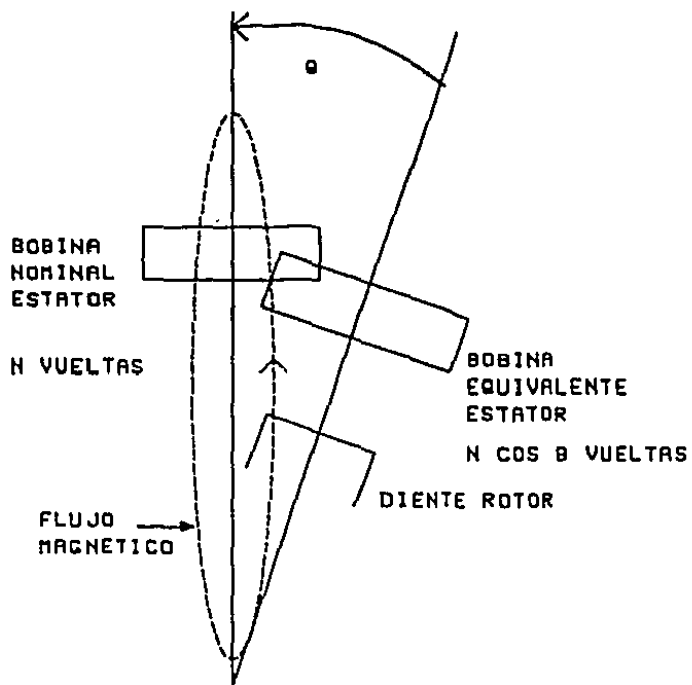


FIG. 9.7 VARIACION DEL ACOPLAMIENTO MAGNETICO CON LA POSICION ANGULAR

$$D = D(\omega_p) \quad (3.20)$$

Para demostrar la validez de esta hipótesis se realizaron mediciones de el coeficiente de amortiguamiento. La Fig. 3.8 muestra dicho coeficiente en función de la velocidad de desplazamiento del motor, para un motor determinado. Se puede notar una rápida disminución en el valor de D para la zona de velocidades entre 950 y 1050 pasos por segundo. Esta zona corresponde con la de resonancia observada experimentalmente para el motor bajo prueba.

La demostración analítica de la hipótesis (3.20) se basa en el modelo presentado en el inciso anterior (ver ecuación 3.17). Se obtiene una solución que corresponde a velocidad invariante, y a partir de ello se muestra que para obtener error de velocidad nulo, la variación de los voltajes de alimentación de las distintas fases debe tener forma senoidal. Este resultado es de esperarse pues el motor de pasos híbrido se diseñó originalmente como un motor síncrono de baja velocidad.

Una vez mostrado lo anterior el modelo de (3.17) se linealiza respecto a la solución para velocidad constante. Para este modelo linealizado se propone que la variación de la velocidad tenga la misma estructura que la variación de la posición angular en el sistema de coordenadas móviles mencionado en la ecuación (3.19).

Pollack demuestra que el sistema linealizado tiene solución para la forma propuesta. Nótese que (3.19) es de la forma:

$$\theta_m = e^{\alpha t} \cos \gamma t \quad (3.21)$$

los parámetros α y γ de (3.20) cumplen con:

$$\alpha = -\frac{B}{J} + \frac{RK_\lambda N_p K_T}{2 JL^2(\alpha^2 + \gamma^2)} \left[\frac{(R/2L + \alpha) \alpha - (N_r \omega_\theta + \gamma) \gamma}{(N_r \omega_\theta + \gamma)^2 + (R/2L + \alpha)^2} \right] + \quad (3.22)$$

$$+ \left[\frac{(R/2L + \alpha) \alpha + (N_r \omega_o - \gamma) \gamma}{(N_r \omega_o - \gamma)^2 + (R/2L + \alpha)^2} \right]$$

$$-\gamma = \frac{R K_{\lambda} N_r K_t}{2J L^2 (\alpha^2 + \gamma^2)} \left[\frac{(N_r \omega_o + \gamma)\alpha + (R/2L + \alpha)\gamma}{(N \omega_o + \gamma)^2 + (R/2L + \alpha)^2} \right] + \quad (3.23)$$

$$+ \left[\frac{(R/2L + \alpha)\gamma - (\omega_o - \gamma)\alpha}{(\omega_o - \gamma)^2 + (R/2L + \alpha)^2} \right]$$

El primer término de (3.21) depende del amortiguamiento mecánico, mientras que el segundo de la interacción mecánica eléctrica. La conclusión del trabajo es que la resonancia de los motores de pasos se debe efectivamente a la pérdida brusca de amortiguamiento viscoso.

4. TECNICAS PARA CONTROL DE MOTORES DE PASOS

En este capítulo se describirán las técnicas más empleadas para el control de motores de pasos. Estas pueden agruparse según la naturaleza de las cargas, viscosas o inerciales, que se acoplan a los motores. Las que se describirán en este escrito son:

Técnica para cargas viscosas.

Técnicas para cargas inerciales.
del plano de fase
de Venkataratnam.
del ángulo de adelanto o conmutación.
de control realimentado.
de Leenhouts.
de Kuo.

Todas las técnicas, salvo las del ángulo de adelanto o conmutación y la de control realimentado se implantan en malla abierta.

TECNICA PARA CONTROL DE CARGAS VISCOSAS

Cuando los motores de pasos se ocupan para mover cargas de tipo viscoso, la ecuación que describe la relación entre la posición angular de rotor (θ) y el par τ está dada por:

$$B \dot{\theta} = \tau \quad (4.1)$$

$$\tau = T \cos \theta$$

donde B y T han sido definidos con anterioridad y θ se ha definido de forma tal que un paso equivale a $\pi/2$ radianes.

Del análisis de las ecuaciones (4.1) se desprende en primera instancia que cuando el par que se aplica es cero, la velocidad resultante también lo es, por lo que el motor estará en reposo en esta circunstancia. Esto implica que para cada paso el sistema carga-motor alcanza un punto de equilibrio estable.

El movimiento que describirá el rotor entre cada paso se puede describir a partir de la solución exacta a (4.1) que está dada por:

$$\theta(t) = 2 \operatorname{arctg} \left(\exp \left(\frac{T}{B} t \right) \right) - \pi/2 \quad (4.2)$$

Cuando las velocidades son bajas, el movimiento que se describe tiene una forma similar a la que se ilustra en la Fig. 4.1. Conforme la velocidad aumenta, el perfil del movimiento se parece al que se presenta en la Fig. 4.2. Resulta claro que no es posible incrementar indefinidamente la velocidad del motor. Más específicamente, la máxima velocidad que se puede alcanzar está determinada por el tiempo de levantamiento (t_1) del sistema (en este contexto se define a dicho tiempo como el necesario para que el sistema alcance el 95% de su valor final) y que se puede aproximar por (Ref. 10):

$$t_1 = \frac{3.25}{T/B} \quad (4.3)$$

Cuando se desea mover un motor acoplado a cargas viscosas y los tiempos de conmutación están separados por tiempos menores al de levantamiento, el motor no podrá seguir el movimiento que se le impone y perderá sincronía.

La aplicación de los conceptos anteriores al control de cargas viscosas se puede plantear así. Si se desea que el motor describa un patrón de movimiento prescrito de antemano y que se especifica como una función del tiempo $\theta_D(t)$, se debe seguir el siguiente proceso.

En primer término se divide al movimiento en pasos enteros. Acto seguido se encuentran los tiempos que corresponden a dichos pasos y que

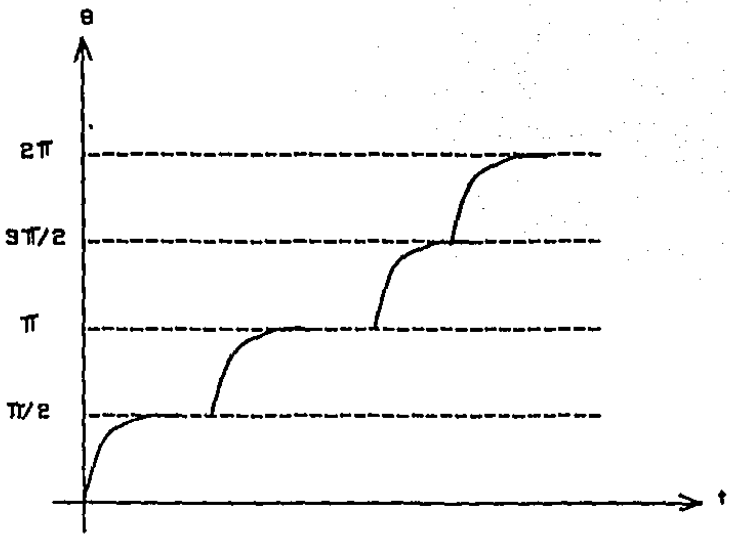


FIG. 4.1 RESPUESTA A PASOS CON CARGAS VISCOsas Y VELOCIDAD BAJA

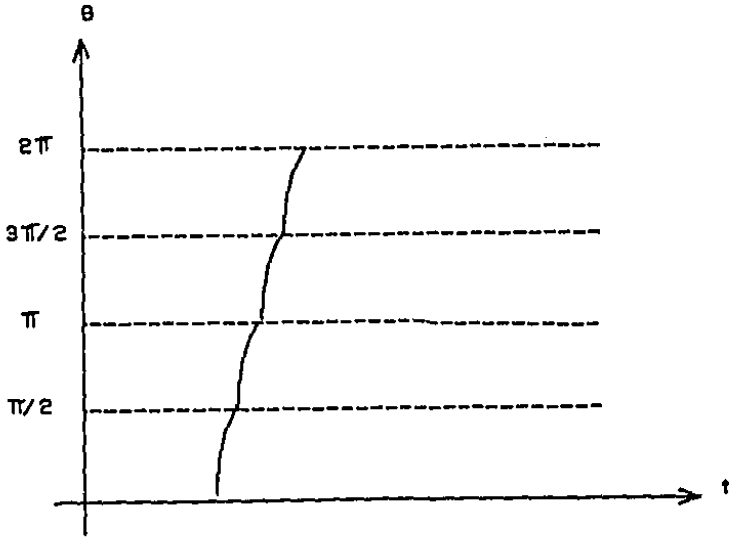


FIG. 4.2 RESPUESTA A PASOS CON CARGAS VISCOsas Y VELOCIDAD ALTA

correspondenrán a los tiempos de conmutación de energía en los embobinados del motor. El conjunto de tiempos de conmutación $\{t_c\}$ se puede hallar de:

$$t_{ci} = \min_t (t: |\theta_D(i) - \theta_D(t_{Ci-1})| \geq \pi/2, t > t_{Ci-1})$$

$$i = 1, \dots$$
(4.4)

$$t_{Co} = 0$$

La ecuación (4.4) se resuelva tantas veces como sea necesario hasta que se agote el patrón de movimiento deseado $\theta_D(t)$.

El movimiento que se ha prescrito al sistema motor-carga viscosa se podrá realizar si se cumple la siguiente condición para todos los tiempos de conmutación:

$$|t_{ci} - t_{ci-1}| \geq t_1 \quad ; i=1, \dots, NP$$
(4.5)

con NP el número de pasos que se obtiene como el máximo i necesario para discretizar toda la función $\theta_D(t)$ según (4.4).

Cuando la condición (4.5) no se satisface totalmente se debe modificar el patrón de movimiento deseado $\theta_D(t)$ de tal forma que se cumpla la condición.

Las conclusiones más importantes que se pueden derivar para este tipo de movimiento son que: primero, no es posible seguir referencias con dinámicas complejas, más específicamente sólo se podrán seguir movimientos cuya derivada esté acotada por:

$$|\dot{\theta}_{\max}| \leq 1/t_1$$
(4.6)

Segundo, aquellos movimientos cuya magnitud sea inferior a la resolución del motor empleado, no podrán realizarse.

En la Fig. 4.3 se muestra esquemáticamente el proceso que se ha descrito en estos párrafos.

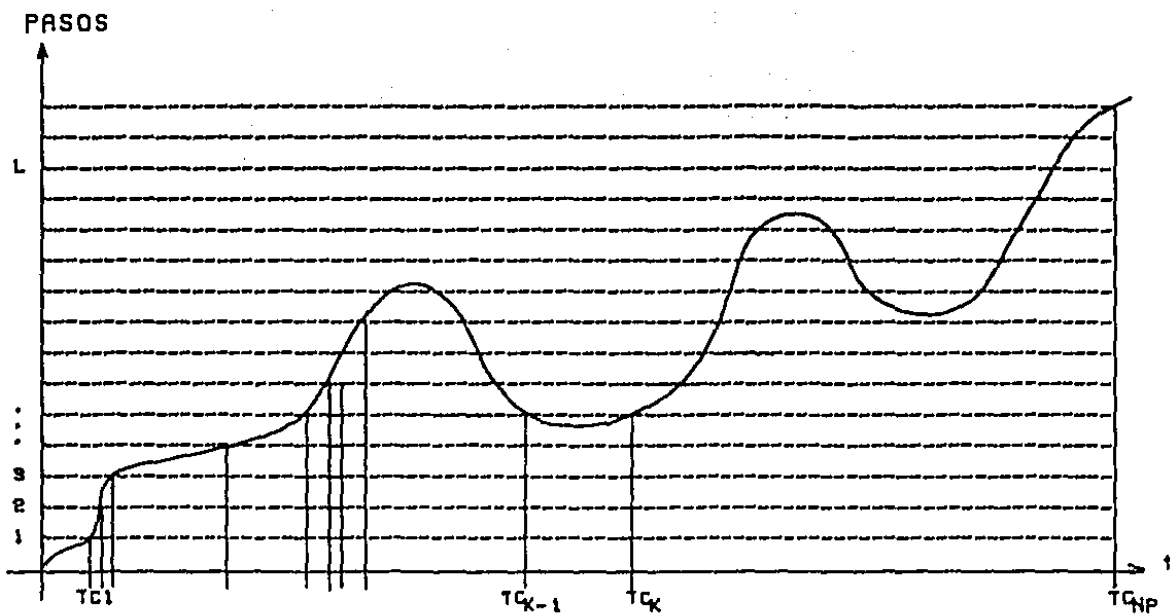


FIG. 4.3 TIEMPOS DE CONMUTACION PARA CONTROL DE CARGAS VISCOSAS

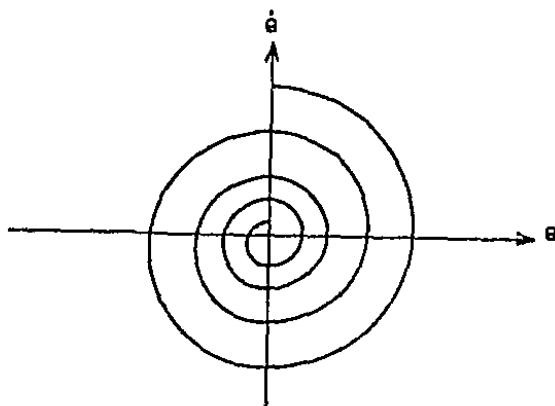


FIG. 4.4 RESPUESTA A PASO EN EL PLANO DE FASE

TECNICA DEL PLANO DE FASE

La aplicación del plano de fase al control de motores de pasos se describe con detalle en las Refs. 11 a 13. La idea básica detrás de esta técnica es la de aprovechar la fácil visualización que proporciona el plano de fase sobre la dinámica del motor de pasos. En la Fig. 4.4 se muestra la respuesta a un paso en dicho plano.

Si se tiene como modelo simplificado del comportamiento del motor de pasos el que describe la ecuación

$$J\ddot{\theta} + B\dot{\theta} + K_T i \sin(N_r \theta) = F \frac{\dot{\theta}}{|\dot{\theta}|} - K_c \dot{\theta} \sin^2(N_r \theta) \quad (4.7)$$

es posible modificar esta ecuación para incluir el efecto de las conmutaciones de energía en los embobinados si se hace que:

$$\sin(N_r \theta) = \sin(N_r \theta - K \frac{\pi}{2}) \quad (4.8)$$

donde K es un parámetro que domina las conmutaciones y que indica el número de pasos que se ha enviado en un momento dado. Si el valor de K se incrementa en la unidad al tiempo t , el motor se moverá un paso hacia adelante, y se decrementa en uno, lo hará hacia atrás. Incrementos o decrementos en K de 2 o 3 unidades implican ese número de conmutaciones instantáneas y corresponderían a secuencias de conmutación inapropiadas, en principio.

La implicación de este modelo para las conmutaciones es que cuando el valor de K se incrementa, la posición de equilibrio se desplaza $\pi/2$ radianes hacia la derecha. Este desplazamiento puede hacerse relativo a la posición actual de equilibrio del motor si se altera la posición angular en $-\pi/2$ radianes. La Fig. 4.5 muestra una secuencia de conmutación de cuatro pasos bajo esta última consideración.

La Fig. 4.6 ilustra un plano de fase que contiene tres posiciones de equilibrio. Se puede notar que existen muchas líneas por arriba de los movimientos que se realizan hacia los tres focos. Esta líneas

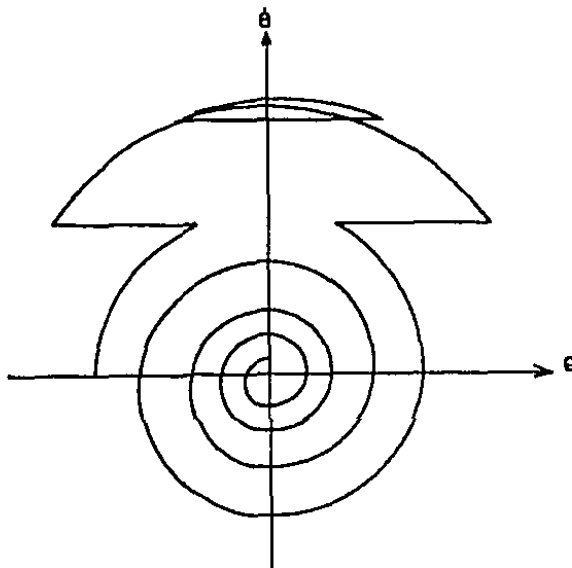


FIG. 4.5 SECUENCIA DE CONMUTACION EN EL PLANO DE FASE (4 PASOS)

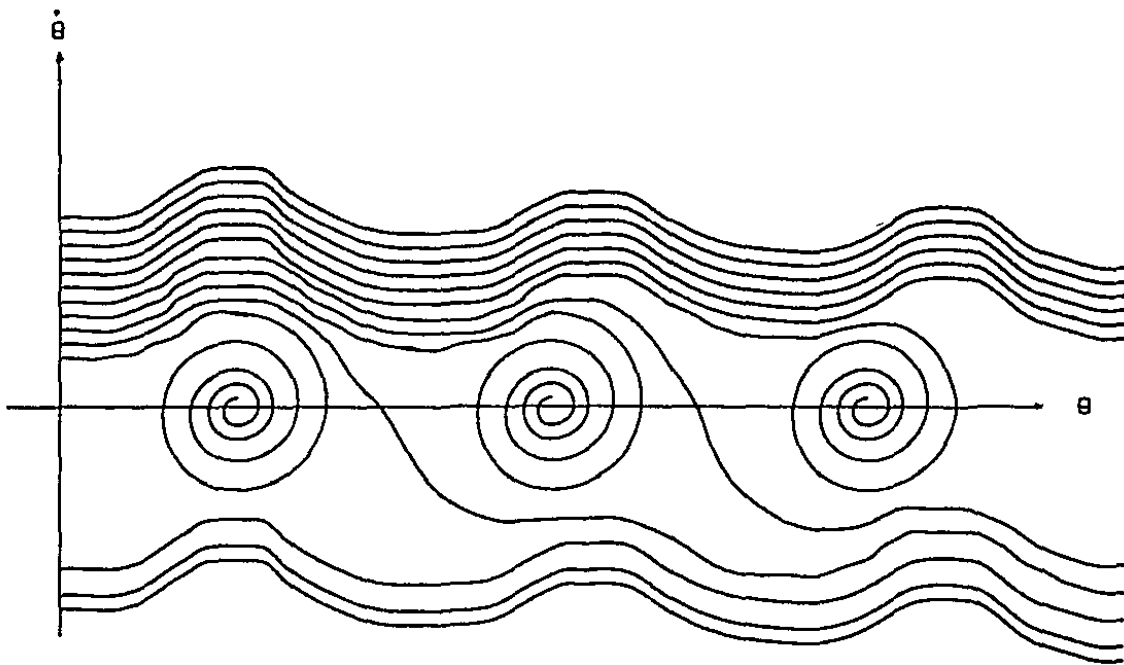


FIG. 4.6 PLANO DE FASE CON TRES POSICIONES DE EQUILIBRIO

representan movimientos cuya velocidad les impide llegar a los puntos de equilibrio mostrados y que llegarían a puntos de equilibrio situados más a la derecha.

Lo que Gauthier y equipo hicieron fue proponer una lista inicial de tiempos de conmutación y simular después el comportamiento del motor con base en la ecuación (4.8). Una vez simulado se representa el movimiento en el plano de fase y se encuentran por inspección aquellos puntos en los que la dinámica del motor difiera de la deseada. A partir de estos puntos se modifica la lista de tiempos de conmutación, adelantándolos o atrasándolos hasta conseguir que la simulación indique que el motor realiza adecuadamente el movimiento prescrito.

De la inspección del plano de fase que corresponde a un movimiento se pueden derivar condiciones más benignas para la aceleración y frenado, que es uno de los puntos críticos en los patrones de movimiento para motores de pasos. La Fig. 4.7 muestra la misma secuencia que la Fig. 4.5, pero con modificaciones en los tiempos de conmutación. Puede notarse que las oscilaciones que corresponden al último paso han desaparecido.

La técnica presenta limitaciones que la hacen poco manejable para condiciones normales. Las principales son las siguientes:

- 1) Se requieren conocer con precisión los valores de los parámetros del sistema.
- 2) Las secuencias de tiempos de conmutación son muy sensibles a pequeñas variaciones en las trayectorias.
- 3) Sólo se pueden manejar movimientos de pequeña magnitud (máximo decenas de pasos).

TECNICA DE VENKATARATNAM

Esta técnica está diseñada para determinar las condiciones bajo las cuales es posible que un motor de pasos en reposo se sincronice con una secuencia de conmutación de una frecuencia dada. En tanto, únicamente considera el control de motores a velocidad constante. A diferencia de las demás técnicas, no hace diferencia entre los movimientos de arranque y de paro, con los de deslizamiento a velocidad constante.

El desarrollo que se presenta en la Ref. 27 se basa en un modelo eléctrico de un motor de pasos híbrido (ver Fig. 4.8), en el que se consideran los efectos de variación de permeancia. Por otro lado se

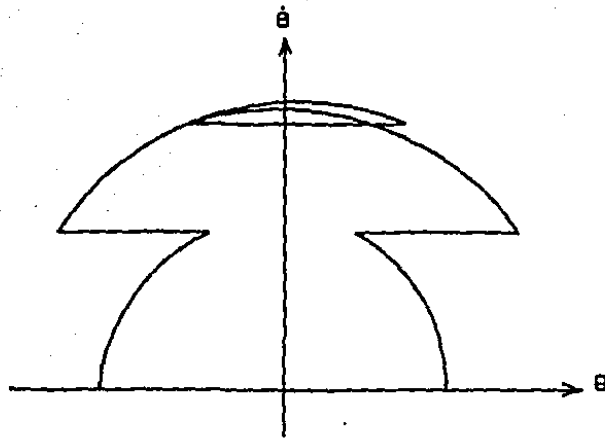


FIG. 4.7 SECUENCIA DE CONMUTACION MODIFICADA (4 PASOS)

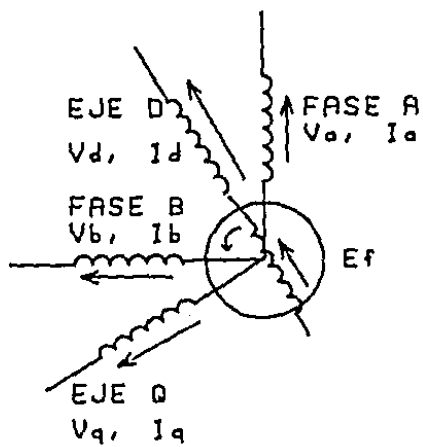


FIG. 4.8 MODELO ELECTRICO EMPLEADO POR VENKATARATNAM

deriva el modelo mecánico del movimiento. El modelo total resultante es de cuarto orden (ver capítulo 3 para más detalles).

A partir de este modelo, se deriva un sistema de ecuaciones diferenciales de cuarto orden. Este sistema se normaliza y se encuentran las coordenadas de los puntos singulares, que corresponden a los puntos de equilibrio estables e inestables.

El problema de arranque y sincronía de un de un motor de pasos se resuelve por analogía del comportamiento de estos con las máquinas eléctricas síncronas, por lo que se proponen ángulos de cuadratura y de deslizamiento. El sistema anterior se convierte en uno en el espacio fase y se procede entonces a derivar las condiciones bajo las cuales el motor puede seguir un movimiento propuesto, dada una velocidad de referencia.

Esta derivación se basa en una solución analítica por series de potencias de las ecuaciones en el espacio de fase, a partir de la cual se obtienen dos resultados básicos. El primero es que existe una velocidad crítica por arriba de la cual el motor no podrá sincronizarse con el movimiento que se le pide, y que cumple con:

$$2\zeta_e \sigma_c \cos \beta + \frac{2\zeta_m \sigma_c + J\ell}{\cos \beta} = 1 \quad (4.9)$$

donde σ_c = velocidad crítica, β = ángulo que depende de la constante de tiempo del circuito eléctrico del motor, ζ_e , ζ_m = los coeficientes normalizados de amortiguamiento interno y externo, J = carga normalizada.

El segundo resultado proporcionado se refiere al error de estado estable (δ) que se presenta cuando se pide al motor que se mueva a una velocidad por abajo de la crítica, error que cumple con:

$$\sin(\delta - \beta) = 2\zeta_e \sigma \cos \beta + \frac{2\zeta_m \sigma + J\ell}{\cos \beta} \quad (4.10)$$

donde σ = velocidad de movimiento deseada tal que

$$|\sigma| < |\sigma_c| \quad (4.11)$$

Los resultados obtenidos se validan experimentalmente y muestran buena concordancia con los esperado. En la Fig. 4.9 se muestra un ejemplo de una curva velocidad crítica versus constante de tiempo normalizada.

La principal limitación de la técnica estriba en que se limita a resolver el problema de movimientos a velocidad constante, y no puede manejar otro tipo de cinemática.

TECNICA DEL ANGULO DE ADELANTO O CONMUTACION

Esta técnica de lazo cerrado se diseñó para resolver el problema de mover un motor de pasos según patrones de movimiento similares a los que se muestran en la Fig. 4.10 (para más detalles ver la Ref. 6)

La idea en que se basa es la siguiente: cuando un motor de pasos se mueve a velocidad constante, se produce sincronía entre el tren de pulsos que ordena el movimiento y la velocidad a que se mueve el motor.

La sincronía descrita implica que las posiciones angulares en que ocurre la conmutación son invariantes en relación con los puntos de equilibrio estables. A esta posición angular invariante se le conoce como ángulo de conmutación (α), cuando se hace relativa a la posición de equilibrio desde la cual se hizo la conmutación. En caso de que la posición se haga relativa a la siguiente posición de equilibrio, se le llama ángulo de adelanto (δ). En la Fig. 4.11 se describe gráficamente la interpretación de los ángulos de adelanto y atraso. Estos ángulos están relacionados por la siguiente expresión:

$$\alpha = 2 \theta_p - \delta \quad (4.12)$$

con θ_p = tamaño angular de un paso del motor.

Para la implantación de esta técnica es necesario dotar al motor de pasos con un sensor de posición. Se usa para ello un detector optoelectrónico y un disco que contiene tantas marcas como pasos por revolución proporcione el motor.

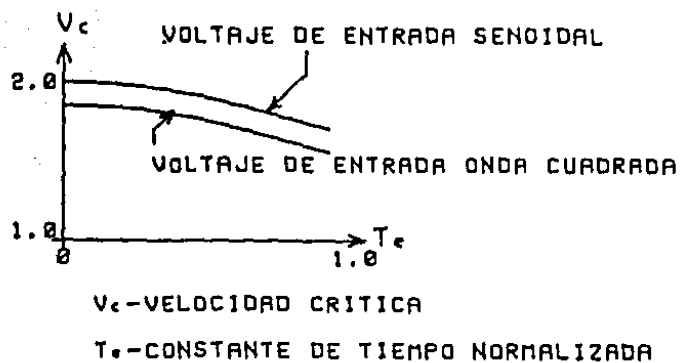


FIG. 4.9 VARIACION DE LA VELOCIDAD CRITICA CON LA CONSTANTE DE TIEMPO

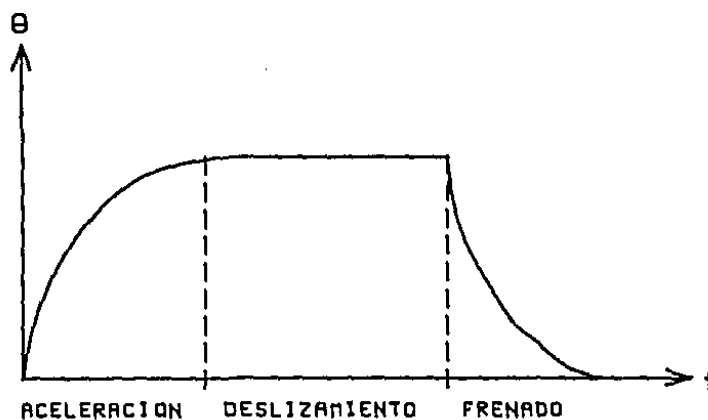


FIG. 4.10 PATRON DE MOVIMIENTO SIMPLE

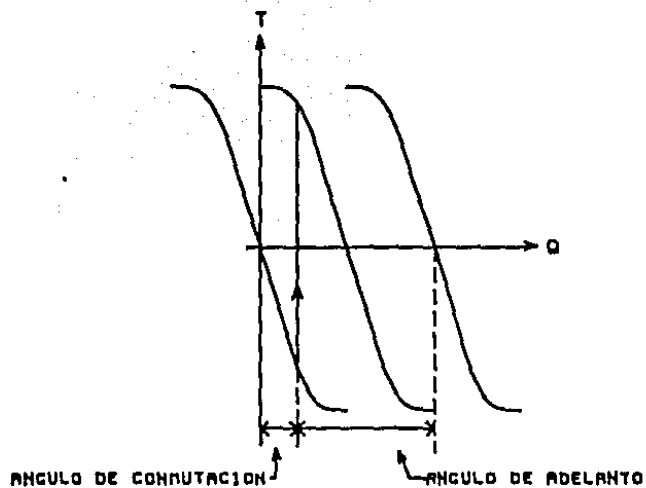


FIG. 4.11 ÁNGULOS DE CONMUTACION Y ADELANTO

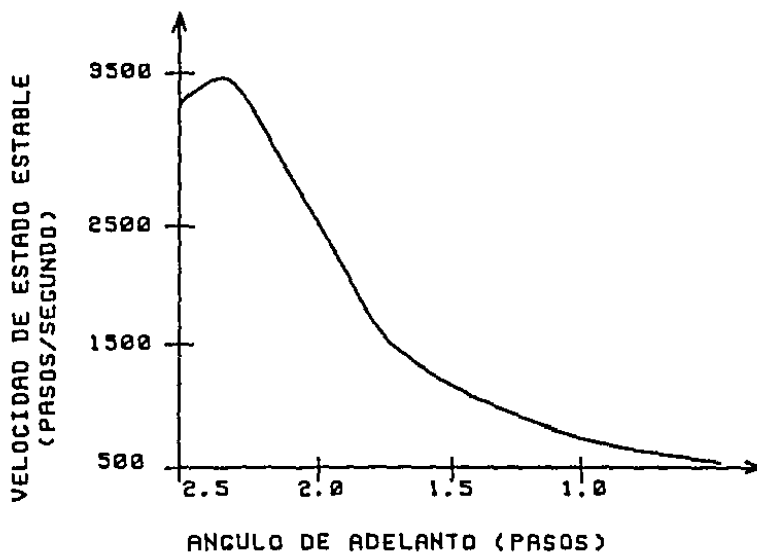


FIG. 4.12 VELOCIDAD VS. ÁNGULO DE ADELANTO

La velocidad de estado estable que se desea alcanzar en un motor de pasos es una función del ángulo de conmutación. En la Fig. 4.12 se muestra una curva típica para esta relación.

Para sincronizar el movimiento del motor en lazo cerrado, el disco con marcas se debe desplazar un valor igual al ángulo de conmutación que corresponda a la velocidad deseada. De esta forma las transiciones del optodetector por las perforaciones determinan precisamente el envío de nuevos pulsos.

Si se desea acelerar o frenar el motor, es necesario alterar la sincronía descrita. Para lograrlo se debe modificar el tiempo entre pulsos. Si el tiempo se alarga, se produce un frenado, y en caso contrario, aceleración del motor. El efecto práctico de estos retrasos y adelantos de tiempo sobre el ángulo de conmutación en las curvas par-posición angular, es el de adelantar o atrasar el ángulo de conmutación. En esta técnica a los pulsos que se envían fuera de sincronía se les conoce como pulsos inyectados.

Estos pulsos inyectados corresponden a pulsos adicionales y su efecto se puede apreciar en la Fig. 4.13 que muestra dos secuencias de conmutación, una que corresponde a un movimiento a velocidad constante y otra a un movimiento después de la inyección de un pulso. Puede notarse que en este caso la inyección del pulso produce un frenado del motor, pues se aplica un par en promedio negativo.

Como resulta evidente, es totalmente impráctico mover el disco con marcas cada vez que se cambia la velocidad de estado estable. Para evitar este problema se coloca el disco en una posición fija y se introduce un retraso para enviar los pulsos cuya magnitud depende de la velocidad angular deseada. Este retraso se calcula a partir del tiempo que tarda el motor en pasar desde la posición de equilibrio hasta la del ángulo de conmutación, cuando el recorrido se realiza a la velocidad deseada.

Aunque la técnica ha sido diseñada para emplearse en lazo cerrado, resulta claro que su aplicación se puede también llevar a cabo en lazo abierto. Para este último caso se debe poner especial énfasis en los movimientos de arranque y paro, pero una vez alcanzada la velocidad de estado estable deseada, el proceso resulta bastante seguro.

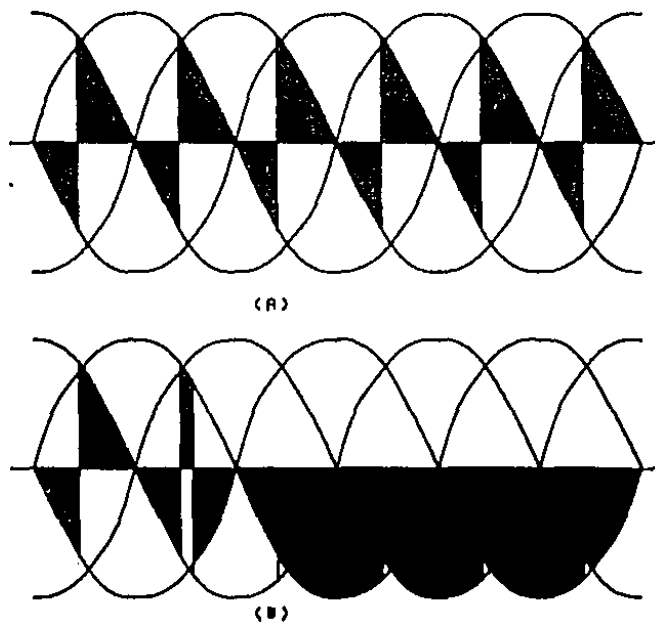


FIG. 4.13 PULSOS INYECTADOS (A) SECUENCIA SIN INYECCION
(B) SECUENCIA CON INYECCION

EFECTO SOBRE EL MOVIMIENTO	PUNTOS DE EQUILIBRIO			
	1	2	3	4
DERECHA LENTO	B	C	D	A
IZQUIERDA LENTO	A	B	C	D
DERECHA MEDIO	C	D	A	B
IZQUIERDA MEDIO	D	A	B	C
PARO	AB	CB	CD	AD
DERECHA RAPIDO	CB	CD	AD	AB
IZQUIERDA RAPIDO	AD	AB	CB	CD
MUY RAPIDO (*)	CD	AD	AB	CB

(*) EN AMBAS DIRECCIONES, SOLO PARA VELOCIDAD NO NULA

TABLA 4.1 DIAGRAMA DE TRANSICION DE ESTADOS PARA
LA TECNICA DE CONTROL REALIMENTADO

TECNICA DE CONTROL REALIMENTADO

Esta técnica fue diseñada por Frediksen (Ref. 14) y como se mencionó en la introducción a este capítulo se trata de una técnica que funciona en lazo cerrado. Se pretende que a través de la realimentación el motor de pasos puede funcionar como un servomotor que responda en tiempo mínimo. Se consideran únicamente las dinámicas de primero y segundo orden (posición y velocidad). Su descripción grosso modo es como sigue.

A partir de una análisis de los diagramas de transición de estados de las conmutaciones de energía en los embobinados, y de las curvas par-posición angular mencionadas en el capítulo 3, se puede deducir que dichas conmutaciones equivalen a la aplicación de controles discretos para el movimiento del motor. En la Tabla 4.1 se muestra el diagrama de transición de estados, incluyendo su interpretación en términos del efecto que produce sobre el movimiento del motor. Cabe aclarar que Frediksen utiliza todas las posibles conmutaciones de energía en los embobinados, lo que arroja un total de ocho controles diferentes.

El trabajo de Frediksen consistió en la implantación de un sistema de realimentación de la posición y de un tacómetro digital sencillo (ver Fig. 4.14), a partir del cual se puede obtener información sobre la transición de estados que más conviene para minimizar el error de seguimiento. Las aplicaciones que se muestran en la referencia citada se refieren únicamente a movimientos punto a punto con velocidad máxima restringida.

El sistema implantado es equivalente a un autómata finito que divide los movimientos en cuatro zonas siempre iguales: dos zonas de aceleración y dos de frenado. A cada zona corresponde una secuencia de conmutación que puede incluir una o dos fases energizadas. Cuando se energiza una fase se trata de un movimiento de aceleración o frenado lento. Cuando se energizan las dos fases se trata de aceleraciones de frenado de la máxima magnitud posible (ver Fig. 4. 15).

La política de control que se sigue consiste en analizar instantáneamente el error de posición y de velocidad que existe. Si existe un gran error de velocidad, se usa un movimiento a máxima aceleración. Cuando el error de velocidad disminuye en magnitud, se cambia a los movimientos de aceleración mínima.

Para conocer la posición se cuenta con un contador con el número de pasos ordenados inicialmente, cuyo valor decrece según la señal de los optoemisores (Fig. 4.16). La velocidad se estima con base en una

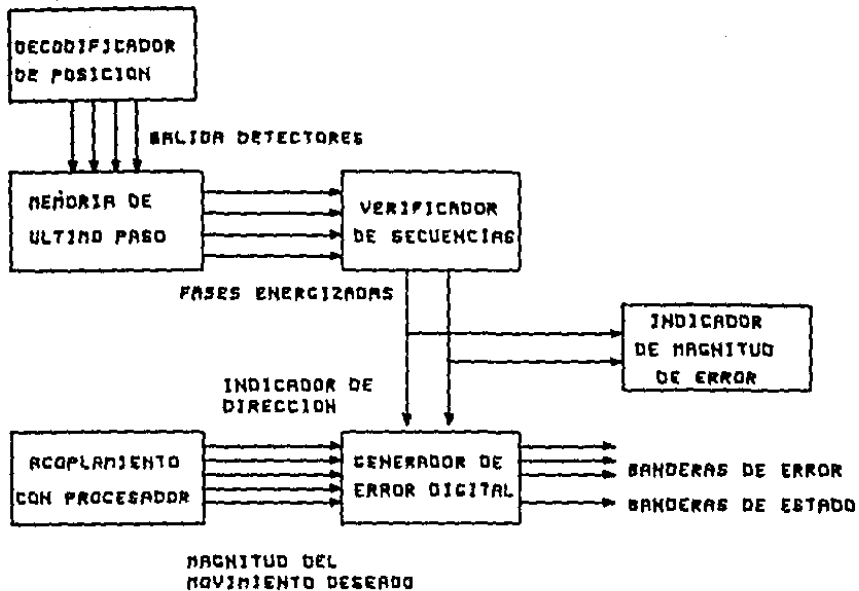


FIG. 4.14 TACOMETRO DIGITAL PARA CONTROL REALIMENTADO

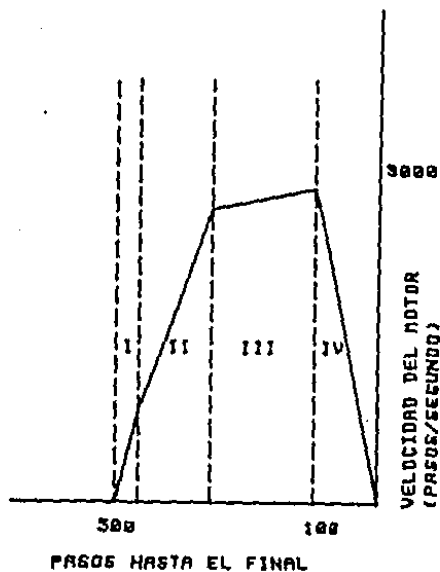


FIG. 4.15 CURVAS DE ACCELERACION Y FRENADO PARA CONTROL REALIMENTADO

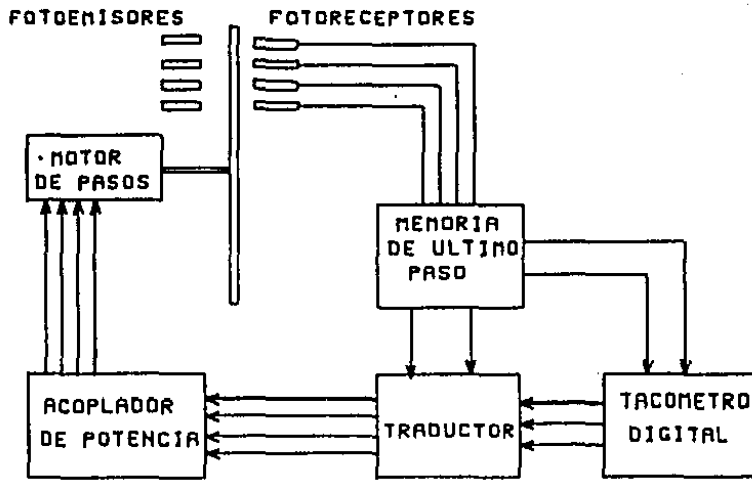


FIG. 4.16 ESQUEMA GENERAL DEL SISTEMA DE CONTROL REALIMENTADO

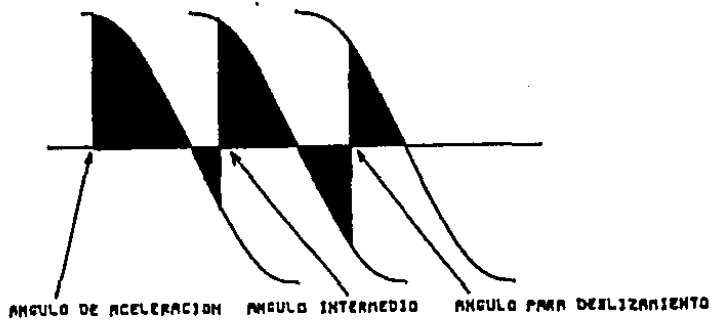


FIG. 4.17 ANGULO INTERMEDIO EN TRANSICION ACELERACION-DESLIZAMIENTO

interpolación lineal entre los dos últimos pasos ejecutados, pero para la instrumentación del control realimentado sólo es necesario tener una idea gruesa de la misma, ya que el error de velocidad sólo determina el tipo de aceleración a emplear.

El trabajo de Frediksen presenta la aplicación de los motores de pasos como servomotores, la cual coincide con la tendencia más reciente en el uso de los motores de pasos, en este sentido se trata de una experiencia precursora

Se pueden notar, sin embargo, las siguientes desventajas: se propone el uso de todas las formas de conmutación posible, lo que implica que no es posible garantizar la robustez de los esquemas de control, y que podrán presentarse errores importantes en el desempeño del seguimiento cuando exista variación en la carga, o problemas de alineamiento en los sensores ópticos.

TECNICA DE LEENHOUTS

Esta técnica de lazo abierto, que se reporta en la Ref. 15, está diseñada para lograr que un motor de pasos pueda seguir algún perfil de velocidad. Como resultado del empleo de la técnica se obtiene la tabla de los tiempos de conmutación de energía en los embobinados.

En la descripción de esta técnica se introduce el concepto de par promedio (\bar{T}), como aquel que se obtiene al promediar el par que proporciona un motor de pasos dado un desplazamiento angular determinado, la expresión para calcularlo es:

$$\bar{T} = - \frac{T}{\theta} \int_{\theta_1}^{\theta_2} \text{sen } \theta \, d\theta \quad (4.13)$$

donde θ_1 y θ_2 representan los ángulos inicial y final del desplazamiento dado, y los demás términos se han definido con anterioridad. La integración de (4.13) conduce a:

$$\bar{T} = \frac{T}{\theta_2 - \theta_1} (\cos \theta_2 - \cos \theta_1) \quad (4.14)$$

Una vez hallado el par promedio se puede aproximar la aceleración promedio disponible como:

$$\ddot{\theta} = \frac{\bar{T} - F}{J} \quad (4.15)$$

Adicionalmente, Leenhouts introduce un factor de utilización F_t , que equivale a limitar la zona de las curvas par-posición angular sobre la que se pueden realizar conmutaciones. Este factor debe cumplir con:

$$-\frac{\theta_p}{2} - \text{sen}^{-1}(F_t) \leq \theta \leq \frac{\theta_p}{2} + \text{sen}^{-1}(F_t) \quad (4.16)$$

(intervalo de validez para F_t).

El tipo de movimientos para los que se aplica esta técnica se muestra en la Fig. 4.10. El movimiento total se divide en cinco etapas: arranque, aceleración, deslizamiento, desaceleración y paro. A continuación se describe brevemente cada una.

El arranque se maneja bajo la suposición de que el motor se encuentra en reposo y que se debe realizar una conmutación de la posición de equilibrio a la siguiente fase.

La aceleración se realiza siempre con el máximo valor posible según lo indiquen las ecuaciones (4.15) y (4.16). En seguida se calcula la velocidad con la que el motor alcanza el siguiente punto de equilibrio estable (θ_o). Para ello se calcula primero la posición de este último, que está dada por:

$$\theta_o = -\text{sen}^{-1}\left[\frac{F}{T}\right] \quad (4.17)$$

La velocidad en dicho punto (ω_o) se calcula considerando que el movimiento del motor se realiza con aceleración uniforme, su valor es:

$$\omega_o = \sqrt{2 \cdot \ddot{\theta} \frac{\theta_o - \theta}{\theta_p} + \omega_i^2} \quad (4.18)$$

donde ω_i es la velocidad inicial.

El tiempo para la conmutación se encuentra de:

$$t = \frac{\theta_o - \theta}{\theta_p} \cdot \frac{2}{\omega_o + \omega_i} \quad (4.19)$$

Si la velocidad alcanzada es menor que la de deslizamiento propuesta se continúa con la rutina de aceleración. Si es aproximadamente igual, se pasa a la rutina de deslizamiento. En el último caso, cuando la velocidad es mayor que la deseada, se pasa a la rutina de frenado.

En la rutina de deslizamiento se calcula el ángulo de conmutación (α) como el necesario para que el motor venza la fuerza de fricción. Este ángulo se encuentra de:

$$\alpha = \frac{\theta_p}{2 \operatorname{sen} \frac{\theta_p}{2}} \operatorname{sen}^{-1} \left(\frac{-F}{T} \right) + \frac{\theta_s}{2} \quad (4.20)$$

Existe un problema adicional que proviene del hecho de que el ángulo que se calcula en la ecuación (4.20) corresponde con el que se debe mantener cuando el motor se desliza a la velocidad deseada (ω_p), pero no toma en cuenta que cuando se pasa de la rutina de aceleración a la de deslizamiento, se debe encontrar un ángulo de conmutación intermedio que permita garantizar que al empezar con la secuencia de pulsos de deslizamiento el motor se mueva a la velocidad deseada, y no a la que tiene al terminar de acelerar. Para lograr lo anterior se usan de nueva cuenta las ecuaciones (4.13) y (4.14), y se considera que el desplazamiento en cuestión se realiza desde la última posición de aceleración hasta una situada dos pasos adelante. El ángulo para el paso intermedio (θ_i) se calcula de (ver Fig. 4.17):

$$\theta_i = \frac{\theta_p}{2} + \operatorname{sen}^{-1} \left[\frac{\theta_p (\cos \theta_c - \cos \theta_o) \theta_p T - F(\theta_c - \theta_o + \theta_p) - (\omega_c - \omega_o) \theta_p^2 J}{2 \operatorname{sen} \left(\frac{\theta_p}{2} \right) T \theta_p} \right] \quad (4.21)$$

El movimiento de desaceleración se realiza de manera inversa al de aceleración. Se considera que se frena al motor con el par más negativo que se pueda obtener de (4.15) y (4.13).

La rutina de paro se basa en la ecuación (4.21), valuada para velocidad final nula.

Los resultados experimentales indican buena concordancia con los esperados. La técnica es apropiada para resolver movimientos de pequeña magnitud y con patrones como el que describe la Fig. 4.10, pero resulta de poca utilidad en otras circunstancias.

TECNICA DE KUO

La técnica de Kuo se basa en la simulación detallada del movimiento de un motor de pasos y en las ideas de ángulo de conmutación y de adelanto, y de pulsos inyectados, que se describieron en un inciso anterior (ver Ref. 6 para más detalles).

El modelo que usa Kuo es equivalente al que usa Venkataratnam y al que se deriva en el capítulo 3. La técnica consiste en simular el comportamiento del motor de pasos y hallar por aproximaciones sucesivas los ángulos y tiempos de conmutación, y los tiempos para los pulsos inyectados.

El número de pulsos a inyectar, la forma de frenado y demás características importantes de los desarrollos de Kuo, requieren de experiencia y conocimiento profundo de los motores de pasos. Los resultados que se obtienen son muy buenos, aunque se limitan a movimientos de pequeña magnitud.

5. ROBUSTEZ DE LAS SECUENCIAS DE CONMUTACION

Del análisis de las técnicas descritas en el capítulo anterior se desprenden las siguientes conclusiones generales:

- a) En ninguno de los métodos propuestos se consideran los efectos de la variación de las cargas nominales sobre el movimiento del motor de pasos.
- b) Salvo la técnica de Leenhouts en todas las demás se permiten conmutaciones en cualquier región de las curvas par-posición angular.

A partir de los puntos anteriores surge la necesidad de estudiar la robustez de las conmutaciones frente a variaciones de los parámetros del motor y su sistema de cargas.

En este capítulo se deducen las condiciones de las que depende que una secuencia de conmutación en la energía de los embobinados sea robusta.

El análisis que se propone se puede realizar a partir de modelos completos o simplificados de los motores de pasos. Se consideró que esta última alternativa era más atractiva desde el punto de vista de diseño, pues los datos básicos que se requieren para este tipo de modelos se

pueden obtener de los datos del fabricante y de mediciones sencillas de los parámetros del sistema de cargas. De esta manera sería posible que un usuario potencial del método pudiera usar los resultados sin conocer profundamente el funcionamiento de los motores de pasos. Además se decidió tomar en cuenta únicamente sistemas de cargas inerciales, dado que la técnica descrita en el capítulo anterior para cargas viscosas, establece claramente las condiciones para un buen desempeño.

El capítulo se divide en dos partes, la primera presenta un análisis de estabilidad del comportamiento del motor de pasos considerando únicamente una posición fija en los voltajes de los embobinados. La segunda deriva las condiciones bajo las cuales se puede garantizar la robustez de las secuencias de conmutación.

ESTABILIDAD DE LOS MOTORES DE PASOS

La estabilidad de los motores de pasos se puede estudiar considerando el modelo simplificado que sigue:

$$\begin{aligned} J\ddot{\theta} + B\dot{\theta} &= \tau \\ \tau &= -T \sin[\theta] \end{aligned} \quad (5.1)$$

Si se integran en una sola ecuación se llega a:

$$J\ddot{\theta} + B\dot{\theta} + T \sin \theta = 0 \quad (5.2)$$

como puede notarse la ecuación (5.2) coincide con la ecuación que describe el movimiento de un péndulo amortiguado, que es una ecuación diferencial no lineal de segundo orden.

La estabilidad en el sentido Lyapunov (Ref. 16) de dicho sistema se garantiza si dado un conjunto de condiciones iniciales θ_0 y ω_0 , el sistema llega a una posición de equilibrio estable.

La ecuación (5.2) reescrita en variables de estado es:

$$\begin{aligned} \dot{\theta} &= \omega \\ \dot{\omega} &= -\frac{B}{J}\omega - \frac{T}{J}\sin \theta \end{aligned} \quad (5.3)$$

La pendiente de las curvas posición-velocidad angular en el plano de fase para el sistema (5.3) está dada por:

$$\frac{\dot{\omega}}{\dot{\theta}} = \frac{-\frac{B}{J}\omega - \frac{T}{J}\sin\theta}{\omega} \quad (5.4)$$

Los puntos de equilibrio se obtienen cuando la derivada es nula en (5.3) y son:

$$\theta = n\pi \quad n \in E \quad (5.5)$$

Para determinar cuales son los puntos de equilibrio estables se utiliza el segundo método de Lyapunov (Ref. 17) que se puede plantear a través del siguiente:

Teorema 5.1.— Un sistema dinámico $\dot{\theta} = f(\theta)$ es asintóticamente estable en la vecindad de un punto de equilibrio θ_0 si existe una función escalar $V(\theta)$, tal que:

- i) $V(\theta)$ es continua y tiene primeras derivadas parciales continuas en una vecindad S del punto de equilibrio.
- ii) $V(\theta) > 0$; $\theta \neq 0$
- iii) $V(\theta_0) = 0$
- iv) $\dot{V}(\theta) < 0$; $\theta \neq 0$

(5.6)

las funciones $V(\theta)$ se conocen como funciones de Lyapunov.

Para sistemas mecánicos, la energía total del sistema cumple con las condiciones del Teorema 5.1 para ser considerada como una función de Lyapunov. En efecto si la energía total del sistema se define como:

$$V(\theta) = \frac{1}{2} J \dot{\theta}^2 + T(1 - \cos\theta) \quad (5.7)$$

su derivada está dada por:

$$\dot{V}(\theta) = \dot{\theta} \ddot{\theta} + T \sin\theta \dot{\theta} = -\frac{B}{J} \dot{\theta}^2 \quad (5.8)$$

que se puede comprobar cumple con dichas condiciones.

La interpretación de la elección de (5.7) como función de Lyapunov es que para que un motor de pasos vaya hacia una posición de equilibrio estable debe encontrarse en la zona de las curvas par-posición angular que poseen pendiente negativa (ver Fig. 5.1).

El teorema 5.1 garantiza que el movimiento de un motor de pasos lo llevará al punto de equilibrio estable sólo si se encuentra en la vecindad del mismo. Sin embargo, no dice nada respecto a los casos en que esa condición no se cumple. Al respecto se puede plantear la siguiente condición.

La máxima energía de frenado (E) que puede proporcionar un motor de pasos para una posición fija de los embobinados está dada por:

$$E = T \int_0^{\pi/2} \sin \theta \, d\theta = T \quad (5.9)$$

Si se considera que el motor tiene una posición angular θ_0 y una velocidad $\dot{\theta}$, entonces se puede asegurar que el motor de pasos llegará a la posición de equilibrio más próxima si y sólo si se cumple que:

$$\frac{1}{2} J \dot{\theta}_0^2 + T[1 - \cos \theta_0] \leq T \quad (5.10)$$

La interpretación de (5.10) en el movimiento de los motores de pasos justifica el fenómeno de pérdida o ganancia de pasos durante el frenado, cuando los motores de pasos se acoplan a cargas inerciales, pues para velocidades altas de movimiento la energía cinética del motor es mucho mayor que la capacidad de frenado de este.

Además si se dividen ambos lados de la desigualdad entre J , la inercia, se concluye que la posibilidad de que la desigualdad se siga cumpliendo depende de la relación T/J . Esto es, que cuando se cuenta con un motor grande para mover una carga relativamente pequeña es posible acelerar o frenar dicha carga con brusquedad. Este hecho explica algunas de las experiencias descritas en la literatura y que se detallaron en el capítulo anterior.

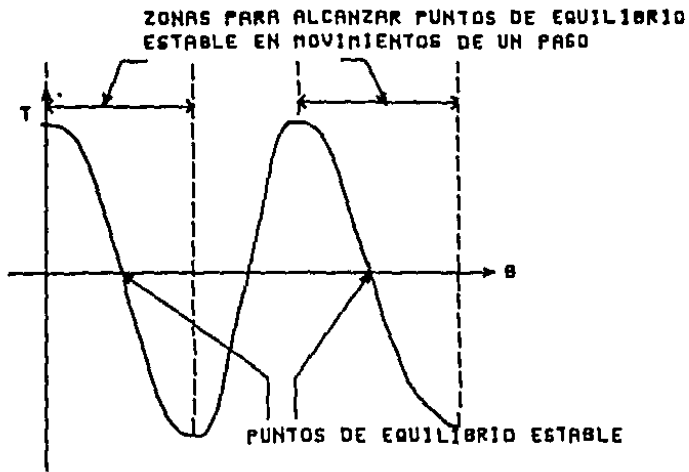


FIG. 3.1 ESTABILIDAD EN MOVIMIENTOS DE UN PASO

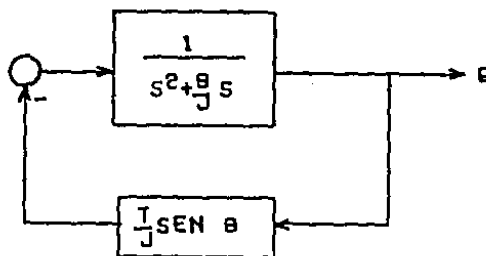


FIG. 3.2 MOTOR DE PASOS COMO UN SISTEMA LINEAL CON REALIMENTACION NO LINEAL

ROBUSTEZ DE LAS SECUENCIAS DE CONMUTACION

En este inciso se pretende tomar en cuenta el efecto de la variación en los parámetros del sistema de cargas de un motor, cuando ya se toman en cuenta las conmutaciones de energía en los embobinados.

Supóngase que se tiene una secuencia de conmutación dada por la función $K(t)$, donde K es una función entera de argumento real. Los valores de $K(t)$ cumplen con:

$$K(t) = \{1, 2, 3, 4\} \quad (5.11)$$

y el argumento real, o tiempo, se puede partir en un conjunto de subintervalos t_1, t_2, \dots, t_n tal que:

$$t_1 < t_2 < \dots < t_n \quad (5.12)$$

y que además:

$$K(t) = K(t_i) \quad \forall \quad t_i < t < t_{i+1} ; i=1, \dots, t_{n-1} \quad (5.13)$$

Considérese que el sistema motor-carga se puede especificar dados los parámetros J_1, B_1, T_1 . El efecto de $K(t)$ sobre este sistema se puede describir a través de la función $\theta_1(t)$ que satisface la ecuación:

$$J_1 \ddot{\theta}_1(t) + B_1 \dot{\theta}_1(t) = T_1 \text{ sen } [\alpha \theta_1(T) + \beta K\omega] \quad (5.14)$$

donde α y β se obtienen de (3.1).

Propóngase ahora un nuevo juego de parámetros J_2, B_2, T_2 , la misma función de conmutación $K(t)$ producirá ahora una trayectoria $\theta_2(t)$ descrita por:

$$J_2 \ddot{\theta}_2(t) + B_2 \dot{\theta}_2(t) = T_2 \text{ sen } [\alpha \theta_2(t) + \beta K(t)] \quad (5.15)$$

defínase el error como:

$$\varepsilon(t) = \theta_2(t) - \theta_1(t) \quad (5.16)$$

y las diferencias paramétricas como:

$$\begin{aligned} \delta J &= J_2 - J_1 \\ \delta B &= B_2 - B_1 \\ \delta T &= T_2 - T_1 \end{aligned} \quad (5.17)$$

De (5.14) a (5.17) se puede determinar que el error satisface la ecuación:

$$\begin{aligned} (J_1 + \delta J) (\ddot{\theta}_1(t) + \ddot{\varepsilon}(t)) + (B_1 + \delta B) (\dot{\theta}_1(t) + \dot{\varepsilon}(t)) &= \\ = (T_1 + \delta T) \text{ sen } [\alpha(\theta_1(t) + \varepsilon(t)) + \beta K(t)] \end{aligned} \quad (5.18)$$

Si se supone que los cocientes de (5.17) a los parámetros originales son pequeños, se pueden ignorar los términos de segundo orden en la diferencia de (5.18) y (5.14), lo cual proporciona la siguiente ecuación diferencial lineal variante con el tiempo:

$$\begin{aligned} J_1 \ddot{\varepsilon}(t) + B_1 \dot{\varepsilon}(t) + \varepsilon(t) \cos [\alpha \theta_1(t) + \beta K(t)] &= \\ \delta J \ddot{\theta}_1(t) - \delta B \dot{\theta}_1(t) + T_1 \text{ sen } [\alpha \theta_1(t) + \beta K(t)] \end{aligned} \quad (5.19)$$

Para estudiar la estabilidad de (5.19) se recurre al Criterio del Círculo (Ref. 16). Este se desarrolló para estudiar la estabilidad de sistemas con realimentación no lineal. Como puede notarse de la Fig. 5.2 que muestra un diagrama de bloques del modelo de un motor de pasos, el efecto de la variación del par con la posición angular se puede tratar considerando la realimentación de un término no lineal.

El Criterio del Círculo se puede enunciar a través del siguiente

Teorema 5.2. - El sistema dinámico descrito por la ecuación

$$\ddot{x}(t) + a \dot{x}(t) + g(t) K(t) = \gamma(t) \quad (5.20)$$

con $a > 0$ es estable en el sentido entrada-salida, si existe un valor $\gamma > 0$, tal que:

$$\gamma^2 \leq g(t) \leq (\gamma + a)^2 \quad (5.21)$$

El resultado básico del Criterio del Círculo indica que la ecuación (5.19) tendrá una solución acotada cuando se cumpla que:

$$\gamma^2 \leq -\frac{T}{J} \cos [\alpha \theta_1(t) + \beta K(t)] \leq (\gamma + \frac{B}{J})^2 \quad (5.22)$$

se define la función $m(t)$ como:

$$m(t) = \alpha \theta_1(t) + \beta K(t) \quad (5.23)$$

la desigualdad se puede reescribir como:

$$\cos [m(t)] \geq -\frac{J}{T} (\gamma + \frac{B}{J})^2 \quad (5.24)$$

El análisis se realiza ahora desde un punto de equilibrio estable de las curvas par-posición, lo que implica hacer:

$$m(t) = (2n+1)\pi \quad ; \quad n \in E \quad (5.25)$$

Para la primera desigualdad de (5.24) esto implica que:

$$-1 \geq -\frac{J}{T} (\gamma + \frac{B}{J})^2 \quad (5.26)$$

o bien en términos de γ :

$$\gamma \geq \left[\sqrt{\frac{T}{J}} - \frac{B}{J} \right] \quad (5.27)$$

Enseguida se averiguan los límites para los cuales se cumple que $\gamma > 0$, lo que se consigue valuando (5.27) para $\gamma = 0$, que es:

$$\frac{B}{\sqrt{JT}} \geq 1 \quad (5.28)$$

En (5.28) se define el coeficiente de amortiguamiento relativo del sistema como:

$$\xi = \frac{B}{2\sqrt{JT}} \quad (5.29)$$

de (5.29) en (5.28) se concluye que la primera se satisface siempre que cumpla con:

$$\xi > 1/2 \quad \Rightarrow \quad \gamma = 0 \quad (5.30)$$

y la desigualdad (5.22) se satisface para cualquier valor de $m(t)$ tal que $\cos(m(t))$ sea negativo, lo que implica situarse en la parte negativa de las curvas par-posición angular. Este resultado coincide con el que se obtiene de la ecuación (5.8).

Si se toma ahora la otra parte de la desigualdad (5.24) y se substituye (5.27) en ella se llega a:

$$\cos[m(t)] \leq -\left(1 - \frac{B}{\sqrt{JT}}\right)^2 \quad (5.31)$$

la cual expresada según (5.29) da:

$$\cos[m(t)] \leq - (1 - 2\xi)^2 \quad (5.32)$$

La ecuación (5.32) impone un límite al valor del $\cos(m(t))$, que depende de los parámetros α y β de (5.23), es decir, ξ no puede disminuir arbitrariamente so pena de no satisfacer (5.32). Para el caso

que se estudia, el de un motor híbrido de cuatro fases el mínimo valor de ξ aceptable es 0.08. Para este valor las conmutaciones deben ocurrir cuando $m(t)$ cumple con:

$$m(t) = \pi (n + 1/4) \quad (5.33)$$

además de que:

$$\cos (m(t)) < 0 \quad (5.34)$$

lo que implica que para conmutaciones robustas se debe conmutar únicamente en ese ángulo.

Conforme el valor de ξ pasa de 0.08 a 1/2, la zona en la que es posible realizar conmutaciones crece. La Fig. 5.3 muestra cuatro casos de zonas de conmutación para diferentes valores de ξ .

Cuando el valor de ξ es mayor que 1/2, las conmutaciones son robustas siempre que se cumpla con (5.34).

La Fig. 5.4 muestra dos secuencias de conmutación, una robusta y la otra no.

Existe una interpretación cualitativa para los resultados obtenidos que se puede resumir en los siguientes puntos:

i) Para que en presencia de conmutaciones se preserve la estabilidad, es necesario que los movimientos realizados en cada paso cumplan con las condiciones que se derivaron para movimientos de un sólo paso, que indican que para permanecer en las curvas par posición se debe permanecer en la zona de pendiente negativa.

ii) Cuando las conmutaciones se realizan en la zona de pendiente negativa se presenta un efecto de corrección. La situación se plantea en la Fig. 5.5 y se explica a continuación.

Supóngase que por la presencia de perturbaciones la velocidad del motor ha disminuido en relación a la deseada. En esta situación el ángulo en el cual se presentará la conmutación se retrasará con respecto al originalmente previsto. Este retraso producirá un aumento neto en la

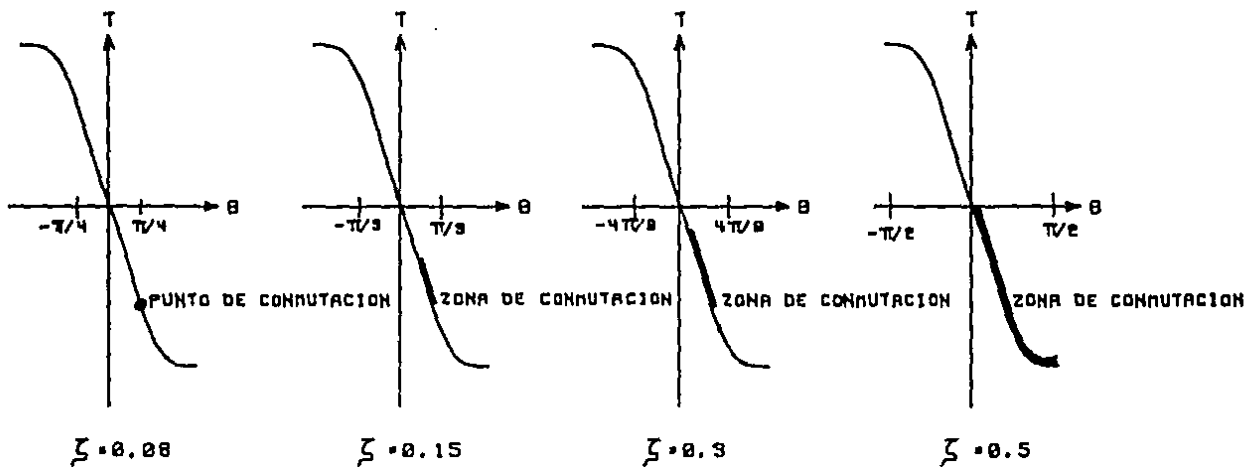
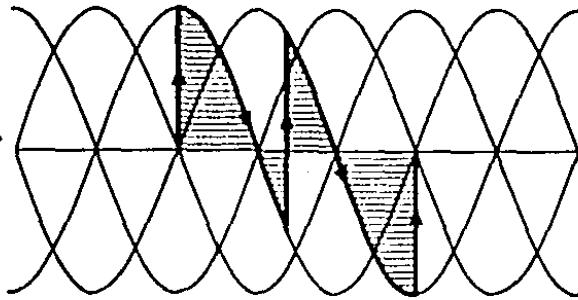
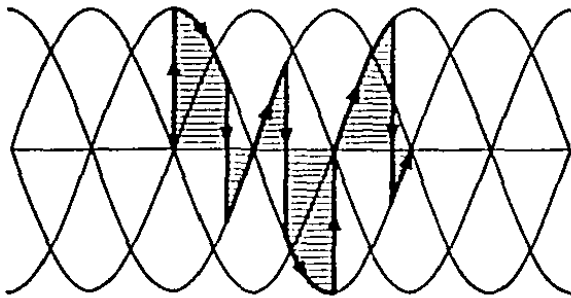


FIG. 5.9 ZONAS PARA CONMUTACIONES ESTABLES VS, COEFICIENTE DE AMORTIGUAMIENTO RELATIVO



(a)



(b)

FIG. 5.4 SECUENCIAS DE CONMUTACION:
 (a) ROBUSTA
 (b) NO ROBUSTA

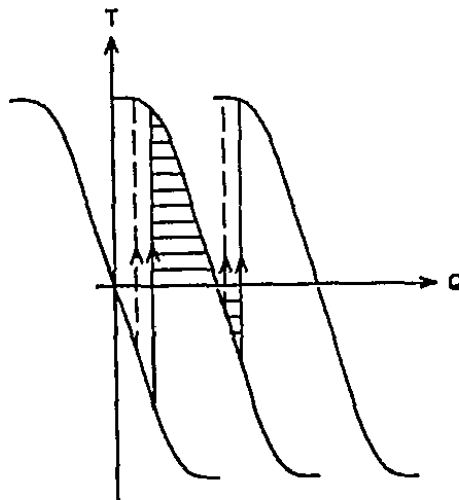


FIG. 5.5 EFECTO CORRECTIVO DEL PAR EN
 LA ZONA DE PENDIENTE NEGATIVA

cantidad de energía que recibe el motor durante el trayecto del siguiente paso (ver la líneas punteadas en la Fig. 5.5). Con el aumento de energía la velocidad aumentará hasta hacerse igual a la deseada. La explicación se puede reproducir para los casos en que la velocidad es mayor que la deseada y se notará que en dicho caso la energía neta proporcionada es menor que la necesaria, lo que frenará al motor.

Los desarrollos presentados son independientes de la dirección del movimiento, por lo que los resultados son válidos también para desplazamientos en la dirección negativa de θ .

Los resultados presentados en este capítulo se publicaron primeramente en la Ref. 28 .

6. METODOLOGIA DE CONTROL PROPUESTA

Una vez que en el capítulo anterior se derivaron las condiciones para encontrar secuencias robustas de conmutación para el movimiento de los motores de pasos, hace falta proponer un esquema de control que las incorpore y que ofrezca además ventajas en relación con los que se plantearon en el capítulo 4.

Las conclusiones generales a las que se puede llegar del análisis de las técnicas de control para motores de pasos que se han descrito son:

- a) Las técnicas han sido diseñadas para patrones de movimiento sencillos: máxima aceleración, deslizamiento y frenado.
- b) Sólo se consideran movimiento de pequeña magnitud angular, del orden de las decenas de pasos.
- c) Las técnica que da mejor resultados se basa en un proceso iterativo regido por reglas heurísticas.

En este capítulo se pretende proponer una técnica de control para motores de pasos que sea robusta y que además considere la posibilidad de que el motor de pasos siga patrones arbitrarios de movimiento. La técnica no debe estar basada en procedimientos heurísticos, ni implicar un conocimiento profundo de los motores de pasos.

Como resultado del empleo de esta técnica se debe obtener una secuencia de tiempos de conmutación que hagan que el motor de pasos siga la trayectoria especificada.

El desarrollo de la técnica se presenta en cuatro partes, en la primera se derivan las condiciones bajo las cuales se puede sustituir el par instantáneo que proporciona el motor de pasos, por un par promedio. La segunda parte se dedica a calcular el ángulo de conmutación que corresponde a un par promedio dado. En la tercera parte se deriva la ley de control que se empleará en la técnica que se propone, y por último se relaciona el cálculo del ángulo de conmutación con el del tiempo de conmutación.

EQUIVALENCIA PAR INSTANTANEO-PAR PROMEDIO

Para conseguir que la secuencia de tiempos que se obtendrá como resultado del empleo de la técnica sea manejable, su tamaño debe minimizarse. Para lograr esto se ha considerado que sólo debe efectuarse una conmutación por cada recorrido del motor sobre las zonas de conmutación que se describieron en el capítulo anterior, lo que equivale a realizar una sola conmutación por paso del motor.

Para poder justificar adecuadamente esta restricción se debe garantizar que existe una equivalencia entre el efecto de un par que varía a lo largo de un cierto desplazamiento angular y un par promedio constante que se aplica durante el mismo (ver Fig. 6.1).

Considérese de nueva cuenta la energía total del motor de pasos:

$$V(\theta) = \frac{1}{2} J \dot{\theta}^2 + T[1 - \cos \theta] \quad (6.1)$$

y la máxima energía que se puede proporcionar durante un paso del motor, que está dada por:

$$E = -T \int_0^{\pi/2} \text{sen } \theta \, d\theta = T \quad (6.2)$$

Supóngase ahora que el motor se encuentra en un punto de par nulo, en estas condiciones se puede anular el último término del lado derecho de (6.1), y además que la energía cinética en dicho punto es un múltiplo de

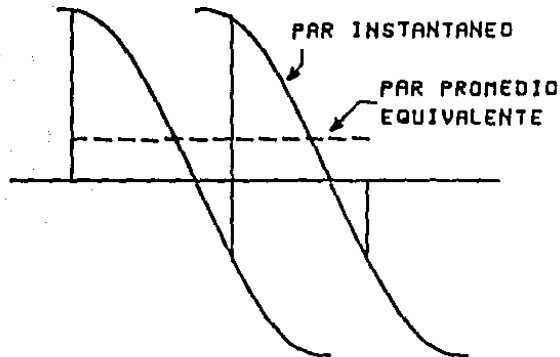


FIG. 6.1 EQUIVALENCIA PARA PROMEDIO-PAR INSTANTANEO

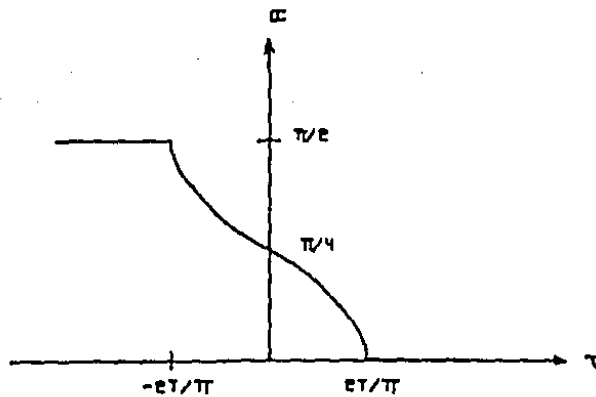


FIG. 6.2 PAR REQUERIDO VS. ANGULO DE CONMUTACION

la máxima que puede proporcionar el motor, es decir:

$$\frac{1}{2} J \dot{\theta}_1^2 = K T \quad (6.3)$$

si a partir de dicho punto de equilibrio no se realiza ninguna conmutación, y despreciando los efectos por pérdidas viscosas, al final de la parte negativa de la curva par-posición se tendría como energía cinética:

$$\frac{1}{2} J \dot{\theta}_1^2 = (K-1) T \quad (6.4)$$

el cociente entre (6.4) y (6.3) es:

$$\frac{\dot{\theta}_2}{\dot{\theta}_1} = \frac{K-1}{K} \quad (6.5)$$

si se desea que la velocidad no cambie más del 10% en el intervalo en cuestión se debe cumplir que:

$$(K-1) / K = 0.9^2 \Rightarrow K = 5.26 \quad (6.6)$$

De (6.5) en (6.3) y despejando para $\dot{\theta}_1$:

$$\dot{\theta}_1 > \frac{2KT}{J} \quad (6.7)$$

Se puede presentar un segundo análisis si se considera cual es la variación de velocidad en la que se incurre si se desea mover el motor a una velocidad constante dada. Para el análisis se despreciarán de nueva cuenta las pérdidas por efectos viscosos.

La energía cinética para una velocidad $\dot{\theta}_1$ está dada por (6.2), si se conmuta cuando el ángulo ha aumentado $\pi/4$ radianes, la energía ha disminuido en una cantidad dada por:

$$\Delta V = 2T \left(1 - \frac{1}{\sqrt{2}}\right) \quad (6.8)$$

que se obtiene de la ecuación (4.13) desde un punto de equilibrio hasta $\pi/4$ radianes adelante.

En esta condición la velocidad cumplirá con:

$$\frac{1}{2} J \dot{\theta}_2 = T (K - 2 + \sqrt{2}) \quad (6.9)$$

el cociente entre (6.9) y (6.8) es:

$$\frac{\dot{\theta}_2^2}{\dot{\theta}_1^2} = \frac{K - 2 + \sqrt{2}}{K} \quad (6.10)$$

si se desea que la velocidad no varía más del 10% de nueva cuenta se tiene que K debe cumplir con:

$$(K - 2 + \sqrt{2})/K = 0.81 \Rightarrow K = 3.06 \quad (6.11)$$

De (6.11) se puede derivar que la condición para que el par instantáneo se pueda aproximar por el par promedio es que la velocidad cumpla con:

$$\dot{\theta}_1 > \sqrt{\frac{3T}{J}} \quad (6.12)$$

CALCULO DEL PAR PROMEDIO

Una vez que se propuso una condición para que el par instantáneo se pueda aproximar por el par promedio, en necesario resolver el problema inverso, es decir, como calcular la posición angular de conmutación, o ángulo de conmutación, simplemente, que corresponde a un par predeterminado.

Para conseguirlo considérese que un tiempo t_{θ_c} que corresponde a una cierta posición angular. Llámese $t_{\theta_c + \pi/2}$ al tiempo que correspondería a una posición un paso adelante. Supóngase además que se conoce el par promedio T que se desea aplicar.

El ángulo de conmutación α es un ángulo que cumple con:

$$\theta_c \leq \alpha \leq \theta_c + \pi/2 \quad (6.13)$$

y con:

$$\tau = \int_{t_{\theta}}^{t_{\theta c + \pi/2}} T(\sigma) d\sigma \quad (6.14)$$

Según la equivalencia encontrada (6.14) se puede aproximar por:

$$T = \int_{\alpha - \pi/2}^{\alpha} T \sin \theta d\theta \quad (6.15)$$

cuya solución está dada por:

$$\tau = \frac{2}{\pi} T [\cos \alpha - \cos (\alpha - \pi/2)] \quad (6.16)$$

que conduce a:

$$\alpha = \pi/4 - \text{sen}^{-1} \left[\frac{\tau \pi}{2T} \right] \quad (6.17)$$

La ecuación (6.17) determina el ángulo de conmutación siempre que se cumpla que:

$$|\tau| < \frac{2T}{\pi} \quad (6.18)$$

cuando la desigualdad (6.18) no se cumple el ángulo de conmutación está dado por:

$$\alpha = 0 ; \tau > 2T/\pi \quad (6.19)$$

y

$$\alpha = \pi/2 ; \tau < -2T/\pi \quad (6.20)$$

La Fig. 6.2 muestra el ángulo de conmutación vs. el par requerido.

LEY DE CONTROL

Una vez que se han presentado los resultados de los dos incisos anteriores, resta por derivar una ley de control que permita que un motor de pasos describa un movimiento arbitrario predeterminado de antemano.

Sean $\ddot{\theta}_D(t)$, $\dot{\theta}_D(t)$ y $\theta_D(t)$ las funciones que describen la la aceleración, velocidad y posición angular deseadas en la flecha del motor de pasos. Considérese que el comportamiento del motor está descrito por la ecuación:

$$\ddot{\theta} + f(\dot{\theta}, \theta) = \tau \quad (6.21)$$

A partir de la trayectoria deseada y del modelo del motor dado por (6.21) se desea el problema de calcular el par τ_D que se debe aplicar al motor de pasos para que describa dicha trayectoria. Este problema se resuelve como un problema inverso de cinética. Para conseguirlo se propone que el par deseado satisfaga:

$$\tau_D = \ddot{\theta}_D + g_D (\dot{\theta}_D - \dot{\theta}, \theta_D - \theta) + f(\dot{\theta}, \theta) \quad (6.22)$$

donde el segundo término del lado derecho de (6.22) se interpreta como una corrección el valor del par aplicado según el error de seguimiento.

Si se considera que el par deseado y el requerido coinciden y de la diferencia de (6.22) y (6.21) se llega a:

$$\ddot{\theta}_D - \ddot{\theta} - g_N (\dot{\theta}_D - \dot{\theta}, \theta_D - \theta) = 0 \quad (6.23)$$

o bien si se define la función de error:

$$\varepsilon(t) = \theta_D(t) - \theta(t) \quad (6.24)$$

se tiene que el error satisface la ecuación:

$$\ddot{\epsilon} - g_D(\dot{\epsilon}, \epsilon) = 0 \quad (6.25)$$

Existen muchas posibilidades para elegir la función g_D . Para el desarrollo del trabajo se decidió elegirla como una función lineal del error de posición y de velocidad, esto es:

$$g_D(\dot{\epsilon}, \epsilon) = \alpha_1 \dot{\epsilon} + \alpha_2 \epsilon \quad (6.26)$$

La elección tomada implica la resolución de un problema de asignación de polos para la función de error. De esta manera los valores de α_1 y α_2 se eligen para conseguir que la ecuación:

$$\ddot{\epsilon} + \alpha_1 \dot{\epsilon} + \alpha_2 \epsilon = 0 \quad (6.27)$$

tenga una solución asintóticamente estable.

Lo anterior se resume en la expresión:

$$\tau_D = \ddot{\theta}_D + \alpha_1 [\dot{\theta}_D - \dot{\theta}] + \alpha_2 (\theta_D - \theta) + f(\dot{\theta}, \theta) \quad (6.28)$$

que permite calcular el par deseado.

La forma en que se propone calcular el par deseado para el motor de pasos difiere de las que se proponen en otras técnicas en que se incorpora la posible diferencia entre el comportamiento deseado y el que efectivamente puede describir el motor de pasos.

CALCULO DEL TIEMPO DE CONMUTACION

Para que la técnica que se describe en los párrafos anteriores sea completa, falta relacionar los ángulos de conmutación con los tiempos en que deben ocurrir. Para conseguir esto último se debe calcular el par deseado en cada momento, asociar dicho par con el par promedio que debe proporcionar el motor para el siguiente paso y finalmente encontrar el tiempo que corresponde al ángulo de conmutación determinado. Este último paso implica integrar la ecuación diferencial que describe el comportamiento del motor de pasos (6.21). Por la naturaleza no lineal este modelo se debe recurrir a técnicas numéricas para su solución.

El algoritmo completo de solución es el que sigue:

- i) Se considera que el motor parte del reposo.
- ii) Se calcula el par deseado según la ecuación (6.28)
- iii) Se calcula el ángulo de conmutación que corresponde con el par deseado calculado en (ii).
- iv) Se integra la ecuación (6.21) hasta que se alcanza el ángulo de conmutación que se calculó en (iii).
- v) Si pasado un cierto número de pasos de integración no se ha llegado al ángulo de conmutación se regresa a (ii).
- vi) Cuando se cumple (iv) se iguala el tiempo corriente en la integración con el tiempo de conmutación.
- vii) Si no se ha terminado con la trayectoria deseada se regresa a (ii).

7. DESCRIPCION DEL MODELO USADO PARA LAS SIMULACIONES

En este capítulo se describen los programas empleados para simular el comportamiento de los motores de pasos. El objeto de este proceso de simulación es generar las tablas de tiempos de conmutación y verificar el efecto que estos tiempos de conmutación producen sobre un sistema motor-carga que tenga un juego de parámetros diferente al que se usó para generar la tabla de tiempos mencionada.

El capítulo se divide en tres incisos, el primero describe la estructura y funcionamiento del programa que genera la tabla de tiempos de conmutación. El segundo se avoca a describir la forma en que se simula el efecto de dicha tabla. Finalmente se incluye una descripción de un programa auxiliar a las simulaciones que permite generar los patrones de movimiento que se desea que siga el motor de pasos y de otro para modificar los parámetros de las simulaciones.

PROGRAMA DE GENERACION DE TIEMPOS DE CONMUTACION

Este programa realiza las siguientes tareas:

- i) Calcular las condiciones deseadas de movimiento
- ii) Calcular los parámetros variables
- iii) Calcular el par requerido

- iv) Integrar numéricamente las ecuaciones de movimiento
- v) Verificar el ángulo de conmutación
- vi) Elaborar la tabla de tiempos de conmutación

que se describen brevemente a continuación.

Condiciones deseadas de movimiento

En esta parte del programa se calculan los movimientos deseados en el motor de pasos. Para hacerlo se supone que la aceleración del motor es de la forma:

$$\ddot{\theta}_D = C_1 + C_2 t + C_3 \text{ sen } (C_4 t) \quad (7.1)$$

la velocidad se encuentran integrando (6.1) y proporcionando las condiciones iniciales para la misma, es decir:

$$\dot{\theta}_D = \omega_0 + C_1 t + C_2 \frac{t^2}{2} - \frac{C_3}{C_4} (C_4 t) \quad (7.2)$$

Finalmente la posición corresponde a la integral de (7.2) más la posición inicial:

$$\theta_D = \theta_0 + \omega_0 t + C_1 \frac{t^2}{2} + C_2 \frac{t^3}{6} - \frac{C_3}{C_4} \text{ sen } (C_4 t) \quad (7.3)$$

Las constantes C_1, C_2, C_3 y C_4 de (7.1) sólo son válidas para un intervalo de tiempo arbitrario. Lo anterior significa que dado un conjunto de tiempos iniciales para dichos intervalos, la posición, velocidad y aceleración deseadas se pueden calcular si se conocen las constantes para cada intervalo.

Los patrones de aceleración que se pueden imponer a través de (7.1) son de una variedad mucho más extensa que la que se considera en la literatura. Es posible, además, aproximar un patrón arbitrario de aceleración por interpolación, si se elige un número adecuado de intervalos y se ajustan apropiadamente los valores de las constantes para cada uno de ellos.

Parámetros del sistema de cargas

La mayoría de los parámetros del sistema motor-cargas son invariantes durante la simulación de su movimiento, sin embargo, el efecto de la masa y la magnitud del par máximo disponible pueden variar con la posición y velocidad angular, respectivamente.

El efecto de la masa se calcula de:

$$J\ddot{\theta} = -B\dot{\theta} - T - (m_1 gr_1 + m_2 gr_2) \text{ sen } \theta \quad (7.4)$$

donde J está dada por:

$$J = \frac{m_o r_o^2}{2} + \frac{m_1 r_1^2}{3} + m_2 r_2^2 \quad (7.5)$$

que corresponde a suponer que la inercia se integra con un disco, un brazo y una masa concentrada al final del mismo (ver Fig. 7.1).

El par máximo disponible decrece al aumentar la velocidad de movimiento. Este efecto es de esperarse debido al amortiguamiento viscoso del sistema. A partir de las curvas que proporcionan los fabricantes de motores de pasos para la combinación acoplamiento de potencia-motor se puede encontrar por interpolación lineal una constante de decrecimiento de dicho par de tal forma que el par disponible obedezca a:

$$\begin{aligned} T &= T_{\max} - K_v |\dot{\theta}| ; T_{\max} > K |\dot{\theta}| \\ T &= 0 ; T_{\max} < K |\dot{\theta}| \end{aligned} \quad (7.6)$$

donde Tmax=par de retención.

Par requerido

El par requerido se calcula según la ley de control que se derivó en el capítulo anterior (ver ecuación 6.28), a la que se añadió el efecto sobre el par del brazo y la masa concentrada al final del mismo.

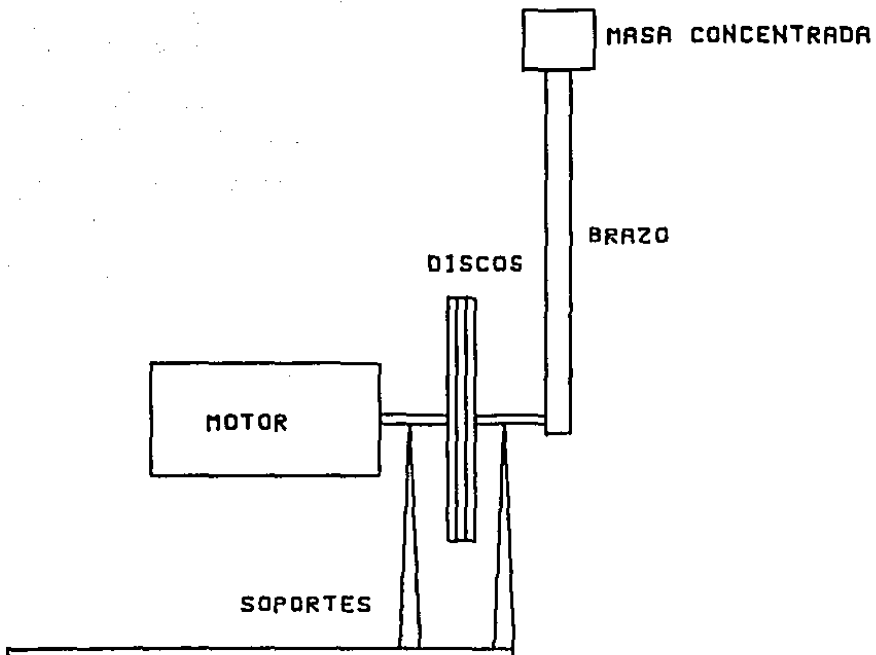


FIG. 7.1 ARREGLO DE CARGAS DEL SISTEMA

Integración de las ecuaciones de movimiento

La integración de las ecuaciones de movimiento se realizó con un método Runge-Kutta de segundo orden (Refs. 18 y 19). El paso de integración puede variar cada vez que se cambian las constantes C_1 a C_4 que determinan los patrones de aceleración.

Para seleccionar el tamaño del incremento de integración se usó como criterio que, a la máxima velocidad de operación prevista para el intervalo de validez de las constantes mencionadas, fuera posible integrar las ecuaciones al menos diez veces para cada paso del motor. Cuando la velocidad prevista estaba por abajo de un umbral (1000 pasos/segundo) se tomaba como paso de integración el correspondiente a dicho umbral.

Este criterio se validó realizando pruebas con pasos de integración menores y observando que los resultados obtenidos no cambiaban de manera significativa.

Con el fin de reducir el tiempo de cómputo, las condiciones deseadas de movimiento no se calculan cada paso de integración, sino que se toma un tiempo múltiplo de este último para hacerlo.

Los resultados de la integración se conservan en un archivo para su posterior análisis. Tampoco en este caso se guardan los resultados de todas las integraciones.

Angulo de conmutación

El ángulo de conmutación se calcula según las ecuaciones (6.18) a (6.20). Normalmente el cálculo se realiza cuando se detecta un cruce por cero en las curvas par-posición angular. Sin embargo, debido a problemas de tipo numérico se incluyeron otras condiciones para calcular dicho ángulo. A continuación se describe el proceso completo:

- a) Si el motor se mueve a velocidades mayores que un umbral determinado, se calcula el ángulo de conmutación normalmente.
- b) Una vez que se ha calculado el ángulo de conmutación se levanta una

ESTÁ TESIS NO DEBE
SALIR DE LA BIBLIOTECA

bandera para indicar su cálculo.

c) Si pasado un cierto número de iteraciones no se ha alcanzado el ángulo de conmutación determinado, y la bandera mencionada en (b) está levantada, se pregunta si el movimiento del motor se encuentra en alguna de las siguientes situaciones:

- La velocidad es menor que el umbral mencionado en (a)
- Ha cambiado la dirección del movimiento

d) Si se cumplen las condiciones de (c) y las condiciones deseadas indican que el motor se debería estar moviendo, se recalcula el ángulo de conmutación.

Tiempo de conmutación

El tiempo de conmutación se registra cuando el ángulo de desplazamiento real es mayor o igual, en valor absoluto, que el ángulo de conmutación que se haya calculado.

Cuando en el proceso descrito en el párrafo anterior se pasa varias veces por los puntos (c) y (d), el par requerido aumenta, hasta que se hace igual al máximo par que puede proporcionar el motor. En estos casos el ángulo de conmutación coincidirá con el ángulo corriente y la conmutación ocurrirá instantáneamente. Esta situación se presenta para todos los arranques del motor.

SIMULACION DE LAS TRAYECTORIAS

Este programa es una reproducción de las partes de cálculo de condiciones deseadas, parámetros e integración de las ecuaciones de movimiento descritas en el inciso anterior. Su funcionamiento grosso modo es como sigue.

La integración de las ecuaciones de movimiento se realiza con un paso de integración menor o igual que el menor que se utilizó en la generación de la tabla de tiempos de conmutación. Para cada paso de integración se revisa que el tiempo de simulación no sea mayor que el tiempo de la siguiente conmutación por realizar. En caso contrario se realiza la conmutación. Los resultados de la simulación se guardan con el mismo

criterio que en el programa anterior.

Cuando la simulación se realiza para verificar la robustez de la secuencia de tiempos de conmutación para un juego de parámetros diferente del original, los parámetros correspondientes deben cambiarse en el archivo de datos.

PROGRAMAS AUXILIARES

Existe un programa auxiliar que permite generar las tablas para las condiciones deseadas de movimiento. Este programa pregunta por los valores de las constantes de aceleración, el tiempo a partir de cual son válida y el el paso de integración que se usará durante el intervalo de validez de dichas constantes.

Existe otro programa para modificar el archivo de parámetros de la simulación que al ejecutarse permite cambiar con facilidad cualquier parámetro.

Todos los programas descritos en este capítulo se codificaron en Pascal (Ref. 20) y se implantaron en una microcomputadora Apple II (Refs. 21 y 22). Los textos se incluyen en el anexo A.

8. BANCO DE PRUEBAS.

En este capítulo se describe el banco de pruebas para motores de pasos diseñado y construido para validar experimentalmente los resultados obtenidos. El banco se controla desde una microcomputadora y permite medir la respuesta dinámica de motores sujetos a distintas técnicas de control. El funcionamiento del banco se realiza a través de un conjunto de programas que ejecutan las siguientes tareas:

- 1) Envío de pulsos a los motores de pasos según los tiempos de conmutación.
- 2) Medición de posición y velocidad en movimientos de pequeña o gran magnitud.
- 3) Pruebas de los dispositivos de medición.
- 4) Presentación gráfica de resultados.

El banco se desarrolló con base en tres subsistemas: mecánico, de control y de medición. En la Fig. 8.1 se muestra un diagrama de bloques de la instalación, los diferentes subsistemas están integrados como sigue:

Subsistema mecánico.- lo integran aquellos bloques que están en movimiento, es decir, el rotor del motor, el juego de cargas y el detector de posición.

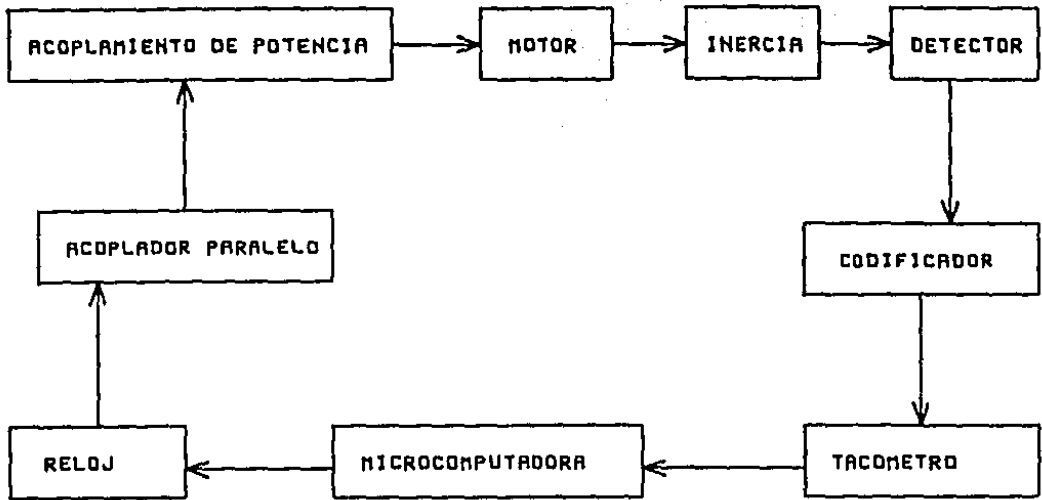


FIG. 8.1 DIAGRAMA DE BLOQUES DEL BANCO DE PRUEBAS

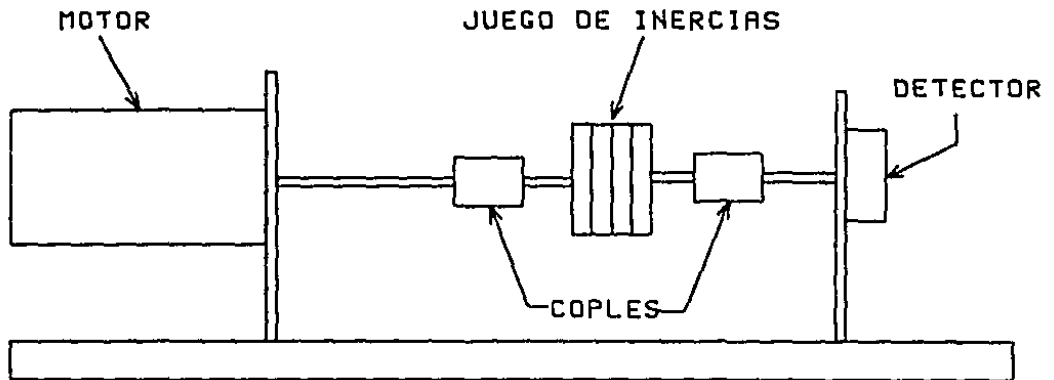


FIG. 8.2 ARREGLO DEL SUBSISTEMA MECANICO

Subsistema de control.- lo forman todos aquellos componentes dirigidos a producir las señales eléctricas que permiten el movimiento del motor. En este caso lo integran un reloj, un acoplador paralelo y el controlador del motor de pasos.

Subsistema de medición.- es aquel que permite obtener información acerca del movimiento del motor. Esta constituido por un codificador y un tacómetro digital.

Los subsistemas de control y medición se manejan a través de un microcomputador Apple II en la que se implantaron los programas necesarios para manejarlos. En los siguientes incisos se describe con mayor amplitud cada subsistema, así como también los distintos programas que ejecutan los experimentos con los motores de pasos.

SUBSISTEMA MECANICO

El subsistema mecánico se coloca sobre un banco. Sus diferentes componentes se unen por medio de coples. El banco puede soportar pruebas de motores que proporcionen pares menores que 19 Nm.

El juego de cargas consiste de un conjunto de discos de acero y aluminio colocados sobre una flecha de fácil desmonte que varía la inercia que debe mover el motor. Es posible también acoplar la flecha del motor con un reductor de velocidad y colocar a la salida de éste discos de acero que cumplan la función descrita. En el anexo D se encuentran las especificaciones de las componentes mecánicas del banco de pruebas.

La salida del sistema de cargas se acopla con un detector de posición relativa de tipo optoelectrónico. Se utilizó el modelo HEDS-5000 de Hewlett-Packard. Este detector entrega quinientos pulsos eléctricos por revolución del motor a través de dos canales defasados 90° eléctricos. En la Fig. 8.2 se muestra un diagrama del arreglo del subsistema mecánico.

SUBSISTEMA DE CONTROL

Como se mencionó, este subsistema está integrado por el reloj, el acoplador paralelo y el acoplamiento de potencia para los motores de pasos. A continuación se describe brevemente cada componente.

Reloj

El reloj que genera señales según los tiempos en que deban enviarse pulsos a los motores de pasos se construyó con base en la componente MC6840 de Motorola (Ref. 23) que tiene tres contadores de 16 bits cuyo valor se decrementa con una señal externa de sincronía. Se utilizó un arreglo en cascada de dos de estos contadores. El primero se alimenta con el reloj de sincronía de la microcomputadora (que posee un periodo aproximado de 1 microsegundo) y produce señales de sincronía con periodos de uno, diez, cien y mil microsegundos que alimentan al segundo contador. De esta forma se pueden lograr señales de tiempo separadas por periodos desde 1 microsegundo hasta 65 segundos, aproximadamente. En la Tabla 8.1 se muestran los rangos de las señales producidas incluyendo su precisión.

La señal del reloj produce una interrupción al microprocesador que al detectarla ejecutará una rutina para enviar por el acoplador en paralelo el pulso eléctrico correspondiente.

Acoplador paralelo

El acoplador paralelo se implantó con base en un alimentador de 2 bits que mantiene estable el valor de la salida que se controla con operaciones de escritura del microprocesador. Se utilizaron como biestables dos de los anunciadores que provee la Apple II (Ref. 24).

Tanto el reloj como el acoplador paralelo están colocados en las ranuras para interfase de la microcomputadora (Ref. 24).

Acoplamiento de potencia

El acoplamiento de potencia que se usó para el motor de pasos es comercial. Se utilizó el modelo TBM-105 de Superior Electric Co. Es de tipo voltaje dual y permite mover los motores bajo prueba hasta 5000 pasos por segundo. El acoplamiento impone como limitación el empleo de motores de pasos de tipo imán permanente con dos fases bipartidas, que es el tipo más usado en la actualidad. Es posible sustituir este acoplamiento por cualquier otro que requiera para su manejo de pulsos eléctricos TTL. En la Ref. 6 se describen con amplitud los diversos tipos de acoplamientos existentes.

DESDE	HASTA	UNIDADES	ERROR
1	63 536	MICROSEGUNDOS	+/- 1
10	635 960	MICROSEGUNDOS	+/- 10
100	6 359 800	MICROSEGUNDOS	+/- 100
1	63 536	MILISEGUNDOS	+/- 1

TABLA 8.1 PRECISION DE LOS PERIODOS PARA ENVIO DE PULSOS A LOS MOTORES DE PASOS

B \ A	0	1
0->1	I	D
1->0	D	I

A \ B	0	1
0->1	D	I
1->0	I	D

A Y B SENALES
DEL CODIFICADOR

I - IZQUIERDA
D - DERECHA

TABLA 8.2 INTERPRETACION DE LAS SENALES DEL CODIFICADOR

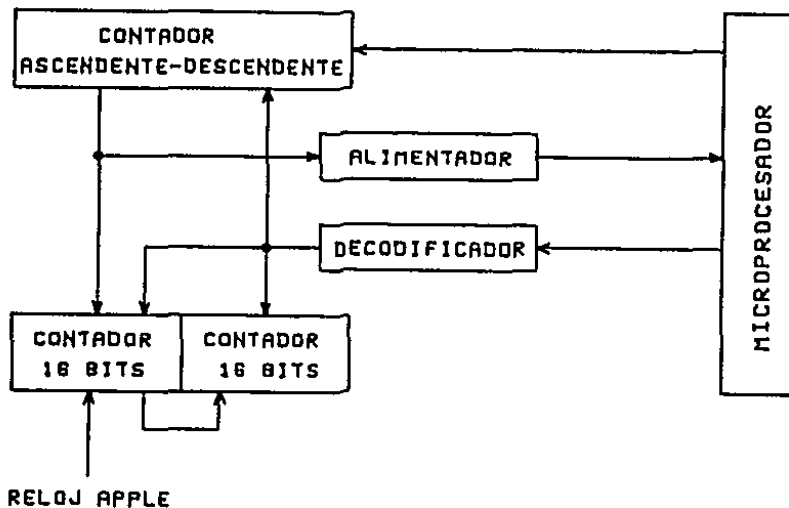


FIG. 8.3 DIAGRAMA DE BLOQUES DEL TACOMETRO DIGITAL

En el anexo C se encuentran los diagramas de conexiones que corresponden a los componentes de este subsistema y las especificaciones más importantes del acoplamiento de potencia.

SUBSISTEMA DE MEDICION

Está integrado por el codificador y el tacómetro digital, la descripción grosso modo de los mismos se presenta a continuación.

Codificador

El codificador recibe los pulsos eléctricos de los dos canales del detector de posición. A partir de estas señales genera otras dos que indican movimientos a la izquierda o a la derecha del motor también a través de pulsos eléctricos. En la Tabla 8.2 se muestran los diagramas de interpretación de las señales del detector. Como puede notarse su diagrama de transición de estados corresponde a un autómata finito.

La resolución del codificador es de 1/2000 de revolución en ambas direcciones que corresponde a todas las transiciones que se presentan para dos bandas ópticas con 500 marcas cada uno.

En el anexo C se encuentran las hojas de especificaciones del detector de posición usado y del autómata finito que se construyó para codificar las salidas del primero.

Tacómetro digital

El tacómetro digital es el dispositivo más importante de todos los que se contruyeron. Su función es recibir las señales provenientes del codificador y miden el tiempo que transcurre entre una o varias de ellas. Consta de dos unidades idénticas, por lo que en adelante sólo se describirá una de ellas. La razón para esta duplicación estriba en que bajo ciertas condiciones anormales, el motor se moverá en la dirección contraria a la esperada y no es posible predecir el momento en que ello sucederá.

En la Fig. 8.3 se muestra un diagrama de bloques de una unidad del tacómetro digital que consta de un contador ascendente-descendente de 12 bits, de dos contadores descendentes de 16 bits y de un conjunto de decodificadores, biestables y compuertas tres estados que lo conectan al microprocesador.

Los contadores ascendente-descendentes se forman con tres circuitos

74LS193 en cascada. Las señales de salida del codificador se conectan a las señales cuenta arriba y cuenta abajo de los contadores invirtiendo su papel en cada tacómetro. De esta forma el contenido de los contadores aumenta en un tacómetro mientras que disminuye en el otro. La señal de cuenta mínima se conecta a los contadores de 16 bits mencionados y además produce una interrupción al microprocesador cuando se filtra a través de un biestable.

La medición de tiempo se realiza en una componente INTEL 8253 (Ref. 25). Nuevamente se utilizan dos contadores de 16 bits en cascada. El primero de ellos se alimenta también con el reloj de sincronía de la Apple II y su salida sirve de sincronía al segundo.

El resto de los elementos del tacómetro permite que el microprocesador accese a los contadores o relojes, o bien interroge para conocer cual tacómetro produjo la señal de interrupción.

El funcionamiento del tacómetro es como sigue: se precargan los contadores ascendente-descendentes con el número de eventos que se desea medir. Cada evento corresponde a 1/2000 de revolución de detector de posición (que corresponde a 1/10 de paso para los motores que se probaron). Acto seguido se desinhibe el funcionamiento de los contadores de 16 bits. Cuando se presenta una señal de cuenta mínima, ésta inhibe a los contadores que miden el tiempo y avisa al microprocesador. De esta forma el tiempo medido en los contadores de tiempo es el que transcurrió para que se midiesen la cantidad de eventos deseada, sin tomar en cuenta las oscilaciones de pequeña amplitud que es posible se presenten en el movimiento de los motores de pasos y que se filtran a través de los contadores ascendente-descendentes.

Para las pruebas del conjunto codificador-tacómetro se construyó un emulador electrónico del detector de posición con el que fue posible verificar el funcionamiento.

De nueva cuenta en el anexo C se encuentra la descripción del tacómetro digital y el emulador del detector de posición.

PROGRAMAS PARA CONTROLAR EL BANCO DE PRUEBAS.

Los programas para el manejo del banco de pruebas se implantaron en el

sistema operativo de Pascal de la Apple II y se codificaron en lenguajes Pascal y ensamblador. A continuación se encuentra su descripción.

Programa para medición de movimientos grandes

A partir de la lista de tiempos que generó el programa de simulación del movimiento que se describió en el capítulo anterior, este programa controla simultáneamente los subsistemas de control y medición. Para el primero, carga el primer y segundo contador de tal forma que produzcan una señal de interrupción al microprocesador en el momento de envío de un pulso a los motores de pasos. En el segundo subsistema el programa precarga los contadores ascendente-descendente según la magnitud de las muestras que se desea tomar, arranca los relojes al recibir una señal de inicio de experimento y coloca en zonas conocidas de memoria el resultado de las mediciones.

El programa itera sobre la lista de tiempo hasta agotarlo o bien concluye cuando ha tomado un número de muestras predeterminado. Adicionalmente, verifica una señal que indica paro forzoso del experimento. Al concluir las mediciones avisa sobre la forma en que concluyó el experimento y almacena en disco los resultados.

Programa para medición de eventos pequeños

Este programa se realizó para medir la respuesta del motor en un sólo paso con el fin de determinar la validez de las suposiciones efectuadas en el modelo matemático. Se envía un paso al motor y se mide el tiempo de cualquier evento que exceda la resolución del detector en ambas direcciones. Los resultados se almacenan también en disco.

Programa de pruebas

Está dirigido a comprobar el funcionamiento del reloj y del conjunto codificador-tacómetro. Para el primero, lo obliga a producir un tren de pulsos de frecuencia conocida que puede ser analizado en un osciloscopio o en un frecuencímetro de alta resolución.

El codificador y tacómetro se prueban de dos maneras. En la primera se emplea el emulador del detector de posición y se lo hace funcionar a una velocidad conocida. La segunda prueba consiste en alimentar el motor de pasos con un generador de pulsos a una frecuencia predeterminada. En ambos casos se toman mediciones y se contrastan los resultados obtenidos

contra las velocidades de las fuentes que los produjeron.

La precisión obtenida para todos los casos fué menor que 0.1%.

Programa para graficación de resultados

Este programa tiene por objeto elaborar gráficas con base en los archivos en disco que se produjeron en los programas anteriores. Se utiliza el sistema para gráficas de alta resolución de la Apple II, sobre el que se implantó una unidad (conjunto de programas) para facilitar el manejo de la graficación y reducir en todos los casos la producción de una gráfica al llamado de un procedimiento. Por otro lado se producen copias en papel de estas gráficas en una impresora ATI II. En el capítulo 9 se muestran ejemplos de los resultados obtenidos.

En el anexo B de este escrito se encuentran los listados de todos los programas para computadora digital que aquí se describieron.

9. RESULTADOS

En este capítulo se presentan los resultados obtenidos al aplicar la técnica descrita en los capítulos 5 y 6. Se muestran siete ejemplos significativos de los experimentos realizados. Los datos para cada experimentos se encuentran en el anexo D.

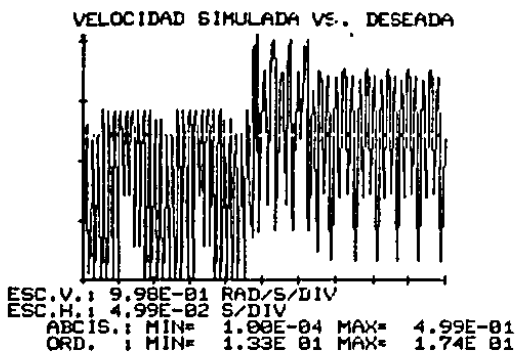
En todos los casos se presentan las siguientes gráficas:

- posición real y posición deseada vs. tiempo
- velocidad real y velocidad deseada vs. tiempo
- posición simulada y posición deseada vs. tiempo
- velocidad simulada y velocidad real vs. tiempo

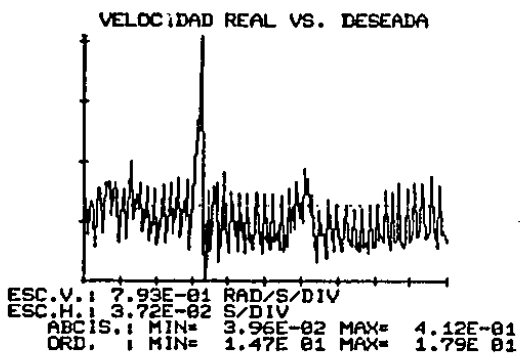
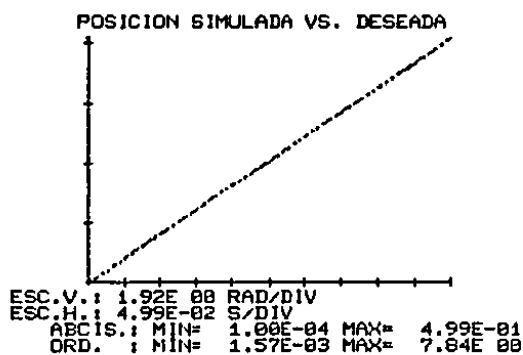
Las posiciones y velocidades reales corresponden a las que se midieron en el banco de pruebas, mientras que las simuladas se obtuvieron del programa de simulación descrito en el capítulo 7. Las líneas punteadas en las gráficas corresponden siempre a las condiciones deseadas.

Experimento 1: movimiento a velocidad constante

El objetivo del experimento era mover el motor de pasos a una velocidad de 1500 pasos/segundo durante medio segundo. La Fig. 9.1 muestra los resultados obtenidos. El desempeño del motor es correcto y los hechos más notables son: las oscilaciones de velocidad reales son menores que



(a)



(c)

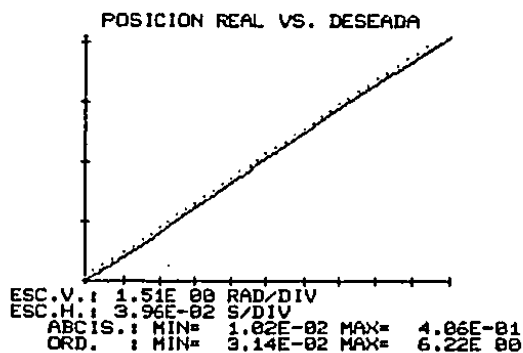


Fig. 9.1 Resultados del Experimento 1

- a) Velocidad simulada b) Posición simulada
 c) Velocidad real d) Posición real

las simuladas y que existe un pequeño error de estado estable en el seguimiento de posición.

Experimento 2: movimiento uniformemente acelerado y a velocidad constante

En este experimento se pretendía acelerar durante 0.1 segundos un motor hasta llevarlo a 3000 pasos/segundo y mantenerlo en esa velocidad durante 0.4 segundos.

La Fig. 9.2 muestra que el resultado es adecuado. En este caso se observa que las oscilaciones de velocidad reales son mayores que las simuladas.

Experimento 3: movimiento uniformemente acelerado, a velocidad constante y uniformemente desacelerado.

En este experimento se parte de tener el motor en reposo, acelerarlo durante 0.1 segundos, mantener su velocidad por 0.3 segundos y finalmente frenarlo en 0.1 segundos.

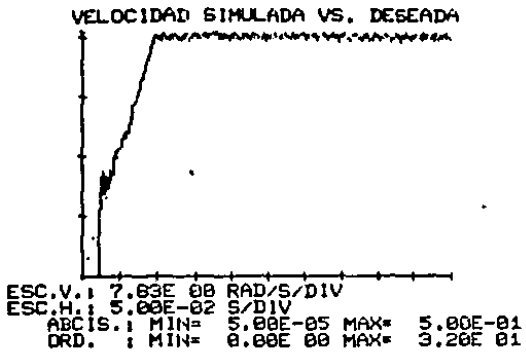
La Fig. 9.3 muestra los resultados del experimento. De nueva cuenta se observa que las oscilaciones de velocidad son mayores en la realidad que durante la simulación.

Experimento 4: movimiento uniformemente acelerado y desacelerado

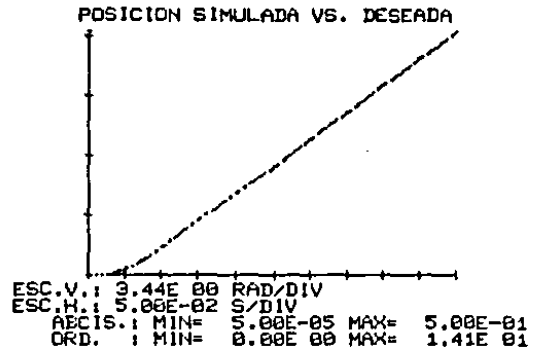
En este caso se aceleró el motor durante 0.15 segundos y se le frenó en el mismo lapso hasta llevarlo al reposo de nueva cuenta. Los resultados se grafican en la Fig. 9.4. El comportamiento simulado y real concuerdan básicamente.

Experimento 5: movimiento uniformemente acelerado, desacelerado y uniformemente acelerado

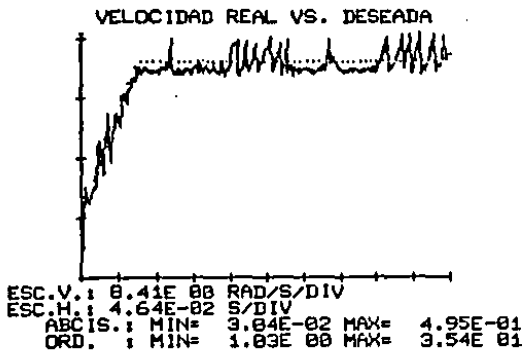
En este caso se aplican aceleraciones positivas y negativas. Se acelera al motor durante 0.15 segundos, se deacelera 0.3 segundos y se acelera de nuevo 0.15 segundos. Las posiciones inicial y final deben coincidir, por lo que debe ocurrir un cambio de dirección a la mitad del movimiento. Los resultados están contenidos en la Fig. 9.5.



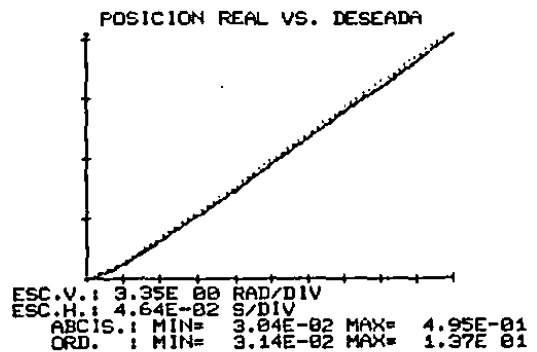
(a)



(b)



(c)

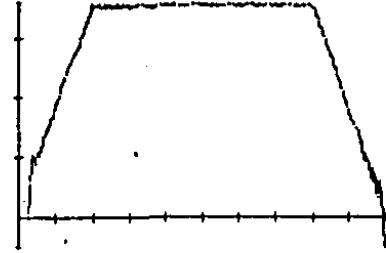


(d)

Fig. 9.2 Resultados del experimento 2

- a) Velocidad simulada b) Posición simulada
 c) Velocidad real d) posición real

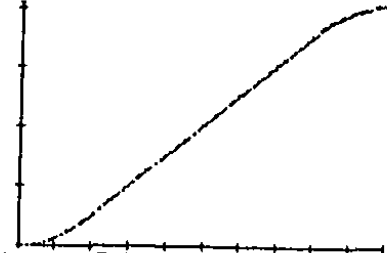
VELOCIDAD SIMULADA VS. DESEADA



(a)

ESC.V.: 1.32E 01 RAD/S/DIV
 ESC.H.: 5.00E-02 S/DIV
 ABCIS.: MIN= 5.00E-05 MAX= 5.00E-01
 ORD.: MIN= -6.54E 00 MAX= 4.73E 01

POSICION SIMULADA VS. DESEADA



(b)

ESC.V.: 4.60E 00 RAD/DIV
 ESC.H.: 5.00E-02 S/DIV
 ABCIS.: MIN= 5.00E-05 MAX= 5.00E-01
 ORD.: MIN= 0.00E 00 MAX= 1.80E 01

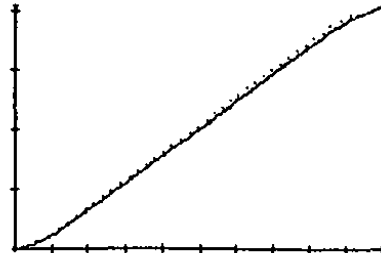
VELOCIDAD REAL VS. DESEADA



(c)

ESC.V.: 1.11E 01 RAD/S/DIV
 ESC.H.: 4.39E-02 S/DIV
 ABCIS.: MIN= 2.92E-02 MAX= 4.68E-01
 ORD.: MIN= 3.23E 00 MAX= 4.87E 01

POSICION REAL VS. DESEADA

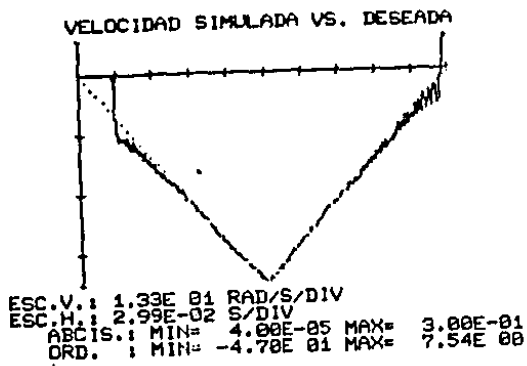


(d)

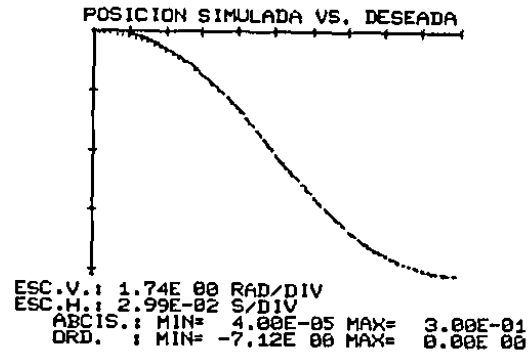
ESC.V.: 4.49E 00 RAD/DIV
 ESC.H.: 4.44E-02 S/DIV
 ABCIS.: MIN= 9.92E-02 MAX= 4.73E-01
 ORD.: MIN= 9.42E-02 MAX= 1.85E 01

Fig. 9.3 Resultados del experimento 3

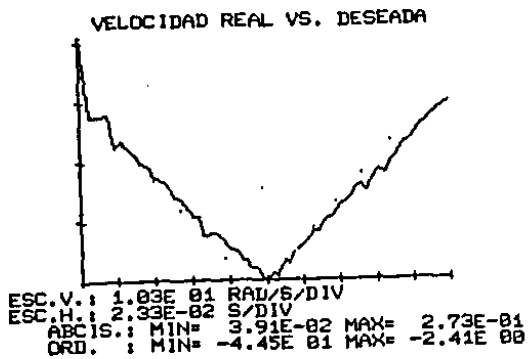
- a) Velocidad simulada b) Posición simulada
 c) Velocidad real d) Posición real



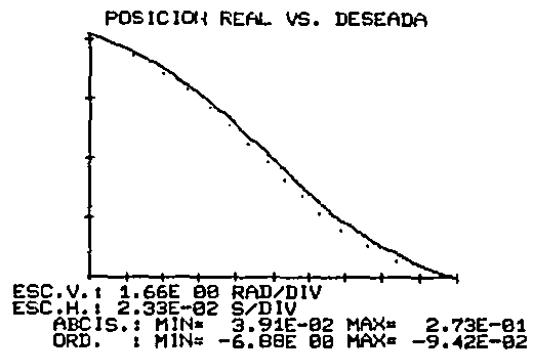
(a)



(b)



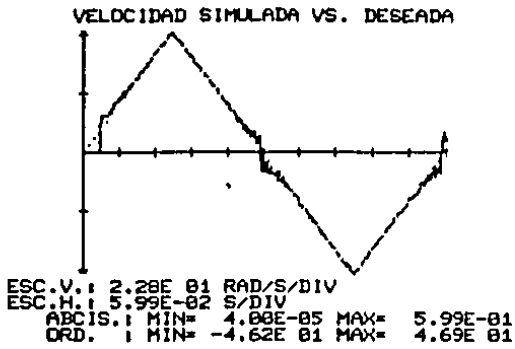
(c)



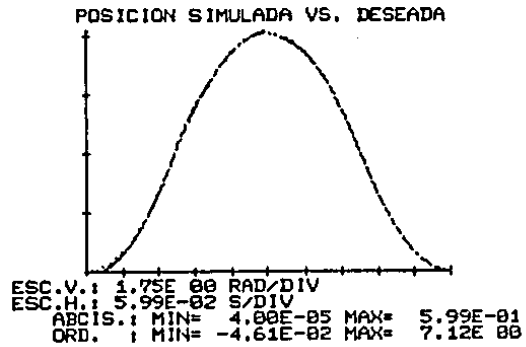
(d)

Fig. 9.4 Resultados del experimento 4

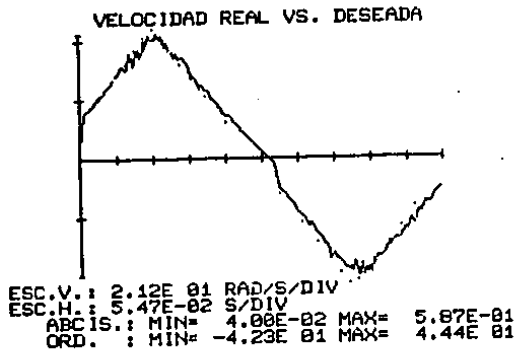
- a) Velocidad simulada b) Posición simulada
 c) Velocidad real d) Posición real



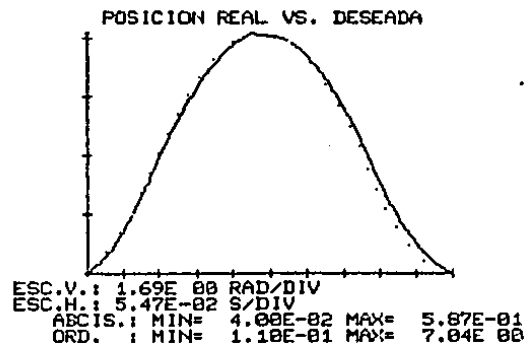
(a)



(b)



(c)



(d)

Fig. 9.5 Resultados del experimento 5

- a) Velocidad simulada b) Posición simulada
 c) Velocidad real d) Posición real

Experimento 6: movimiento con aceleración lineal

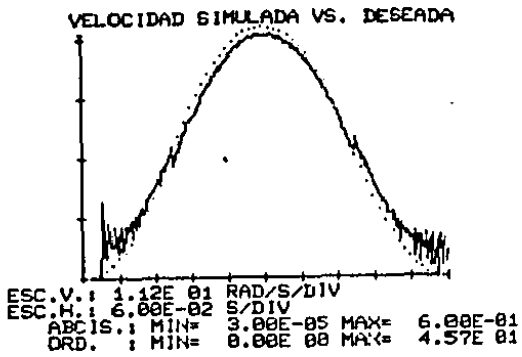
Para este experimento se introdujo una aceleración de forma más compleja. La velocidad debe describir una parábola y la posición una cúbica. Los resultados se muestran en las Fig. 9.6.

Experimento 7: movimiento con aceleración lineal y cambio de inercia

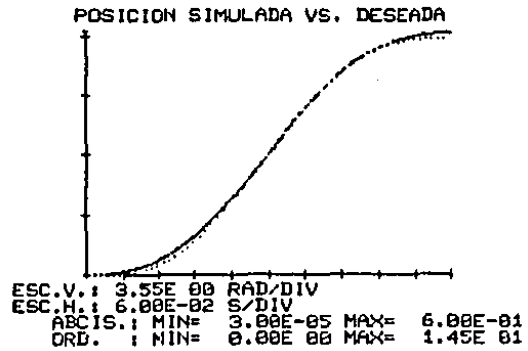
En este caso se prescribió al motor un movimiento igual al que se impuso en el experimento 6, pero se realizaron cambios en la inercia real, en relación con la que se usó para generar la tabla de tiempos. La Fig. 9.7 muestra los resultados.

Experimento 8: respuesta a paso

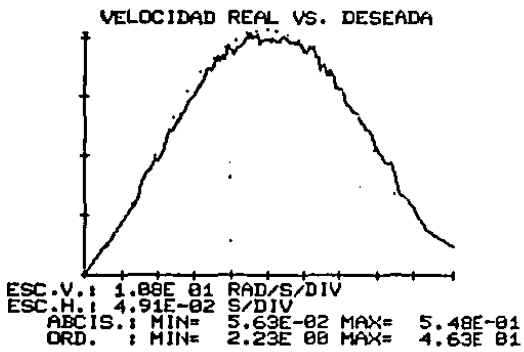
Este experimento tenía como objetivo obtener la curva de respuesta de un motor de pasos a una conmutación simple. Se pretendía verificar si el modelo de segundo orden propuesto para el comportamiento del motor correspondía con el respuesta real. La Fig. 9.8 muestra el resultado obtenido. Puede notarse que la forma de la respuesta coincide con la esperada, aunque se detectaron dos problemas. El primero fue una leve asimetría entre los dos canales de detector de posición empleado, que explica que los puntos se asocien por parejas. La segunda anomalía detectada fue una zona de transición, o de cambio de pendiente, cuya presencia se debe a la influencia del tipo de acoplamiento de potencia sobre la forma de la respuesta. En este caso se usó un acoplador de votaje dual, y la zona de transición corresponde a la desconexión de la fuente de alto voltaje y la conexión de la de bajo.



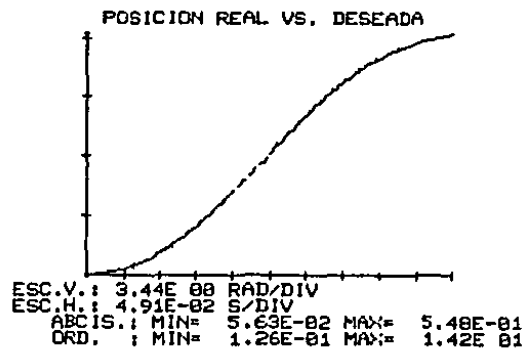
(a)



(b)



(c)

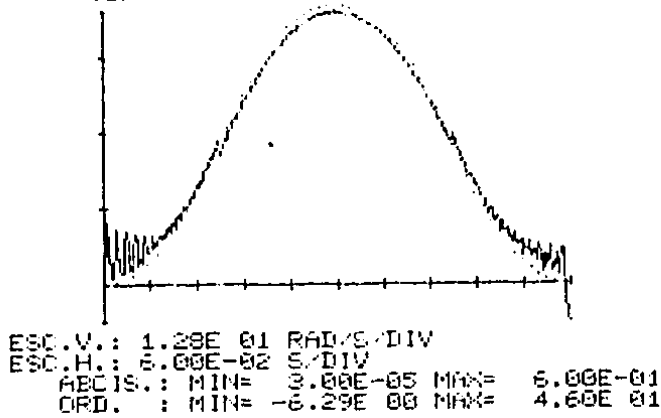


(d)

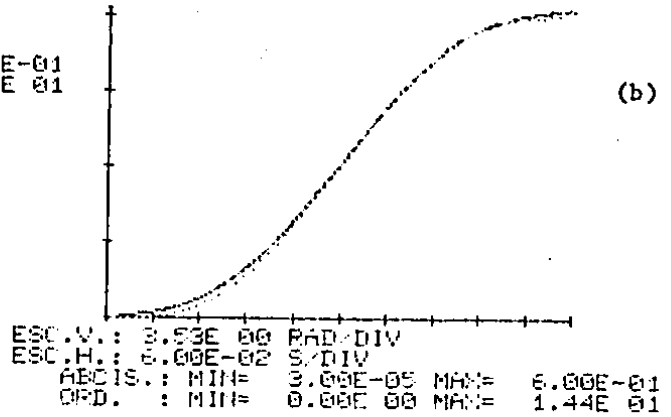
Fig. 9.6 Resultados del experimento 6

- a) Velocidad simulada b) Posición simulada
 c) Velocidad real d) Posición real

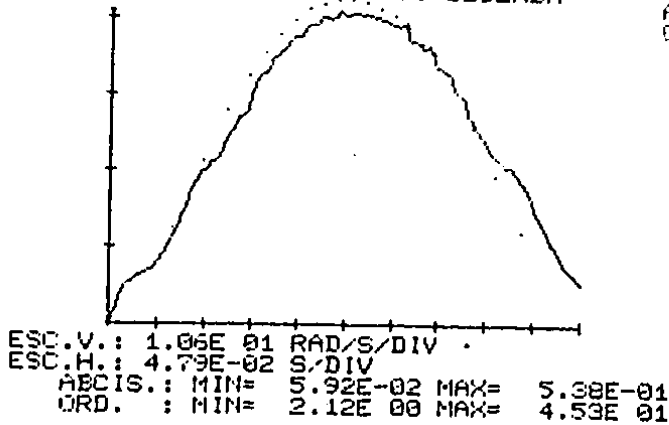
VELOCIDAD SIMULADA VS. DESEADA



POSICION SIMULADA VS. DESEADA



VELOCIDAD REAL VS. DESEADA



POSICION REAL VS. DESEADA

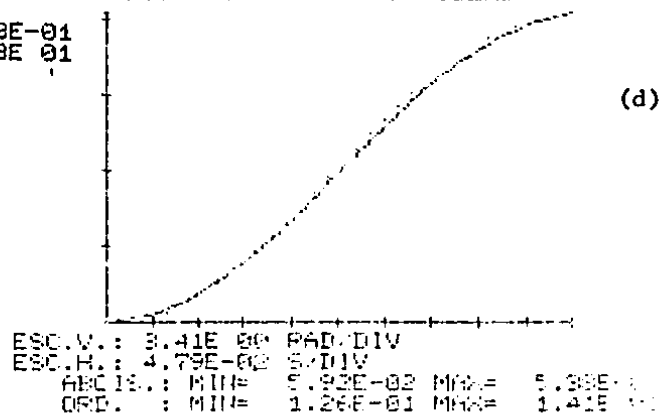
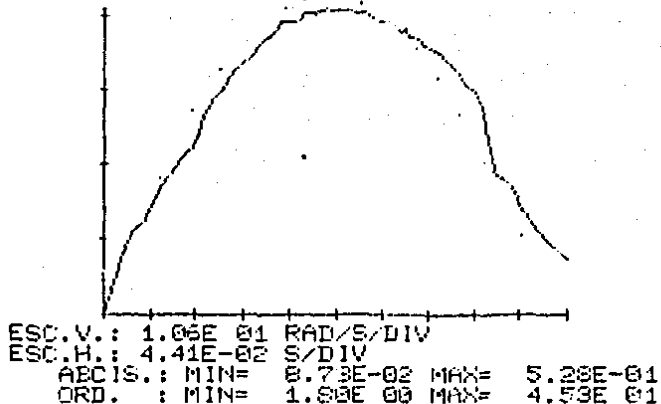


Fig. 9.7 Resultados del experimento 7

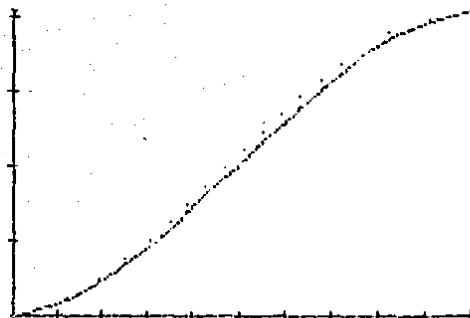
- a) Velocidad simulada b) Posición simulada
 c) Velocidad real d) Posición real

VELOCIDAD REAL VS. DESEADA



$\Delta j + 16$

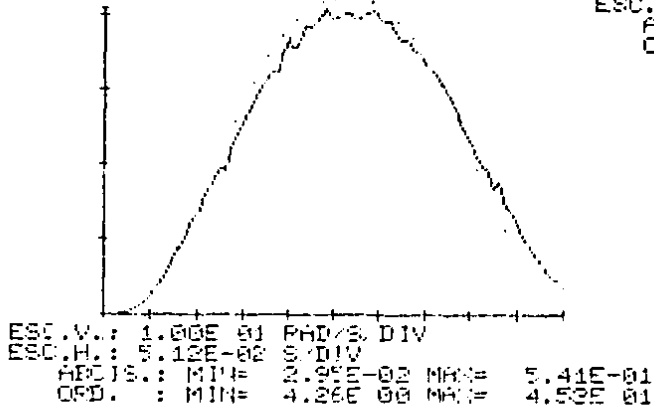
POSICION REAL VS. DESEADA



ESC.V.: 3.38E 00 RAD/DIV
 ESC.H.: 4.41E-02 S/DIV
 ABCIS.: MIN= 0.73E-02 MAX= 5.28E-01
 ORD. : MIN= 1.57E-01 MAX= 1.40E 01

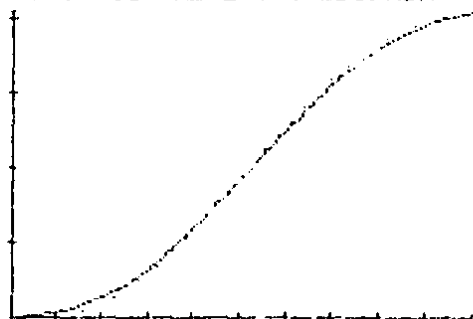
$\Delta j + 16$

VELOCIDAD REAL VS. DESEADA



$\Delta j + 31$

POSICION REAL VS. DESEADA

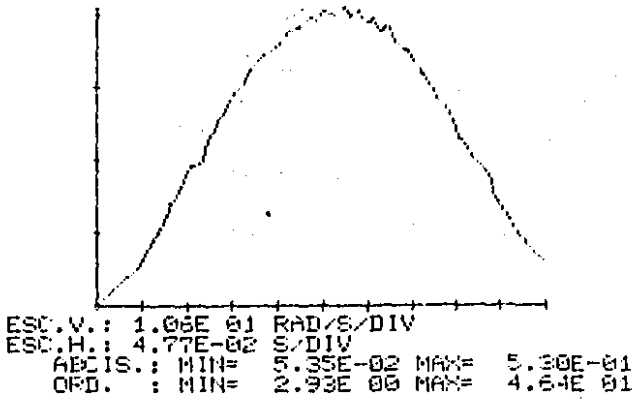


ESC.V.: 3.41E 00 RAD/DIV
 ESC.H.: 5.12E-02 S/DIV
 ABCIS.: MIN= 2.95E-02 MAX= 5.41E-01
 ORD. : MIN= 1.26E-01 MAX= 1.41E 01

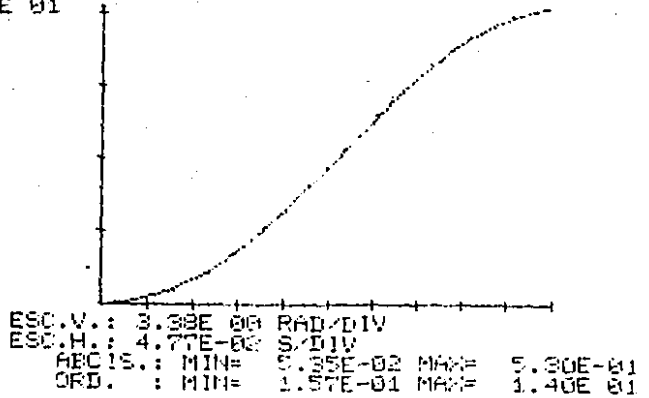
$\Delta j + 31$

Fig. 9.7 Resultados del experimento 7 (continuación)

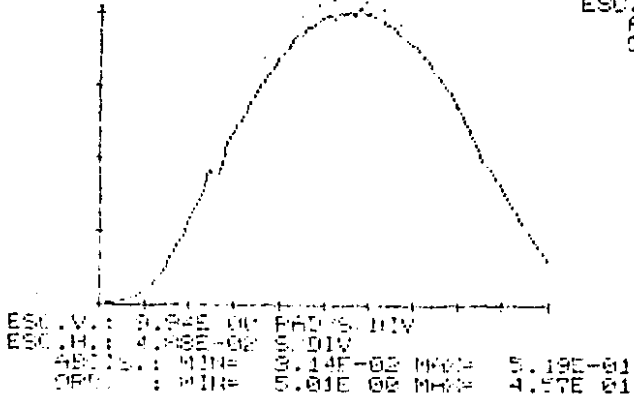
- a) Velocidad real con incremento inercia $\Delta j = + 16\%$ b) Posición real con incremento inercia $\Delta j = + 16\%$ c) Velocidad real con incremento inercia $\Delta j = + 31\%$ d) Posición real con incremento inercia $\Delta j = + 31\%$.



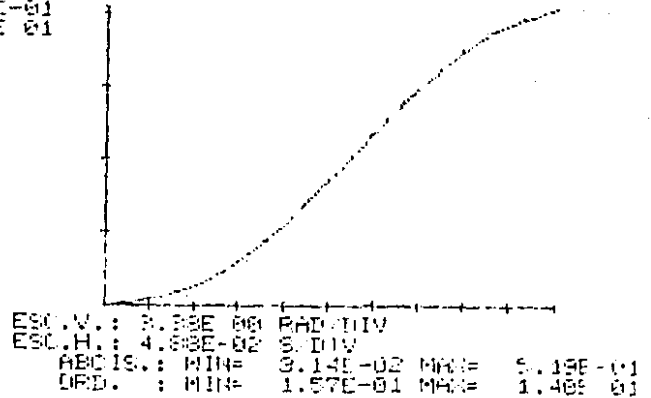
a) $\Delta j = -14$



b) $\Delta j = -14$



c) $\Delta j = -29$



d) $\Delta j = -29$

Fig. 9.7 Resultados experimento 7 (valor final)

- a) Velocidad real; decremento de inercia $\Delta j = -14\%$ b) Posición real; decremento de inercia $\Delta j = -14\%$ c) Velocidad real; decremento de inercia $\Delta j = -29\%$ d) Posición real; decremento de inercia $\Delta j = -29\%$.

RESPUESTA A PASO

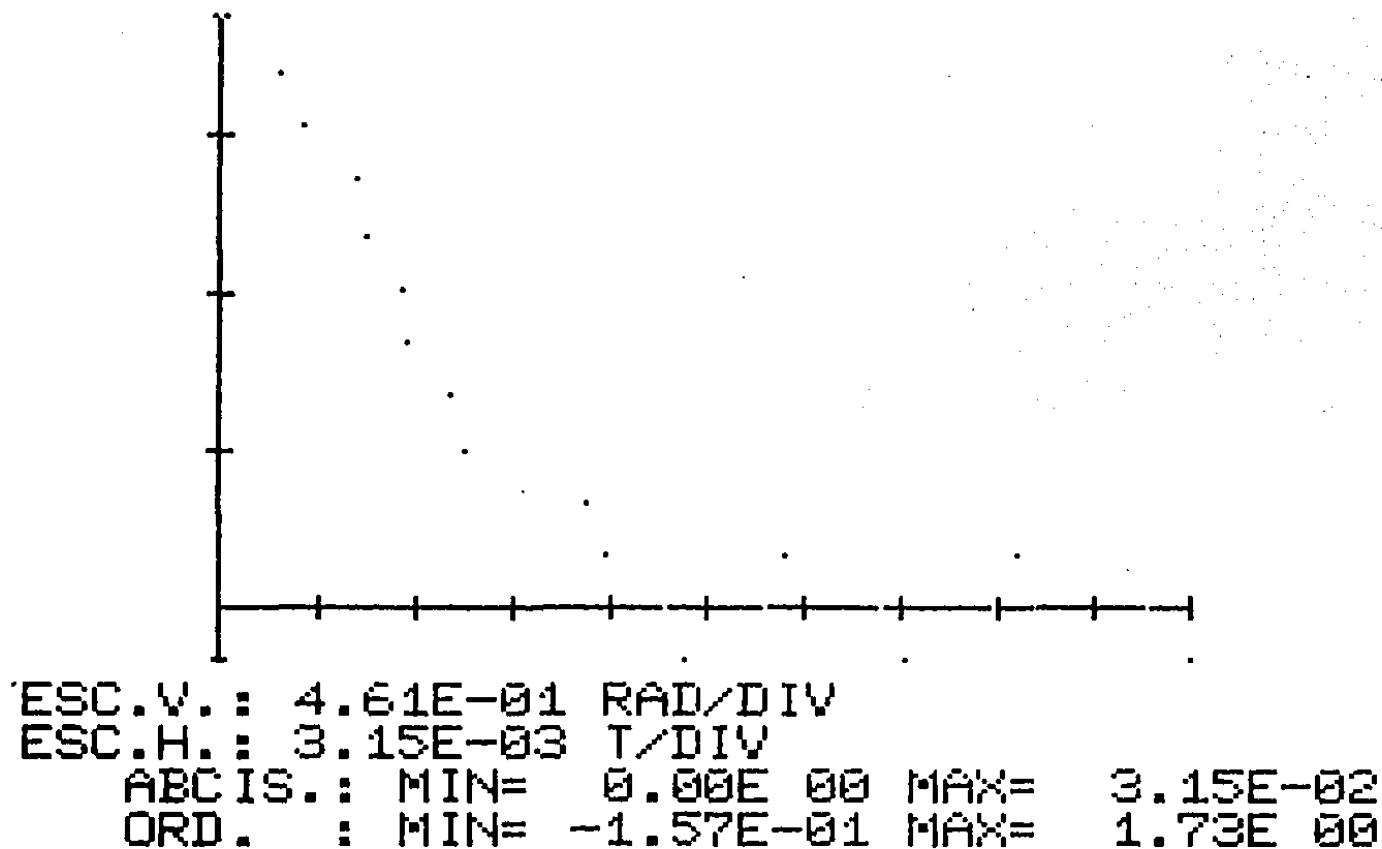


Fig. 9.8 Resultados experimento 8. Respuesta a paso

10. CONCLUSIONES

Este capítulo presenta las conclusiones del trabajo, estas se pueden dividir en las relativas a la evaluación de la técnica de control propuesta y aquellas que se refieren a condiciones generales para el empleo de motores de pasos. Se incluye además recomendaciones sobre líneas de trabajo que conviene desarrollar para un mejor aprovechamiento de los motores de pasos.

Técnica de control propuesta

Del análisis de los resultados mostrados en el capítulo anterior se puede concluir que la técnica propuesta cumple con las expectativas que motivaron el trabajo aquí descrito. Se pudo imponer al motor de pasos patrones de movimiento más complicados y de mayor magnitud que los que se reportan en la literatura. La coincidencia de los resultados reales con los deseados está dentro de márgenes de tolerancia apropiados.

La técnica permite manejar de manera natural el problema del arranque de los motores de pasos, que es una de las limitantes importantes que presentan las demás técnicas que se describieron en el capítulo 4. Estos problemas en el arranque de los motores se deben a la alta aceleración que se obtiene cuando se aplica el primer paso. De cualquier forma, bajo el criterio de control empleado, se obtiene el mejor resultado posible.

La presencia en algunos de los experimentos de errores de estado estable entre las posiciones reales y las deseadas, que resulta definitivamente inapropiada, se puede eliminar si se incluye un término integral en la ley de control, o bien si se da mayor valor a la constante que pesa el error de posición.

Condiciones para el empleo de los motores de pasos

Las conclusiones generales sobre el empleo de los motores de pasos son:

i) Si se deben mover cargas viscosas debe emplearse la técnica descrita en el primer inciso del capítulo 4.

ii) Si se desea mover cargas a velocidad constante, se debe usar el criterio de Venkantaratham.

iii) Si se quieren mover cargas inerciales con patrones de movimiento sencillos, la Técnica de Leenhouts es recomendable por que se basa en datos fácilmente asequibles.

iv) Si se desea mover cargas inerciales con patrones arbitrarios de movimiento se debe utilizar la técnica descrita en los capítulos 5 y 6 de este trabajo.

v) En todos los casos es conveniente que la relación par-inercia, o coeficiente de amortiguamiento-inercia para cargas viscosas, tenga un valor mayor que la unidad. Entre mayor este valor, mayor la seguridad de completar los movimientos prescritos sin pérdida de sincronía.

Recomendaciones generales

Las técnicas aquí descritas permiten resolver el problema de control de motores de pasos en malla abierta. A últimas fechas se han empezado a utilizar estos dispositivos en esquemas de malla cerrada (Ref. 26). La razón para ello estriba en el descenso en el costo de la electrónica de control y en que es posible obtener información sobre el desplazamiento de los motores si se mide apropiadamente el voltaje en los embobinados, lo que ahorra los detectores de posición.

Se considera por tanto necesario realizar estudios conducentes al empleo de los motores de pasos como servomecanismos, que pueden competir favorablemente en costo y precisión con los motores de corriente directa.

11. REFERENCIAS

1. L. Alvarez, M. Dovalí, R. Canetti y J. Nieto. Cortadora automática de tubos. Memorias del IX Congreso de la Academia Nacional de Ingeniería. León, Gto. Septiembre 1983. pp. 107-112.
2. L. Alvarez y R. Canales. Diseño y construcción de una cortadora automática de tubos. Informe del Instituto de Ingeniería, UNAM. Abril 1981. 169 pp.
3. L. Alvarez, R. Canales y otros. Modificaciones a la cortadora automática de tubos. Informe del Instituto de Ingeniería, UNAM. Junio 1982. 156 pp.
4. L. Alvarez, R. Canales y otros. Empujador electro-electrónico de envases. Informe del Instituto de Ingeniería, UNAM. Agosto 1982. 349 pp.
5. A. Leenhouts. Stepping motors in industrial motion control. Proceedings of the Joint Automatic Control Conference. San Francisco, USA. 1980. pp. WP10-A.
6. B. C. Kuo. Incremental Motion Systems. SRL Publishing Company. Champaign, Illinois, USA. 1979. pp. 1-45, 114-133.
7. S. Papaioannou. Stepping motors a review. Computer and Electrical Engineering Vol. 7. Great Britain. 1980. pp. 243-266.

8. A. Hughes, P.J. Lawrenson and T.S. Davies. Factors determining high speed torque in hybrid motors. Proceedings, International Conference on Stepping Motors and Systems. Leeds, England. 1976. pp. 150-157.
9. S.H. Pollack. On stability characteristics of permanent-magnet step motors. Proceedings of the Seventh Annual Symposium on Incremental Motion Systems and Devices. Illinois, USA. 1978. pp. 55-62.
10. R. Canales y R. Barrera. Análisis de Sistemas Dinámicos y Control Automático. Ed. Limusa. México. 1980. pp. 193-195.
11. R. Gauthier and others. Stepping motor dynamics and the phase plane. Proceedings of the Joint Automatic Control Conference. San Francisco, USA. 1980. pp. WP10-A.
12. F.M. DiNuzzo. Development of preprogrammed sequences for stepping motors. Proceedings of the Joint Automatic Control Conference. San Francisco, USA. 1980. pp. WP10-D.
13. T.J. Harned. An unique measurement system for experimental phase plane generation. Proceedings of the Joint Automatic Control Conference. San Francisco, USA. 1980. pp. WP10-E.
14. T.R. Fredriksen. Applications of the close-loop stepping motor. IEEE Transactions on Automatic Control. Vol. AC-13 No. 5. USA. October 1968. pp. 464-474.
15. A. C. Leenhouts and C. S. Wilson. Torque control of P.M. step motors in high performance open loop applications. Proceedings of the Symposium on Incremental Motion Systems. Illinois, USA. 1979. pp. 1-15.
16. J.L. Willems. Stability Theory of Dynamical Systems. Nelson. London, England. 1970. pp. 145-169.
17. J.J. D'Azzo and C. Houpis. Linear Control Analysis and Design. Mc. Graw-Hill. USA. 1981. pp. 485-522.
18. B. Carnahan, H. A. Luther and J. O. Wilkes, Applied Numerical Methods. John Wiley 1969. U.S.A.

19. J. Stoer and R. Burlisch. Introduction to Numerical Analysis. Springer-Verlag. New York, USA. 1980. pp. 410-423.
20. K. Jensen and N. Wirth. Pascal: User Manual and Report. Springer Verlag. New York, USA. 1978. 167 pp.
21. Apple Computer, Inc. Apple Pascal: System Reference Manual. Apple Computer, Inc. Cupertino, USA. 1980. 209 pp.
22. Apple Computer, Inc. Apple Pascal: Language Reference Manual. Apple Computer, Inc. Cupertino, USA. 1980. 298 pp.
23. Motorola Inc. The Complete Microcomputer Data Library. Technical Information Center. Motorola Inc. USA. 1978, pp. 1-107 a 1-118.
24. Apple Computer, Inc. Apple Reference Manual. Apple Computer, Inc. Cupertino, USA. 1979. 196 pp.
25. Intel Corp. Component Data Catalog. Literature Department Intel Corp. Santa Clara, USA. 1981. pp. 8-59 a 8-69.
26. S.J. Bailey. Lessening the gap between incremental and continuous motion control. Control Engineering. USA. February 1987. pp. 72-78.
27. K. Venkataratnam and others. Stability of a stepping motor. Proceedings of the IEE. Vol. 113 No. 6, June 1971 pp. 805-812.
28. R. Canales and L. Alvarez-Icaza. Stepping motors control. Proceedings of the IFAC/IFIP Symposium on Real Time Digital Control Applications. Pergamon-Press. USA. 1983. pp. 527-533.

ANEXO A ,

PROGRAMAS PARA SIMULAR EL COMPORTAMIENTO DE LOS MOTORES DE PASOS

Este anexo contiene los listados de los siguientes programas:

MOTOR: genera la lista de tiempos de conmutación.

SIMULA: simula el efecto de la lista sobre el motor con un juego de parámetros distinto.

CURVAS: genera las tablas de condiciones deseadas de movimiento, tiempos iniciales de validez de las constantes e intervalos de integración.

PARAMETRO: modifica cualquier parámetro de los que se emplean para en MOTOR y SIMULA.

SERVICIO: consulta cualquier archivo de texto, enteros o reales y lo presenta de manera flexible.

GRAFSIM: grafica los resultados de las simulaciones

INTCPAR: simula la respuesta del motor a una sola conmutación

PARTETA: grafica las curvas par-posición angular que corresponden a los resultados de MOTOR o SIMULA.

```

(*85*)
(* MOTOR.TEXT *)
*****
(*                                     *)
(*                                     *)
(* PROGRAMA PARA SIMULAR EL CONTROL Y EL COMPORTA- *)
(* MIENTO DE UN MOTOR DE PASOS. *)
(*                                     *)
(* EL PROGRAMA TIENE POR OBJETO GENERAR UNA LISTA *)
(* DE LOS TIEMPOS DE COMPUTACION QUE PRODUZCAN EN *)
(* EN EL MOTOR DE PASOS UN MOVIMIENTO PREDETERMI- *)
(* NADO. *)
(* LOS PULSOS SE GENERAN CON BASE EN EL SIGUIENTE *)
(* PROCEDIMIENTO: *)
(* -SE SIMULA EL COMPORTAMIENTO DE MOTOR AL *)
(* APLICAR UN PASO *)
(* -SE VALUA EL ERROR ENTRE EL COMPORTAMIENTO *)
(* REAL Y EL DESEADO *)
(* -CON BASE EN EL ERROR SE DETERMINA EL MO- *)
(* VIMIENTO EN QUE SE DEBE ENVIAR EL SIGUIENTE *)
(* PULSO *)
(*                                     *)
(*                                     *)
(* LAIL JUL-10-1983 *)
(* PROYECTO 2136 *)
(*                                     *)
*****

```

PROGRAM MOTOR:

USES TRANSCEND: (=LIBRERIA DE FUNCIONES TRANSCENDENTES*)

(* CATALOGO DE VARIABLES *)

CONST P1=3.14159;
 DATOSMAX=50; (=NO. MAXIMO DE PUNTOS EN LAS CONDICIONES DESEADAS*)

VAR

(*VARIABLES RELACIONADOS CON EL MOTOR DE PASOS*)

NFASES(=NUMERO DE FASES DEL MOTOR DE PASOS*)
 %INTEGER;
 RESOLUCION.(=DIMENSION EN RADIANES DEL PASO*)
 R.(=RELACION DEL REDUCTOR DE VELOCIDAD*)
 TMAX.(=PAR MAXIMO QUE PUEDE APLICAR EL MOTOR*)
 AVEL.(=PENDIENTE DE LA RECTA DE DISMINUCION DE PAR SEGUN VELOCIDAD*)
 P1,P2.(=VARIABLES AUXILIARES PARA CALCULAR EL PAR DISPONIBLE*)
 CONT.(=CONTADOR DEL NUMERO DE PASOS ENVIADOS*)

(*VARIABLES RELACIONADOS CON EL SISTEMA DE CARGAS *)

INERCIA.(=INERCIA DEL SISTEMA*)
 D.(=COEFICIENTE DE FRICCION VISCOSA*)
 FRICCION.(=FRICCION DE COULOMB*)
 MO.(=MASA DEL DISCO DE INERCIA*)
 RO.(=RADIO DEL DISCO D INERCIA*)
 M1.(=MASA DEL BRAZO*)
 L1.(=LONGITUD DEL BRAZO*)
 M2.(=MASA CONCENTRADA*)
 L2.(=RADIO DE LA MASA CONCENTRADA*)

(*VARIABLES RELACIONADAS CON LA SIMULACION*)

TAO.(=PAR REQUERIDO*)
 T.(=PAR DISPONIBLE*)
 TMAX.(=PAR DISPONIBLE MAXIMO*)
 ALFAD.(=ACELERACION ANGULAR DESEADA*)
 OMEGAR.(=VELOCIDAD ANGULAR REAL*)
 OMEGANT.(=VELOCIDAD ANGULAR ANTERIOR*)
 OMEGAD.(=VELOCIDAD ANGULAR DESEADA*)
 TETAR.(=POSICION ANGULAR REAL*)
 TETAD.(=POSICION ANGULAR DESEADA*)
 TETAON.(=ANGULO PARA LA COMPUTACION*)
 TIEMPO.(=TIEMPO CORRIENTE*)
 DELTATIC.(=TIEMPO CORRIENTE MENOS TIETAB(NACTUAL)*)
 TOL.(=TOLERANCIA PARA EL CALCULO DE LOS TIEMPOS DE COMPUTACION*)
 SIGANT,SIGACT.(=SIGNO DEL PAR DISPONIBLE ANTERIOR Y CORRIENTE*)
 FRACPASO.(=FRACCION DE PASO ENTERO*)
 REDITE.(=FACTOR DE REDUCCION DEL TIEMPO DE SIMULACION*)
 KP,KV.(=CONSTANTES DE AMPLIFICACION DEL ERROR DE POSICION Y VELOCIDAD*)
 %REAL;

C1,C2,C3,C4.(=CONSTANTES PARA DETERMINAR LA ACELERACION*)
 OMEGATAB.(=TABLA DE VELOCIDADES*)
 TETATAB.(=TABLA DE POSICIONES*)
 HTAB.(=TABLA DE PASOS DE INTEGRACION*)
 TIEMTAB(=TABLA DE TIEMPOS*)
 %ARRAY(1..DATOSMAX) OF REAL;

TIPO.(=TIPO DE COMPUTACION*)
 NITER.(=NUMERO DE ITERACIONES DESDE LA ULTIMA COMPUTACION*)
 NMAX.(=NUMERO MAXIMO DE ITERACIONES SIN COMPUTACION*)
 IMPRESION.(=FRECUENCIA PARA LA SALIDA DE DATOS AL ARCHIVO DE DATOS*)
 CONTIMPRESION.(=ITERACIONES DESDE LA ULTIMA IMPRESION*)
 NACTUAL.(=REGISTRO ACTUAL DE LAS TABLAS DE CONDICIONES*)
 NUMDATOS.(=NO. DE REGISTROS DE LAS TABLAS DE CONDICIONES*)
 DESEADAS.(=FRECUENCIA PARA EL CALCULO DE LAS CONDICIONES DESEADAS*)
 NDESEADAS.(=ITERACIONES DESDE EL CALCULO DE CONDICIONES DESEADAS*)
 BANDERA.(=INDICADOR DE CONDICION DE COMPUTACION*)
 I(=CONTADOR PARA REGISTROS DE TABLAS DE CONDICIONES*)
 %INTEGER;

VELBAJ(=BOOLEAN(=INDICADOR DE VELOCIDAD BAJA))

(*VARIABLES RELACIONADAS CON LA INTEGRACION NUMERICA*)

OMEGA1.(=PRIMERA ESTIMACION DE LA VELOCIDAD ANGULAR*)
 TETA1.(=PRIMERA ESTIMACION DE LA POSICION ANGULAR*)
 H.(=PASO DE INTEGRACION*)
 AX11,AX12,AX21,AX22.(=VARIABLES AUXILIARES EN LA INTEGRACION*)
 FACT(=FACTOR DE AMPLIFICACION DEL PASO DE INTEGRACION*)
 %REAL;

(*VARIABLES AUXILIARES Y APUNTADES A ARCHIVOS*)

MUESTRAS.(=NUMERO DE MUESTRAS DEL RESULTADO DE LA SIMULACION*)
 PASOS(=NUMERO DE PASOS ENVIADOS*)
 %INTEGER;

AO,BO,CO(=REAL(=VARIABLES AUXILIARES PARA LECTURA*))


```

BEGIN(*GRAFICA*)
  WRITELN('GRAFICA');
  AS2:=TIEMPO;
  PUT(AS2);
  AS2:=TETA0;
  PUT(AS2);
  AS2:=TETAR;
  PUT(AS2);
  AS2:=OMEGAD;
  PUT(AS2);
  AS2:=OMEGAR;
  PUT(AS2);
  MUESTRAS:=MUESTRAS+1; (* ACTUALIZA INDICADOR DE MUESTRAS TOMADAS *)

```

```
END(*GRAFICA*)
```

```
(* CALCULA EL MAXIMO PAR PROMEDIO EN FUNCION DE LA VELOCIDAD *)
(* CORRILNIE. *)
```

```
PROCEDURE PARNETO;
```

```
BEGIN(*PARNETO*)
```

```

  TNETO:=(TMAX-A*VEL*ABS(OMEGAR));
  IF TNETO< 0 THEN TNETO:=0; (*ANULA EL PAR A VELOCIDADES ALTAS *)
  TNETO:=TNETO*2/P1;

```

```
END(*PARNETO*)
```

```
(* ZONA PARA EL CALCULO DE LAS CONDICIONES DE CONMUTACION *)
```

```
(* CALCULA EL ANGULO DE CONMUTACION PARA MOVIMIENTOS POSITIVOS *)
```

```
PROCEDURE CALTETA1;
```

```
BEGIN(*CALTETA1*)
```

```
PARNETO>(* PAR PROMEDIO DISPONIBLE *)
```

```

(* CALCULA LA DIFERENCIA ENTRE LA POSICION CORRIENTE Y LA DE EQUILIBRIO *)
(* MAS CERCAIA. *)
  FRACPASO:=(K1*TETAR-CONT*K2)/2/P1;
  FRACPASO:=(FRACPASO-TRUNC(FRACPASO))*2*P1;
  IF FRACPASO < 0 THEN FRACPASO:=2*P1+FRACPASO;

```

```
IF ABS(TAO) < TNETO
```

```
THEN(*PAR REQUERIDO MENOR DUE MAXIMO PAR PROMEDIO *)
```

```
BEGIN(*THEN ABS(TAO)*)
```

```

  (*TETAEN EN ANGULO ELECTRICO *)
  TETAEN:=TAO/SORT(2)/TNETO;
  TETAEN:=P1/4-ATAN(TETAEN/SORT(1-SOR(TETAEN)));
  TETAEN:=TETAEN-FRACPASO;

```

```
END(*THEN ABS(TAO)*)
```

```
ELSE
```

```
IF TAO > 0
```

```

  THEN(*TAO>0*) TETAEN:=0
  ELSE(*TAO<=0*) TETAEN:=P1/2-TOL-FRACPASO;
  (*ELSE ABS(TAO)*)

```

```
TETAEN:=TETAEN/K1+TETAR; (*TETAEN A ANGULO MECANICO*)
```

```
END; (*CALTETA1*)
```

```
(* CALCULA EL ANGULO DE CONMUTACION PARA MOVIMIENTOS NEGATIVOS *)
```

```
PROCEDURE CALTETA2;
```

```
BEGIN(*CALTETA2*)
```

```
PARNETO>(* PAR PROMEDIO DISPONIBLE *)
```

```
(*DIFERENCIA ENTRE LA POSICION CORRIENTE Y LA DE EQUILIBRIO DEL MOTOR *)
```

```

  FRACPASO:=(K1*TETAR-CONT*K2)/2/P1;
  FRACPASO:=(FRACPASO-TRUNC(FRACPASO))*2*P1;
  IF FRACPASO > 0 THEN FRACPASO:=FRACPASO-2*P1;

```

```
IF ABS(TAO) < TNETO(* PAR REQUERIDO MENOR QUE EL PAR PROMEDIO *)
```

```
THEN
```

```
BEGIN(*THEN ABS(TAO)*)
```

```
(* TETAEN EN ANGULO ELECTRICO *)
```

```

  TETAEN:=TAO/SORT(2)/TNETO;
  TETAEN:=-P1/4-ATAN(TETAEN/SORT(1-SOR(TETAEN)));
  TETAEN:=TETAEN-FRACPASO;

```

```
END(*THEN ABS(TAO)*)
```

```
ELSE
```

```
IF TAO < 0
```

```

  THEN(*TAO<0*) TETAEN:=0
  ELSE(*TAO>=0*) TETAEN:=-P1/2+TOL-FRACPASO;
  (*ELSE ABS(TAO)*)

```

```
TETAEN:=TETAEN/K1+TETAR; (*TETAEN A ANGULO MECANICO*)
```

```
END; (*CALTETA2*)
```

```
(* VERIFICA LA OCURRENCIA DE LAS CONDICIONES DE CONMUTACION *)
```

```

(* ESTAS SON: CRUCE POR CERO EN LAS CURVAS PAR VS. POSICION. *)
(* NUMERO EXCESIVO DE ITERACIONES SIN CONMUTACION Y VELOCIDAD *)
(* DEMASIADO BAJA (MOTOR PARADO) *)

```

```
PROCEDURE VERIFICA;
```

```
BEGIN(*VERIFICA*)
```

```
IF (BANDERA=0) OR (ITER)*MAX>(*LAS CONDICIONES DE ENTRADA SON: CONMUTACION*)
```

```

THEN
      (*EN EL PERIODO ANTERIOR Y NO. DE ITERACIONES*)
      BEGIN(*THEN BANDERA*)
        PARQUERIDO>(*PAR NECESARIO*)
        SIGANT:=-SIN(K)*TETAR-K2=CONT>(*SIGNO DE LA CURVA T VS. TETA*)
        IF ABS(Omegar)<6E-4 THEN VELBAJ:=FALSE ELSE VELBAJ:=TRUE;
        (*CONDICIONES COMPLETAS PARA CONMUTACION POSITIVA*)
        IF(Omegar > 0) OR (NOT(VELBAJ) AND (Omegad>0)) OR
          ((Omegar<=0) AND (Omegant=0) AND (Omegad>0) AND (SIGANT=0))
        THEN
          (*VERIFICA NECESIDAD DE CALCULO DE COND. IN CONMUTACION*)
          BEGIN(*THEN OMEGA*)
            IF ((SIGANT=0) AND (SIGACT<=0)) OR
              ((NITER>NMAX) AND (SIGACT<=0)) OR
              ((Omegar<=0) AND (Omegant=0) AND (SIGACT>=0) AND (Omegad>0))
            THEN
              BEGIN(*THEN SIGANT*)
                BANDERA:=1>(*CALCULO DE CONDICIONES DE LA PROXIMA *)
                CALTETA1: (*CONMUTACION PARA MOVIMIENTOS POSITIVOS*)
                IF NITER>NMAX THEN NITER:=0>(*ACTUALIZA NO. ITERAC.*)
              END;(*THEN SIGANT*)
            END;(*THEN OMEGA*)
          (*CONDICIONES COMPLETAS PARA CONMUTACION NEGATIVA*)
          IF(Omegar < 0) OR (NOT(VELBAJ) AND (Omegad<0)) OR
            ((Omegar>=0) AND (Omegant<=0) AND (Omegad<0) AND (SIGACT<=0))
          THEN
            (*VERIFICA LA NECESIDAD DE CALCULAR CONDICIONES DE CONMUTACION*)
            BEGIN(*THEN OMEGA<=0*)
              IF ((SIGANT<=0) AND (SIGACT>=0)) OR
                ((NITER>NMAX) AND (SIGACT>=0)) OR
                ((Omegar>=0) AND (Omegant<=0) AND (SIGACT<=0) AND (Omegad<0))
              THEN
                BEGIN(*THEN SIGANT*)
                  BANDERA:=-1;
                  CALTETA2;
                  IF NITER>NMAX THEN NITER:=0;
                END;(*THEN SIGANT*)
              END;(*THEN OMEGA<=0*)
            END;(*THEN OMEGA<=0*)
          END;

```

```

      SIGANT:=SIGACT>(*ACTUALIZA SIGNO Y VELOCIDAD ANTERIORES*)
      OMEGANT:=OMEGAR;
    END;(*THEN BANDERA*)
  END;(*VERIFICA*)
  (* REALIZA UNA CONMUTACION HACIA ADELANTE *)
  PROCEDURE INYECTAPOS;
  BEGIN(*INYECTAPOS*)
    WRITELN('      INYECTAPOS');
    TIPO:=1>(*DEFINE APUNTAORES Y ACTUALIZA INDICADORES*)
    BANDERA:=0;
    CONT:=CONT+1;
    ESCRIBE;
    NITER:=0;
    IF SIGANT<0 THEN SIGANT:=1;
  END;(*INYECTAPOS*)
  (* REALIZA UNA CONMUTACION HACIA ATRAS *)
  PROCEDURE INYECTANEQ;
  BEGIN(*INYECTANEQ*)
    WRITELN('      INYECTANEQ');
    TIPO:=-1>(*DEFINE APUNTAORES Y ACTUALIZA INDICADORES*)
    CONT:=CONT-1;
    ESCRIBE;
    BANDERA:=0;
    NITER:=0;
    IF SIGANT > 0 THEN SIGANT:=-1;
  END;(*INYECTANEQ*)
  (* VERIFICA QUE SE CUMPLAN LAS CONDICIONES PARA LA CONMUTACION *)
  PROCEDURE CONMUTA;
  BEGIN(*CONMUTA*)
    NITER:=NITER+1>(*ACTUALIZA NO. DE ITERACIONES*)
    IF BANDERA <> 0(*VERIFICA NECESIDAD DE ENVIAR PULSO*)
    THEN
      BEGIN(*THEN BANDERA<>0*)
        IF BANDERA=1
        THEN
          BEGIN(*THEN BANDERA=1*)

```

```

(*VERIFICA QUE EL ANGULO CUMPLA CON LA CONDICION *)
IF TETAR>TETA.ON THEN INYECTAPOS;

END>(*THEN BANDERA=1*)

ELSE

BEGIN(*ELSE BANDERA=1*)

(*VERIFICA QUE EL ANGULO CUMPLA CON LA CONDICION *)
IF TETAR<TETA.CON THEN INYELTANEG;

END>(*ELSE BANDERA=1*)

END>(*THEN BANDERA<0*)

END>(*COMUTA*)

(-----*)
(* INICIA EL PROGRAMA PRINCIPAL *)
(-----*)

BEGIN(*MOTOR*)

LECTURA;
INICIALIZA;
(*ABRE ARCHIVOS DE DATOS Y REPOSICIONA APUNTAORES *)
(*LOS ARCHIVOS DEBEN EXISTIR EN DISCO *)

RESET(AS1, '#S;SENALE;.DATA ');
SEEK(AS1,0);
RESET(AS2, '#S;PLANOS;.DATA ');
SEEK(AS2,0);
RESET(AS3, '#S;PARETETA;.DATA ');
SEEK(AS3,0);

(*ITERA MIENTRAS NO SE AGOTE EL TIEMPO DE SIMULACION*)
WHILE TIEMPO < TIEMTABENUMDATOS//REDTIE DO

BEGIN(*WHILE TIEMPO*)

IF NDESEADAS >= DESEADAS(*CALCULO DE CONDICIONES DESEADAS*)

THEN

BEGIN(*THEN NDESEADAS*)

VALDESEADOS;
Writeln('DIF POS: ',TETAD-TETAR);
Writeln('DIF VEL: ',OMEGAD-OMEGAR);
Writeln('TIEMPO: ',TIEMTAB(NUMDATOS)//REDTIE-TIEMPO);
Writeln;
NDESEADAS:=0;

END>(*THEN NDESEADAS*)

NDESEADAS:=NDESEADAS+1>(*INDICADOR DE CALCULO DE COND. DESEADAS*)

RUNGE>(*INTEGRACION NUMERICA*)

```

```

TIEMPO:=TIEMPO+H>(*ACTUALIZA TIEMPO*)

VERIFICA(*VERIFICA COND. DE COMPUTACION*)
COMUTA(*REALIZA COMPUTACION DE SEN NECESARIO*)

(*ACTUALIZA APUNTAOR A TABLAS*)
IF TIEMPO > TIEMTAB(*ACTUAL+1*) THEN NACTUAL:=NACTUAL+1;

IF CONTIMPRESION=IMPRESION(*TOMA MUESTRAS DE RESULTADOS*)

THEN

BEGIN(*THEN CONTIMP*)

GRAFICA;
CONTIMPRESION:=0;

END(*THEN CONTIMP*)

ELSE

(*ACTUALIZA INDICADOR PARA TOMA DE MUESTRAS*)
CONTIMPRESION:=CONTIMPRESION+1;

END>(*WHILE TIEMPO*)

(*IMPRIME NO. DE REGISTROS*)
Writeln('NO. REG EN PLANOS: ',MUESTRAS);
Writeln('NO. REG EN SENALES Y PARETETA: ',PASOS);

CLOSE(AS1);(*CIERRA ARCHIVOS*)
CLOSE(AS2);
CLOSE(AS3);

REWRITE(AS1, '#S;NUMSENALES;.DATA');
AS1:=PASOS;PUT(AS1);(*GUARDA NO. DE PASOS*)
AS1:=MUESTRAS;PUT(AS1);(*GUARDA NO. DE MUESTRAS*)
CLOSE(AS1,LOCK);

END>(*MOTOR*)

```

```

(* LECTURA TEXT *)
(* SUBPROGRAMA DE MOTOR TEXT *)
(* EN EL SE DEFINEN LAS CURVAS DE ACELERACION PO-*)
(* SIBLES. ESTAS DEBEN SER DE LA FORMA: *)
(* ALFA=C1+C2*T+C3*SEN(C4*T) *)
(* *)
(* LAS TRAYECTORIAS DESEADAS SE PARTEN EN INTER-*)
(* VALOS DE TIEMPO. LOS VALORES DE C1 A C4 SON *)
(* VALIOS DURANTE TODO EL INTERVALO. *)
(* ADICIONALMENTE SE PROPORCIONA LA VELOCIDAD Y *)
(* POSICION ANGULAR AL INICIO DE ESTOS INTERVALOS *)

```

```

(*****
(* LECTURA DE DATOS *)
(*****

```

```

(*CADA REGISTRO CONTIENE LA ACELERACION EN TERMINOS DE C1 A C5, VELOCIDAD, *)
(* POSICION Y PASO DE INTEGRACION VS. TIEMPO EN QUE COMIENZAN A SER VALIDOS *)

```

```
PROCEDURE LEE;
```

```
BEGIN(*LEE*)
```

```

C1(I):=AE2*GET(AE2);(*CONSTANTES QUE DEFINEN LA ACELERACION*)
C2(I):=AE2*GET(AE2);
C3(I):=AE2*GET(AE2);
C4(I):=AE2*GET(AE2);

```

```
OMEGATAB(I):=AE2*GET(AE2);(*VELOCIDAD AL INICIO DEL INTERVALO*)
```

```
TETATAB(I):=AE2*GET(AE2);(*POSICION AL INICIO DEL INTERVALO*)
```

```
HTAB(I):=AE2*GET(AE2);(*PASO DE INTEGRACION PARA EL INTERVALO*)
```

```
TIEMTAB(I):=AE2*GET(AE2);(*TIEMPO EN QUE INICIA EL INTERVALO*)
```

```
END(*LEE*)
```

```
(*LEC LOS PARAMETROS PARA LA SIMULACION*)
```

```
PROCEDURE LECTURA;
```

```
BEGIN(*LECTURA*)
```

```
WRITELN('LECTURA DE DATOS');
```

```

FRESET(AE1, 'NS;PARAMETROS.DATA');
READ(AE1, AO, RESOLUCION, THAX, AKVEL, R);
NFASES:=TRUNC(AO);
READ(AE1, TOL, KP, KV);
READ(AE1, FRICCION, B);
READ(AE1, RO, MO, L1, M1, L2, M2);
READ(AE1, AO, BO, CO);
IMPRESION:=TRUNC(AO);
DESEADAS:=TRUNC(BO);
NMAX:=TRUNC(CO);
CLOSE(AE1);

```

```

FRESET(AE2, 'NS;CURVAS.DATA');
NUMDATOS:=TRUNC(AE2);

```

```

GET(AE2);
FOR I:=1 TO NUMDATOS DO LEE;
CLOSE(AE2);

```

```
END(*LECTURA*)
```

```

(*****
(* INICIALIZACION DE VARIABLES *)
(*****

```

```
PROCEDURE INICIALIZA;
```

```
BEGIN(*INICIALIZA*)
```

```
WRITELN('INICIALIZACION');
```

```

(* EL FACTOR DE REDUCCION DE TIEMPO SIRVE PARA SIMULAR UNICAMENTE UNA *)
(* FRACCION DEL TIEMPO TOTAL *)

```

```

WRITE('FACTOR DE REDUCCION DEL TIEMPO: ');
READLN(FEDTIE);

```

```

(* EL FACTOR DE AMPLIFICACION DEL PASO DE INTEGRACION CAMBIA EL VALOR DEL *)
(* PASO DE INTEGRACION *)

```

```

WRITE('FACTOR DE AMPLIFICACION DE H: ');
READLN(FACH);

```

```
(* INICIALIZA VARIABLES PARA LA SIMULACION *)
```

```

NACTUAL:=1;
TIEMPO:=TIEMTAB(NACTUAL);
H:=HTAB(NACTUAL)*FACH;

```

```

CONTIMPRESION:=IMPRESION;
MUESTRAS:=0;
PASOS:=0;
NDESEADAS:=DESEADAS;

```

```

(* CALCULA LA INERCIA EQUIVALENTE. CONSIDERA TRES TIPO DE MASAS: DISCOS, *)
(* BRAZOS DE MASA UNIFORME Y MASAS CONCENTRADAS EN ALGUN PUNTO. LA MASA *)
(* RALEZA DE LAS CARGAS DEL SISTEMA DEBE DARCE EN FORMA EQUIVALENTE A *)
(* ESTA *)

```

```
INERCIA:=MO*SQR(RO)/2+M1*SQR(L1)/3+M2*SQR(L2);
```

```
(* MODIFICA LAS CONSTANTES DEL MOTOR SEGUN LA REDUCCION EN LEADA *)
```

```

THAX:=THAX*R;
AKVEL:=AKVEL*SQR(R);

```

```

K1:=2*PI/NFASES/RESOLUCION*R;
K2:=2*PI/NFASES;

```

```
NITER:=0;
```

```

(* ACTUALIZA LA POSICION INICAL DEL MOTOR PARA HACERA COINCIDIR CON UNA *)
(* POSICION DE EQUILIBRIO *)

```

```
FRACPASO:=K1*TETATAB(NACTUAL)/2/PI;
```


FRACPASO:=(FRACPASO-TRUNC(FRACPASO))/K1*2*PI;

TETAR: =TETATAB(NACTUAL)-FRACPASO;

(* INICIALIZA INDICADORES Y AUXILIARES DEL TIPO DE CONMUTACION *)

CORR:=0;

EANDERA:=0;

FRACPASO:=0;

OMEGAR:=OMEGATAB(NACTUAL);

OMEGAR:=OMEGATAB(NACTUAL);

WRITELN(' TIEMPO: ', TIEMPO);

WRITELN(' NUMDATOS: ', NUMDATOS);

END>(* INICIALIZA *)

(* CALCULA LAS CONDICIONES DESEADAS *)

(* POSICION DESEADA *)

PROCEDURE POSICION;

DEGIN:=POSICION*;

TETAD:= TETATAB(NACTUAL)+(OMEGATAB(NACTUAL) +C3(NACTUAL)/C4(NACTUAL))*

DELTATIE + C1(NACTUAL)*SOR(DELTATIE)/2 + C2(NACTUAL)*

SOR(DELTATIE)*DELTATIE/6 - C3(NACTUAL)/SOR(C4(NACTUAL))*

SIN(C4(NACTUAL)*DELTATIE);

END>(* POSICION *)

(* VELOCIDAD DESEADA *)

PROCEDURE VELOCIDAD;

DEGIN:=VELOCIDAD*;

OMEGAR:= OMEGATAB(NACTUAL)+C3(NACTUAL)/C4(NACTUAL)+C1(NACTUAL)*DELTATIE+

C2(NACTUAL)*SOR(DELTATIE)/2-C3(NACTUAL)/C4(NACTUAL)*

SIN(C4(NACTUAL)*DELTATIE);

END>(* VELOCIDAD *)

(* ACCELERACION DESEADA *)

PROCEDURE ACELERACION;

DEGIN:=ACELERACION*;

ALFAD:=C1(NACTUAL)+C2(NACTUAL)+C3(NACTUAL)*

SIN(C4(NACTUAL)*DELTATIE);

END>(* ACELLEACION *)

(* CONDICIONES CINEMATICAS DESEADAS *)

PROCEDURE VALDESEADOS;

DEGIN:=VALDESEADOS*;

DELTATIE:=TIEMPO-TIEMTAB(NACTUAL);(*DEFINE EL TIEMPO CON RELACION AL *)
(*INICIO DE INTERVALO*)

POSICION;
VELOCIDAD;
ACELERACION;

END>(*VALDESEADOS*)

(* POSICION ANGULAR AL INICIO DE ESTOS INTERVALOS*)

(*****)
(* LECTURA DE DATOS *)
(*****)

(*CADA REGISTRO CONTIENE LA ACELERACION(EN TERMINOS DE C1 A C5),VELOCIDAD,*)
(*POSICION Y PASO DE INTEGRACION VS. TIEMPO EN QUE COMIENZAN A SER VALIDOS*)

PROCEDURE LEE;

BEGIN(*LEE*)

C1(1):=AE2*GET(AE2);(*CONSTANTES QUE DEFINEN LA ACELERACION*)
C2(1):=AE2*GET(AE2);
C3(1):=AE2*GET(AE2);
C4(1):=AE2*GET(AE2);

OMEGATAB(1):=AE2*GET(AE2);(*VELOCIDAD AL INICIO DEL INTERVALO*)

TETATAB(1):=AE2*GET(AE2);(*POSICION AL INICIO DEL INTERVALO*)

HTAB(1):=AE2*GET(AE2);(*PASO DE INTEGRACION PARA EL INTERVALO*)

TIENTAB(1):=AE2*GET(AE2);(*TIEMPO EN QUE INICIA EL INTERVALO*)

END(*LEE*)

(*LEE LOS PARAMETROS PARA LA SIMULACION*)

PROCEDURE LECTURA;

BEGIN(*LECTURA*)

WRITELN('LECTURA DE DATOS');

RESET(AE1,'#5;PARAMETROS.DAT');
READ(AE1,NFASES,RESOLUCION,THAX,AKVEL,R);
READ(AE1,AO,BO,CO);
READ(AE1,FRICCION,B);
READ(AE1,RO,MO,L1,M1,L2,M2);
READ(AE1,AO,BO,CO);
IMFCCION:=TRUNC(AO);
DESEADAS:=TRUNC(BO);
CLOSE(AE1);

RESET(AE3,'#5;SENALES.DAT');(*TABLAS DE TIEMPOS DE CONMUTACION*)
TCOMUTACION:=AE3*GET(AE3);(*PRIMER TIEMPO*)
TIPO:=TRUNC(AE3*GET(AE3));(*PRIMER TIPO DE CONMUTACION*)

RESET(AE2,'#5;CURVAS.DAT');(*TABLAS DE CONDICIONES DESEADAS*)
NUMDATOS:=TRUNC(AE2*GET(AE2));
GET(AE2);
FOR I:=1 TO NUMDATOS DO LEE;
CLOSE(AE2);

END(*LECTURA*)

(*****)
(* INICIALIZACION DE VARIABLES *)

(*****)

PROCEDURE INICIALIZA;

BEGIN(*INICIALIZA*)

WRITELN('INICIALIZACION: ');

(* EL FACTOR DE REDUCCION DE TIEMPO SIRVE PARA SIMULAR UNICAMENTE UNA *)
(* FRACCION DEL TIEMPO TOTAL*)

WRITE('FACTOR DE REDUCCION DEL TIEMPO: ');
READLN(REDTIE);

(* EL FACTOR DE AMPLIFICACION DEL PASO DE INTEGRACION CAMBIA EL VALOR DEL *)
(* PASO DE INTEGRACION *)

WRITE('FACTOR DE AMPLIFICACION DE H: ');
READLN(FACH);

(* INICIALIZA VARIABLES PARA LA SIMULACION *)

NACTUAL:=1;
TIEMPO:=TIEMTAD[NACTUAL];
H:=HTAD[NACTUAL]*FACH;

CONTIMPRESION:=IMPRESION;
MUESTRAS:=0;
NDESEADAS:=NDESEADAS;

(* CALCULA LA INERCIA EQUIVALENTE, CONSIDERA TRES TIPO DE MASAS: DISCOS,*)
(* BRAZOS DE MASA UNIFORME Y MASAS CONCENTRADAS EN ALGUN PUNTO, LA NATU-*)
(* RALEZA DE LAS CARGAS DEL SISTEMA DEBE DARSE EN FORMA EQUIVALENTE A *)
(* ESTA *)

INERCIA:=MO*SQR(RO)/2+M1*SQR(L1)/3+M2*SQR(L2);

(* MODIFICA LAS CONSTANTES DEL MOTOR SEGUN LA REDUCCION EMPLEADA *)

THAX:=THAX*R;
AKVEL:=AKVEL*SQR(R);

K1:=2*PI/NFASES/RESOLUCION*R;
K2:=2*PI/NFASES;

(* ACTUALIZA LA POSICION INICIAL DEL MOTOR PARA HACERLA COINCIDIR CON UNA *)
(* POSICION DE EQUILIBRIO *)

FRACPASO:=H*TETATAB[NACTUAL]/2/PI;
FRACPASO:=(FRACPASO-TRUNC(FRACPASO))/K1*2*PI;

TETAR:=TETATAB[NACTUAL]-FRACPASO;

(* INICIALIZA INDICADORES Y AUXILIARES DEL TIPO DE CONMUTACION *)

CONT:=0;
OMEGAR:=OMEGATAB[NACTUAL];

WRITELN(' TIEMPO: ',TIEMPO);
WRITELN(' NUMDATOS: ',NUMDATOS);

```

END; (*INICIALIZA*)
(* CALCULA LAS CONDICIONES DESEADAS *)
(* POSICION DESEADA *)
PROCEDURE POSICION;
BEGIN (*POSICION*)
    TETA1:= TETATAB[NACTUAL]+(OMEGATAB[NACTUAL]+C3[NACTUAL]/C4[NACTUAL])*
    DELTATIE+C1[NACTUAL]*SOR(DELTATIE)/2+C2[NACTUAL]*
    SOR(DELTATIE)*DELTATIE/6+C3[NACTUAL]/SOR(C4[NACTUAL])*
    SIN(C4[NACTUAL]);
END; (*POSICION*)
(* VELOCIDAD DESEADA *)
PROCEDURE VELOCIDAD;
BEGIN (*VELOCIDAD*)
    OMEGA1:= OMEGATAB[NACTUAL]+C3[NACTUAL]/C4[NACTUAL]*C1[NACTUAL]*DELTATIE+
    C2[NACTUAL]*SOR(DELTATIE)/2-C3[NACTUAL]/C4[NACTUAL]*
    SIN(C4[NACTUAL]*DELTATIE);
END; (*VELOCIDAD*)
(* ACELERACION DESEADA *)
PROCEDURE ACELERACION;
BEGIN (*ACELERACION*)
    ALFA1:=C1[NACTUAL]+C2[NACTUAL]+C3[NACTUAL]*
    SIN(C4[NACTUAL]*DELTATIE);
END; (*ACELERACION*)
(* CONDICIONES CINEMATICAS DESEADAS *)
PROCEDURE VALDESEADOS;
BEGIN (*VALDESEADOS*)
    DELTATIE:=TIEMPO-TIEMTAB[NACTUAL]; (*DEFINE EL TIEMPO CON RELACION AL *)
    (*INICIO DE INTERVALO*)
    POSICION;
    VELOCIDAD;
    ACELERACION;
END; (*VALDESEADOS*)
(* CALCULA EL DISPONIBLE EN FUNCION DE LA POSICION Y VELOCIDAD *)
(* ANGULAR CORRIENTE *)
PROCEDURE PARDISPONIBLE(OMEGA,TETA;REAL);

```

```

BEGIN (*PARDISPONIBLE*)
    T1:=(TMAX-ABS(OMEGA)*AKVEL)*SIN(K1*(TETA-CONT)*2);
    IF ABS(OMEGA*AKVEL) > TMAX THEN T1:=0; (*ANULA EL PAR A VELOCIDADES ALTAS *)
END; (*PARDISPONIBLE*)
(* INTEGRACION POR EL METODO DE RUNGE-KUTIA DE SEGUNDO ORDEN CON PARAMETROS *)
(* IGUALES (INTEGRACION TRAPEZOIDAL) .*)
PROCEDURE F1(OMEGA;REAL;VAR AK; REAL);
BEGIN (*F1*)
    AK:=OMEGA;
END; (*F1*)
PROCEDURE F2(OMEGA,TETA; REAL;VAR AK; REAL);
BEGIN (*F2*)
    PARDISPONIBLE(OMEGA,TETA);
    AK:=(T-B*OMEGA)/INERCIA;
END; (*F2*)
PROCEDURE RUNGE;
BEGIN (*RUNGE*)
    F1(OMEGA1,AK1);
    F2(OMEGA1,TETA1,AK1);
    TETA1:=TETA1+H*AF1; (*ESTIMACION DE LOS VALORE DE TETA Y OMEGA *)
    OMEGA1:=OMEGA1+H*AF12;
    F1(OMEGA1,AK2);
    F2(OMEGA1,TETA1,AK2);
    TETA1:=TETA1+H/2*(AK1+AK2); (* VALORES FINALES DE TETA Y OMEGA*)
    OMEGA1:=OMEGA1+H/2*(AF12+AF22);
END; (*RUNGE*)
(* LEE UN NUEVO TIEMPO DE COMPUTACION Y SU TIPO *)
PROCEDURE CAMBIOS;
BEGIN (*CAMBIOS*)
    TCOMPUTACION:=AE3;GET(AE3); (*LEE TIEMPO*)
    TIPO:=TRUNC(AE3);GET(AE3); (*LEE TIPO*)
END; (*CAMBIOS*)
(* TOMA MUESTRAS DE LOS RESULTADOS DE LA SIMULACION Y LOS IMPRIME *)
PROCEDURE GRAFICA;

```

```

BEGIN(=GRAFICA=)
  WRITELN('GRAFICA')
  ASI:=TIEMPO;
  PUT(ASI);
  ASI:=TETAD;
  PUT(ASI);
  ASI:=TETAR;
  PUT(ASI);
  ASI:=OMEGAD;
  PUT(ASI);
  ASI:=OMEGAR;
  PUT(ASI);
  MUESTRAS:=MUESTRAS+1; (= ACTUALIZA INDICADOR DE MUESTRAS TOMADAS *)

```

```

END; (=GRAFICA=)
(= REALIZA UNA CONMUTACION HACIA ADELANTE =)

```

```

PROCEDURE INYECTAPOS;

```

```

BEGIN(=INYECTAPOS=)
  WRITELN('      INYECTAPOS');
  CONT:=CONT+1; (=ACTUALIZA INDICADOR=)

```

```

END; (=INYECTAPOS=)
(= REALIZA UNA CONMUTACION HACIA ATRAS =)

```

```

PROCEDURE INYECTANEG;

```

```

BEGIN(=INYECTANEG=)
  WRITELN('      INYECTANEG');
  CONT:=CONT-1; (=ACTUALIZA INDICADOR=)

```

```

END; (=INYECTANEG=)
(-----*)
(= INICIA EL PROGRAMA PRINCIPAL =)
(-----*)

```

```

BEGIN(=SIMULA=)

```

```

  LECTURA;
  INICIALIZA;
  (=ABRE ARCHIVOS DE DATOS Y REPOSICIONA APUNTAADORES =)
  (=LOS ARCHIVOS DEBEN EXISTIR EN DISCO *)

```

```

  RESET(ASI,'N5:PLAVOS.DAT');
  SEF(ASI,0);

```

```

  (=TERNA MIENTRAS NO SE AGOTE EL TIEMPO DE SIMULACION=)
  WHILE TIEMPO < TIEMTAB(INMUDATOS)/REDTIE DO

```

```

BEGIN(=WHILE TIEMPO=)

```

```

  IF NDESEADAS >= DESEADAS(=CALCULO DE CONDICIONES DESEADAS=)

```

```

    THEN
      BEGIN(=THEN NDESEADAS=)

```

```

        VALDESEADAS;
        WRITELN('DIF POS: ',TETAD-TETAR);
        WRITELN('DIF VEL: ',OMEGAD-OMEGAR);
        WRITELN(' ');
        NDESEADAS:=0;

```

```

      END; (=THEN NDESEADAS=)

```

```

    NDESEADAS:=NDESEADAS+1; (=INDICADOR DE CALCULO DE COND. DESEADAS=)

```

```

    RUNGE(=INTEGRACION NUMERICA=)
    TIEMPO:=TIEMPO+H; (=ACTUALIZA TIEMPO=)

```

```

    (=VERIFICA SI ES TIEMPO DE ENVIAR UN PULSO=)
    IF TIEMPO >=TCOMUTACION

```

```

      THEN

```

```

        BEGIN(=THEN TIEMPO=)

```

```

          IF TIPO >= 0

```

```

            THEN(=TIPO=) INYECTAPOS
            ELSE(=TIPO=) INYECTANEG;

```

```

          CAMBIOS; (=LEE NUEVO TIEMPO Y TIPO DE CONMUTACION=)

```

```

        END; (=THEN TIEMPO=)

```

```

    (=ACTUALIZA APUNTAADOR A TABLAS=)
    IF TIEMPO > TIEMTAB(INACTUAL+1) THEN NACTUAL:=NACTUAL+1;

```

```

    WRITELN('TIEMPO: ',TIEMTAB(INMUDATOS)-TIEMPO);

```

```

    IF CONTIMPRESION=IMPRESION(=TOMA MUESTRAS DE RESULTADOS=)

```

```

      THEN

```

```

        BEGIN(=THEN CONTIMP=)

```

```

          GRAFICA;
          CONTIMPRESION:=0;

```

```

        END(=THEN CONTIMP=)

```

```

      ELSE

```

```

        (=ACTUALIZA INDICADOR PARA TOMA DE MUESTRAS=)
        CONTIMPRESION:=CONTIMPRESION+1;

```

```

    END; (=WHILE TIEMPO=)

```

```

(*IMPRI ME NO. DE REGISTROS*)
WRITELN('NO. REG EN PLANDS: ',MUESTRAS);

CLOSE(AS1);(*CIERRA ARCHIVOS*)
CLOSE(AE3);

REWRITE(AS1,'#5;NUMSENALES.DAT');
AS1:=0;PUT(AS1);(*GUARDA NO. DE PASOS*)
AS1:=MUESTRAS;PUT(AS1);(*GUARDA NO. DE MUESTRAS*)
CLOSE(AS1,LOCK);

END.(*SIMULA*)

```

```

(*CURVAS.TEXT*)
(* PROGRAMA PARA GENERAR EL ARCHIVO CURVAS.DAT *)
(* ESTE ARCHIVO DEFINE LOS PERFILES DEL MOVIMIENTO *)
(* DESEADO EN EL MOTOR DE PASOS. *)
(* *)
(* LAS CURVAS DE ACELERACION SON DE LA FORMA: *)
(* *)
(* ALFA=C1+C2*T+C3*SEN(C4*T) *)
(* *)
(* LAS TRAYECTORIAS DESEADAS SE PARTEN EN INTERVA- *)
(* LOS DE TIEMPO. LOS VALORES DE C1 A C4 SON VALI- *)
(* DOS DURANTE TODO UN INTERVALO. *)
(* ADICIONALMENTE Y PARA EVITAR ERRORES NUMERICOS *)
(* SE INCLUYEN LA VELOCIDAD Y POSICION ANGULAR, EL *)
(* PASO PARA LA INTEGRACION NUMERICA Y EL TIEMPO *)
(* EN QUE COMIENZA EL INTERVALO. *)
(* EL NUMERO DE JUEGOS DE DATOS SE ENCUENTRA EN EL *)
(* PRIMER REGISTRO DEL ARCHIVO. *)
(* *)
(* INSTITUTO DE INGENIERIA *)
(* PROYECTO 2136 *)
(* *)
(* LUIS ALVAREZ ICAZA LONGORIA *)
(* OCTUBRE 1983 *)

CONST NMAX = 100;(*NO. MAXIMO DE PUNTOS EN EL ARCHIVO*)

(* ZONA DE TIPOS *)

TYPE DATOS = RECORD (*REGISTRO CON LA ESTRUCTURA DE LOS DATOS*)
    C1,C2,C3,C4, (*CONSTANTES PARA DEFINIR ACELERACION*)
    TETA, (*POSICION ANGULAR*)
    OMEGA, (*VELOCIDAD ANGULAR*)
    H, (*PASO DE INTEGRACION*)
    TIEMPO (*TIEMPO DE INICIO DEL INTERVALO*)
    IREAL
END;(*DATOS*)

(* ZONA DE VARIABLES *)

VAR ARREGLO: ARRAY[1..NMAX] OF DATOS;(*ARREGLO PARA LOS DATOS*)

NREG,(*NO. DE PUNTOS DESEADO*)
I: INTEGER;(*AUXILIAR PARA ITERACIONES*)

R,S: CHAR;(*AUXILIARES PARA PREGUNTAS*)

DAT: FILE OF REAL;(*ARCHIVO DE DATOS*)

(*PROCEDIMIENTO DE LECTURA*)

PROCEDURE LECTURA;

BEGIN(*LECTURA*)

WITH ARREGLO[I] DO

BEGIN(*WITH*)

```

```

C1:=DAT*1;GET(DAT);(*SALVA DATOS EN ARREGLO*)
C2:=DAT*2;GET(DAT);
C3:=DAT*3;GET(DAT);
C4:=DAT*4;GET(DAT);
OMEGA:=DAT*5;GET(DAT);
TETA:=DAT*6;GET(DAT);
H:=DAT*7;GET(DAT);
TIEMPO:=DAT*8;GET(DAT);

```

```
END;(*WITH*)
```

```
END;(*LECTURA*)
```

```
(*PROCEDIMIENTO DE ESCRITURA*)
```

```
PROCEDURE ESCRIBE;
```

```
BEGIN(*ESCRIBE*)
```

```
WITH ARREGLO(1) DO
```

```
BEGIN(*WITH*)
```

```

DAT:=C1;PUT(DAT);(*SALVA DATOS EN ARREGLO*)
DAT:=C2;PUT(DAT);
DAT:=C3;PUT(DAT);
DAT:=C4;PUT(DAT);
DAT:=OMEGA;PUT(DAT);
DAT:=TETA;PUT(DAT);
DAT:=H;PUT(DAT);
DAT:=TIEMPO;PUT(DAT);

```

```
END;(*WITH*)
```

```
END;(*ESCRIBE*)
```

```
(*PROCEDIMIENTO PARA PEDIR JUEGOS DE DATOS POR CONSOLA*)
```

```
PROCEDURE PEDIDO;
```

```
BEGIN(*PEDIDO*)
```

```
WITH ARREGLO(1) DO
```

```
BEGIN(*WITH*)
```

```

WRITE('C1',1,'):= '); READLN(C1);
WRITE('C2',1,'):= '); READLN(C2);
WRITE('C3',1,'):= '); READLN(C3);
WRITE('C4',1,'):= '); READLN(C4);
WRITE('TETA',1,'):= '); READLN(TETA);
WRITE('OMEGA',1,'):= '); READLN(OMEGA);
WRITE('H',1,'):= '); READLN(H);
WRITE('TIEMPO',1,'):= '); READLN(TIEMPO);

```

```
END;(*WITH*)
```

```
END;(*PEDIDO*)
```

```
BEGIN(*CURVAS*)
```

```

WRITE('ARCHIVO NUEVO O MODIFICACION: ');READ(R);WRITELN;
(*TIPO DE MODIFICACION*)

```

```
IF R = 'N'
```

```
THEN
```

```
BEGIN(*THEN R*)
```

```
REWRITE(DAT,'#5;CURVAS.DAT');(*ABRE ARCHIVO NUEVO*)
```

```
WRITE('CUANTOS JUEGOS DE DATOS: ');READLN(NREG);
```

```
FOR I:=1 TO NREG DO PEDIDO;(*PIDE DATOS*)
```

```
END(*THEN R*)
```

```
ELSE
```

```
BEGIN(*ELSE R*)
```

```
FESE(DAT,'#5;CURVAS.DAT');
```

```
NREG:=TRUNC(DAT*8);GET(DAT);(*ABRE ARCHIVO Y OBTIENE NO. REGISTROS*)
```

```
FOR I:=1 TO NREG DO LECTURA;(*LEE JUEGOS DE DATOS EN EL ARCHIVO*)
```

```
WRITE('MODIFICA EL NO. DE JUEGOS(S/N): ');READ(S);WRITELN;
```

```
IF S = 'S'
```

```
THEN BEGIN(*THEN S*) WRITE('CUANTOS JUEGOS: ');READLN(NREG);END;(*THEN*)
```

```
CLOSE(DAT);(*CIERRA ARCHIVO Y ABRE NUEVO PARA LECTURA*)
```

```
REWRITE(DAT,'#5;CURVAS.DAT');
```

```
END;(*ELSE R*)
```

```
REPEAT (*HASTA QUE S='S'*)
```

```
WRITE('MODIFICA ALGUN JUEGO DE DATOS(S/N): ');READ(S);WRITELN;
```

```
(*PREGUNTA POR MODIFICACIONES*)
```

```
IF S = 'S' THEN
```

```
BEGIN(*THEN S*)
```

```
WRITE('QUE NO. DE JUEGO(1 A ',NREG,')?');READLN(I);
```

```
IF (I<=0) OR (I>NREG)
```

```
THEN(*I*)WRITELN('NUMERO INVALIDO!!!,REPITA');
```

```
ELSE(*I*)PEDIDO;
```

```
END;(*THEN S*)
```

```
UNTIL S <> 'S';(*FIN REPEAT*)
```

```
DAT:=NREG;PUT(DAT);(*GUARDA EL NO. DE REGISTROS*)
```

```
FOR I:=1 TO NREG DO ESCRIBE;(*ESCRIBE DATOS*)
```

```
CLOSE(DAT,LDCL);(*SALVA ARCHIVO*)
```

```
END;(*CURVAS*)
```

```

*(*PARAMETRO.TEXT*)
(* PROGRAMA PARA GENERAR EL ARCHIVO PARAMETROS.DATA , ESTE ARCHIVO *)
(* CONTIENE LOS PARAMETROS NECESARIOS PARA LA SIMULACION DEL COM *)
(* PORTAMIENTO DEL MOTOR DE PASOS. *)
(* EL ARCHIVO CONTIENE CINCO REGISTROS CON LOS SIGUIENTES DATOS: *)
(* PRIMER REGISTRO: *)
(* NFASES=NO. DE FASES DEL MOTOR DE PASOS *)
(* RESOLUCION=VALOR EN RADIANES DE UN PASO DEL MOTOR *)
(* TMAX=PAR MAXIMO DISPONIBLE *)
(* AV=VEL=CONSTANTE EN QUE DECRECE EL PAR SEGUN LA VELOCIDAD *)
(* R=RELACION DE REDUCCION EMPLEADA *)
(* SEGUNDO REGISTRO: *)
(* TOL=TOLERANCIA PARA COMUTACIONES *)
(* IP=CONSTANTE DE REALINEACION DEL ERROR DE POSICION *)
(* NV=VELOCIDAD PARA VELOCIDAD *)
(* TERCER REGISTRO: *)
(* FRICCION=COEFICIENTE DE FRICCION DE COULOMB *)
(* D=COEFICIENTE DE FRICCION VISCOSA *)
(* CUARTO REGISTRO: *)
(* R=RADIO DEL DISCO DE INERCIA EQUIVALENTE *)
(* M0=MASA " " " " *)
(* L1=LONGITUD DEL BRAZO EQUIVALENTE *)
(* M1=MASA " " " " *)
(* L2=LONGITUD A LA QUE SE HAYA LA MASA CONCENTRADA *)
(* M2=MASA DE LA MISMA *)
(* QUINTO REGISTRO: *)
(* INFRESION=FRECUENCIA DE ESCRITURA EN EL ARCHIVO DE SALIDA *)
(* DESEADAS=FRECUENCIA DE INTERPOLACION DE COND. DESEADAS *)
(* NMAX=NO. MAX. DE ITERACIONES SIN CALCULO DE CONDICIONES *)
(* DE COMUTACION *)
(* ESTE REGISTRO SE CONVIERTE A VARIABLES ENTERAS AL LEERSE *)
(* *)
(* INSTITUTO DE INGENIERIA *)
(* PROYECTO 2136 *)
(* *)
(* LUIS ALVAREZ ICAZA LONGORIA *)
(* OCTUBRE 1983 *)
(* *)
CONST NMAX = 19>(*NO. MAXIMO DE PUNTOS EN EL ARCHIVO*)
(* ZONA DE VARIABLES *)
VAR DATO: ARRAY[1..NMAX] OF REAL; (*ARREGLO PARA LOS DATOS*)
I: INTEGER;(*AUXILIAR PARA ITERACIONES*)
P,S: CHAR;(*AUXILIARES PARA PREGUNTAS*)
DAT: INTERACTIVE I;(*ARCHIVO DE DATOS*)
(*PROCEDIMIENTO DE LECTURA*)
PROCEDURE LECTURA;
BEGIN(*LECTURA*)
  READLN(DAT,DATO[1],DATO[2],DATO[3],DATO[4],DATO[5]);
  READLN(DAT,DATO[6],DATO[7],DATO[8]);
  READLN(DAT,DATO[9],DATO[10]);
  READLN(DAT,DATO[11],DATO[12],DATO[13],DATO[14],DATO[15],DATO[16]);

```

```

  READLN(DAT,DATO[17],DATO[18],DATO[19]);
END;(*LECTURA*)
(*PROCEDIMIENTO DE ESCRITURA*)
PROCEDURE ESCRIBE;
BEGIN(*E*CRIBE*)
  WRITELN(DAT,DATO[1],DATO[2],DATO[3],DATO[4],DATO[5]);
  WRITELN(DAT,DATO[6],DATO[7],DATO[8]);
  WRITELN(DAT,DATO[9],DATO[10]);
  WRITELN(DAT,DATO[11],DATO[12],DATO[13],DATO[14],DATO[15],DATO[16]);
  WRITELN(DAT,DATO[17],DATO[18],DATO[19]);
END;(*E*CRIBE*)
(*PROCEDIMIENTO PARA PEDIR JUEGOS DE DATOS POR CONSOLA*)
PROCEDURE PEDIDO;
BEGIN(*PEDIDO*)
  CASE I OF (*LEE DATO*)
    1: BEGIN(*1*) WRITEL('NO. DE FASES: ');READLN(DATO[1]); END;(*1*)
    2: BEGIN(*2*) WRITEL('RESOLUCION: ');READLN(DATO[2]); END;(*2*)
    3: BEGIN(*3*) WRITEL('PAR MAXIMO: ');READLN(DATO[3]); END;(*3*)
    4: BEGIN(*4*) WRITEL('CTE. VELOC.: ');READLN(DATO[4]); END;(*4*)
    5: BEGIN(*5*) WRITEL('REDUCCION: ');READLN(DATO[5]); END;(*5*)
    6: BEGIN(*6*) WRITEL('TOL. COMUTA.: ');READLN(DATO[6]); END;(*6*)
    7: BEGIN(*7*) WRITEL('CTE. POSIC.: ');READLN(DATO[7]); END;(*7*)
    8: BEGIN(*8*) WRITEL('CTE. VELOC.: ');READLN(DATO[8]); END;(*8*)
    9: BEGIN(*9*) WRITEL('FRICCION COUL.: ');READLN(DATO[9]); END;(*9*)
    10: BEGIN(*10*) WRITEL('VISCOSA: ');READLN(DATO[10]);END;(*10*)
    11: BEGIN(*11*) WRITEL('RADIO DISCO: ');READLN(DATO[11]);END;(*11*)
    12: BEGIN(*12*) WRITEL('MASA DISCO: ');READLN(DATO[12]);END;(*12*)
    13: BEGIN(*13*) WRITEL('LONG. BRAZO: ');READLN(DATO[13]);END;(*13*)
    14: BEGIN(*14*) WRITEL('MASA BRAZO: ');READLN(DATO[14]);END;(*14*)
    15: BEGIN(*15*) WRITEL('LONG. MASA: ');READLN(DATO[15]);END;(*15*)
    16: BEGIN(*16*) WRITEL('MASA CONCEN.: ');READLN(DATO[16]);END;(*16*)
    17: BEGIN(*17*) WRITEL('FREC. INFRES.: ');READLN(DATO[17]);END;(*17*)
    18: BEGIN(*18*) WRITEL('FREC. DESEA.: ');READLN(DATO[18]);END;(*18*)
    19: BEGIN(*19*) WRITEL('ITER. CALCULO: ');READLN(DATO[19]);END;(*19*)
  END;(*CASE I*)
END;(*PEDIDO*)
(*PROCEDIMIENTO PARA DESPLEGAR LOS DATOS POR CONSOLA*)
PROCEDURE DESPLIEGA;
BEGIN(*DESPLIEGA*)
  CASE I OF (*LEE DATO*)
    1: BEGIN(*1*) WRITEL('NO. DE FASES: ');WRITELN(DATO[1]); END;(*1*)
    2: BEGIN(*2*) WRITEL('RESOLUCION: ');WRITELN(DATO[2]); END;(*2*)

```



```

3: BEGIN(*3*) WRITE('PAR MAXIMO: ');WRITELN(DATO(3)); END>(*3*)
4: BEGIN(*4*) WRITE('CTE. VELOC.: ');WRITELN(DATO(4)); END>(*4*)
5: BEGIN(*5*) WRITE('REDUCCION: ');WRITELN(DATO(5)); END>(*5*)
6: BEGIN(*6*) WRITE('TOL. COMPUTA.: ');WRITELN(DATO(6)); END>(*6*)
7: BEGIN(*7*) WRITE('CTE. POSIC.: ');WRITELN(DATO(7)); END>(*7*)
8: BEGIN(*8*) WRITE('CTE. VELOC.: ');WRITELN(DATO(8)); END>(*8*)
9: BEGIN(*9*) WRITE('FRICCION COUL.: ');WRITELN(DATO(9)); END>(*9*)
10: BEGIN(*10*) WRITE('VISCOSA: ');WRITELN(DATO(10));END>(*10*)
11: BEGIN(*11*) WRITE('RADIO DISCO: ');WRITELN(DATO(11));END>(*11*)
12: BEGIN(*12*) WRITE('MASA DISCO: ');WRITELN(DATO(12));END>(*12*)
13: BEGIN(*13*) WRITE('LONG. BRAZO: ');WRITELN(DATO(13));END>(*13*)
14: BEGIN(*14*) WRITE('MASA BRAZO: ');WRITELN(DATO(14));END>(*14*)
15: BEGIN(*15*) WRITE('LONG. MASA: ');WRITELN(DATO(15));END>(*15*)
16: BEGIN(*16*) WRITE('MASA CONCEN.: ');WRITELN(DATO(16));END>(*16*)
17: BEGIN(*17*) WRITE('FREC. IMPRES.: ');WRITELN(DATO(17));END>(*17*)
18: BEGIN(*18*) WRITE('FREC. DESEA.: ');WRITELN(DATO(18));END>(*18*)
19: BEGIN(*19*) WRITE('ITER. CALCULO: ');WRITELN(DATO(19));END>(*19*)

```

ESCRIBE(*ESCRIBE DATOS*)

CLOSE(DAT,LOCK)(*SALVA ARCHIVO*)

END. (*PARAMETROS*)

END>(*CASE *)

END>(*LE:FLIEGA*)

BEGIN(*PARAMETROS*)

WRITE(' ARCHIVO NUEVO O MODIFICACION: ');READ(R);WRITELN
(*TIPO DE MODIFICACION*)

IF R = 'N'

THEN

 {E:INI(*THEN R*)
 FWRITE(DAT, '#S;PARAMETROS.DAT')(*ABRE ARCHIVO NUEVO*)
 FOR I=1 TO NMAX DO PEDIDO(*PIDE DATOS*)
 END(*THEN R*)

ELSE

 {E:INI(*ELSE R*)
 FRESET(DAT, '#S;PARAMETROS.DAT')(*ABRE ARCHIVO*)
 LECTURA(*LEE DATOS EN EL ARCHIVO*)
 CLOSE(DAT)(*CIERRA ARCHIVO Y ABRE NUEVO PARA LECTURA*)
 FWRITE(DAT, '#S;PARAMETROS.DAT')
 LND>(*ELSE R*)

REPEAT (*UNTIL S<>'S'*)

 WRITE('MODIFICA ALGUN DATO(S/N): ');READ(S);WRITELN

 (*PREGUNTA POR MODIFICACIONES*)

 IF S = 'S' THEN

 BEGIN(*THEN S*)

 WRITE('QUE NO. DE DATO(I A ',NMAX,')');READ(I);

 IF (I<=0) OR (I>NMAX)

 THEN(I:=1)WRITELN('NUMERO INVALIDO!!!,REPITA')

 ELSE

 {E:INI(*ELSE I*)

 WRITELN('VALOR ACTUAL:')

 DESPLIEGA:

 WRITELN('NUEVO VALOR:');

 PEDIDO;

 END>(*ELSE I*)

 END>(*THEN S*)

UNTIL S <> 'S' (*FIN REPEAT*)

```

**SERVICIO.TEXT**
-----*)
*)
*) FF-OFAMA DE SERVICIO PARA EL DESPLIQUE O IMPRESION *)
*) DE ARCHIVOS DE LOS SIGUIENTES TIPOS: INTERACTIVOS, *)
*) DE TEXTO, REALES O ENTEROS, SE PERMITE ESCOGER EL *)
*) ARCHIVO DE ENTRADA Y EL DE SALIDA, SE PUEDE FIJAR *)
*) TANTO EL NUMERO DE REGISTROS A LEER COMO EL REGIS- *)
*) TRO INICIAL, *)
*) *)
*) LUIS ALVAREZ ICAZA LONGORIA PROYECTO 2136 *)
*) INSTITUTO DE INGENIERIA URAM *)
*) *)
-----*)

PROGRAM SERVICIO:

**DECLARACION DE VARIABLES**

VAR
    SALIDA, (*NOMBRE DE LA UNIDAD DE SALIDA*)
    DATOS (* " DEL ARCHIVO DE DATOS *)
           :STRING(40);

    R: CHAR; (*AUXILIAR PARA PREGUNTAS*)

    INT,SAL: INTERACTIVE; (*APUNTADES A ARCHIVOS INTERACTIVOS*)
    TEX: TEXT (*APUNTADOR " " DE TEXTO *)
    RE: FILE OF REAL; (* " " REALES *)
    ENT: FILE OF INTEGER; (* " " ENTEROS *)

    I, (*AUXILIAR PARA ITERACIONES*)
    CREG, (*CONTADOR DE REGISTROS*)
    NREG, (*NO. DE REGISTROS A LEER*)
    REGIN, (*REGISTRO DESDE EL QUE SE INICIA LA LECTURA*)
    IMP, (*NO. DE IMPRESIONES POR RENGLON A LA SALIDA*)
    PAUSA (*INDICADOR DE PAUSA PARA LA SALIDA*)
           :INTEGER;

    MUDA: STRING(80); (*VARIABLE PARA LECTURA DE TEXTO O INTERACTIVOS*)

```

)PROCEDIMIENTO PARA LECTURA DE REALES

PROCEDURE LEEREAL;

BEGIN(*LEEREAL*)

GET(RE);(*LEE REAL*)
IF EOF(RE) (*PREGUNTA POR FIN DE ARCHIVO*)

THEN CREG:=NREG

ELSE
BEGIN(*ELSE EOF*)

IF ((CREG+1) MOD IMP) = 0
THEN(*CREG+1MOD*) Writeln(SAL,RE*)(*IMPRIE DATOS*)
ELSE(*CREG+1MOD*) WRITE (SAL,RE, ' ');

IF (CREG+1)MOD(IMP*PAUSA) = 0

THEN
BEGIN(*CREG+1)DIV*)
WRITE('RETURN' PARA CONTINUAR');
READLN;
END;(*CREG+1)DIV*)
END;(*ELSE EOF*)

END;(*LEEREAL*)

)PROCEDIMIENTO PARA LECTURA DE ENTEROS

PROCEDURE LEEINT;

BEGIN(*LEEINT*)

GET(ENT);(*LEE ENTERO*)
IF EOF(ENT) (*PREGUNTA POR FIN DE ARCHIVO*)

THEN CREG:=NREG

ELSE
BEGIN(*ELSE EOF*)

IF ((CREG+1) MOD IMP) = 0
THEN(*CREG+1MOD*) Writeln(SAL,ENT*)(*IMPRIE DATOS*)
ELSE(*CREG+1MOD*) WRITE (SAL,ENT, ' ');

IF (CREG+1)MOD(IMP*PAUSA) = 0

THEN
BEGIN(*CREG+1)DIV*)
WRITE('RETURN' PARA CONTINUAR');
READLN;
END;(*CREG+1)DIV*)

END;(*ELSE EOF*)

END;(*LEEINT*)

)PROCEDIMIENTO PARA LECTURA DE ARCHIVOS INTERACTIVOS

PROCEDURE REGISTROS;

BEGIN(*REGISTROS*)

READLN(INT,MUDA);(*LEE REGISTRO*)

IF EOF(INT)

THEN CREG:=NREG

ELSE

BEGIN

Writeln(SAL,MUDA);(*IMPRIE REGISTRO*)

IF((CREG+1) MOD PAUSA) = 0 THEN

BEGIN

WRITE('RETURN' PARA CONTINUAR');READLN;(*PAUSA POR PAGINA*)

END;

END;

END;(*REGISTROS*)

)PROCEDIMIENTO PARA LECTURA DE ARCHIVOS DE TEXTO

```

PROCEDURE TEXTUAL;
BEGIN(*TEXTUAL*)
  READLN(TEX,MUDA);(*LEE REGISTRO*)
  IF EOF(TEX)
  THEN CREG:=NREG
  ELSE
    LEGI();
    WRITELN(SAL,MUDA);(*IMPRIME REGISTRO*)
    IF((CREG+1) MOD PAUSA) = 0 THEN
      BEGIN
        WRITE('RETURN PARA CONTINUAR');READLN;(*PAUSA POR PAGINA*)
      END;
    END;
  END;(*TEXTUAL*)
BEGIN(*SERVICIO*)
  REPEAT (*UNTIL R <> 'S')
  ([PLAT (*UNTIL R*)
  WRITELN('QUE TIPO DE ARCHIVO DE DATOS:');
  WRITE ('(T)TEXTO,(I)INTERACTIVO,(R)REAL,(E)INTEROS: ');
  READ(R);WRITELN;(*LEE TIPO DE ARCHIVO*)
  UNTIL R IN('T', 'I','R','E');
  WRITE('ARCHIVO DE SALIDA: ');
  READLN(DATOS);(*ARCHIVO DE SALIDA*)
  RESET(SAL,DATOS);(*LO ABRE*)
  WRITE('ARCHIVO DE ENTRADA: ');
  READLN(DATOS);(*ARCHIVO DE ENTRADA*)
  WRITE('REGISTROS A LEER: ');
  READLN(NREG);
  WRITE('REGISTRO INICIAL: ');
  READLN(REGIN);REGIN:=REGIN-1;(*REGISTRO INICIAL Y NO. DE ELLOS*)
  WRITE('NO. IMPRESIONES POR LINEA: ');
  READLN(IMP);
  WRITE('TAMANO DE LA PAGINA(EN LINEAS): ');
  READLN(PAUSA);(*FORMATOS PARA SALIDA*)
  CASE P OF (*ABRE ARCHIVO DE ENTRADA*)
  'T': BEGIN(*T*)RESET(TEX,DATOS);
        FOR I:=1 TO REGIN DO READLN(TEX,MUDA);END;(*T*)
  'I': BEGIN(*I*)RESET(INT,DATOS);
        FOR I:=1 TO REGIN DO READLN(INT,MUDA);END;(*I*)
  'R': BEGIN(*R*)RESET(RE,DATOS); SEEK(RE,REGIN);END;(*R*)
  'E': BEGIN(*E*)RESET(ENT,DATOS); SEEK(ENT,REGIN);END;(*E*)
  END;(*CASE R*)
  CREG:=0;(*CONTADOR DE REGISTROS*)

```

```

WHILE (CREG <= NREG) DO
  BEGIN(*WHILE CREG*)
    CASE R OF (*LEE DATOS*)
    'T': TEXTUAL;
    'I': REGISTRO;
    'R': LEERREAL;
    'E': LEEINT;
    END;(*CASE R*)
    CREG:=CREG+1;
  END;(*WHILE CREG*)
  CASE R OF(*CIERRA ARCHIVOS*)
  'T': CLOSE(TEX);
  'I': CLOSE(INT);
  'R': CLOSE(RE);
  'E': CLOSE(ENT);
  END;(*CASE R*)
  CLOSE(SAL);(*CIERRA ARCHIVO DE SALIDA*)
  WRITELN;WRITE('OTRO ARCHIVO(S)/II: ');
  READ(R);WRITELN;(*DECIDE SI LEER OTRO ARCHIVO*)
  UNTIL R <> 'S';(*END UNTIL R <> 'S')
  END;(*SERVICIO*)

```

```

(*C*)
(*GRAFISM,TEXT*)
PROGRAM GRAFISM;
(* DECLARA UNIDADES DE LIBRERIA *)
USES TRANSCEND,TURLEGRAPHICS,GRAFICASKY;
CONST MUESTRA = 5;
      MUESTMAY = 60;
(* ZONA DE VARIABLES *)
VAR X,Y:ARREGLODATOS;(*ARREGLOS PARA GRAFICACION*)
    XX,YY:ARRAY[1..MUESTMAY]OF REAL;(*MUESTRAS DE VALORES DE RADOS*)
    UNY,(*UNIDADES DE LAS ORDENADAS*)
    ROT:STRING[40];(*ROTULO DE LA GRAFICA*)
    F:CHAR;(*AUXILIAR PARA PREGUNTAS*)
    FACTOR,(*FACTOR PARA LECTURA*)
    ACUM:REAL;(*AUXILIAR PARA LECTURA*)
    I,L,(*AUXILIARES PARA LECTURA*)
    REGIN,(*REGISTRO INICIAL*)
    REGFIN:INTEGER;
(* PROCEDIMIENTO PARA LEER LA CURVA DE CONDICIONES REALES *)
SEGMENT PROCEDURE UNO;
(* DEFINE FORMATO DEL ARCHIVO DE ENTRADA *)
TYPE DATOS = RECORD OMR,OMD,TR,TD,TIE:REAL;END;
(* ARCHIVOS DE ENTRADA *)
VAR AE1:FILE OF REAL;
    AE2:FILE OF DATOS;
BEGIN
(*PREGUNTA POR TIPO DE GRAFICA*)
WRITE('GRAFICA DE VELOCIDAD O POSICION ');READ(R);WRITE(LN);
(*OBTIENE NO. DE REGISTROS EN EL ARCHIVO*)
RESET(AE1, '#5; NUMSENALES, DATA');
GET(AE1);I:=TRUNC(AE1);
WRITE(LN('EXISTEN: ',I, ' REGISTROS'));
CLOSE(AE1);
(*PREGUNTA POR REGITROS INICIALES Y FINALES*)
WRITE('REGISTRO INICIAL ');READLN(REGIN);
WRITE('REGISTRO FINAL ');READLN(REGFIN);
(* OBTIENE FACTOR PARA LECTURAS*)
IF REGFIN-REGIN <= 300 THEN FACTOR:=1 ELSE FACTOR:= 1.0*(REGFIN-REGIN)/300;
(*LEE DATOS*)

```

```

RESET(AE2, '#5; PLANOS, DATA');
ACUM:=FACTOR;I:=REGIN-1;SEEK(AE2,I);GET(AE2);
FOR J:=1 TO TRUNC((REGFIN-REGIN)/FACTOR) DO
BEGIN
I*(J):=AE2*.TIE;
IF R = 'P' THEN Y*(J):=AE2*.TR
ELSE Y*(J):=AE2*.OMR;
(*TOMA MUESTRAS DE CONDICIONES DESEADAS*)
IF (I MOD MUESTRA) = 0
THEN
BEGIN
REGIN
XX[(I DIV MUESTRA)+1]:=AE2*.TIE;
IF R = 'P' THEN YY[(I DIV MUESTRA)+1]:=AE2*.TD
ELSE YY[(I DIV MUESTRA)+1]:=AE2*.OMD;
END;
(*NO. DEL SIGUIENTE REGISTRO A LEER*)
ACUM:=ACUM+FACTOR;L:=TRUNC(ACUM)-1;
SEEK(AE2,L);
GET(AE2);
END;
(*ROT SEGUN ELECCION DE GRAFICA*)
IF R = 'P' THEN UNY:='RAD' ELSE UNY:='RAD/5';
IF R = 'P' THEN ROT:='POSICION SIMULADA VS. DESEADA'
ELSE ROT:='VELOCIDAD SIMULADA VS. DESEADA';
CLOSE(AE2);
(*NO. DE PLANOS A GRAFICAR*)
L:=TRUNC((RLGFIN-REGIN)/FACTOR);
END;
(*PROCEDIMIENTO PARA HALLAR COPIA EN PAPEL*)
PROCEDURE PASAPAPEL(TAMNO: INTEGER);
EXTERNAL;
REGIN:=GRAFICA;
(*ABRE ESPACIO PARA ARREGLOS DE GRAFICACION*)
NEW(X);NEW(Y);
(*LEE DATOS*)
UNO;
(*CURVA DE CONDICIONES REALES*)
DEFAULT(X,Y,L,CUR,'S',UNY,ROT);
(*CURVA DE CONDICIONES DESEADAS*)
L:=TRUNC((REGFIN-REGIN) DIV MUESTRA);
(*TRASPASA DATOS DE CONDICIONES DESEADAS A ARREGLOS DE GRAFICACION*)
FOR I:= 1 TO L DO BEGIN X*(I):=XX[(I)];Y*(I):=YY[(I)];END;
DIRUJA(X,Y,L,PUN);
FILJAHAGEN;
(*LIBERA ESPACIO DE VARIABLES*)
RELEASE(Y);RELEASE(X);

```

```

(*FRECUENTA POR COPIA EN PAPEL*)
WRITE('COPIA EN PAPEL(S/N)? ');READ(R);WRITELN;
IF R = 'S' THEN PASAPAPEL(0);

```

```
END. (*GRAFICA*)
```

```
(*INTEGRACION*)
```

```

(*EL PROGRAMA INTEGRA LA ECUACION QUE *)
(*MODELA LA RESPUESTA DEL MOTOR DE FASO*)
(*A UN PASO. *)
(* *)
(* LUIS ALVARES ICAZA *)
(* *)
(* PROYECTO 2136 *)
(* *)
(* INSTITUTO DE INGENIERIA *)

```

```
PROGRAM INTEGRAR;
USES TRANSCEND;
```

```
VAR
```

```

A,B,C: (*PARAMETROS DE LA INTEGRACION*)
TET: (*VALOR ANTERIOR DE LA POSICION*)
OME: (*VALOR ANTERIOR DE LA VELOCIDAD*)
ALF: (*VALOR DE LA ACELERACION*)
TETI: (*VALOR ACTUAL DE LA POSICION*)
OMEI: (*VALOR ACTUAL DE LA VELOCIDAD*)
T: (*TIEMPO TOTAL DE INTEGRACION*)
TS: (*TIEMPO ACTUAL DE INTEGRACION*)
DTE: (*INCREMENTO EN TIEMPO*)
NIT: (*NUMERO DE INTERVALOS*)
PFILE: (*NUMERO DE DATOS AL ARCHIVO*)
VALORES: FILE OF REAL;
I,J,K,L: INTEGER;
APELLE: STRING(20);

```

```

FUNCTION SIGN(R:REAL):INTEGER; (*FUNCION SIGNO*)
BEGIN (*SIGNO*)
  IF R<0 THEN SIGN:=1
  ELSE IF R=0 THEN SIGN:=-1
  ELSE SIGN:=0;
END; (*SIGNO*)

```

```
(* AQUI SE RESUELVE LA ECUACION DIF. *)
```

```
BEGIN (*INTEGRA*)
```

```
J:=0;TS:=0;I:=0; (*INICIALIZA*)
```

```

(*LECTURAS*)
WRITELN('PARAMETROS DE LA ECUACION');
READLN(A,B,C);
WRITELN('VALORES INICIALES (OMEGA TETA)');
READLN(OME,TET);
WRITELN('NUMERO DE INTERVALOS');
READLN(NIT);
WRITELN('NUMERO DE DATOS AL ARCHIVO');
READLN(L);
WRITELN('TIEMPO FINAL');
READLN(T);
WRITELN('ARCHIVO DE SALIDA');
READLN(APELLE);

```

```
(*FIN DE LECTURAS*)
```

```

DTE:=T/NIT;
M:=A+OME+D+SIGN(TET)*C+SIGN(OME);
REWRITE(VALORES,APELLE);
F:=NIT/L;
REPEAT

```

```

  OMEI:=OME+ALF*DTE;
  TETI:=TET+(OMEI+OME)*DTE/2;
  IF (J*(K+P)) (*ESCOGE LOS DATOS*)
  THEN (*LOS ESCRIBE*)
    BEGIN(*THEN*)
      VALORES:=TETI;
      PUT(VALORES);
      VALORES:=DTE+P;
      PUT(VALORES);
      I:=K+1;
    END(*THEN*)
  (*CALCULA EL SIGUIENTE VALOR*)
  J:=J+1;
  OME:=OMEI;
  TS:=TS+DTE;
  TET:=TETI;

```

```
ALF:=A+OME1+E+SIN(TET)+C+SIGN(OME1);
UNTIL (TS=MI+DTE);
CLOSE (VALORES, LOCK);
END. (* INTEGRACION *)
```

```
(*S*)
PROGRAM MOTOR;
USES TURTLEGRAPHICS, TRANSCEND;
CONST
  AMPLITUD=20;
  BLOQUE=128;
  POR=50;
  PI=3.141592653;
VAR
  DELTATETA,
  NUMERO1,
  NUMERO2,
  BUFFER,
  FACTOR: REAL;
  PRINCIPIO,
  REGISTRO1,
  DESPLAZA,
  COLUMNA,
  CONTROL,
  RENGLON,
  CUANTOS,
  NUEVEVE,
  INICIO,
  CUENTA,
  ORIGEN,
  RENACT,
  DESDE,
  HASTA,
  FINAL,
  CASO: INTEGER;
  MODIFILES,
  SIGNOANT,
  SIGNOACT,
  BANDERA,
  CRECE: BOOLEAN;
  PREGUNTA,
  CUESTION: CHAR;
  RE: FILE OF REAL;
  ARCHIVO: FILE OF RECORD;
  PARI,
  TETA: REAL;
  END;
  OFFSET: ARRAY [0..2] OF INTEGER;
  TETA,
  PARI: ARRAY [1..BLOQUE] OF REAL;
  X[0..279];
  Y[0..191];
```

(* PROCEDURA PARA PRODUCIR UNA COPIA EN PAPEL DE LA GRAFICA *)

```
PROCEDURE PASAPAPEL;
EXTERNAL;
```

(* PROCEDURA DE LECTURA DONDE SE PREGUNTA CUAL ES EL ARCHIVO DE DATOS *)
(* QUE SE TIENE QUE PROCESAR PONIENDOLE UN: (DRIVE) DONDE SE ENCUENTRA *)
(* TAMBIEN DA EL NUMERO DE REGISTROS QUE CONTIENE EL ARCHIVO Y PREGUNTA *)
(* DESDE DONDE COMIENZA LA LECTURA Y A PARTIR DE AHI CUANTOS REGISTROS *)
(* TIENE QUE PROCESAR, ADEMAS DE ACTUALIZAR VARIABLES Y BANDERAS. *)

PROCEDURE LECTURA;

```
VAR
  NREGISTROS:INTEGER;
  PRIMERO,
  SEGUNDO:REAL;
  NOMBRE:STRING(21);
BEGIN
  WRITELN(CHR(12));
  WRITELN('COMO SE LLAMA TU ARCHIVO DE DATOS ?');
  READLN(NOMBRE);
  RESET(ARCHIVO,NOMBRE);
  RESET(RE,'#5;NUMSENALES.DAT');
  NREGISTROS:=TRUNC(RE*1);
  CLOSE(RE);
  SEEK(ARCHIVO,0);
  HASTA:=1;
  DESDE:=1;
  WHILE (DESDE < 0) OR (DESDE > NREGISTROS) OR
    (HASTA >= NREGISTROS) OR (HASTA < DESDE) OR
    (FACTOR /= 0.0) DO
    BEGIN
      WRITELN(CHR(12));
      WRITELN('TIENES ',NREGISTROS,' REGISTROS');
      WRITELN('DESDE CUAL EMPIEZO ?');
      READLN(DESDE);
      WRITELN('CUANTOS GRAFICO ?');
      READLN(HASTA);
      DESDE:=DESDE-1;
      HASTA:=DESDE+HASTA-1;
      WRITELN(CHR(12));
      WRITELN('CUANTOS CICLOS POR RENGLON QUERES ?');
      READLN(FACTOR);
    END;
  WRITELN('QUIERES SOMBREADA LA CURVA (S/N) ?');
  READLN(QUESTION);
  PRINCIPIO:=DESDE;
  INICIO:=DESDE+1;
  FACTOR:=279/(2*PI)*FACTOR;
  DELTATETA:=1/(FACTOR*POR)*15;
  SET(ARCHIVO,DESDE);
  GET(ARCHIVO);
  PRIMERO:=ARCHIVO*.TETA;
  NUMERO1:=PRIMERO;
  SEEK(ARCHIVO,DESDE+1);
  GET(ARCHIVO);
  SEGUNDO:=ARCHIVO*.TETA;
  IF (PRIMERO < 0.0) OR (SEGUNDO < 0.0) THEN
    BEGIN
      SIGNDANT:=FALSE;
      ORIGEN:=279;
    END
  ELSE
    BEGIN
      SIGNDANT:=TRUE;
      ORIGEN:=0;
    END;
  IF PRIMERO > SEGUNDO THEN
    BEGIN
      DELTATETA:=-DELTATETA;
      CRECE:=FALSE;
    END;
```

END

```
ELSE
  CRECE:=TRUE;
SIGNDANT:=SIGNDANT;
BANDERA:=FALSE;
OFFSET(0):=146;
OFFSET(1):=83;
OFFSET(2):=20;
CUENTA:=1;
RENGLON:=0;
RENANT:=0;
RENACT:=0;
CASO:=1;
INITTURTLE;
T:=0;
```

END;

(* PROCEDIRE QUE PONE LOS LETREROS SOBRE CADA RENGLON GRAFICADO Y NOS *)
(* DICE DE QUE REGISTRO A QUE REGISTRO SE GRAFICARON. *)

PROCEDURE LETRERO;

```
VAR
  ST1,
  ST2:STRING;
  MIENTRAS:REAL;
BEGIN
  NUMERO2:=TETA*REGISTRO1-CASO/POR;
  MIENTRAS:=NUMERO2*DELTATETA;
  FINAL:=CUENTA*(LOCUF*REGISTRO1+PRINCIPIO-CASO-CUENTA);
  STR(INICIO,ST2);
  ST1:=CONCAT('REGISTRO ',ST2,' AL ');
  STR(FINAL,ST2);
  ST1:=CONCAT(ST1,ST2);
  STR(ABS(TRUNC(NUMERO1)),ST2);
  ST1:=CONCAT(ST1,' ');
  IF NUMERO1 < 0.0 THEN
    ST1:=CONCAT(ST1,'-',ST2,' ');
  ELSE
    ST1:=CONCAT(ST1,ST2,' ');
  NUMERO1:=ABS((NUMERO1-TRUNC(NUMERO1))*10000);
  STR(TRUNC(NUMERO1),ST2);
  ST1:=CONCAT(ST1,ST2,' ');
  STR(ABS(TRUNC(NUMERO2)),ST2);
  IF NUMERO2 < 0.0 THEN
    ST1:=CONCAT(ST1,'-',ST2,' ');
  ELSE
    ST1:=CONCAT(ST1,ST2,' ');
  NUMERO2:=ABS((NUMERO2-TRUNC(NUMERO2))*10000);
  STR(TRUNC(NUMERO2),ST2);
  ST1:=CONCAT(ST1,ST2,' ');
  ST1:=CONCAT(ST1,'RAD. ');
  MOVETO(0,OFFSET(RENGLON MOD 31*30);
  PENCOLOR(WHITE);
  WSTRING(ST1);
  PENCOLOR(NONE);
  INICIO:=FINAL+1;
  NUMERO1:=MIENTRAS;
END;
```

*) PROCEDURE QUE PONE UNA FLECHA IZQUIERDA A LA MITAD DE LA PANTALLA *)
 *) Y A LA ALTURA SEGUN SE LE ESPECIFIQUE EN LA VARIABLE "REN" SALE CON *)
 *) LA PLUMA SIN PINTAR PARA PODER CAMBIAR DE RENGLON E IMPRIMIR POSTE- *)
 *) RIORMENTE EL LETRERO. *)

PROCEDURE FLECHAIZO(REN:INTEGER);

```

VAR
  V1: INTEGER;
BEGIN
  PENCOLOR(NONE);
  V1:=REN+21;
  MOVETO(131,V1);
  PENCOLOR(WHITE);
  WSTRING('←');
  PENCOLOR(NONE);
  LETRERO;
END;
```

*) PROCEDURE QUE PONE UNA FLECHA DERECHA A LA MITAD DE LA PANTALLA *)
 *) Y A LA ALTURA SEGUN SE LE ESPECIFIQUE EN LA VARIABLE "REN" SALE CON *)
 *) LA PLUMA SIN PINTAR PARA PODER CAMBIAR DE RENGLON E IMPRIMIR POSTE- *)
 *) RIORMENTE EL LETRERO. *)

PROCEDURE FLECHADER(REN:INTEGER);

```

VAR
  V1: INTEGER;
BEGIN
  PENCOLOR(NONE);
  V1:=REN+21;
  MOVETO(131,V1);
  PENCOLOR(WHITE);
  WSTRING('→');
  PENCOLOR(NONE);
  LETRERO;
END;
```

END;

*) PROCEDURE QUE IMPRIME LOS EJES X A TRES DIFERENTES ALTURAS SEGUN SE *)
) LE ESPECIFIQUE EN LA VARIABLE OFFSET ESTE ES ACCIONADO CUANDO COMIEN)
) ZA EL PROGRAMA Y CADA VEZ QUE YA IMPRIMIO LA ANTERIOR PANTALLA LLENA)

PROCEDURE EJESX(REN:INTEGER);

```

BEGIN
  PENCOLOR(NONE);
  IF REN > 2 THEN
    BEGIN
      PENCOLOR(NONE);
      MOVETO(140,OFFSET(REN));
      EXIT(EJESX);
    END;
  MOVETO(0,OFFSET(REN));
  PENCOLOR(WHITE);
  MOVETO(279,OFFSET(REN));
  EJESX(REN+1);
END;
```

END;

*) PROCEDURE QUE IMPRIME UNA LINEA VERTICAL SOBRE EL EJE X QUE SE EN - *)
) CUENTRA Y PONIENDO TANTOS PUNTOS HACIA ARRIBA Y ABAJO COMO SE LE IN-)
 *) DICO EN LA VARIABLE "CUANTOS" ESTO SIRVE PARA PONER MARCAS Y ADEMAS *)
 *) PONER EL EJE Y CADA VEZ QUE SE NECESITE. *)

PROCEDURE MARCAS(COL,REN,CUANTOS:INTEGER);

```

VAR
  ARRIBA,
  ABAJO: INTEGER;
BEGIN
  PENCOLOR(NONE);
  ARRIBA:=REN+CUANTOS;
  ABAJO:=REN-CUANTOS;
  MOVETO(COL,ARRIBA);
  PENCOLOR(WHITE);
  MOVETO(COL,ABAJO);
  MOVETO(COL,REN);
  PENCOLOR(NONE);
END;
```

*) PROCEDURE QUE SIRVE PARA IR TOMANDO DE BLOQUE EN BLOQUE DATOS DEL *)
 *) DISCO VACIANDOLE ESTOS SOBRE LOS VECTORES TETA Y PAR ESTO ES PARA *)
 *) QUE SE HAGA EL PROCESO MAS RAPIDO Y NO ACCESAR TAN SEGUIDO EL DISCO *)

PROCEDURE CACHE;

```

BEGIN
  SEEM(ARCHIVO,DESDE);
  GET(ARCHIVO);
  CUANTOS:=1;
  WHILE (DESDE <= HASTA) AND (CUANTOS <= BLOQUE) DO
    BEGIN
      TETA(CUANTOS):=ARCHIVO*.TETA+POR;
      PAR(CUANTOS):=ARCHIVO*.PAR;
      CUANTOS:=CUANTOS+1;
      DESDE:=DESDE+1;
      GET(ARCHIVO);
    END;
  CUANTOS:=CUANTOS-1;
  CUENTA:=CUENTA+1;
  DESDE:=DESDE-1;
END;
```

END;

PROCEDURE PINTA;

```

BEGIN
  DESPLAZA:=TRUNC(1,0+ROUND(FACTOR*TETA(REGISTRO1))/1,0);
  NUEVETE:=TRUNC(1,0+TETA(REGISTRO1)*180/P1)*10;
  IF DESPLAZA < 0 THEN
    BEGIN
      SIGNOACT:=FALSE;
      ORIGEN:=279;
      CONTROL:=-DESPLAZA;
      X:=ORIGEN-(CONTROL MOD 280);
      RENACT:=CONTROL DIV 280;
    END;
  ELSE
    IF DESPLAZA < 0 THEN
      BEGIN
        SIGNOACT:=TRUE;
        ORIGEN:=0;
        X:=DESPLAZA MOD 280+ORIGEN;
        RENACT:=DESPLAZA DIV 280;
      END;
    IF REGISTRO1 > 1 THEN
      BEGIN
        SIGNOACT:=FALSE;
        ORIGEN:=279;
        CONTROL:=-DESPLAZA;
        X:=ORIGEN-(CONTROL MOD 280);
        RENACT:=CONTROL DIV 280;
      END;
    IF REGISTRO1 > 1 THEN
      BEGIN
        SIGNOACT:=TRUE;
        ORIGEN:=0;
        X:=DESPLAZA MOD 280+ORIGEN;
        RENACT:=DESPLAZA DIV 280;
      END;
  END;
```



```

IF TETA[REGISTRO1] < TETA[REGISTRO1-1] THEN
  BEGIN
  CASO:=1;
  DELTATETA:=-DELTATETA;
  FLECHADER(OFFSET[RENGLON MOD 3]);
  RENGLON:=RENGLON+1;
  CRECE:=FALSE;
  END;
END;
ELSE
  IF TETA[REGISTRO1] > TETA[REGISTRO1-1] THEN
    BEGIN
    CASO:=1;
    DELTATETA:=-DELTATETA;
    FLECHAIZQ(OFFSET[RENGLON MOD 3]);
    RENGLON:=RENGLON+1;
    CRECE:=TRUE;
    END;
  ELSE
    BEGIN
    CASO:=0;
    IF CRECE THEN
      FLECHADER(OFFSET[RENGLON MOD 3]);
    ELSE
      FLECHAIZQ(OFFSET[RENGLON MOD 3]);
    RENGLON:=RENGLON+1;
    PENCOLOR(INONE);
    RENANT:=RENACT;
    END;
  IF SIGNOANT (<) SIGNOACT THEN
    BEGIN
    CASO:=1;
    IF CRECE THEN
      FLECHADER(OFFSET[RENGLON MOD 3]);
    ELSE
      FLECHAIZQ(OFFSET[RENGLON MOD 3]);
    MARCAS(ABS(ORIGEN-279),OFFSET[RENGLON MOD 3],AMPLITUD);
    RENGLON:=RENGLON+1;
    END;
  IF ((RENGLON MOD 3) = 0) AND BANDERA THEN
    BEGIN
    TEXTMODE;
    WRITELN('QUIERES COPIA EN PAPEL (S/N) ?');
    WRITELN('PARA CONTINUAR VIENDO LA GRAFICA');
    WRITELN('OPRIMA LA TECLA <RETURN>');
    READLN;
    GRAFMODE;
    READLN(PREGUNTA);
    IF PREGUNTA='S' THEN
      PASAPAPEL;
    BANDERA:=FALSE;
    INITTURTLE;
    EJESEX(0);
    END;
  IF SIGNOANT (<) SIGNOACT THEN
    BEGIN
    CASO:=1;
    MARCAS(ORIGEN,OFFSET[RENGLON MOD 3],AMPLITUD);

```

```

SIGNOANT:=SIGNOACT;
END;
IF DESPLAZA = 0 THEN
  MARCAS(ORIGEN,OFFSET[RENGLON MOD 3],AMPLITUD);
  BUFFER:=TETA[REGISTRO1]-PAR[REGISTRO1]*PI/2;
  Y:=TRUNC(-AMPLITUD*SIN(BUFFER)+OFFSET[RENGLON MOD 3]);
  MOVETO(X,Y);
  PENCOLOR(WHITE);
  MOVETO(X,Y);
  IF CUESTION = 'S' THEN
    BEGIN
    Y:=OFFSET[RENGLON MOD 3];
    MOVETO(X,Y);
    END;
  IF ((RENGLON MOD 3) = 2) THEN
    BANDERA:=TRUE;
END;
BEGIN (=>PRINCIPAL)
REPEAT
  LECTURA;
  EJESEX(0);
  MARCAS(ORIGEN,146,AMPLITUD);
  WHILE DESDE < HASTA DO
    BEGIN
    CACHE;
    FOR REGISTRO1:=1 TO CUANTOS-1 DO
      BEGIN
      MODIBUJES:=FALSE;
      REPEAT
        PINTA;
        IF CRECE THEN
          BEGIN
          IF (TETA[REGISTRO1] + DELTATETA) >= TETA[REGISTRO1 + 1] THEN
            MODIBUJES:=TRUE;
          ELSE
            TETA[REGISTRO1]:=TETA[REGISTRO1] + DELTATETA;
          END;
        ELSE
          IF (TETA[REGISTRO1] + DELTATETA) <= TETA[REGISTRO1 + 1] THEN
            MODIBUJES:=TRUE;
          ELSE
            TETA[REGISTRO1]:=TETA[REGISTRO1] + DELTATETA;
          UNTIL MODIBUJES;
        END;
      END;
    CLOSE(ARCHIVO);
    CASO:=0;
    IF CRECE THEN
      FLECHADER(OFFSET[RENGLON MOD 3]);
    ELSE
      FLECHAIZQ(OFFSET[RENGLON MOD 3]);
    MARCAS(ORIGEN,OFFSET[RENGLON MOD 3],AMPLITUD);
    TEXTMODE;
    WRITELN('QUIERES COPIA EN PAPEL (S/N) ?');
    WRITELN('PARA CONTINUAR VIENDO LA GRAFICA');
    WRITELN('OPRIMA LA TECLA <RETURN>');
    READLN;
    GRAFMODE;
    READLN(PREGUNTA);

```

IF PREGUNTA=5 THEN
PASAPAPELI
TEXTMODE:
WRITELN('QUIERES REGRESAR A LEER OTRO ARCHIVO (S/N) ?');
READLN(PREGUNTA);
UNTIL PREGUNTA<'S';
END.

ANEXO B

PROGRAMAS PARA CONTROLAR LAS MEDICIONES DEL MOVIMIENTO DE LOS MOTORES DE PASOS

Este anexo contiene los listados de los programas que manejan el banco de prueba de los motores de pasos.

CONTROL: aplica la tabla de tiempos de conmutación a los motores de pasos y mide los resultados obtenidos.

PASO: mide la respuesta del motor de pasos a una sola conmutación.

PRUEBA: permite comprobar el funcionamiento del tacómetro digital.

RELOJ: prueba el reloj que se encarga de enviar los pulsos según la tabla generada en MOTOR.

GRAFREAL: grafica los resultados de los experimentos realizados en CONTROL.

GRAFPASO: grafica los resultados de PASO.

DATOS: genera un archivo con algunos parámetros necesarios para la ejecución de CONTROL.

TIEMPOS: transforma los archivos generados en MOTOR, que contienen números reales, en archivos compatibles con las necesidades de CONTROL, que maneja números enteros.

LINEAL2: realiza un ajuste lineal por mínimos cuadrados de los parámetros del modelo de comportamiento de los motores de pasos, según los resultados de PASO.

PARABOLA: igual que LINEAL2, pero con un ajuste cuadrático.

PASAPAPEL: imprime las gráficas obtenidas en cualquiera de los programas de graficación.

```

(*CONTROL.TEXT*)
(*****
(=
(= PROGRAMA PARA TOMAR MEDICIONES DEL COMPORTA- (=
(= MIENTO DE UN MOTOR DE PASOS CONTROLADO BAJO (=
(= DISTINTOS TIPOS DE CARGA. (=
(= EL PROGRAMA CONTROLA TANTO DEL TIMER QUE CON- (=
(= TROLA EL ENVIO DE PULSOS EN LA FORMA QUE INDI- (=
(= CAN LOS RESULTADOS DE LA SIMULACION COMO LOS (=
(= DISPOSITIVOS MEDIDORES DE VELOCIDAD. PAR.ETC. (=
(= (=
(= LUIS ALVAREZ ICAZA LONGORIA (=
(= PROYECTO 2136 II.URAM (=
(= (=
(*****

```

PROGRAM CONTROL:

```

(-----*)
(= ZONA DE DECLARACION DE VARIABLES Y CONSTANTES =)
(-----*)

CONST NREGMAX = 1000; (* NO. MAXIMO DE PULSOS A ENVIAR *)
NEVMAX = 4095; (* " " " EVENTOS POR MUESTRA *)
MUESTMAY = 1000; (* " " " MUESTRAS *)
CONTO = 32767; (* MODULO DE CUENTA EN EL TACOMETRO DIGITAL *)
MUERTO = 140; (* TIEMPO MUERTO EN LAS MEDICIONES DE VELOCIDAD*)
RELAPPLE = 1.0205E6; (* FRECUENCIA DEL RELOJ DE LA APPLE EN HZ *)
RESOL = 3.14159E-3; (* RESOLUCION DEL CODIFICADOR*);

(-----*)

VAR MASCARA: PACKED ARRAY [1..NREGMAX] OF 0..255; (* PULSO CODIFICADO *)
FACTOR : PACKED ARRAY [1..NREGMAX] OF 0..255; (* ESCALA DE TIEMPO *)
SIGNO : PACKED ARRAY [1..MUESTMAY] OF 0..255; (* TABLA PARA SIGNO *)
TIEMPO : ARRAY [1..NREGMAX] OF INTEGER; (* TIEMPO DEL PULSO *)
VELDAJ : ARRAY [1..MUESTMAY] OF INTEGER; (* BPS DE MEDICION *)
VELALY : ARRAY [1..MUESTMAY] OF INTEGER; (* BPS " " *)

I,J, (* INDICES PARA ITERACIONES*)
NUMREG, (* NO. DE REGISTROS *)
FRECUENCIA, (* NO. DE EVENTOS POR MEDICION EN 1/10 PASO *)
MUESTRAS, (* NO. DE MUESTRAS *)
ERROR (* INDICADOR DE ERROR EN LA EJECUCION*)

: INTEGER;

R,S: CHAR; (* VARIABLES PARA INTERROGAR *)

TIEANT, (* TIEMPO ANTERIOR*)
TETANT, (* POSICION ANTERIOR*)
VELREAL: REAL; (* VARIABLE AUXILIAR PARA EL CALCULO DE VELOCIDADES*)

AEI: FILE OF INTEGER; (* ARCHIVOS DE ENTRADA*)

ASI: FILE OF REAL; (* ARCHIVO DE SALDA*)

RESPUESTA: SET OF 0..255;

(-----*)

```

```
(* PROCEDIMIENTO EXTERNO QUE CONTIENE LOS PROGRAMAS PARA *)
(* CONTROLAR EL TACOMETRO Y EL ACOPLADOR DE ENVIO DE PULSOS *)
```

```
PROCEDURE TIEMPOREAL;
```

```
EXTERNAL; (* SE DECLARA EXTERNO *)
```

```
(*-----*)
```

```
(* PROCEDIMIENTO PARA LEER LOS DATOS DE LOS ARCHIVOS EN DISQUETE *)
(* EL ARCHIVO ESTA DIVIDIDO EN REGISTROS, CADA UNO CONTIENE DOS - *)
(* VARIABLES ENTERAS, LA PRIMERA INDICA EL TIEMPO ENTRE PULSOS Y *)
(* LA SEGUNDA EL FACTOR DE ESCALAMIENTO DE TIEMPO Y LA MASCARA *)
(* PARA EL ENVIO DEL PULSO POR EL ACOPLADOR PARALELO. *)
```

```
PROCEDURE LECTURA;
```

```
BEGIN (*LECTURA*)
```

```
  RESET(AE1,'#5;TIEMPOS.DAT'); (*ABRE ARCHIVO*)
  NUMREG:=AE1; (*OBTIENE NO. DE REGISTROS DEL ARCHIVO*)
```

```
  IF NUMREG < NUMMAX
```

```
  THEN
```

```
    BEGIN(*THEN NUMREG*)
```

```
      FOR I:=1 TO NUMREG DO
```

```
        BEGIN(*FOR I*)
```

```
          GET(AE1);
          TIEMPO(I):=AE1;
```

```
          GET(AE1);
          J:=AE1 DIV 256; (*TOMA 8 DMS*)
          J:=J MOD 4; (*TOMA FACTOR DE ESCALA*)
          FACTOR(I):=J;
```

```
          J:=AE1 MOD 256; (*TOMA 8 DPS*)
          J:=J MOD 8; (*TOMA MASCARA*)
          MASCARA(I):=J;
```

```
        END;(*FOR I*)
```

```
      CLOSE(AE1); (*CIERRA ARCHIVO DATOS*)
```

```
    END;(*THEN NUMREG*)
```

```
  ELSE
```

```
    BEGIN(*ELSE NUMREG*)
```

```
      WRITELN('DEMASIADOS REGISTROS EN EL ARCHIVO');
      CLOSE(AE1); (*CIERRA ARCHIVO DATOS*)
      EXIT(PROGRAM); (*ABORTA EJECUCION*)
```

```
    END;(*ELSE NUMREG*)
```

```
END;(*LECTURA*)
```

```
(*-----*)
```

```
(* PROCEDIMIENTO DE LECTURA DE LOS PARAMETROS PARA LAS MEDICIONES *)
```

```
PROCEDURE MEDICION;
```

```
BEGIN(*MEDICION*)
```

```
  RESET(AE1,'#5;DATOS.DAT');
  FRECUENCIA:=AE1; (*TOMA NO. EVENTOS POR MEDICION*)
```

```
  GET(AE1);
  MUESTRAS:=AE1; (*TOMA NO. DE MUESTRAS*)
```

```
  CLOSE(AE1); (*CIERRA ARCHIVO*)
```

```
END;(*MEDICION*)
```

```
(*-----*)
```

```
(* PROCEDIMIENTO QUE DESPLIEGA LOS DATOS DE LAS MEDICIONES *)
```

```
PROCEDURE DESPLIEGA;
```

```
BEGIN(*DESPLIEGA*)
```

```
  WRITELN('LOS VALORES ACTUALES PARA LAS');
  WRITELN('MEDICIONES SON:');
  WRITELN('');
```

```
  WRITELN('PULSOS POR MEDICION: ',FRECUENCIA DIV 10,'.',
          FRECUENCIA MOD 10);
  WRITELN('NO. DE MUESTRAS: ',MUESTRAS);
  WRITELN('NO. DE REGISTROS: ',NUMREG);
```

```
END;(*DESPLIEGA*)
```

```
(*-----*)
```

```
(*PROCEDIMIENTO PARA MODIFICAR ALGUN PARAMETRO*)
```

```
PROCEDURE MODIFICA;
```

```
  (*PROCEDIMIENTO LOCAL PARA FACILITAR LOS CAMBIOS*)
```

```
  PROCEDURE CORRIGE(N,FACTOR; INTEGER;VAR M;INTEGER);
```

```
  VAR A;REAL;
```

```
  BEGIN (*CORRIGE*)
```

```
    WRITE('VALOR: '); (*PIDE VALOR*)
    READLN(A); (*LEE VALOR CORREGIDO*)
    A:=TRUNC(A*FACTOR); (*ALO ESCALA*)
```

```
    IF (A<=0) OR (A>N)
```

```

THEN(*IF A=) Writeln('VALOR FUERA DE RANGO')
ELSE(*IF A=) M:=TRUNC(A);

END;(*CORRIGE*)

BEGIN(*MODIFICA*)

REPEAT

BEGIN(*REPEAT R*)

DESPLIEGA(*VALORES ACTUALES*)
WRITE('QUIERES CAMBIAR ALGUNO(S)/? ');
READLN; Writeln;

IF R = 'S'

THEN

BEGIN(*THEN R*)

Writeln('QUE DATO: ');
Writeln('NO. EVENTOS/MUESTRA=E');
Writeln('NO. MUESTRAS      =M');
WRITE('NO. REGISTROS      =R ');
READ(S); Writeln('');

CASE S OF

'E': CORRIGE(MEVMAX,10,FRECUENCIA);
'M': CORRIGE(MUESTM,1,MUESTRAS);
'R': CORRIGE(MREGMAX,1,NUMREG);

END;(*CASE S*)

END;(*THEN R*)

END;(*REPEAT R*)

UNTIL R = 'N';

END;(*MODIFICA*)

(*-----*)

(* PROCEDIMIENTO PARA TOMAR LOS DATOS NECESARIOS PARA LA EJECUCION *)

PROCEDURE DATOS;

BEGIN(*DATOS*)

LECTURA;
MEDICION;
MODIFICA;
FRECUENCIA:=FRECUENCIA-1>(*CORRIGE EL NO. DE MUESTRAS*)

END;(*DATOS*)

```

```

(*-----*)

(*PROCEDIMIENTO PARA EL MANEJO DEL RESULTADO DE LA PRUEBA*)

PROCEDURE RESULTA;

BEGIN(*RESULTA*)

RESPUESTA:=0,63;

IF ERROR IN RESPUESTA

THEN

CASE ERROR OF

0 : Writeln('CORRIDA NORMAL, CONCLUIDA!!!!!!');
63: Writeln('INTERRUPCION DE FUENTE DESCONOCIDA');

END>(*CASE ERROR*)

ELSE

Writeln('ERROR NO IDENTIFICADO, REPITA');

END;(*RESULTA*)

(*-----*)

(*PROCEDIMIENTO PARA CONVERTIR LAS TABLAS DE VELOCIDAD CONTRA TIEMPO*)

PROCEDURE INTERPRETA;

BEGIN(*INTERPRETA*)

REWRITE(ASI,'#5:VELOCIDAD.DAT');(*ADRE ARCHIVO DE SALIDA*)
IF (MUESTRAS+(FRECUENCIA+1)DIV 10) > NUMREG
THEN ASI:=NUMREG DIV ((FRECUENCIA+1) DIV 10)
ELSE ASI:=MUESTRAS>(*ESCRIBE NO. DE REGISTROS Y DE PASOS POR MEDICION*)
PUT(ASI);
ASI:=FRECUENCIA+1;
PUT(ASI);
TIEANT:=0>(*INICIALIZA TIEMPO Y POSICION*)
TETANT:=0;

FOR I:=1 TO NUMREG DO

BEGIN(*FOR I*)

IF I = 1 THEN (*THEN I*) VELREAL:=CONTO-VELALT(1)
ELSE (*ELSE I*) VELREAL:=VELALT(I-1)-VELALT(I);

IF SIGNO(I)=0 THEN (*THEN SIGNO*) J:=1
ELSE (*ELSE SIGNO*) J:=-1;

VELREAL:=1,0*VELREAL*CONTO+CONTO-VELBAJ(I)+MUERTO)/RELAPLE;
TIEANT:=TIEANT+VELREAL*ASI*1=TIEANT+PUT(ASI);(*ESCRIBE TIEMPO*)
TETANT:=TETANT+(FRECUENCIA+1)*RESOL*J;

```

```

ASI1:=TETA1;PUT(ASI1);(*INCREMENTO DE TETA*)
VELREAL1:=(FRECUENCIA1)*J*RESOL/VELREAL1>(*VELOCIDAD*)
ASI1:=VELREAL1;PUT(ASI1);(*ESCRIBE VELOCIDAD*)
END1>(*FOR 1=*)
CLOSE(ASI1,LOC1);(*CIERRA ARCHIVO DE RESULTADOS*)
END2>(*INTERPRETA*)
(* PRINCIPIO DEL PROGRAMA PRINCIPAL *)
BEGIN(*CONTROL*)
  DATOS1>(*TOMA DATOS PARA EJECUCION*)
  ERROR1:=0;(*INICIALIZA INDICADOR DE ERROR*)
  TIEMPOREAL1>(*ROUTINA EN ENSAMBLADOR*)
  RESULTA1>(*ANALIZA RESULTADOS*)
  INTERPRETA1>(*TABLAS DE RESULTADOS*)
END>(*CONTROL*)

```

TIEMPOREAL.TEXT

```

-----
PROGRAMA PARA REALIZAR PRUEBAS DEL COMFORTAMIENTO
DE LOS MOTORES DE PASOS BAJO DIVERSOS REGIMENES
CARGA.
ESTE PROGRAMA FUNCIONA COMO UNA SUBROUTINA DEL
PROGRAMA CONTROL.TEXT, CONSTA DE TRES PARTES:
-INICIALIZACION
-SERVICIO AL RELOJ PARA ENVIO DE PULSOS
-SERVICIO AL TACOMETRO DIGITAL
SUS TAREAS MAS IMPORTANTES SON:
-PROGRAMACION INICIAL DEL RELOJ Y DEL TACOMETRO
-ATENCION A LA INTERRUPCIONES PROVACADAS POR
AMBOS DISPOSITIVOS
-REPROGRAMACION DESPUES DE LAS INTERRUPCIONES.
-CONTROL DEL NUMERO DE MEDICIONES.
-ENVIO DE PULSOS A LOS MOTORES DE PASOS.
-----
LUIS ALVAREZ ICATA LONGORIA, PROYECTO 2120
INSTITUTO DE INGENIERIA, UNAM.
-----

```

.PROC TIEMPOREAL

```

-----
INCLUYE LAS MACROINSTRUCCIONES
-----
INCLUDE      #5:MACRO.TEXT
-----
DECLARACION DE VARIABLES COMUNES CON EL PROGRAMA EN PASCAL
-----
.PUBLIC      NUMREG,FRECUENCIA,MUESTRAS,ERROR
           ;NO. DE REGISTROS,NO. DE EVENTOS
           ;POR MUESTRA,NO. DE MUESTRAS E
           ;INDICADOR DE ERROR
.PUBLIC      VELRAJ,VELALT
           ;TABLAS QUE CONTENDRAN LOS RESULTADOS DE LAS
           ;MEDICIONES
.PUBLIC      MASCARA,FACTOR;TABLAS QUE CONTIENEN LA MASCARA PARA EL
.PUBLIC      TIEMPO,SIGNO ;ENVIO DE PULSOS, EL FACTOR DE DIVISION
           ;PARA EL PRIMER RELOJ, EL TIEMPO ENTRE
           ;PULSOS ESCALADO SEGUN EL FACTOR ANTERIOR
           ;Y EL SIGNO DEL MOVIMIENTO
-----
FIN DE LA ZONA DE VARIABLES PUBLICAS
-----
ZONA PARA DECLARACION DE DIRECCIONES DE PERIFERICOS Y DE VARIABLES
DE DIRECCION FIJA EN MEMORIA
-----
RETORNO ,EQU 60 ;DIRECCION DE RETORNO A PASCAL

```



```

INIMAS .EQU 02 ;AUXILIAR PARA TABLA DE MASCARAS
INDFAC .EQU 04 ;IDEM TABLA DE FACTORES
INDSIG .EQU 06 ;IDEM TABLA DE SIGNOS
INDTIE .EQU 08 ;IDEM TABLA DE TIEMPOS
INDVE .EQU 0A ;IDEM TABLA DE VELOCIDADES BAJAS
INDVA .EQU 0C ;IDEM TABLA DE VELOCIDADES ALTAS
APIRO .EQU OFFE ;DIRECCION DEL VECTOR DE INTERRUPCIONES

```

```

; ***IMPORTANTE*** SE HA SUPUESTO LA SIGUIENTE COLOCACION DE LOS PERIFER-
; RICOS: EL TIMER ESTARA EN LA RAMURA 3, EL TACMETRO
; DIGITAL ESTARA EN LA RAMURA 4 Y EL CONVERSION ANALO-
; GICO-DIGITAL ESTARA EN LA RAMURA 5.
; CUALQUIER CAMBIO DE UBICACION DE ESTOS PERIFERICOS PROVOCARA FUNCIONA-
; MIENTO INCORRECTO.
; PARA CAMBIAR DE UBICACION CUALQUIERA DE ELLOS SERIA NE-
; CESARIO MODIFICAR LAS DIRECCIONES SEGUN LAS INDICACI-
; ONES DEL MANUAL DE REFERENCIA DE LA APPLE II.

```

```

; LOCALIDADES NECESARIAS PARA MANEJAR EL TAC, DIO, (TD)

```

```

TIM1 .EQU 0C00 ;DIRECCION RELOJ 1 TD
TIM2 .EQU 0C04 ; " " 2 TD

```

```

UDC1 .EQU 0C08 ;DIRECCION UDC1
UDC2 .EQU 0C0C ; " " 2

```

```

FFS1 .EQU 0C0CA ;DIRECCION PARA LEVANTAR FLIP-FLOP 1
FFS2 .EQU 0C0CB ; " " " " 2

```

```

FFR1 .EQU 0C0CE ;DIRECCION PARA BAJAR FLIP-FLOP 1
FFR2 .EQU 0C0CF ; " " " " 2

```

```

; LOCALIDAD PARA MANEJAR EL RELOJ QUE CALCULA EL TIEMPO ENTRE PULSOS

```

```

RELOJ .EQU 0C0D ;DIRECCION DEL RELOJ

```

```

; LOCALIDAD PARA EL ACOPLADOR DE ENVIO DE PULSOS

```

```

PULNO .EQU 0C05 ;DIRECCION DEL ANUNCIADOR CERO SALIDA CERO
PULS1 .EQU 0C09 ;IDEM SALIDA UNO

```

```

;LOCALIDADES PARA CONTROL DE PARO Y ARRANQUE DEL BANCO DE PRUEBAS

```

```

PARO .EQU 0C02 ;DIRECCION DE ENTRADA PARA PARO FORZOSO
ARRAN .EQU 0C01 ;DIRECCION DE ENTRADA PARA INICIO DE PRUEBAS

```

```

; FIN DE LA ZONA DE LOCALIDADES FIJAS DE MEMORIA

```

```

; INICIO DEL PROGRAMA PRINCIPAL

```

```

FRIN: TOMA RETORNO ;GUARDA DIRECCION PARA REGRESAR A PASCAL

```

```

AFRIN: GUARDA APSERV ;OBTIENE DIR. Rutina SERV. A INTERRUPCIONES
TOMA APIRO

```

```

;-----
; RUTINAS DE INICIALIZACION DE LOS PERIFERICOS
;-----

```

```

INIC: LDY #00 ;INICIALIZA ANUNCIADORES(AMBOS ALTOS)
STA PULS1,Y
INY
INY
STA PULS1,Y

```

```

; SALVA VALORES DE LOS APUNTADES A LAS TABLAS Y DATOS DE LA EJECUCION

```

```

MUEVE MUESTRAS,NUMMUEST
MUEVE NUMREG,NUMREG
MUEVE APBAJA,INDVE
MUEVE APALTA,INDVA
MUEVE AFFACT,INDFAC
MUEVE AFMASC,INIMAS
MUEVE APTIEM,INDTIE
MUEVE APSIG,INDSIG

```

```

; PROGRAMA TIMR

```

```

INTRES 1 ;RESET INTERNO AL TIMER(RELOJES PARADOS)

```

```

LEEFACOR INDFAC,FACACT ;LEE EL PRIMER FACTOR
LEEMASCARA INIMAS,MASACT ; " LA PRIMERA MASCARA
LEETIEMPO INDIE,TIEACT ; " " TIEMPO

```

```

QUITA MORED ;ACTUALIZA EL NO. DE REGISTROS POR LEER

```

```

LDA MOD0 ;PROGRAMA RELOJ 2 APUNTANDO AL RELOJ 3
STA RELOJ+1

```

```

PROGRAMA FACACT,TIEACT ;PROGRAMA TIMERS 2 Y 3 SEGUI FACTOR

```

```

INTRES 1 ;PRECARGA CONTADORES(RELOJES AUN PARADOS)

```

```

; PROGRAMA TAC-DIG

```

```

UDC FRECUENCIA,UDC1,UDC2
;PROGRAMA UDC'S CON NUMERO DE EVENTOS

```

```

STA FFR1 ;ASEGURA QUE LOS RELOJES DEL TD ESTEN PARADOS

```

```

MODO TIM1,MODTD ;PROGRAMA MODO DE OPERACION TIMERTD ; CONT 0
MODO TIM2,MODTD1 ;IDEM CONT 1

```

```

CICLO ;INICIALIZA LOS RELOJES DEL TD

```

```

UDC FRECUENCIA,UDC1,UDC2
;PROGRAMA UDC'S CON NUMERO DE EVENTOS

```

```

; ESPERA QUE SE DE LA ORDEN DE INICIO DE PRUEBAS (CONTROLADA POR UN
; INTERRUPTOR EN EL BANCO DE PRUEBAS

```

```

ESPERA: LDA ARRAN ;VERIFICA ESTADO DEL INTERRUPTOR

```

```

DPL ESPERA          ¡ESPERA A LA ORDEN DE ARRANQUE
¡ HABILITA INTERRUPCIONES
-----
HAL:  INTRES 0      ¡ARRANCA RELOJ
STA FFS1           ¡ARRANCA TD
STA FFS2

LDA FRECUENCIA     ¡CARGA DPS DE FRECUENCIA EN INDICE X
CLI                ¡HABILITA INTERRUPCIONES AL MPU

```

¡ VERIFICA FIN DE EJECUCION

```

LOOP:  LDA ERROR    ¡VERIFICA ALGUN ERROR DE EJECUCION
       DNE DESHAD   ¡FINALIZA SI OCURRIO ALGUNO

       LDA PARO     ¡VERIFICA SEÑAL DE PARO FORZOSO
       DMI DESHAD   ¡FINALIZA SI ESTA PUESTA

       LDA MOREG+1  ¡VERIFICA SI HAY INFORMACION POR ENVIAR
       DMI DESHAD   ¡FINALIZA SI NO LA HAY

       LDA NUMEST+1 ¡VERIFICA SI CONCLUYERON LAS MEDICIONES
       DPL LOOP     ¡CONTINUA SI NO ES CIERTO

```

¡ DESHABILITA INTERRUPCIONES

```

DESHAB: SEI        ¡DESHABILITA INT. AL MPU

       STA FFR1     ¡PARA RELOJES
       STA FFR2

       INTRES 1     ¡INTRES 1
       ¡PARA RELOJ PROGRAMABLE

```

¡REGRESA A PASCAL

```

       GUARDA RETORNO ¡DIRECCION DE RETORNO AL STACK
       RTS             ¡REGRESA A PASCAL

```

¡ FIN DEL PROGRAMA PRINCIPAL EN ENSAMBLADOR

¡ RUTINA DE SERVICIO A INTERRUPCIONES

```

SERV:  PHA          ¡SALVA ACUMULADO

```

¡ VERIFICA LA FUENTE DE INTERRUPCION

```

LDA RELOJ+1       ¡PREGUNTA SI LA INTERRUPCION ES DEL RELOJ
DPL VCTD          ¡INTERRUPCION DEL TD

```

```

JMP SEREL        ¡SIRVE AL RELOJ

```

¡ VERIFICA QUE LA INTERRUPCION SEA DEL RELOJ

```

VETD:  LDA UDC1    ¡CARGA STATUS DEL TD
       AND #03     ¡LIMPIA BITS CON BASURA
       STA TSTATUS ¡LO GUARDA

```

```

EOR #03          ¡VERIFICA
DNE S1TD         ¡LA INTERRUPCION SI ES DEL TD

```

¡ INTERRUPCION PROVENIENTE DE FUENTE DESCONOCIDA

```

DESCO: LDA #3F    ¡ERRONTEMENTE DESCONOCIDA DE INTERRUPCION
       STA ERROR

```

```

PLA          ¡RECUPERA ACUMULADOR
RTI          ¡FIN DE INTERRUPCION

```

¡ INTERRUPCION DEL TD, LA SIRVE

```

S1TD:  STX UDC1    ¡PROGRAMA DPS DE UDC'S
       STX UDC2

```

```

LDA FRECUENCIA+1 ¡CARGA ACUMULADOR DPS PARA UDC'S
STA UDC1+1       ¡LOS PONE
STA UDC2+1

```

```

STA FFR1         ¡PARA RELOJES

```

```

LECTURA TIM1, INDB, 0 ¡LEE CONTENIDO CONTADORES 0 Y 1

```

```

STA FFS1         ¡ARRANCA RELOJES
STA FFS2

```

```

MODO TIM1, MODMOV, 1 ¡LEE CONTADOR 1 EN MOVIMIENTO

```

```

LECTURA TIM1, INDA, 1

```

```

LDA TSTATUS      ¡CARGA STATUS TD
AND #01          ¡PREGUNTA SI EL MOVIMIENTO FUE POSITIVO

```

```

DIREC INDSIG     ¡GUARDA DIRECCION DEL MOVIMIENTO

```

```

OUTTA NUMEST     ¡ACTUALIZA EL NO. DE MUESTRAS QUE FALTAN

```

```

PLA              ¡RESTITUYE ACUMULADOR

```

```

RTI              ¡FIN DE INTERRUPCION

```

¡SERVICIO AL RELOJ

```

SEREL: LDA #01    ¡DESHABILITA INTERRUPCIONES RELOJ 3

```


MACROINSTRUCCIONES DEL PROGRAMA PARA REALIZAR LAS PRUEBAS DEL COMPORTAMIENTO DE LOS MOTORES DE PASOS.

ESTAS MACROINSTRUCCIONES SON INSERTADAS EN EL PROGRAMA TIEMPOREAL.TEXT CUANDO ESTE ES ENSAMBLADO

LUIS ALVAREZ ICASA LONGORIA , PROYECTO 2136
INSTITUTO DE INGENIERIA, UNAM

MACRO PARA OBTENER DOS BYTES DEL STACK Y GUARDARLOS EN UNA LOCALIDAD DADA

.MACRO TOMA

PLA ;OBTIENE EL EPS
STA #1 ;LO GUARDA EN EPS DE LOCALIDAD

PLA ;OBTIENE EL BMS
STA #1+1;LO GUARDA EN BMS DE LOCALIDAD

.ENDM

MACRO PARA PONER DOS BYTES DE MEMORIA EN EL STACK

.MACRO GUARDA

LDA #1+1;OBTIENE BMS
PHA ;LO PASA AL STACK

LDA #1 ;OBTIENE EPS
PHA ;AL STACK

.ENDM

MACRO PARA CARGAR EL REGISTRO DE CONTROL DE LOS TIMERS DEL TD.

.MACRO MODO

LDA #2 ;CARGA MODO DE CONTROL
STA #1+3;LO PASA AL REGISTRO DE CONTROL DEL TIMER DESEADO

.ENDM

MACRO PARA PROGRAMAR LOS RELOJES DEL TD. ESCRIBE DOS BYTES SOBRE ALGUNO DE LOS CONTADORES (ES MUY IMPORTANTE ESCRIBIR SIEMPRE LOS DOS BYTES).

.MACRO TP

LDA #2 ;CARGA EPS
STA #1+2;LO GUARDA EN EL CONTADOR DESEADO (0 A 2,SEGUN #2)

LDA #2+1 ;CARGA BMS
STA #1+2;AL CONTADOR

.ENDM

MACRO PARA PROGRAMAR LOS CONTADORES HACIA ARRIBA Y ABAJO (UDC)

.MACRO UDC

LDA #1 ;CARGA EPS
STA #2 ;AL UDC #1
STA #3 ; " " #2

LDA #1+1;CARGA BMS
STA #2+1;AL UDC #1(SOLO LOS 4 BITS MENOS SIGNIFICATIVOS)
STA #3+1;IGUAL PARA EL UDC #2

.ENDM

MACRO PARA LEER EL VALOR DE LOS TIMERS DEL TD

.MACRO LECTURA

LDY #00 ;INICIALIZA INDICE Y

LDA #1+23 ;CARGA EPS DEL TIMER
STA #2,Y ;LOS GUARDA

INY ;INCREMENTA Y

LDA #1+23 ;CARGA BMS
STA #2,Y ;LOS GUARDA

SIM2 #2 ;ACTUALIZA APLUNTADOR

.ENDM

MACRO PARA MOVER DOS BYTES CONSECUTIVOS A OTRA LOCALIDAD

.MACRO MUEVE

LDA #1 ;CARGA EPS
STA #2 ;LOS MUEVE

LDA #1+1 ;CARGA BMS
STA #2+1 ;LOS MUEVE

.ENDM

MACRO PARA INCREMENTAR EL VALOR DE UNA VARIABLE EN LA UNIDAD

.MACRO SUM1

INC #1 ;INCREMENTA EL VALOR DE LA VARIABLE

BNE #01 ;PREGUNTA FOR CRUCE DE PAGINA

INC #1+1;ACTUALIZA SI OCURRIDO EL CRUCE

#01 NOP ;DE LO CONTRARIO CONTINUA

.ENDM

MACRO PARA INCREMENTAR EL VALOR DE UNA VARIABLE DE 16 BITS EN DOS UNIDADES

.MACRO SUM2

CLC ;BORRA CARRY

LDA %1 ;CARGA EPS DE ARGUMENTO
ADC #02 ;LOS INCREMENTA
STA %1 ;LOS SALVA

LDA %1+1;CARGA AHORA LMS
ADC #00 ;LOS ACTUALIZA EN CASO DE CRUCE DE PAGINA
STA %1+1;LOS SALVA

.ENDM

* MACRO PARA OBTENER EL DIVISOR DE FRECUENCIA DEL SEGUNDO RELOJ

.MACRO LEEFACTOR

LDB #09 ;BORRA INDICE Y

LDA #%1,Y ;CARGA VALOR DE TABLAS

AND #03 ;CONSERVA LOS DOS PRIMEROS BITS

STA %2 ;LOS GUARDA

SUM1 %1 ;ACTUALIZA APUNTADOR (DE 1 EN 1 BYTE)

.ENDM

* MACRO PARA LEER EL VALOR A CARGAR AL SEGUNDO CONTADOR

.MACRO LEETIEMPO

LDA #%1,Y ;CARGA EPS DEL TIEMPO
STA %2 ;LOS GUARDA (Y=0 EN LEEFACTOR)

INY ;INCREMENTA INDICE Y

LDA #%1,Y ;IDEM PARA LOS BMS
STA %2+1

SUM2 %1 ;ACTUALIZA APUNTADOR (DE 2 EN 2 BYTES)

.ENDM

* MACRO PARA LEER LA MASCARA QUE INDICA EL MOTOR AL CUAL ENVIAR EL PULSO

.MACRO LEEMASCARA

LDA #%1,Y ;CARGA VALOR DE TABLAS (Y=0 EN LEEFACTOR)

STA %2 ;GUARDA VALOR LEIDO

SUM1 %1 ;ACTUALIZA APUNTADOR (DE 1 EN 1 BYTE)

.ENDM

* MACRO PARA DAR RESET INTERNO AL TIMER

.MACRO INTRES

LDA #0002 ;PROGRAMA MODO DE OPERACION
STA RELOJ+1 ;APUNTA A RELOJ 1

LDA #%1 ;PARA RELOJES/RESET INTERNO
STA RELOJ ;O LOS ARRANCA

.ENDM

* MACRO PARA PROGRAMAR LOS RELOJES 2 Y 3 SEGUN FACTOR

.MACRO PROGRAMA

LDA %1 ;PASA FACTOR A ACUMULADOR

BEQ #01 ;PREGUNTA POR PRIMER FACTOR

CMR #01 ;PREGUNTA POR SEGUNDO FACTOR
BEQ #02

CMR #02 ; " " TERCER " "
BEQ #03

; PROGRAMA PARA FACTOR=1E3

LDA #0003 ;PROGRAMA MODO DE OPERACION RELOJ 3
STA RELOJ

LDA DIEZ0+1 ;CARGA BMS DE FACTOR
STA RELOJ+4
LDA DIEZ3 ; " DPS
STA RELOJ+5

JMP #04

;PROGRAMA FACTOR = 1E0

#01 LDA #0004 ;PROGRAMA RELOJ 3
STA RELOJ

JMP #04

;PROGRAMA FACTOR = 1E1

#02 LDA #0003 ;PROGRAMA RELOJ 3
STA RELOJ

LDA DIEZ1+1 ;CARGA BMS DE FACTOR(RELOJ2)
STA RELOJ+4
LDA DIEZ1 ;IDEM DPS
STA RELOJ+5

JMP #04

;PROGRAMA FACTOR = 1E2

#03 LDA #0003 ;PROGRAMA RELOJ 3
STA RELOJ


```

(*FIN DE FIN*)
.....*)
** PROGRAMA PARA ENCONTRAR LA RESPUESTA
** DE UN MOTOR DE PASOS CUANDO SE APLICA
** UN SOLO PULSO. A PARTIR DE AQUELLA SE
** FREETENDE ESTIMAR LOS PARAMETROS DE LA
** ECUACION DIFERENCIAL QUE DESCRIBE LA
** DINAMICA DEL MOTOR DE PASOS.
**
** PROYECTO 2130
** TAIL
** NOVIEMBRE 11, 1982
.....*)

```

***** PASO:

** ZONA PARA DECLARACION DE CONSTANTES Y VARIABLES **

```

CONST  NMEIAX = 5000 (*NUMERO MAXIMO DE MEDICIONES QUE TOMARA EL TACOMETRO*)
        ENMAX = 4096 (*NUMERO MAXIMO DE EVENTOS POR MEDICION*)
        RESOLUCION = 0.15707963 (*RESOLUCION DEL MOTOR DE PASOS EN RADIAN*)
        RELOJ = 1.02056 (*FRECUENCIA DEL RELOJ DE LA ARDUINO*)

```

```

TYPE  ARRREGLO = ARRAY(1..NMEIAX) OF INTEGER;
        (*TIPO DE ARRREGLO PARA GUARDAR RESULTADOS DE MED.**)

```

```

        BITIOS = PACKED ARRAY(1..NMEIAX) OF 0..255;
        (*ARRREGLO DE BYTES PARA GUARDAR DIRECCION*)

```

```

        REALES = ARRAY(1..NMEIAX) OF REAL;
        (*ARRREGLO CON LOS TIEMPOS Y VELOCIDADES FINALES **)

```

```

VAR  J: LOGEAN; (*INDICADOR PARA LETREROS*)

```

```

        NMED: (*NUMERO DE MEDICIONES DESAFAS*)
        NEVENTOS: (*NUMERO DE EVENTOS POR MEDICION*)
        CONTO: (*ARGUMENTO QUE SE DECREMENTA EN EL TIMER 0 *)
        CONTI: (* " " " " " " *)
        ERROR: (*INDICADOR DE EJECUCION DE LA RUTINA EN ENSAMBLADOR*)
        I: INTEGER; (*VARIABLE PARA ITERACIONES*)

```

```

        R: CHAR; (*VARIABLE DE CONTROL PARA ACEPTAR COMANDOS*)

```

```

        VELBAJ: (*ARRREGLO CON LOS 16 BITS MAS SIGNIFICATIVOS DE LA MEDICION*)
        VELALTI: ARRREGLO; (*COMO VELBAJ PERO LOS BITS MENOS SIGNIFICATIVOS *)

```

```

        SIGNO: BITIOS; (*SIGNO DEL MOVIMIENTO*)

```

```

        POSICION: (*ARRREGLO CON LAS POSICIONES ANGULARES*)
        TIEMPO: REALES; (*ARRREGLO CON LOS INCREMENTOS DE TIEMPO*)

```

```

        NOMBRE: STRING(40); (*NOMBRE DEL ARCHIVO DE SALIDA*)

```

```

        AP: FILE OF REAL; (*APUNTADOR AL ARCHIVO DE SALIDA*)

```

** DECLARACION DE LA RUTINA EN ENSAMBLADOR **

PROCEDURE MIDEPASO;

EXTERNAL; (*SE DECLARA EXTERNA *)

(*INICIO PROGRAMA PRINCIPAL*)

BEGIN(*PASO*)

```

        WRITELN('PROGRAMA PARA HALLAR LA RESPUESTA A')
        WRITELN('PULSO DE UN MOTOR DE PASOS');

```

```

        CONTO:=32767; (*ASIGNA VALOR AL TIMER 0*)
        CONTI:=CONTO; (* " " " " " *)

```

(*INICIA RUTINA DE MEDICIONES*)

REPEAT(*UNTIL R<='S'*)

REPEAT(*NMED*)

```

        WRITE('CUANTAS MEDICIONES(MAX=5000): ');
        READLN(NMED);
        IF NMED <= 0 THEN NMED:=NMEIAX;

```

UNTIL NMED <= NMEIAX; (*NMED*)

REPEAT(*NEVENTOS*)

```

        WRITE('CUANTOS EVENTOS POR MEDICION(MAX=4096): ');
        READLN(NEVENTOS);
        NEVENTOS:=NEVENTOS-1; (*CORRIGE EL NO. DE EVENTOS*)
        IF NEVENTOS < 0 THEN NEVENTOS:=ENMAX;

```

UNTIL NEVENTOS <= ENMAX; (*NEVENTOS*)

```

        ERROR:=0; (*INICIALIZA INDICADOR DE ERROR*)
        J:=TRUE; (*INDICADOR DE CABEZA DE PAGINA*)

```

(* RUTINA EN ENSAMBLADOR *)

MIDEPASO;

(* FIN RUTINA EN ENSAMBLADOR *)

IF ERROR = 0 (*ERROR*)

TIEMPO:=ERROR;

BEGIN(*THEN*)

```

        FOR I:=1 TO NMED DO(*MODIFICA EL ARCHIVO DE DIRECCIONES*)
            IF SIGNO(I) < 2 THEN SIGNO(I):=0 ELSE SIGNO(I):=2;

```

```

        (*VALORES INICIALES DE TIEMPO Y POSICION*)
        TIEMPO(I):=((CONTO-VELALTI(I))*CONTO* CONTO- VELBAJ(I)* 100)/RELOJ;
        POSICION(I):=RESOLUCION*9;
        IF SIGNO(I) = 1 THEN POSICION(I):= POSICION(I)+(-1);

```

```

FOR I:=2 TO NMED DO
BEGIN(*FOR I*)
  IF J THEN WRITELN(' POSICION      TIEMPO');
  TIEMPO(I):=VELALT(I-1)-VELALT(I);
  TIEMPO(I):=(TIEMPO(I)*CONT0+ CONT0 -VELAJ(I) + 109)/RELOJ;
  (*OBTIENE TIEMPO REAL*)
  POSICION(I):=POSICION(I-1)+RESOLUCION*(SIGNO(I)-1);
  WRITELN(POSICION(I):15, TIEMPO(I):15);
  IF I MOD 23 = 0 THEN J:=TRUE ELSE J:=FALSE; (*CABEZA DE PAGINA*)
END(*FOR I*)
END(*THEN*)
ELSE(*ERROR*)
BEGIN (*ELSE*)
  IF ERROR = 120(*ERROR=120*)
  THEN
    WRITELN('INTERRUPCION MUY RAPIDA');
  ELSE
    WRITELN('INTERRUPCION DE FUENTE DESCONOCIDA');
  END(*ELSE*)
WRITE('NOMBRE DEL ARCHIVO DE SALIDA: '); READLN(NOMBRE); (*NOMBRE ARCHIVO DE SAL.*)
REWRITE(AP, NOMBRE); (*LO ADRE*)
FOR I:=1 TO NMED DO
  BEGIN(*FOR I*) AP:=POSICION(I); PUT(AP); AP:=TIEMPO(I); PUT(AP); END(*FOR*)
CLOSE(AP, LOCK); (*LO CIERRA Y GUARDA*)
WRITE('CONTINUO(S/N): '); (*PREGUNTA SI CONCLUYEN LAS MEDICIONES*)
READ(R);
WRITELN('');
UNTIL R <>'S'; (*UNTIL R <>'S')
END(*PASO*)

```

```

MIDEPASO.TEXT
*****
;
; RUTINA EN ENSAMBLADOR PARA CONTROLAR EL TA-
; COMETRO DIGITAL
;
;           PROYECTO      2136
;           LAIL NOVIEMBRE 82
;
; ESTA RUTINA ES LLAMADA COMO UN PROCEDURE
; DEL PROGRAMA PASO.CODE
;
; SE INCLUYERON MODIFICACIONES PARA INICIAR LAS
; PRUEBAS A PETICION DEL USUARIO, MANDAR EL PUL-
; SO A TRAVES DE LOS ANUNCIADORES Y FORZAR EL
; FIN DEL EXPERIMENTO.
;
*****

      .PROC MIDEPASO

; ZONA PARA LA DECLARACION DE MACROINSTRUCCIONES
;-----
; MACRO PARA OBTENER DOS BYTES DEL STACK Y GUARDARLOS EN UNA LOCALIDAD DADA

      .MACRO TOMA
FLA      ;OBTIENE EL DFS
STA %I  ;LO GUARDA

FLA      ;OBTIENE EL DMS
STA %I+1;LO GUARDA

      .ENDM

; MACRO PARA PONER DOS BYTES DE MEMORIA EN EL STACK

      .MACRO GUARDA
LDA %I+1;OBTIENE DMS
PHA      ;LO PONE EN EL STACK

LDA %I   ;OBTIENE DFS
PHA      ;LO PONE EN EL STACK

      .ENDM

; MACRO PARA CARGAR EL REGISTRO DE CONTROL DE LOS TIMERS

      .MACRO MODO
LDA %0   ;CARGA MODO DE CONTROL
STA %I+3 ;AFUNTA AL REGISTRO DE CONTROL DEL TIMER EN CUESTION

      .ENDM

; MACRO PARA PROGRAMAR LOS RELOJES DEL TACOMETRO.
; ESCRIBE DOS BYTES SOBRE ALGUNO DE LOS CONTADORES
; (ES IMPORTANTE ESCRIBIR SIEMPRE LOS DOS BYTES)

```



```

FEFATI:=NMEI*1
WRITE('CUANTAS MEDICIONES(MAX=500): ');
REALN(NMED);
IF NMED = 0 THEN NMED:=MEDMAX+1;
UNTIL NMED <=MEDMAX; (*NMED*)
FEFATI:=NEVENTOS*1
WRITE('CUANTOS EVENTOS POR MEDICION(MAX=4096): ');
REALN(NEVENTOS);
NEVENTOS:=NEVENTOS-1; (*CORRIGE EL NO. DE EVENTOS*)
IF NEVENTOS = 0 THEN NEVENTOS:=EVMAX+1;
UNTIL NEVENTOS <=EVMAX; (*NEVENTOS*)
WRITE('VELOCIDAD DESEADA(EV/S): '); (*FIDE VELOCIDAD DEL EMULADOR*)
REALN(VELDESEADA);
ERROR:=0; (*INICIALIZA INDICADOR DE ERROR*)
J:=TRUE; (*INDICADOR DE CABEZA DE PAGINA*)
(* ROUTINA EN ENSAMBLADOR *)
MUESTRA:
(* FIN RUTINA EN ENSAMBLADOR *)
IF ERROR = 0 (*ERROR*)
THEN *ERROR*
FOR I:=1 TO NMED DO
BEGIN(*FOR I*)
IF J THEN WRITELN(' VELOCIDAD REAL ERROR DE VEL ');
IF I = 1 THEN VELREAL:=CONTO-VELALTI;
ELSE VELREAL:=VELALTI-1-VELALTI;
VELREAL:=1.0205E6*(NEVENTOS+1)/41.0*ARC(VELREAL)*CONTO
+ CONTO -VELALTI + B2;
(*OBTIENE VELOCIDAD REAL*)
VELERROR:=ABS(ABS(VELREAL)-VELDESEADA);
WRITELN(VELREAL:15,VELERROR:15);
IF I MOD 23 = 0 THEN J:=TRUE ELSE J:=FALSE; (*CABEZA DE PAGINA*)
END(*FOR I*)
ELSE(*ERROR*)
BEGIN (*ELSE*)
IF ERROR = 129(*ERROR=129*)

```

```

THEN
WRITELN('INTERRUPCION MUY RAPIDA')
ELSE
WRITELN('INTERRUPCION DE FUENTE DESCONOCIDA');
END; (*ELSE*)
WRITE('CONTINUO(S)/N): '); (*PREGUNTA SI CONCLUYEN LAS MEDICIONES*)
READ(R);
WRITELN('');
UNTIL R < 'S'; (*UNTIL R < 'S'*)
END. (*FIN PROGRAMA PRINCIPAL*)

```

```

.....
:
: RUTINA EN ENSAMBLADOR PARA CONTROLAR EL TA-
: COMETRO DIGITAL
:
: PROYECTO 2156
: LAIL OCTUBRE 82
:
: ESTA RUTINA ES LLAMADA COMO UN PROCEDIME
: NTO DEL PROGRAMA PRUEBA.CODE
:
:

```

.PROC MUESTRA

: ZONA PARA LA DECLARACION DE MACROINSTRUCCIONES

: MACRO PARA OBTENER DOS BYTES DEL STACK Y GUARDARLOS EN UNA LOCALIDAD DADA

.MACRO TOMA

FLA :OBTIENE EL EPS
STA %1 :LO GUARDA

FLA :OBTIENE EL BMS
STA %1:LO GUARDA

.ENDM

: MACRO PARA PONER DOS BYTES DE MEMORIA EN EL STACK

.MACRO GUARDA

LDA %1:OBTIENE BMS
PHA :LO PONE EN EL STACK

LDA %1 :OBTIENE EPS
PHA :LO PONE EN EL STACK

.ENDM

: MACRO PARA CARGAR EL REGISTRO DE CONTROL DE LOS TIMERS

.MACRO MODO

LDA %2 :CARGA MODO DE CONTROL
STA %1+%3 :AFUNTA AL REGISTRO DE CONTROL DEL TIMER EN CUESTION

.ENDM

: MACRO PARA PROGRAMAR LOS RELOJES DEL TACOMETRO.
: ESCRIBE DOS BYTES SOBRE ALGUNO DE LOS CONTADORES
: (ES IMPORTANTE ESCRIBIR SIEMPRE LOS DOS BYTES)

.MACRO TP

LDA %2 :CARGA EPS
STA %1+%3 :LO GUARDA EN EL CONTADOR

LDA %2+1 :CARGA BMS
STA %1+%3 :LO GUARDA EN EL CONTADOR

.ENDM

: MACRO PARA SALVAR EN EL STACK EL VALOR DE LOS ACUMULADORES
: E INDICES AL OCURRIR INTERRUPCION

.MACRO SALVA

PHA :GUARDA ACUMULADOR
IYA :PASA INDICE Y A ACUMULADOR
PHA : SALVA INDICE Y

.ENDM

: MACRO PARA RECUPERAR EL VALOR DEL ACUMULADOR E INDICES AL
: CONCLUIR LA INTERRUPCION

.MACRO RECUPERA

PLA :OBTIENE INDICE Y
TAY :OBTIENE ACUMULADOR
FLA :OBTIENE ACUMULADOR

.ENDM

: MACRO PARA PROGRAMAR LOS CONTADORES HACIA ARRIBA Y HACIA ABAJO

.MACRO UDC

LDA %1 :CARGA EPS
STA %2 :LO GUARDA EN EL UDC #1
STA %3 : " " " " " #2

LDA %1+1:CARGA BMS
STA %2+1:LO GUARDA EN EL UDC #1(SOLO LOS 4 BITS MENOS SIGNIFICATIVOS)
STA %3+1: " " " " " #2

.ENDM

: MACRO PARA LEER EL VALOR DE LOS TIMERS

.MACRO LECTURA

LDY #00 :LEER INDICE Y

LDA %1+%2 :LEE BPS DEL TIMER
STA %2,Y :LOS GUARDA EN TABLAS

INY :INCREMENTA INDICE Y

LDA %1+%3 :LEE BMS DEL TIMER
STA %2,Y :LOS GUARDA

CLC :ACTUALIZA APUNTADOR
 :SIGUE SI NO HAY CRUCE DE PAGINA

LDA %2
ADC #02 :ACTUALIZA EN CASO DE CRUCE


```

PROGRAMA TEXT*)
*****
*)
*) PROGRAMA PARA PROBAR EL RELOJ QUE GENERA LOS *)
*) TIEMPOS ENTRE PULSOS. *)
*)
*) EL OBJETO DEL PROGRAMA ES GENERAR PULSOS BASADO *)
*) EN UN ARCHIVO DE DATOS CON EL FORMATO DEL ARCHI-*)
*) VO TIEMPOS.DAT. LOS PULSOS DEBERAN VERSE EN UN *)
*) OSCILOSCOPIO. *)
*)
*) LUIS ALVAREZ ICAZA LONGORIA *)
*) PROYECTO 2136 II, UNAM *)
*)
*****

```

PROGRAMA RELOJ;

```

*****
*) ZONA DE DECLARACION DE VARIABLES Y CONSTANTES *)
*****

```

CONST NREGMAX = 1000; (* NO. MAXIMO DE PULSOS A ENVIAR *)

(*****)

VAR MASCARA: PACKED ARRAY [1..NREGMAX] OF 0..255; (* PULSO CODIFICADO *)
 FACTOR: PACKED ARRAY [1..NREGMAX] OF 0..255; (* ESCALA DE TIEMPO *)
 TIEMPO: ARRAY [1..NREGMAX] OF INTEGER; (* TIEMPO DEL PULSO *)

I, J, (* INDICES PARA ITERACIONES *)
 NUMREG, (* NO. DE REGISTROS *)
 ERROR (* INDICADOR DE ERROR EN LA EJECUCION *)

: INTEGER

R, S: CHAR; (* VARIABLES PARA INTERROGAR *)

AE1: FILE OF INTEGER; (* ARCHIVOS DE ENTRADA *)

RESPUESTA: SET OF 0..255;

(*****)

(* PROCEDIMIENTO EXTERNO QUE CONTIENE LOS PROGRAMAS *)
 (* PARA CONTROLAR EL ACOPLADOR DE ENVIO DE PULSOS *)

PROCEDURE PRUEARELOJ;

EXTERNAL; (* SE DECLARA EXTERNO *)

(*****)

(* PROCEDIMIENTO PARA LEER LOS DATOS DE LOS ARCHIVOS EN DISQUETE *)
 (* EL ARCHIVO ESTA DIVIDIDO EN REGISTROS. CADA UNO CONTIENE DOS *)
 (* VARIABLES ENTERAS. LA PRIMERA INDICA EL TIEMPO ENTRE PULSOS Y *)
 (* LA SEGUNDA EL FACTOR DE ESCALAMIENTO DE TIEMPO Y LA MASCARA *)
 (* PARA EL ENVIO DEL PULSO POR EL ACOPLADOR PARALELO. *)

PROCEDURE LECTURA;

DE:IN (*LECTURA*)

PESET(AE1, 'MS;TIEMPOS.DAT'); (*ABRE ARCHIVO*)
 NUMREG:=AE1; (*OBTIENE NO. DE REGISTROS DEL ARCHIVO*)

IF NUMREG < NREGMAX

THEN

BEGIN(*THEN NUMREG*)

FOR I:=1 TO NUMREG DO

BEGIN(*FOR I*)

GET(AE1);
 TIEMPO(I):=AE1;

GET(AE1);
 J:=AE1 DIV 256; (*TOMA 3 BMS*)
 J:=J MOD 4; (*TOMA FACTOR DE ESCALA*)
 FACTOR(I):=J;

J:=AE1 MOD 256; (*TOMA 3 BMS*)
 J:=J MOD 8; (*TOMA MASCARA*)
 MASCARA(I):=J;

END;(*FOR I*)

CLOSE(AE1); (*CIERRA ARCHIVO DATOS*)

END(*THEN NUMREG*)

ELSE

BEGIN(*ELSE NUMREG*)

WRITELN('DEMASIADOS REGISTROS EN EL ARCHIVO');
 CLOSE(AE1); (*CIERRA ARCHIVO DATOS*)
 EXIT('PROGRAMA'); (*ABORTA EJECUCION*)

END;(*ELSE NUMREG*)

END;(*LECTURA*)

(*****)

(* PROCEDIMIENTO QUE DESPLIEGA LOS DATOS DE LAS MEDICIONES *)

PROCEDURE DESPLIEGA;

BEGIN(*DESPLIEGA*)

WRITELN('LOS VALORES ACTUALES PARA LAS');
 WRITELN('MEDICIONES SON:');
 WRITELN('');

WRITELN('NO. DE REGISTROS: ', NUMREG);


```

END; (*DESPLIEGA*)
(*-----*)
(*PROCEDIMIENTO PARA MODIFICAR ALGUN PARAMETRO*)
PROCEDURE MODIFICA;
(*PROCEDIMIENTO LOCAL PARA FACILITAR LOS CAMBIOS*)
PROCEDURE CORRIGE(N,FACTOR) INTEGER;VAR M:INTEGER;
VAR A:REAL;
BEGIN (*CORRIGE*)
WRITE('VALOR: ');(*PIDE VALOR*)
READLN(A);(*LEE VALOR CORREGIDO*)
A:=TRUNC(A)*FACTOR;(*LO ESCALA*)
IF (A<0) OR (A>N)
THEN(*IF A*) WRITELN('VALOR FUERA DE RANGO')
ELSE(*IF A*) M:=TRUNC(A);
END;(*CORRIGE*)
BEGIN(*MODIFICA*)
REPEAT
BEGIN(*REPEAT R*)
DESPLIEGA;(*VALORES ACTUALES*)
WRITE('QUIERES CAMBIAR ALGUNO(S)/N? ');
READLN; WRITELN;
IF R = 'S'
THEN
BEGIN(*THEN R*)
WRITE('NO. REGISTROS =R');
READ(S); WRITELN(' ');
CASE S OF
'R': CORRIGE(N,FACTOR);
END;(*CASE S*)
END;(*THEN R*)
END;(*REPEAT R*)
UNTIL R = 'N';
END;(*MODIFICA*)

```

```

(*-----*)
(*PROCEDIMIENTO PARA TOMAR LOS DATOS NECESARIOS PARA LA EJECUCION *)
PROCEDURE DATOS;
BEGIN(*DATOS*)
LECTURA;
MODIFICA;
END;(*DATOS*)
(*-----*)
(*PROCEDIMIENTO PARA EL MANEJO DEL RESULTADO DE LA PRUEBA*)
PROCEDURE RESULTA;
BEGIN(*RESULTA*)
RESPUESTA:=0;63;
IF ERROR IN RESPUESTA
THEN
CASE ERROR OF
0: WRITELN('CORRIDA NORMAL, CONCLUIDA');
63: WRITELN('INTERRUPCION DE FUENTE DESCONOCIDA');
END;(*CASE ERROR*)
ELSE
WRITELN('ERROR NO IDENTIFICADO, REPITA');
END;(*RESULTA*)
(*-----*)
(*PRINCIPIO DEL PROGRAMA PRINCIPAL*)
BEGIN(*CONTROL*)
DATOS;(*TOMA DATOS PARA EJECUCION*)
ERROR:=0;(*INICIALIZA INDICADOR DE ERROR*)
PRUEBA;(*ROTINA EN ENSAMBLADOR*)
RESULTA;(*ANALIZA RESULTADOS*)
END;(*CONTROL*)

```

*****RELOJ.TEXT

PROGRAMA PARA REALIZAR PRUEBAS DEL RELOJ QUE
GENERA LOS PULSOS PARA LOS MOTORES DE PASOS.

ESTE PROGRAMA FUNCIONA COMO UNA SUBROUTINA DEL
PROGRAMA RELOJ.TEXT. CONSTA DE TRES PARTES:
-INICIALIZACION
-SERVICIO AL RELOJ PARA ENVIO DE PULSOS
SUS TAREAS MAS IMPORTANTES SON:
-PROGRAMACION INICIAL DEL RELOJ
-ATENCIÓN A LA INTERFERENCIAS PROVOCADAS POR
EL RELOJ
-REPROGRAMACION DESPUES DE LAS INTERRUPCIONES.
-ENVIO DE PULSOS A LOS MOTORES DE PASOS.

LUIS ALVAREZ ICAZA LONGORIA, PROYECTO 2130
INSTITUTO DE INGENIERIA, UNAM.

.PROC PRUERRELOJ

INCLUDE LAS MACROINSTRUCCIONES

.INCLUDE \$SIMACROREL.TEXT

DECLARACION DE VARIABLES COMUNES CON EL PROGRAMA EN PASCAL

.PUBLIC NUMREG,ERROR
IND. DE REGISTROS E INDICADOR DE ERROR
.PUBLIC MASCARA,FACTOR,TABLAS QUE CONTIENEN LA MASCARA PARA EL
.PUBLIC TIEMPO SERVICIO DE PULSOS, EL FACTOR DE DIVISION
PARA EL PRIMER RELOJ, EL TIEMPO ENTRE
PULSOS ESCALADO SEGUN EL FACTOR ANTERIOR

FIN DE LA ZONA DE VARIABLES PUBLICAS

ZONA PARA DECLARACION DE DIRECCIONES DE PERIFERICOS Y DE VARIABLES
DE DIRECCION FIJA EN MEMORIA

RETORNO .EQU 00 ;DIRECCION DE RETORNO A PASCAL
INDMAS .EQU 02 ;AUXILIAR PARA TABLA DE MASCARAS
INDFAC .EQU 04 ;IDEM TABLA DE FACTORES
INDTIE .EQU 06 ;IDEM TABLA DE TIEMPOS
APIRO .EQU OFFE ;DIRECCION DEL VECTOR DE INTERRUPCIONES

IMPORTANTE
SE HA SUPUESTO LA SIGUIENTE QUE EL TIMER ESTARA
COLOCADO EN LA RAMA 3.

!!CUALQUIER CAMBIO DE UBICACION PROVOCARA FUNCIONAMIENTO INCORRECTO.
PARA CAMBIAR DE UBICACION SERIA NECESARIO
MODIFICAR LAS DIRECCIONES SEGUN LAS INDICACIONES
DEL MANUAL DE REFERENCIA DE LA APPLE II.

LOCALIDAD PARA MANEJAR EL RELOJ QUE CALCULA EL TIEMPO ENTRE PULSOS

RELOJ .EQU 0C0B0 ;DIRECCION DEL RELOJ

LOCALIDAD PARA EL ACOPLADOR DE ENVIO DE PULSOS

PULNO .EQU 0C058 ;DIRECCION DEL ANUNCIADOR CERO SALIDA CERO
PULSI .EQU 0C059 ;IDEM SALIDA UNO

LOCALIDADES PARA CONTROL DE PARO Y ARRANQUE DEL BANCO DE PRUEBAS

PARO .EQU 0C062 ;DIRECCION DE ENTRADA PARA PARO FORZOSO
ARRAN .EQU 0C061 ;DIRECCION DE ENTRADA PARA INICIO DE PRUEBAS

FIN DE LA ZONA DE LOCALIDADES FIJAS DE MEMORIA

INICIO DEL PROGRAMA PRINCIPAL

PRIN: TONA RETORNO ;GUARDA DIRECCION PARA REGRESAR A PASCAL

AFUN: GUARDA APRESV ;ORTIENE DIR. RUTINA SERV. A INTERRUPCIONES
TONA APIRO

RUTINAS DE INICIALIZACION DE LOS PERIFERICOS

INIC: LDY #00 ;INICIALIZA ANUNCIADORES (CAMPOS ALTOS)
STA PULSI,Y
INY
INX
STA PULSI,Y

SALVA VALORES DE LOS AFUNTADORES A LAS TABLAS Y DATOS DE LA EJECUCION

MUEVE NUMREG,NOREG
MUEVE APFACT,INDFAC
MUEVE ARMASC,INDMAS
MUEVE APTIEM,INDTIE

PROGRAMA TIMER

INTRES 1 ;RESET INTERNO AL TIMER(RELOJES PARADOS)

LEEFACOR INDFAC,FAFACT ;LEE EL PRIMER FACTOR
LEEMASCARA INDMAS,MASACT ; " LA PRIMERA MASCARA
LEETIEMPO INDTIE,TIEACT ; " " " TIEMPO


```

MASCAT .BYTE OFF ; " " " LA MASCARA
MASCANT .BYTE OFF ; " ANTERIOR " " "
MOD01 .BYTE 06 ;MODO DE OPERACION DEL RELOJ2 APUNTANDO AL 3
MOD02 .BYTE 87 ; " " " " " 2 APUNTANDO AL 1
MOD03 .BYTE 0C0 ; " " " " " 3 (SINCRONIA RELOJ2)
MOD04 .BYTE 0C2 ; " " " " " 3 (SINCRONIA APFLE)
TIME1 .WORD 0104 ;EQUIVALENTE A 10 DEC.HACIENDO (DMS+1)*(BPS+1)
TIME2 .WORD 1803 ;EQUIVALENTE A 100 DEC.IDEM
TIME3 .WORD 0F03 ;EQUIVALENTE A 1000 DEC.IDEM
MOREG .WORD 0000 ; " " " NUMREG

```

FIN DE LA ZONA DE VARIABLES Y APUNTAORES

.END

FIN DEL PROGRAMA EN ENSAMBLADOR

MACROREL.TEXT

* MACROINSTRUCCIONES DEL PROGRAMA PARA REALIZAR LAS PRUEBAS DEL RELOJ
 QUE ENVIA LOS PULSOS A LOS MOTORES DE PASOS.

* ESTAS MACROINSTRUCCIONES SON INCERTADAS EN EL PROGRAMA FRUERELOJ.TEXT
 CUANDO ESTE ES ENSAMBLADO

* LUIS ALVAREZ ICAZA LORIGORIA , PROYECTO 2106

* INSTITUTO DE INGENIERIA, UNAM

MACRO PARA OBTENER DOS BYTES DEL STACK Y GUARDARLOS EN UNA LOCALIDAD DADA

.MACRO TOMA

```

PLA ;OBTIENE EL DPS
STA X1 ;LO GUARDA EN BPS DE LOCALIDAD

```

```

PLA ;OBTIENE EL DMS
STA X1+1;LO GUARDA EN DMS DE LOCALIDAD

```

.ENDM

MACRO PARA PONER DOS BYTES DE MEMORIA EN EL STACK

.MACRO GUARDA

```

LDA X1;OBTIENE DMS
PHA ;LO PASA AL STACK

```

```

LDA X1 ;OBTIENE BPS
PHA ;AL STACK

```

.ENDM

MACRO PARA MOVER DOS BYTES CONSECUTIVOS A OTRA LOCALIDAD

.MACRO MUEVE

```

LDA X1 ;CARGA BPS
STA X2 ;LOS MUEVE

```

```

LDA X1+1 ;CARGA DMS
STA X2+1 ;LOS MUEVE

```

.ENDM

MACRO PARA INCREMENTAR EL VALOR DE UNA VARIABLE EN LA UNIDAD

.MACRO SUM1

```

INC X1 ;INCREMENTA EL VALOR DE LA VARIABLE

```

```

DNE #01 ;PREGUNTA POR CRUCE DE PAGINA

```

```

INC X1+1;ACTUALIZA SI OCURRIO EL CRUCE

```

```

#01 NOP ;DE LO CONTRARIO CONTINUA

```

.ENDM

MACRO PARA INCREMENTAR EL VALOR DE UNA VARIABLE DE 16 BITS EN DOS UNIDADES

.MACRO SUM2

```

CLC ;BORRA CARRY

```

```

LDA X1 ;CARGA EPS DE ARGUMENTO
ADC #02 ;LOS INCREMENTA
STA X1 ;LOS SALVA

```

```

LDA X1+1;CARGA AHORA DMS
ADC #02 ;LOS ACTUALIZA EN CASO DE CRUCE DE PAGINA
STA X1+1;LOS SALVA

```

.ENDM

MACRO PARA OBTENER EL DIVISOR DE FRECUENCIA DEL SEGURO RELOJ

.MACRO LEEFACTOR

```

LDY #00 ;BORRA INDICE Y

```

```

LDA #X1,Y ;CARGA VALOR DE TABLAS

```

```

AND #03 ;CONSERVA LOS DOS PRIMEROS BITS

```

```

STA X2 ;LOS GUARDA

```

```

SUM1 X1 ;ACTUALIZA APUNTAOR (DE 1 EN 1 BYTE)

```

.ENDM

MACRO PARA LEER EL VALOR A CARGAR AL SEGURO CONTADOR

.MACRO LEETIEMPO

```

LDA @%1,Y      ¡CARGA EPS DEL TIEMPO
STA %2         ¡LOS GUARDA (Y=0 EN LEEFACTOR)

INV           ¡INCREMENTA INDICE Y

LDA @%1,Y      ¡IDEM PARA LOS DMS
STA %2+1

SUM2 %1       ¡ACTUALIZA APUNTAOR (DE 2 EN 2 BYTES)

.ENDM

* MACRO PARA LEER LA MASCARA QUE INDICA EL MOTOR AL CUAL ENVIAR EL PULSO

.MACRO LEEFASCARA

LDA @%1,Y      ¡CARGA VALOR DE TABLAS (Y=0 EN LEEFACTOR)

STA %2         ¡GUARDA VALOR LEIDO

SUM1 %1       ¡ACTUALIZA APUNTAOR (DE 1 EN 1 BYTE)

.ENDM

¡ MACRO PARA DAR RESET INTERNO AL TIMER

.MACRO INTRES

LDA MODO2      ¡PROGRAMA MODO DE OPERACION
STA RELOJ*1    ¡APUNTA A RELOJ 1

LDA #%1        ¡PARA RELOJES (RESET INTERNO)
STA RELOJ      ¡O LOS ARRANCA

.ENDM

¡ MACRO PARA PROGRAMAR LOS RELOJES 2 Y 3 SEGUN FACTOR

.MACRO PROGRAMA

LDA %1         ¡PASA FACTOR A ACUMULADOR

DED #01        ¡PREGUNTA POR PRIMER FACTOR

CMP #01        ¡PREGUNTA POR SEGUNDO FACTOR
BEQ #02

CMP #02        " " " TERCER "
BEQ #03

¡ PROGRAMA PARA FACTOR=1E3

LDA MODO3      ¡PROGRAMA MODO DE OPERACION RELOJ 3
STA RELOJ

LDA DIEZ3+1   ¡CARGA DMS DE FACTOR
STA RELOJ*4
LDA DIEZ3     ¡ " DMS
STA RELOJ*5

```

```

JMP #04

¡PROGRAMA FACTOR = 1E0

101 LDA MODO4      ¡PROGRAMA RELOJ 3
STA RELOJ

JMP #04

¡PROGRAMA FACTOR = 1E1

102 LDA MODO3      ¡PROGRAMA RELOJ 3
STA RELOJ

LDA DIEZ1+1    ¡CARGA DMS DE FACTOR(RELOJ2)
STA RELOJ*4
LDA DIEZ1      ¡IDEM DMS
STA RELOJ*5

JMP #04

¡PROGRAMA FACTOR = 1E2

103 LDA MODO3      ¡PROGRAMA RELOJ 3
STA RELOJ

LDA DIEZ2+1    ¡CARGA DMS DE FACTOR(RELOJ2)
STA RELOJ*4
LDA DIEZ2      ¡ " DMS
STA RELOJ*5

¡CARGA RELOJ 3

104 LDA %2+1      ¡CARGA DMS DE TIEMPO (RELOJ3)
STA RELOJ*6
LDA %2         ¡ " DMS
STA RELOJ*7

.ENDM

¡ MACRO PARA DECREMENTAR UNA NUMERO DE 16 BITS EN UNO DE OCHO

.MACRO QUITA

SEC           ¡LEVANTA CARRY
LDA %1       ¡CARGA DMS
SEC #01      ¡DECREMENTA EN EL NO. DESEADO

STA %1       ¡GUARDA RESULTADO

LDA %1+1    ¡CARGA DMS
SEC #00     ¡DECREMENTA EN CASO DE CRUCE DE PAGINA

STA %1+1    ¡GUARDA RESULTADO

.ENDM

¡ FIN DEL ARCHIVO DE MACROINSTRUCCIONES
-----

```

```

(*GRAFFREAL.TEXT*)
(*$*)

(* PROGRAMA PARA GRAFICAR LAS CURVAS QUE RESULTAN DE LAS *)
(* MEDICIONES EN EL BANCO DE PRUEBAS DEL COMPORTAMIENTO *)
(* DE LOS MOTORES DE PASOS. *)

(*          LUIS ALVAREZ ICAZA LONGORIA          *)
(*          PROYECTO 2136.  ENERO 1984          *)
(*          INSTITUTO DE INGENIERIA, UNAM      *)

PROGRAM GRAFFREAL;
(*DECLARA LIBRERIAS*)

USES TRANSCEND, TURLEGRAPHICS, GRAFICASXY;

CONST  MUESTRA = 5; (*PERIODO DE MUESTREO PARA CONDICIONES DESEADAS*)
       MUESTMAY=60; (*MAXIMO NO. DE MUESTRAS PARA COND. DESEADAS*)
       REGMAX =32; (*MAXIMO NO. DE REGISTROS*)

(*ZONA DE VARIABLES*)

VAR    ORD, TIEMPO: ARRAY OF DATUM; (*ARREGLOS PARA GRAFICACION*)
       ORD, TIEMPO: ARRAY[1..MUESTMAY] OF REAL; (*ARREGLOS PARA MUESTRAS*)
       UNORD, (*UNIDADES DE LAS ORDENADAS*)
       ROT: STRING[40]; (*ROTULO DE LA GRAFICA*)
       RICHAR; (*AUXILIAR PARA RESPUESTAS*)
       FACTOR, (*FACTOR PARA LECTURA*)
       ACUR: REAL; (*AUXILIAR PARA LECTURA*)
       I, J, (*AUXILIARES*)
       NUMREG, (*NO. DE REGISTROS*)
       REGIN, (*REGISTRO INICIAL DE GRAFICACION*)
       REGFIN: INTEGER; (*REGISTRO FINAL*)

(* PROCEDIMIENTO PARA LECTURA *)

ELEMENT PROCEDURE UNO;
(*ARCHIVO DE ENTRADA*)

VAR    C1, C2, C3, C4, (*PARAMETROS PARA ACELERACION ACTUAL*)
       C1P, C2P, C3P, C4P, (*IDEM PARA ACELERACION SIGUIENTE*)
       OMEGA, TETA, INTERVALO, (*VALORES INICIALES PARA CONDICIONES DESEADAS*)
       OMEGAP, TETAP, SIGUIENTE, (*IDEM PARA EL SIGUIENTE INTERVALO*)
       DELTA (*TIEMPO EFECTIVO PARA LAS CONDICIONES DESEADAS*)
       I: REAL;

    AE1: FILE OF REAL;

(*PROCEDIMIENTO PARA LECTURA DE CONDICIONES DESEADAS*)

PROCEDURE LECTURA;

```

```

    BEGIN(*LECTURA*)
        (*ACELERACION*)
        C1P:=AE1;GET(AE1);C2P:=AE1;GET(AE1);
        C3P:=AE1;GET(AE1);C4P:=AE1;GET(AE1);

        (*VELOCIDAD, POSICION Y TIEMPO*)
        OMEGAP:=AE1;GET(AE1);TETAP:=AE1;GET(AE1);
        GET(AE1);SIGUIENTE:=AE1;GET(AE1);

        END;(*LECTURA*)

(*PROCEDIMIENTO PARA MOVER ARGUMENTOS DE CONDICIONES DESEADAS*)

PROCEDURE MUEVE;

    BEGIN(*MUEVE*)

        C1:=C1P;C2:=C2P;C3:=C3P;C4:=C4P;(*MUEVE ARGUMENTOS DE ACELERACION*)

        OMEGA:=OMEGAP;TETA:=TETAP;INTERVALO:=SIGUIENTE;(*MUEVE LOS DEMAS*)

        LECTURA;(*LEE NUEVOS ARGUMENTOS*)

        END;(*MUEVE*)

(*FUNCION PARA CALCULAR LA POSICION*)
FUNCTION POSICION(TIEMPO: REAL); REAL;

    BEGIN(*POSICION*)

        IF TIEMPO /= SIGUIENTE THEN MUEVE;(*LEE NUEVO REGISTRO DE NECESITARSE*)
        DELTA:=TIEMPO-INTERVALO;(*TIEMPO DENTRO DEL INTERVALO*)
        POSICION:=TETA+OMEGA+C3/C4+DELTA+C1*SQR(DELTA)/2+C2*SQR(DELTA)+DELTA/6-
            C3/SQR(C4)+SIN(C4*DELTA);

        END;(*POSICION*)

(*FUNCION PARA CALCULAR LA VELOCIDAD*)
FUNCTION VELOCIDAD(TIEMPO: REAL); REAL;

    BEGIN(*VELOCIDAD*)

        IF TIEMPO /= SIGUIENTE THEN MUEVE;(*LEE NUEVO REGISTRO DE NECESITARSE*)
        DELTA:=TIEMPO-INTERVALO;(*TIEMPO DENTRO DEL INTERVALO*)
        VELOCIDAD:=OMEGA+C3/C4+C1*DELTA+C2*SQR(DELTA)/2-C3/C4*SIN(C4*DELTA);

        END;(*VELOCIDAD*)

    BEGIN(*UNO*)

        (*PREGUNTA POR TIPO DE GRAFICA*)

        WRITE('GRAFICA DE VELOCIDAD O POSICION? ');READ(R);WRITELN;

        (*ADRE ARCHIVO Y OBTIENE NO. DE REGISTROS*)
        RESET(AE1, '#');VELOCIDAD, DATA:=1;
        NUMREG:=TRUNC(AE1);GET(AE1);GET(AE1);(*NO. DE REGISTROS*)

        WRITELN('EXISTEN: ', NUMREG, ' REGISTROS');
        (*PREGUNTA POR REGISTROS INICIALES Y FINALES*)

```

```
WRITE('REGISTRO INICIAL' *);ACATLN(REGIN);
WRITE('REGISTRO FINAL' *);RTADLN(REGFIN);
```

```
(*OBTIENE FACTOR PARA LECTURAS*)
IF T((REGIN-REGIN) * REGMAT)
  THEN FACTOR:=1
  ELSE FACTOR:=1.0*((REGFIN-REGIN)/REGMAT);
```

```
I:=REGIN*2-1;(*REGISTRO INICIAL EN EL ARCHIVO*)
T((AE1,I);GET(AE1));(*MUEVE AFUNTADOR*)
ACUM:=REGIN;(*INICIALIZA ACUMULADOR PARA LAS LECTURAS*)
```

```
TIEMPO(I):=AE1;GET(AE1);(*VALORES INICIALES*)
IF R = 'P'
  THEN BEGIN(*THEN R*) ORD(I):=AE1;GET(AE1);GET(AE1);END (*THEN R*)
  ELSE TEGIN(*ELSE R*) GET(AE1);ORD(I):=AE1;GET(AE1);END(*ELSE R*)
```

```
FOR J:=2 TO TRUNC((REGFIN-REGIN)/FACTOR) DO
```

```
  BEGIN(*FOR J*)
```

```
    (*NO. DEL SIGUIENTE REGISTRO A LEER*)
    ACUM:=ACUM+FACTOR;I:=TRUNC(ACUM)*2-1;
    T((AE1,I);GET(AE1));
```

```
    TIEMPO(J):=AE1;GET(AE1);(*VALORES INICIALES*)
    IF R = 'P'
      THEN BEGIN(*THEN R*) ORD(J):=AE1;GET(AE1);GET(AE1);END (*THEN R*)
      ELSE TEGIN(*ELSE R*) GET(AE1);ORD(J):=AE1;GET(AE1);END(*ELSE R*)
```

```
  END(*FOR J*)
```

```
  CLOSE(AE1);(*CIERRA ARCHIVO DE ENTRADA*)
```

```
RESETE(AE1,'*S;CURVAS,DATA');(*ABRE ARCHIVO PARA CONDICIONES DESEADAS*)
GET(AE1);
```

```
(*ACELERACION*)
C1:=AE1;GET(AE1);C2:=AE1;GET(AE1);C3:=AE1;GET(AE1);C4:=AE1;GET(AE1);
```

```
(*VELOCIDAD, POSICION Y TIEMPO*)
VEGA:=AE1;GET(AE1);TETA:=AE1;GET(AE1);GET(AE1);INTERVALD:=AE1;GET(AE1);
```

```
(*LEE SIGUIENTE REGISTRO*)
LECTURA;
```

```
(*LEE LOS REGISTROS NECESARIOS PARA LLEGAR AL TIEMPO INICIAL*)
WHILE SIGUIENTE < TIEMPO(I) DO MUEVE;
```

```
TIEMPO(I):=TIEMPO(I);(*TIEMPO INICIAL PARA LAS MUESTRAS*)
IF R = 'P'(*ORDENADA INICIAL PARA LAS MUESTRAS*)
```

```
  THEN
    ORD(I):=POSICION(TIEMPO(I))
  ELSE
    ORD(I):=VELOCIDAD(TIEMPO(I));
```

```
FOR J:=2 TO TRUNC((REGFIN-REGIN)/FACTOR/MUESTRA) DO
```

```
  BEGIN(*FOR J*)
```

```
    TIEMPO(J):=TIEMPO(I+(J-1)*MUESTRA+1);
```

```
    IF R = 'P'
      THEN
        ORD(J):=POSICION(TIEMPO(J))
      ELSE
        ORD(J):=VELOCIDAD(TIEMPO(J));
```

```
    END(*FOR J*)
```

```
  CLOSE(AE1);(*CIERRA ARCHIVO DE CONDICIONES DESEADAS*)
```

```
END(*UNDO*)
```

```
(*PROCEDIMIENTO PARA COPIAS EN PAPEL*)
```

```
PROCEDURE PASAPAPEL(TAMANO: INTEGER);
EXTERNAL;
```

```
BEGIN(*GRAFREAL*)
```

```
  NEW(TIEMPO);NEW(ORD);(*ESPACIO PARA ARREGLOS DE GRAFICACION*)
```

```
(*LEE DATOS*)
  UNO;
```

```
(*POTENCIO PARA LA GRAFICA*)
  IF R = 'P' THEN UNORD:='RAD' ELSE UNORD:='RAD/S';
```

```
  IF R = 'P' THEN ROT:='POSICION REAL VS. DESEADA'
    ELSE ROT:='VELOCIDAD REAL VS. DESEADA';
```

```
(*CURVA DE CONDICIONES REALES*)
  I:=TRUNC((REGFIN-REGIN)/FACTOR)-1;
  DEFAULT(TIEMPO,ORD,I,CUR,'S',UNORD,ROT);
```

```
(*TRASPASA DATOS DE CONDICIONES DESEADAS*)
  I:=I+1; DIV MUESTRA;
  FOR J:=1 TO I DO BEGIN TIEMPO(J):=TIEMPO(J);ORD(J):=ORD(J);END;
```

```
(*DIBUJA CONDICIONES DESEADAS*)
  DIBUJA(TIEMPO,ORD,I,FUN);
  FIJAIMAGEN;
```

```
(*LIBERA ESPACIO DE VARIABLES*)
  RELEASE(ORD);RELEASE(TIEMPO);
```

```
(*PREGUNTA POR COPIA EN PAPEL*)
  WRITE('COPIA EN PAPEL(S/N)? ');READR);WRITELN;
  IF R = 'S' THEN PASAPAPEL(O);
```

```
END. (*GRAFREAL*)
```

```

PROGRAMA PARA GRAFICAR LA RESPUESTA A PULSO DE UN *)
* MOTOR DE PASOS, LOS DATOS SE GENERAN EN EL PROGRAMA *)
* MA PASO, CODE. *)
* *)
* PROYECTO 2136 *)
* NOVIEMBRE 1983 *)
* LAIL *)

```

```

PROGRAM GRAFASO:
* DECLARA LIBRERIAS *)
USES TRANSCEND, TURTLEGRAPHICS, GRAFICASXX;
* ZONA DE VARIABLES *)
VAR A: ARRAY OF DATOS; (*ARREGLOS A GRAFICAR*)
    I: INTEGER; (*AUXILIARES*)
    S: CHAR; (*AUXILIAR PARA RESPUESTAS*)
    P: REAL; (*DEFASAMIENTO PARA LOS ARCHIVOS*)
    NOMBRE: STRING(20); (*NOMBRE ARCHIVO DE DATOS*)
    W: FILE OF REAL; (*ARCHIVO DE ENTRADA*)

```

```

* PROCEDIMIENTO PARA COPIAS EN PAPEL *)
PROCEDURE PASAPAPEL;
EXTERNAL;
BEGIN (*GRAFASO*)
    UNTIL S = 'N';

```

```

* OBTIENE DATOS DE LECTURA *)
WRITE('QUE ARCHIVO? ');
READLN(NOMBRE);
WRITE('CUANTOS PUNTOS? ');
READLN(I);
WRITE('DEFASAMIENTO INICIAL? ');
READLN(P);
RESET(W, NOMBRE); (*ABRE ARCHIVO*)

NEW(A); NEW(I); (*DECLARA ARREGLOS DE GRAFICACION*)

* LLENA ARREGLOS DE GRAFICACION *)
A[I] := 1..2700; R;
I[I] := 0;
FOR J := 2 TO I+1 DO
    BEGIN
        A[J] := A[J-1] GET(W);
        I[J] := I[J-1] + A[J] GET(W);
    END;
CLOSE(W); (*CIERRA ARCHIVO*)

* EJECUTA GRAFICACION *)
DEFAULT I, A, I+1, P, W, 'SED', 'RAD', 'RESPUESTA A PASO';

```

```

(*LIBERA ARREGLOS DE GRAFICACION*)
RELEASE(I); RELEASE(A);

WRITE('COPIA EN PAPEL(S/N)? '); READ(S); WRITELN;
IF S = 'S' THEN PASAPAPEL;

WRITE('CONTINUO(S/N)? '); READ(S); WRITELN;

UNTIL S = 'N'; (*END UNTIL*)

END. (*GRAFASO*)

```



```

(*DATOS.TEXT*)
PROGRAMA QUE LLENA EL ARCHIVO DATOS.DATA CON DOS *)
(*VALORES: EL NO. DE EVENTOS POR MEDICION Y EL NO. *)
(*DE MUESTRAS A TOMAR. *)
* LUIS ALVAREZ ICASA LONGORIA *)
* INSTITUTO DE INGENIERIA UNAM *)
* PROYECTO 2136, DICIEMBRE 1963 *)

PROGRAM DATOS:

(*ZONA DE VARIABLES*)

VAR I:INTEGER;(*AUXILIAR*)
    ASI:FILE OF INTEGER;(*ARCHIVO DE SALIDA*)

BEGIN(*DATOS*)
    READ(F:ASI,'#E:DATOS.DATA');(*ABRE ARCHIVO*)

    WRITE ('NO. DE EVENTOS POR MEDICION(EN 1/10 DE PASO) ');
    READLN(I:ASI);(*PUT(ASI);(*TOMA NO. DE EVENTOS*)

    WRITE ('NO. DE MUESTRAS EN EL EXPERIMENTO ');
    READLN(I:ASI);(*PUT(ASI);(*TOMA NO. DE MUESTRAS*)

    CLOSE(F,LOG);(*CIERRA ARCHIVO*)

END;(*DATOS*)

```

```

(*TIEMPOS.TEXT*)
PROGRAMA PARA TRANSFORMAR EL ARCHIVO SEÑALES.DATA *)
(* EN UN ARCHIVO COMPATIBLE CON LOS REQUERIMIENTOS *)
(* DEL PROGRAMA CONTROL. EL ARCHIVO SE LLAMA *)
(* TIEMPOS.DATA *)
(* LOS REGISTROS DE SEÑALES.DATA CONTIENEN DOS VARI- *)
(* BLES REALES: TIEMPO DE LA CONMUTACION Y SU TIPO. *)
(* EL NO. DE REGISTROS SE INDICA EN NUM:SEÑALES.DATA. *)
(* EL ARCHIVO TIEMPOS.DATA CONTIENE DOS ENTEROS POR *)
(* REGISTRO: EL PRIMERO INDICA EL TIEMPO PARA LA *)
(* SIGUIENTE CONMUTACION Y EL SEGUNDO SE PARTE EN *)
(* DOS FRACCIONES DE OCHO BITS. LA PRIMERA FRACCION *)
(* (LOS BITS MENOS SIGNIFICATIVOS) INDICA EL LOGARIT- *)
(* MO BASE 10 A QUE SE ELEVARA LA FRECUENCIA DEL RE- *)
(* CORD DE LA AFLETTI (QUE FUNCIONA A 1 MHz) SOLO PUE- *)
(* DE TOMAR LOS VALORES 10,1,2,3). LA SEGUNDA FRAC- *)
(* CION INDICA LA DIRECCION DEL MOVIMIENTO: SI SU VA- *)
(* LOR ES CERO INDICA MOVIMIENTO A LA DERECHA Y SI ES *)
(* DOS, INDICA MOVIMIENTO A LA IZQUIERDA. *)

* LUIS ALVAREZ ICASA LONGORIA *)
* INSTITUTO DE INGENIERIA UNAM *)
* PROYECTO 2136, DICIEMBRE 1963 *)

```

PROGRAM TIEMPOS:

(*ZONA DE VARIABLES*)

```

VAR TIEMPO,(*TIEMPO DE CONMUTACION*)
    TIEANT,(*TIEMPO ANTERIOR DE CONMUTACION*)
    TIPO,(*DIRECCION DE MOVIMIENTO*)
    ACUM,(*TIEMPO PARA OPERACIONES*)
    I:REAL;

    DELTA,(*DIFERENCIA DE TIEMPO*)
    FACTOR,(*FACTOR DE MULTIPLICACION DE DELTA*)
    MASCARA,(*DIRECCION DEL MOVIMIENTO*)
    J,(*AUXILIAR PARA ITERACIONES*)
    NUMREG,(*NO. DE REGISTROS*)
    I:INTEGER;

    AEI:FILE OF REAL;(*ARCHIVO DE ENTRADA*)
    ASI:FILE OF INTEGER;(*ARCHIVO DE SALIDA*)

```

(*PROCEDIMIENTO PARA LECTURA DE INFORMACION*)

PROCEDURE LECTURA;

BEGIN(*LECTURA*)

```

    TIEMPO:=AEI;GET(AEI);(*LEE TIEMPO*)
    TIPO:=AEI;GET(AEI);(*LEE TIPO*)

```

END;(*LECTURA*)

(*PROCEDIMIENTO PARA ESCRITURA DE LOS RESULTADOS*)

PROCEDURE ESCRIBE;

```

LEGINI=ESCRIBE*)
ASI1=DELTA;PUT(ASI1);(*ESCRIBE TIEMPO*)
ASI2=FACTOR*256;MASCARA;PUT(ASI2);(*ESCRIBE FACTOR Y MASCARA*)
END(*ESCRIBE*)
(*PROCEDIMIENTO PARA CONVERSION DE LOS DATOS LEIDOS*)
PROCEDURE TRANSFORMA)
(*CONSTANTES PARA LA CONVERSION DE LOS ARCHIVOS*)
CONST RELOJ = 1.020566 ;(*FRECUENCIA DEL RELOJ DE LA APPLE *)
FACTOR0 = 32767.0;(*CONSTANTE PARA FACTOR 0*)
FACTOR1 = 327670.0;(*IDEM FACTOR 1*)
FACTOR2 = 3276700.0;(*IDEM FACTOR 2*)
FACTOR3 = 32767000.0;(*IDEM FACTOR 3*)
MUERTO = 1.76334E-4;(*TIEMPO MUERTO EN LA EJECUCION DEL PROGRAMA CONTROL*)

```

```

LEGINI=TRANSFORMA*)

```

```

ACUM=(TIEMO-TIEMO-TMUERTO)*RELOJ;(*NO. DE CICLOS DEL RELOJ*)

```

```

IF ACUM <= 0
THEN
LEGINI=IF ACUM*)
WRITELN('TIEMPO DEMASIADO CORTO');
EXIT(PROGRAM);
END;(*IF ACUM*)

```

```

IF ACUM <= FACTOR0
THEN
LEGINI=FACTOR0;(*CICLOS EN MICROSEGUNDOS*)
FACTOR1=0;
DELTA=TRUNC(ACUM);
END;(*FACTOR0*)

```

```

ELSE
IF ACUM <= FACTOR1
THEN
LEGINI=FACTOR1;(*CICLOS EN DECENAS DE MICROSEGUNDOS*)
FACTOR1=1;
ACUM=ACUM/10;
DELTA=TRUNC(ACUM);
END;(*FACTOR1*)

```

```

ELSE
IF ACUM <= FACTOR2
THEN
LEGINI=FACTOR2;(*CICLOS EN CENTENAS DE MICROSEGUNDOS*)
FACTOR1=2;
ACUM=ACUM/100;
DELTA=TRUNC(ACUM);
END;(*FACTOR2*)

```

```

ELSE
IF ACUM <= FACTOR3
THEN
LEGINI=FACTOR3;(*CICLOS EN MILLISEGUNDOS*)
FACTOR1=3;
ACUM=ACUM/1000;
DELTA=TRUNC(ACUM);

```

```

END
ELSE
LEGINI=FACTOR3;(*TIEMPO DE ENTRADA POSIBLEMENTE INCORRECTO*)
WRITELN('TIEMPO EXCESIVO, NO ES POSIBLE GENERALIZARLO');
CLOSE(ASI1);
EXIT (PROGRAM);
END;

```

```

IF TIPO = 1;(*DEFINE DIRECCION DE MOVIMIENTO*)
THEN MASCARA1=0;
ELSE MASCARA1=2;

```

```

TIEMO1=TIEMO;(*REACTUALIZA TIEMPO*)

```

```

END;(*TRANSFORMA*)

```

```

BEGIN(TIEMPOS*)

```

```

RESET(AE1,'#5;SENALES.DAT');(*OBTIENE NO. DE REGISTROS DE SENALES.DAT*)
NUMREG=TRUNC(AE1);
CLOSE(AE1);(*CIERRA ARCHIVO*)

```

```

RESET(AE1,'#5;SENALES.DAT');(*ABRE ARCHIVO DE DATOS*)
REWRITE(ASI,'#5;TIEMPOS.DAT');(*ABRE ARCHIVO DE SALIDA*)
ASI2=NUMREG;PUT(ASI2);(*ESCRIBE NO. DE REGISTROS*)

```

```

TIEMO2=0;(*INICIALIZA VARIABLES*)

```

```

FOR I=1 TO NUMREG DO
BEGIN(FOR I*)

```

```

LECTURA;(*LEE DATOS*)
TRANSFORMA;(*LUS CAMBIA DE FORMATO*)
ESCRIBE;(*A ARCHIVO DE SALIDA*)

```

```

END;

```

```

CLOSE(ASI,LOCK);

```

```

END;(*TIEMPOS*)

```

```

**LINEAL TEST**
** EL PROGRAMA AJUSTA 3 PARAMETROS DE **
** UNA ECUACION DIFERENCIAL A LOS DATOS **
** DE UN ARCHIVO ESPECIFICADO (DANTE) **
** LA EJECUCION POR MEDIO DE RECTAS DE **
** ACUERDO AL CRITERIO DE MINIMOS CUADRADOS **
** **
** LUIS ALVARES ICAZA **
** **
** PROYECTO 2136 **
** **
** INSTITUTO DE INGENIERIA **

```

```

PROGRAM AJUSTEL
USES TRANSLEND

```

```

CONST DIM=1000 (*NUMERO MAXIMO DE DATOS*)

```

```

TYPE INDOCE=0..DIM;
VECTOR=ARRAY(1..3) OF REAL;
VECTOREAL=ARRAY(INDOCE) OF REAL;
MATRIZ=ARRAY(1..3,1..3) OF REAL;

```

```

VAR TETA, (*DESPLAZAMIENTO ANGULAR*)
    OMEGA, (*VELOCIDAD ANGULAR*)
    ALFA, (*ACELERACION ANGULAR*)
    DT, (*INTERVALOS DE TIEMPO*)
    T, (*TIEMPO JVECTOREAL*)
    B, (*TERMINOS INDEPENDIENTES*)
    K, (*NUMEROS DE LA ECUACION*)
    V1,V2 (*VECTORES AUXILIARES*) VECTOR;
    A,MATRIZ;
    SONEGA,SONEGA2,SSENO,SOMEASENO,
    SALFA,SALFA2,SALFASONEGA,SALFASENO,
    SENOM,SUMEST,SUMREAL;
    VILR,KO,AL,ASREAL;
    J,M,I,SOMEIOM; INTEGER;
    NOMBRE(STRIG(20));
    AP(PILE OF REAL);

```

```

FUNCTION SIGN(R:REAL;I:INTEGER); (*FUNCION SIGNO*)
BEGIN (*SIGNO*)
IF R<0 THEN SIGN:=-1
ELSE IF R=0 THEN SIGN:=1
ELSE SIGN:=0;
END; (*SIGNO*)

```

```

PROCEDURE RESUELVE(A:MATRIZ;V:VECTOR);

```

```

VAR AC:MATRIZ;
    D:VECTOR;
    I,J:INTEGER;
    DEL:REAL;

```

```

PROCEDURE DET3 (M:MATRIZ;VAR DELTA:REAL);
(*CALCULA EL DETERMINANTE DE 3x3*)
BEGIN (*DET3*)

```

```

    DELTA:=M(1,1)*(M(2,2)*M(3,3)-M(2,3)*M(3,2))+
    M(1,2)*(M(2,3)*M(3,1)-M(2,1)*M(3,3))+
    M(1,3)*(M(2,1)*M(3,2)-M(2,2)*M(3,1));
END; (*DET3*)

```

```

PROCEDURE INTERCO (A:MATRIZ;EE:VECTOR;N:INTEGER;VAR CS:MATRIZ);
(*INSERTA COLUMNA N A LA MATRIZ*)

```

```

VAR I,J:INTEGER;
BEGIN (*INTERCO*)
FOR I:=1 TO 3 DO
FOR J:=1 TO 3 DO
BEGIN (*FOR*)
IF J=N
THEN CS(I,J):=E(I)
ELSE CS(I,J):=A(I,J);
END; (*FOR*)
END; (*FOR*)

```

```

EEGIN (* RESUELVE *)
DET3 (A,DEL); (* LLAMA A DET3 *)

```

```

IF ABS(DEL) <= 30
THEN
BEGIN (*THEN*)
FOR I:=1 TO 3 DO
EEGIN (*FOR*)
INTERCO (A,C,I,AC); (* LLAMA A INTERCO *)
DET3 (AC,DEL); (* LLAMA A DET3 *)
END; (*FOR*)
F(I):=D(I)/DEL;
P(I):=E(I)/DEL;
F(I):=D(I)/DEL;
END; (*THEN*)
ELSE
BEGIN (*ELSE*)
WRITELN ('EL DETERMINANTE VALE CERO');
EEXIT (PROGRAM);
END; (*ELSE*)
END; (* RESUELVE *)

```

```

PROCEDURE UNO;
EEGIN (* UNO *)
WRITE ('DIMENSION DEL VECTOR TETA = ');
READLN (M);
WRITE (ARCHIVO);
READLN (NOMBRE);
RESET (ARCHIVO); (*LECTURA DEL ARCHIVO*)

```

```

FOR I:=1 TO M DO
EEGIN (*FOR*)
TETAI:=AF;
TETAI:=AF;
DEL (AF);
DT(I):=AF;
GET (AF);
END; (*FOR*)
CLOSE (AF);
T(I):=0;
FOR I:=1 TO M DO (*FORMA EL VECTOR TIEMPO*)
T(I):=T(I-1)+DT(I);

```

```

(* SE OBTIENEN LAS DERIVADAS *)
FOR I:=1 TO M-1 DO
OMEGA(I):=(TETAI(I+1)-TETAI(I))/DT(I+1);
FOR I:=1 TO M-2 DO
ALFA(I):=(OMEGA(I+1)-OMEGA(I))/DT(I+1);

```

```

SOMEOM:=0;
SOMEOM2:=0;
SENO:=0;
SENO2:=0;
SALFA:=0;
SOMEASENO:=0;
SUMEST:=0;
SUMREAL:=0;
SALFA:=0;
SALFASONEGA:=0;
SALFASENO:=0;
SUMSIGN:=0;

```

```

END; (* UNO *)
PROCEDURE DOS; (* CORRELACION *)

```

```

EEGIN (*DOS*)
FOR I:=2 TO M-2 DO
EEGIN (*FOR*)
SUMEST:=SUMEST+SQR(F(I))*OMEGA(I)-P(I)*ALFA(I)+
F(I)*SIGN(OMEGA(I))-SENO(N);
SUMREAL:=SUMREAL+SQR(SIN(TETAI(I))-SENO(N));
END; (*FOR*)
VILR:=SORT (SUMEST/SUMREAL);
WRITELN ('COEFICIENTE DE CORRELACION = ',VILR(4:3));
END; (*DOS*)

```

```

EEGIN (*PARAMETROS DEL MOTOR*) (* AJUSTE *)

```

```

UNO)
FOR I:=2 TO M-2 DO (*SUMATORIAS*)
  BEGIN (*FOR*)
    S0MEGA1:=S0MEGA*OMEGA[I]*SIGN(OMEGA[I]);
    S0MEGA2:=S0MEGA2+OMEGA[I]*OMEGA[I];
    S0SENO1:=S0SENO*SIN(TETA[I])*SIGN(OMEGA[I]);
    S0ALFA21:=S0ALFA2+SIN(ALFA[I]);
    S0MEGA1ENO:=S0MEGA1ENO+OMEGA[I]*SIN(TETA[I]);
    S0ALFA1:=S0ALFA+ALFA[I]*SIGN(OMEGA[I]);
    S0ALFA0MEGA1:=S0ALFA0MEGA+OMEGA[I]*ALFA[I];
    S0ALFA0SENO1:=S0ALFA0SENO+ALFA[I]*SIN(TETA[I]);
    S0SUMSIGN:=S0SUMSIGN+SIN(OMEGA[I]);
    S0SENO1:=S0SENO1*SIN(TETA[I]);
  END; (*FOR*)

A[1,1]:=S0MEGA2;
A[1,2]:=-S0ALFA0MEGA1;
A[1,3]:=S0MEGA1;
A[2,1]:=S0ALFA0MEGA1;
A[2,2]:=-S0ALFA2;
A[2,3]:=S0ALFA1;
A[3,1]:=S0MEGA1;
A[3,2]:=-S0ALFA1;
A[3,3]:=S0SUMSIGN;
B[1,1]:=-S0MEGA1ENO;
B[2,1]:=-S0ALFA0SENO1;
B[3,1]:=-S0SENO1;

WRITELN;
RESUELVE(A,B);
WRITELN;
M0:=F[1]/F[2];A1:=F[3]/F[2];A3:=1/F[2];
WRITELN('M0=',M0,'A1=',A1,'A3=',A3);
END;

END. * AJUSTE *

```

```

(*)
(*PARADOLA.TE(T*)
(*AJUSTA LOS PARAMETROS DE UNA ECUACION*)
(*DIFERENCIAL A UN CONJUNTO DE DATOS DE*)
(*UN ARCHIVO ESPECIFICADO ANTES DE*)
(*ASIGNANDO PARABOLAS, TOMANDO PUNTOS DE*)
(*TES EN TRES DE ACUERDO AL ERROR MI*)
(*NIMO AL CUADRADO*)
(*
(* LUIS ALVARES ICAZA *)
(*
(* PROYECTO 2136 *)
(*
(* INSTITUTO DE INGENIERIA *)
PROGRAM AJUSTE1
USES TRANSCENDI;
CONST DIM=1000;
TYPE INDICE=1..DIM;
VECTOR=ARRAY[1..3] OF REAL;
VECTOREAL=ARRAY[INDICE] OF REAL;
MATRIZ=ARRAY[1..3,1..3] OF REAL;
VAR TETA, (*DESPLAZAMIENTO ANGULAR*)
OMEGA, (*VELOCIDAD ANGULAR*)
ALFA, (*ACELERACION ANGULAR*)
DT, (*INTERVALOS DE TIEMPO*)
T, (*TIEMPO*)VECTOREAL;
B, (*TERMINOS INDEPENDIENTES*)
P, (*PARAMETROS DE LA ECUACION*)
V1,V2, (*VECTORES AUXILIARES*)VECTOR;
A:MATRIZ;
S0MEGA,S0MEGA2,S0SENO,S0SENO2,S0MEGA1ENO,S0ALFA,
S0ALFA0MEGA,S0ALFA0SENO,ALFA1,S0SUMSIGN,S0ALFA,
M0,A1,A3:REAL;
M,1,S0SUMSIGN:INTEGER;
NOME:STRING[20];
AP:FILE OF REAL;
FUNCTION SIGN(X:REAL):INTEGER; (*FUNCION SIGNO*)
  BEGIN (*SIGNO*)
    IF X=0
    THEN SIGN:=1
    ELSE IF X<0
    THEN SIGN:=-1
    ELSE SIGN:=0;
  END; (*SIGNO*)
PROCEDURE RESUELVE(A:MATRIZ;B:VECTOR);
VAR
  A0:MATRIZ;
  D:VECTOR;
  I,J:INTEGER;
  DELTA:REAL;
  (*DETERMINANTE*)
PROCEDURE DET33 (M:MATRIZ;VAR DELTA:REAL);
BEGIN (*DET33*)
  DELTA:=(M[1,1]*M[2,2]*M[3,3]-M[2,3]*M[3,2])
  +M[1,2]*M[2,3]*M[3,1]-M[2,1]*M[3,1]*M[1,3];
  DELTA:=(M[2,1]*M[3,2]-M[3,2]*M[2,1])*M[3,1];
END; (*DET33*)
(*INTERCALA COLUMNAS*)
PROCEDURE INTERCO (A0:MATRIZ;B:VECTOR;N:INTEGER;VAR CS:MATRIZ);
VAR
  I,J:INTEGER;
BEGIN (*INTERCO*)
  FOR I:=1 TO 3 DO
    FOR J:=1 TO 3 DO
      BEGIN (*FOR*)
        IF J=N
        THEN CS[I,J]:=B[I];
        ELSE CS[I,J]:=A0[I,J];
      END; (*FOR*)
    END; (*FOR*)
  END; (*INTERCO*)

```

```

BEGIN (* RESUELVE *)
  DET33 (A,DEL);      (* LLAMA A DET33 *)
  IF ABS(DEL)/IE=30
  THEN
    BEGIN (*THEN*)
      FOR I:=1 TO 3 DO
        BEGIN (*FOR*)
          INTERCO (A,D,I,AC); (* LLAMA A INTERCO *)
          DET33 (AC,DE(I)); (* LLAMA A DET33 *)
        END (*FOR*)
      P(1):=DE(1)/DEL;
      P(2):=DE(2)/DEL;
      P(3):=DE(3)/DEL;
    END (* THEN *)
  ELSE
    BEGIN (*ELSE*)
      WRITELN (EL DETERMINANTE VALE CERO);
      EXIT (PROGRAM);
    END (*ELSE*)
  END (* RESUELVE *)

```

```
PROCEDURE CARGAMATRIZ (X, Y, VECTOR);
```

```

VAR
  AC: MATRIZ;
  BC: VECTOR;
  I, J: INTEGER;

```

```
BEGIN (* CARGAMATRIZ *)
```

```

  FOR I:=1 TO 3 DO
    BEGIN (*FOR*)
      AC(I,1):=X(I)*X(I);
      AC(I,2):=X(I);
      AC(1,I):=X(I);
      AC(I,3):=Y(I);
    END (*FOR*)

```

```
RESUELVE (AC,BC);
```

```

  A0:=F(1);A1:=F(2);A2:=F(3);
  END (* CARGAMATRIZ *)

```

```
PROCEDURE UNO;
```

```
BEGIN (* UNO *)
```

```
WRITE ('DIMENSION DEL VECTOR TETA= ');
```

```
READLN (M);
```

```
WRITE (ARCHIVO);
```

```
RESET (AP, NOMBRE);
```

```
FOR I:=1 TO M DO
```

```
  BEGIN
```

```
    TETA(I):=AP;
```

```
    SETAP;
```

```
    DT(I):=AP;
```

```
  END;
```

```
  CLOSE (AP);
```

```
  TI:=0;
```

```
  FOR I:=1 TO M DO (*FORMA EL VECTOR TIEMPO*)
```

```
    TI:=TI+(1-I)*DT(I);
```

```
(*SE ENCUENTRAN LAS DERIVADAS*)
```

```
  V(1):=TI(1);V(2):=TE(2);V(3):=TI(3);
```

```
  V(1):=TE(1);V(2):=TETA(2);V(3):=TETA(3);
```

```
  CARGAMATRIZ (V1,V2);
```

```
  OMEGA(1):=0;
```

```
  ALFA(1):=0;
```

```
  FOR I:=2 TO M-1 DO
```

```
    BEGIN (*FOR*)
```

```
      V(1):=V(1-I);V(2):=T(1);V(3):=T(1+1);
```

```
      V(1):=TETA(1-I);V(2):=TETA(1);V(3):=TETA(1+1);
```

```
      CARGAMATRIZ (V1,V2);
```

```
      OMEGA(I):=2*AO*(I+1)*AI;
```

```
      ALFA(I):=2*AVI;
```

```
    END (*FOR*)
```

```
  SOMEGA:=0;
```

```
  SOMEGA2:=0;
```

```
  SENO:=0;
```

```
  SENO2:=0;
```

```
  SOMEASENO:=0;
```

```
  SALFA:=0;
```

```
  SLEWOMEGA:=0;
```

```
  SALFASENO:=0;
```

```
  SENSIGN:=0;
```

```
  ALFAM:=0;
```

```
  SUMEST:=0;
```

```
  SUMREAL:=0;
```

```
END (* UNO *)
```

```
PROCEDURE DOS; (*CORRELACION*)
```

```
BEGIN (*DOS*)
```

```
  FOR I:=2 TO M-2 DO
```

```
    BEGIN (*FOR*)
```

```
      SUMEST:=SUMEST+SOR*(F(I)-OMEGA(I)+P(2)*SIN(TETA(I))
```

```
      +F(3)*SIGN(OMEGA(I))-ALFA(I)
```

```
      +SUMREAL*(SQR(ALFA(I))-ALFAM);
```

```
    END (*FOR*)
```

```
    VILR:=SQR(SUMEST/SUMREAL);
```

```
    WRITELN ('COEF. DE CORRELACION = ',VILR(4:2));
```

```
  END (* DOS *)
```

```
BEGIN (*PARAMETROS DEL MOTOR*) (* AJUSTE *)
```

```
UNO;
```

```
FOR I:=2 TO M-2 DO
```

```
  BEGIN (*FOR*)
```

```
    SOMEGA:=SOMEGA+SIGN(OMEGA(I));
```

```
    SOMEGA2:=SOMEGA2+OMEGA(I)*OMEGA(I);
```

```
    SENO:=SENO+SIGN(TETA(I))*SIGN(OMEGA(I));
```

```
    SENO2:=SENO2+SOR*(SIN(TETA(I)));
```

```
    SOMEASENO:=SOMEASENO+OMEGA(I)*SIN(TETA(I));
```

```
    SALFA:=SALFA+ALFA(I)*SIGN(OMEGA(I));
```

```
    SALFAOMEGA:=SALFAOMEGA+OMEGA(I)*ALFA(I);
```

```
    SALFASENO:=SALFASENO+ALFA(I)*SIN(TETA(I));
```

```
    SENSIGN:=SENSIGN+SIGN(OMEGA(I));
```

```
    ALFAM:=ALFAM+ALFA(I);
```

```
  END (*FOR*)
```

```
  A(1,1):=SOMEGA2;
```

```
  A(1,2):=SOMEASENO;
```

```
  A(1,3):=SOMEGA;
```

```
  A(2,1):=SOMEASENO;
```

```
  A(2,2):=SENO2;
```

```
  A(2,3):=SENO;
```

```
  A(3,1):=SOMEGA;
```

```
  A(3,2):=SENSIGN;
```

```
  B(1):=-SALFAOMEGA;
```

```
  B(2):=-SALFASENO;
```

```
  B(3):=-SALFA;
```

```
RESUELVE (A,B);
```

```
WRITELN;
```

```
WRITELN ('TETA = ',TETA(2), ' OMEGA = ',OMEGA(2));
```

```
WRITELN ('A = ',P(1);B(3), ' E = ',P(2);B(3), ' C = ',P(3);B(3));
```

```
DOS;
```

```
END (* AJUSTE *)
```

.PROC PASAPAPEL.1

PROCEDURE PASAPAPEL:

PROCEDIMIENTO PARA TRANSFERIR UNA GRAFICA DE ALTA RESOLUCION A LA IMPRESORA ATI-2.

LA GRAFICA DEBE RESIDIR EN LA PAGINA UNO. LA IMPRESORA DEBE ESTAR COLOCADA EN LA PANDRA 1.

LA RESOLUCION DE LA GRAFICA PERMANECE IGUAL PERO EL AREA SE CUADRUFLICA.

EL CODIGO DE ESTE PROGRAMA SE DEBE LIGAR CON EL PROGRAMA EN FASCAL DESDE EL QUE SE DESEA CONTROLAR LA TRANSFERENCIA.

LA FORMA DE LLAMADO ES:

PASAPAPEL(ESCALA):

EL PARAMETRO ESCALA INDICA SI SE QUIERA AMPLIFICAR AL DOBLE LA GRAFICA EN LA PANTALLA. SI SE DESEA A ESCALA UNITARIA ESCALA = 0.

MACRO PARA SACAR DOS BYTES DEL STACK.

.MACRO GUARDA

FLA : SALVA EPS
STA %I
FLA : SALVA BMS
STA %I+1

.ENDM

MACRO PARA PONER DOS BYTES EN EL STACK

.MACRO PONE

LDA %I+1:PONE BMS
PWA
LDA %I :PONE EPS
PWA

.ENDM

MACRO PARA LEER UNA COLUMNA DE PUNTOS

.MACRO LECTURA

LDA #2F
LDA #0F

: INICIALIZA CONTROLES DE ITERACION

%01: LDA BLOQUE,X
STA INDIR+1

: BMS DE DIRECCION DE BLOQUE DE RENGLONES

DEX

: DECREMENTA X

LDA BLOQUE,X
STA INDIR

: EPS DE DIRECCION
: DIRECCION DEL RENGLON

CLC
LDA INDICE,Y
ADC INDIR+1
STA INDIR+1

: BORRA CARRY
: DIRECCION DE BLOQUE Y RENGLON CONJUNTAMENTE

LDA %2
ADC INDIR
STA INDIR

: ADICIONA EL NO. DE COLUMNA
: INDIR E INDIR+1 CONTIENEN LA DIRECCION CORRECTA
: (BLOQUE, RENGLON Y COLUMNA)

STY TEMP1
STX TEMP2

: SALVA INDICE Y
: SALVA INDICE X

TXA
ASL A
ASL A

: OBTIENE INDICE EN LAS TABLAS
: LO MULTIPLICA POR 4

CLC
ADC TEMP1
TAX

: BORRA CARRY
: INDICE CORRECTO EN ACUMULADOR

LDA #00
LDA #INDIR,Y
STA %I,X

: BORRA INDICE Y
: OBTIENE VALOR DE MEMORIA
: LO SALVA ADECUADAMENTE

LDA TEMP1
LDA TEMP2

: RECUPERA INDICES

DEY

: ACTUALIZA INDICADORES

BNI #02

: CONTINUA CON EL BLOQUE DE RENGLONES

JIT
JMP #01

: DEJA APUNTADOR A BLOQUE INTACTO
: LEE OTRO RENGLON

%02: DEI
CPI #00

: AFUNTA AL SIGUIENTE BLOQUE
: PREGUNTA SI TERMINA LA LECTURA

BNI #03

: TERMINA EN %02

LDA #07
JMP #01

: REINICIALIZA X
: CONTINUA

%03: DEC %2

: ACTUALIZA NO. DE COLUMNA

.ENDM

MACRO PARA TIRAR DE BUFF EL DMS

.MACRO TIRA

LDX #01F ; INICIALIZA CONTROL DE ITERACION

*01: ASL BUFF,Y ; TIRA 7BIT DE BUFF

DEX ; ACTUALIZA INDICADOR

CPY #0FF ; VA AL SIGUIENTE ELEMENTO DEL ARREGLO

BNE #01

NOP

.ENDM

MACRO PARA PASAR EL DMS DE BUFFER COMO EL DMS DE ACUM, EL DMS DE ACUM S
SE PUEDE

.MACRO ROTA

LDX #0FF ; APORTA AL ULTIMO ELEMENTO DE ACUM Y BUFF

*01: ASL BUFF,Y ; OBTIENE 7BIT DE BUFF
ROL ACUM,X ; LO PASA A ACUM

DEX ; ACTUALIZA INDICADOR

CPY #0FF ; VA AL SIGUIENTE ELEMENTO DEL ARREGLO

BNE #01

NOP

.ENDM

MACRO PARA TIRAR LOS DMS DE ACUM

.MACRO ROTA3

LDA #00 ; INDICE PARA NO. DE BITS TIRADOS
STA TEMP3

*01: LDA #06 ; PREGUNTA SI ES TURNO DE LEER UNA NUEVA COLUMNA
CMP ACARREO

EFL #02 ; BRINCA SI NO ES TIEMPO DE LEER

LECTURA BUFF,COL ; LEE NUEVA COLUMNA
TIRA ; SUITA 7DMS A BUFF

LDA #00 ; REINICIALIZA ACARREOS
STA ACARREO

*02: ROTA ; TIRA 1 BIT

INC ACARREO

;ACTUALIZA NO. DE ACARREOS

DEC TEMP3
DFL #01

;SIGUE SI AUN NO CONCLUYE

NOP

.ENDM

MACRO PARA OBTENER EL CARACTER A IMPRIMIR

.MACRO CARACTER

LDY INDICA ; CONTROL DE ITERACION

LDX #1 ; PASA PENULTIMO A X
LDA ACUM,X ; OBTIENE ELEMENTO DE ACUM
STA TEMP4 ; LO GUARDA

*01: ASL TEMP4 ; OBTIENE PRIMER BIT
BCC #02 ; BRINCA SI ES CERO

ROR IMP ; PONE PRIMER UNO
LDA ESCALA ; PREGUNTA POR ESCALA DE IMPRESION
DEC #03 ; BRINCA SI NO ES DUPLICACION

SEC ; PONE SEGUNDO UNO
ROR IMP

JMP #02

*02: ROR IMP ; PONE PRIMER CERO
LDA ESCALA ; PREGUNTA POR ESCALA DE IMPRESION
DEC #03 ; BRINCA SI NO ES DUPLICACION

CLC ; PONE SEGUNDO CERO
ROR IMP

*03: DEX ; AUN NO SON TRES BIT
EFL #3

ROR IMP ; CONCLUYE LA ROTACION
ROR IMP

LDA #05H ; LEVANTA 2DMS
ORA IMP ; LO SALVA
STA IMP

.ENDM

MACRO PARA FINALIZAR LA IMPRESION DE LA GRAFICA

.MACRO FIN

LDA INDFIN ; INDICE PARA ITERACIONES

```

STA TEMP3
001: ROTA          ;OBTIENE TRES BITS
      ROTA
      ROTA

LDA ESCALA
005: BNE 005      ;OBTIENE TRES BITS MAS EN CASO DE SER NECESARIO
      ROTA
      ROTA
      ROTA

005: LDA 000
      STA TEMP1
LDA 000
      STA TEMP2      ;INDICE PARA IMPRESION DE LINEA

002: CARACTER TEMP1 ;IMPRIME CARACTER DOS VECES
      JSR SUBCAR

LDA ESCALA
003: BNE 003
LDA IMP
      JSR SUBCAR

002: INC TEMP1      ;OTRO CARACTER
LDA TEMP2
      CMP TEMP1

BNE 002          ;CONTINUA

LDA CARDIA
      JSR SUBCAR      ;IMPRIME LINEA

DEC TEMP3       ;PREGUNTA POR TERMINACION

001: DMI 004
      JMP 001

004: NOP

      .ENDM
.....
;ZONA DE LOCALIDADES FIJAS EN MEMORIA

RETORNO JEQ 0000      ;DIRECCION DE RETORNO A PASCAL
INDIF JEQ 0002      ;AUXILIAR PARA DIRECCIONAMIENTO INDIRECTO
SUBCAR JEQ 0010      ;DIRECCION DE LA SUBROUTINA EN ROM
.....
;PRINCIPIO SUBROUTINA

001: GUARDA RETORNO ;SALVA DIRECCION DE REGRESO A PASCAL
      GUARDA ESCALA ;SALVA FACTOR DE ESCALA
      LDA ESCALA    ;PUNTADEADOR PARA TRASLACION DE BITS

```

```

DEQ BAND
LDA 002
STA INDICA
LDA 004
STA INDFIN

BAND: LECTURA ACUM.COL ;LEE ULTIMA COLUMNA
      LECTURA BUFF.COL ; " PENULTIMA COLUMNA

TIRA          ;QUITA 7 BITS DE BUFFER

ROTA         ;PASA UN BIT DE BUFFER A ACUM

INC ACARREO  ;ACTUALIZA INDICADOR DE ACARREOS

LDA CARGO
JSR SUBCAR
LDA CARGO
JSR SUBCAR      ;ASEGURA QUE EL BUFFER DE LA IMPRESORA ESTE
                ;VACIO

LDA CARESC
JSR SUBCAR
LDA CARGO
JSR SUBCAR      ;PONE EN MODO DE GRAFICACION

LOOP: CARACTER RENGLON ;OBTIENE CARACTER A IMPRIMIR
      LDA IMP        ;CARACTER A ACUMULADOR
      JSR SUBCAR     ;A RUTINA DE IMPRESION

LDA ESCALA
EQ NOTAF      ;NO DUPLICA EN ESCALA UNITARIA

LDA IMP
JSR SUBCAR    ;IMPRIME NUEVAMENTE EL CARACTER

NOBUF: INC RENGLON ;ACTUALIZA NO. DE RENGLON
      LDA 000      ;PREGUNTA SI TERMINO EL RENGLON DE IMPRESION
      CMP RENGLON

EQO SIGUE    ;CONTINUA SI TERMINA CON RENGLONES
      JMP LOOP     ;CONTINUA CON EL SIGUIENTE RENGLON

SIGUE: LDA COL
      CMP 000    ;PREGUNTA SI LEYO LA ULTIMA COLUMNA

BNI FINAL    ;CONTINUA SI NO HA CONCLUIDO
      JMP CONT

FINAL: LDA CARDIA ;TERMINA LINEA DE GRAFICA
      JSR SUBCAR  ;IMPRIME CINCO LINEAS RESTANTES
      FII

LDA CARMEN
JSR SUBCAR    ;SALE DE MODO DE GRAFICACION

```



```

LDA #00          ;INICIALIZA RENGLON Y ACARREO
STA RENGLON     ;ANTES DE REGRESAR A PASCAL
STA ACARREO

LDA #27         ;INICIALIZA COLUMNA ANTES DEL
STA COL        ;REGRESO A PASCAL

LDA #05        ;INICIALIZA INDICADOR PARA TRASLACION
STA INDICA
LDA #02        ;INICIALIZA INDICADOR PARA ULTIMAS LINEAS
STA INDEFIN

PONE RETORNO   ;DIRECCION DE RETORNO A PASCAL

RTS            ;REGRESA A PASCAL

CONT: LDA CARDA ;TERMINA LINEA DE GRAFICA
      JSR SUBCAR

      ROTAS    ;TIRA LOS 3 INS DE ACUM
      LDA ESCALA ;TIRA OTROS 3 SI LA ESCALA ES UNITARIA
      (EO CONT)
      JMP CONT2

CONT1: ROTAS

CONT2: LDA #00   ;ACTUALIZA NO. DE RENGLON
      STA RENGLON

      JMP LOOP   ;CONTINUA CON IMPRESION

```

¡ZONA DE DECLARACION DE VARIABLES Y CONSTANTES

```

ACUM:  .EQU 000,0   ;ARREGLO PARA GUARDAR LOS 3 PUNTOS QUE SIGUEN A
                ;IMPRIMIR
IUFF:   .EQU 000,0   ;ARREGLO PARA LA LECTURA DE PUNTOS

ELOCHE .WORD 2000,2080,2160,2180,2200,2200,2000,2000,2020,20A0,2120
        .WORD 21A0,2220,22A0,2320,23A0,2050,2000,2150,2100,2250,22D0
        .WORD 2350,2300; DIRECCIONES DE LOS BLOQUES DE RENGLONES.
                ; (3 RENGLONES/BLOQUE)

INDICE: .WORD 0400,0000,1410,1C10
                ;OFFSET PARA RENGLONES EN CADA BLOQUE
RENGLON: .BYTE 000 ;INDICE PARA RENGLON CORRIENTE
COL:     .BYTE 27  ;INDICE PARA COLUMNAS
ACARREO: .BYTE 00  ;CONTADOR DE ACARREOS

ESCALA: .WORD 0001 ;ESCALA A IMPRIMI
                ;FOR DEFAULT LA ESCALA ES 1
INDICA:  .BYTE 05  ;INDICADOR PARA EL TRASLADO DE BITS
INDEFIN: .BYTE 02  ;INDICADOR PARA ULTIMAS LINEAS

IMP:     .BYTE 00  ;CARACTER A IMPRIMIR

INDEFIN: .BYTE 000 ;MASCARA PARA LEVANTAR LOS 2 INS

```

```

CARESC: .BYTE 01B ;CARACTER ESC
CARG:   .BYTE 047 ;" "
CARDIA: .BYTE 02F ;CAMBIO DE LINEA EN MODO DE GRAFICACION
CARMEN: .BYTE 02D ;TERMINACION DE MODO DE GRAFICACION
CARCP:  .BYTE 00D ;REGRESO DE CARRO
CARLF:  .BYTE 00A ;ALIMENTACION DE LINEA

TEMP1:  .BYTE 000 ;AUXILIAR PARA GUARDADO TEMPORAL
TEMP2:  .BYTE 000 ;IDEM
TEMP3:  .BYTE 000 ;IDEM
TEMP4:  .BYTE 000 ;IDEM

```

¡FIN DE LA ZONA DE CONSTANTES

¡FIN DE LA SUBROUTINA

.END

ANEXO C

ACOPLAMIENTOS PARA LAS PRUEBAS EN MOTORES DE PASOS

Para las pruebas de motores de pasos se utilizaron cuatro acoplamientos especialmente contruidos para el efecto: un tacómetro digital, un reloj para generar los tiempos de conmutación, un codificador para detector de posición y un emulador para este último. Además se utilizaron un detector de posición y un acoplador de potencia para motores de pasos comerciales. Este anexo describe los acoplamientos especiales y proporciona los datos más importantes de los comerciales.

TACOMETRO DIGITAL

INTRODUCCION

Las pruebas del comportamiento dinámico de motores de pasos exigen mediciones de posición y velocidad angulares. Estas mediciones se pueden realizar tanto digital como analógicamente.

Para las primeras se deben obtener, a partir de potenciómetros, tacogenerador y temporizadores, señales que se conectan directamente a un graficador X-Y. La principal limitación de esta alternativa estriba en que el graficador responde inadecuadamente cuando se presentan eventos muy rápidos o de carácter altamente oscilatorio.

Las mediciones digitales requieren usar detectores de posición y relojes. Basan su funcionamiento en el muestreo de los eventos a medir. Si se quiere eliminar la limitación de las mediciones analógicas, la frecuencia de muestreo debe variar según la naturaleza de los fenómenos que se quiere medir.

En el caso específico de los motores de pasos, el comportamiento de la velocidad es altamente oscilatorio, lo que hace recomendable efectuar digitalmente las mediciones de velocidad.

Con este propósito se diseñó y construyó un tacómetro digital controlado directamente como un acoplamiento de la microcomputadora Apple II. A continuación se describe el funcionamiento del mismo.

TEORIA DE FUNCIONAMIENTO

Las mediciones discretas de velocidad requieren conocer los incrementos de desplazamiento ocurridos en incrementos de tiempo. Esto se puede realizar de dos formas:

- i) Dado un intervalo de tiempo constante, se determina el

desplazamiento que ocurre en él.

ii) La inversa.

En el caso de mediciones controladas por computadora, la resolución de los relojes digitales que estas pueden manejar es normalmente mayor que la de los detectores de posición (1 MHz vs. 1×10^3 eventos por ciclo). Esto significa que las mediciones de velocidad son más precisas si se utiliza la segunda alternativa de medición.

Para resolver el problema de las frecuencias de muestreo mencionado en la introducción, se eligen intervalos de desplazamiento D_s que van desde fracciones de un paso del motor, hasta un centenar o millar de ellos. Es posible con esta elección medir tanto fenómenos oscilatorios, como el comportamiento promedio de la velocidad.

Al detectar la posición en los motores de pasos se pueden presentar oscilaciones en la posición. Para eliminar su efecto se requiere que los detectores de posición sean insensibles a dichas oscilaciones, o bien, que sean capaces de detectarlas totalmente. En el tacómetro digital que se describe se optó por conectar los detectores de posición a contadores hacia arriba y hacia abajo (CAA) que permiten medir el número absoluto de desplazamientos en una dirección, y con ellos son insensibles a las oscilaciones.

La velocidad se mide haciendo funcionar medidores de tiempo en forma paralela a los detectores de posición. Estos medidores funcionan mientras no ha transcurrido el desplazamiento D_s prefijado.

Resumiendo lo anterior, el funcionamiento del tacómetro digital es como sigue:

i) Se establece el intervalo de desplazamiento D_s que se desea medir.

ii) Se alimenta este valor a los CAA y se toma como convención que movimientos en la dirección deseada deben decrecer el valor de dichos contadores.

iii) Se conectan simultáneamente las señales que alimentan a los CAA y a los relojes que miden el tiempo.

iv) Cuando el valor de los CAA llega a cero se paran los relojes.

v) La velocidad se obtiene como el cociente entre el D_s elegido y el incremento de tiempo D_t medido al parar los relojes.

vi) Se repiten los pasos (ii) a (v) tantas veces como sea necesario.

Según los desarrollos teóricos de los métodos de control de los motores de pasos, es previsible que en ocasiones ocurran movimientos en la dirección contraria a la deseada, lo que produciría que el valor de los CAA nunca se anulase. Este problema se resolvió colocando dos sistemas iguales al decrito. En uno de ellos el valor de los CAA decrece con la señal de detección de posición, mientras que en el otro crece para la misma condición de movimiento. De esta forma, aún cuando la dirección de movimiento sea diferente a la prevista uno de los dos CAA parará el reloj cuando ocurra el D_s prefijado.

DESCRIPCCION DEL SISTEMA

Los componentes del tacómetro digital son:

- i) Los CAA.
- ii) Los relojes.
- iii) Los dispositivos de control y entrefaz con la computadora.

Contadores hacia abajo y hacia arriba (CAA)

Los CAA son dispositivos diseñados para modificar el valor contenido en ellos cada vez que reciben un pulso eléctrico. Si este pulso se recibe por la terminal de cuenta hacia arriba, el valor del CAA se incrementa. Lo contrario sucede cuando el pulso se recibe por la terminal de cuenta hacia abajo.

Los CAA tienen además señales para indicar cuenta máxima y cuenta mínima, respectivamente. Con esta última señal se controla el arranque y paro de los relojes que miden el tiempo.

Otra característica importante de los CAA, es que el valor que contienen puede ser prefijado a uno conocido. De esta forma, si se prefijan con el número de evnetos equivalente al D_s deseado, y se presenta una señal de

cuenta mínima, el desplazamiento ha ocurrido.

Relojes

Los relojes empleados son contadores hacia abajo cuyo valor decrece una unidad cada vez que ocurre un ciclo de un reloj alimentador, en este caso se utiliza el reloj interno de la Apple II que opera a 1 MHz. aproximadamente, por lo que las mediciones tienen una precisión máxima de +/- 1 microsegundo.

El valor contenido en los contadores de los relojes también se puede prefijar. Esto permite conocer el tiempo D_t transcurrido para el D_s como la diferencia entre el valor inicialmente prefijado y el que se lee cuando el reloj se detiene por acción de la señal de cuenta mínima de los CAA.

Dispositivos de control e interfase con la computadora

Estos dispositivos son: memorias de un bit, alimentadores de tres estados y decodificadores. Su función es la de permitir que la microcomputadora Apple II pueda realizar las siguientes tareas:
a) modificar el estado de los CAA; b) arrancar y parar los relojes; c) identificar el CAA que produjo la señal de cuenta mínima.

OPERACION

El tacómetro digital se diseñó como un periférico de la Apple II, por lo que su operación ocurre a través de instrucciones ordenadas por el microprocesador 6502.

La Apple II cuenta con 7 ranuras para colocar periféricos. El tacómetro se puede colocar en cualquiera de ellas que esté libre, aunque se recomienda utilizar la cuarta si se quieren emplear directamente los programas desarrollados para probar el funcionamiento del tacómetro digital. La dirección base que corresponde a cada ranura es:

\$ CO (8+N) 0

donde N=número de ranura.

Cada ranura tiene asociadas 16 localidades contadas a partir de la dirección base, que se alcanzan mediante la combinación de las líneas A0 a A3 del microprocesador. Se cuenta además con una señal de habilitación del periférico (DS) que indica que la dirección contenida en el procesador corresponde a alguna de las 16 mencionadas. El uso apropiado de esta última señal permite inhibir el acceso al tacómetro cuando no se hace referencia explícita a él, e impide modificaciones indeseadas en su funcionamiento.

De las señales disponibles en la ranura se usan las siguientes:

- A0 a A3 - líneas de dirección menos significativas.
- D0 a D7 - bus de datos.
- DS - selección de ranura.
- RS - restablecimiento.
- R/W - lectura o escritura.
- IRQ - petición de atención por interrupción.
- 0 - señal de sincronía del procesador.

A continuación se explica la forma de acceso a los distintos dispositivos del tacómetro digital, tomando como base las líneas A0 a A3 y R/W.

Contadores de tiempo

Los contadores de tiempo se basan en el circuito integrado INTEL 8253. Existe uno de ellos acoplado a cada conjunto de CAA y se denominarán 8253-1 y 8253-2, respectivamente.

Para acceder al 8253-1 se debe tener:

R/W	A3	A2	A1	A0
X	0	0	X	X

X=0,1; indistintamente

y para el 8253-2 se debe tener:

R/W	A3	A2	A1	A0
X	0	1	X	X

X=0,1; indistintamente

Para cada 8253 se pueden realizar operaciones que tienen por objeto escribir o leer los tres contadores con que cuenta el 8253, así como programar los modos de funcionamiento. La operación específica que se realiza depende de los valores de A0, A1 y R/W, según se muestra a continuación:

R/W	A1	A0	OPERACION
0	0	0	carga contador 0
0	0	1	carga contador 1
0	1	0	carga contador 2
0	1	1	modo de funcionamiento
1	0	0	lee contador 0
1	0	1	lee contador 1
1	1	0	lee contador 2
1	1	1	ninguna-sin uso

De las operaciones anteriores, la de modo de funcionamiento es la más importante. Cuando se accesa a la dirección asociada a esta operación el bus de datos se traslada al registro de control de los relojes. El significado de cada uno de los ocho bits de este registro se basa en la

siguiente definición:

D7	D6	D5	D4	D3	D2	D1	D0
SC1	SC0	RL1	RL0	M2	M1	M0	BCD

Donde SC1 y SC0 son los bits de selección de contador e indican cual de los contadores será programado según el valor del resto de los bits (D0 a D5), su valor se interpreta de acuerdo con la siguiente tabla:

SC1	SC0	EFEECTO
0	0	selecciona contador 0
0	1	selecciona contador 1
1	0	selecciona contador 2
1	1	NO VALIDO

RL1 y RL0 son los bits que indican operaciones de cargado y lectura en los contadores, según se muestra a continuación:

RL1	RL0	EFEECTO
0	0	lectura instantánea sin paro
0	1	carga o lee sólo el BMS
1	0	carga o lee sólo el BPS
1	1	carga lo lee secuencia BPS-BMS

BMS-byte más
significativo

BPS-byte menos
significativo

M2, M1 y M0 seleccionan el modo de operación como sigue:

M2	M1	M0	MODO DE OPERACION
0	0	0	modo 0
0	0	1	modo 1
X	1	0	modo 2
X	1	1	modo 3
1	0	0	modo 4
1	0	1	modo 5

De estos modos se seleccionó el modo 2 para los contadores 0 y 1. Este modo permite el funcionamiento repetitivo de ambos contadores. El contador 2 no se emplea, por lo que está disponible para otra aplicación.

El último bit BCD señala el formato de los caracteres para contar:

BCD	FORMATO DE CUENTA
0	cuenta en binario
1	cuenta BCD

Cargado y lectura de los contadores

Estas operaciones se deben realizar siempre después de una operación de selección de modo de funcionamiento. El número de bytes que se lee o escribe debe coincidir con lo indicado con los bits RLO y RLI.

Caben tres aclaraciones importantes:

- 1) Cuando se utiliza la opción RLO=RLI=0 el valor del contador en cuestión se traslada a un registro temporal de donde puede ser leído después en forma normal.

ii) Es posible dar más de un comando de modo de funcionamiento en forma consecutiva, es decir, sin que medien operaciones de lectura y escritura. Se debe dar después las órdenes de lectura y escritura que se señalaron en dichos modos, sin embargo debe existir total correspondencia entre el número de estas órdenes y la secuencia de modos de funcionamiento programada.

iii) Los relojes requieren un ciclo completo del reloj de alimentación para precargar los valores de los contadores a un valor que corresponda a la orden de escritura. Esto significa que en señales de sincronía para los relojes relativamente lentas se debe tomar en cuenta dicho ciclo. Además para arreglos en cascada de dos contadores, la restricción anterior impone limitaciones pues para cargar el último contador de la cascada se deben diseñar rutinas especiales para el efecto.

Contadores hacia arriba y hacia abajo (CAA)

Estos contadores se construyeron con tres circuitos integrados 74LS193 en cascada, lo que permite contar hasta 4095 eventos. Existe un contador acoplado a cada 8253. Las señales de alimentación de los CAA provienen de los detectores de posición, previa etapa de codificación. Bajo la misma convención que el caso anterior se ha denominado a los dos conjuntos de 74LS193, CAA-1 y CAA-2.

Las operaciones en los CAA sirven para prefijar su valor, como sólo se pueden realizar operaciones de escritura, R/W=0 en todos los casos.

Para acceder al CAA-1 se debe tener:

R/W	A3	A2	A1	A0
0	1	0	0	X

además si:

X=0 ;se tiene acceso a los 8 bits menos significativos del CAA1 (D0 a D7).

X=1 ;se tiene acceso a los 4 bits más significativos del CAA-2 (D8-D11).

Para acceder al CAA-2 se debe tener:

R/W	A3	A2	A1	A0
0	1	1	0	X

donde X se interpreta igual que para el CAA-1.

Para un funcionamiento correcto de los CAA se deben emplear pulsos de cuenta con lógica invertida, es decir, con un nivel normalmente alto. Cuando ocurre un nivel bajo en ambas entradas los CAA cuentan de forma errática, por lo que deben evitarse pulsos simultáneos en las terminales de cuenta arriba y cuenta abajo de ellos.

Identificadores de fuente de señal mínima

Este dispositivo produce la señal IRQ al microprocesador cuando alguno de los CAA llega a su valor mínimo y permite verificar cual de ellos fue el que produjo dicha señal. Se implantaron con base en los circuitos integrados 74LS74 y 74LS125. El primero se compone de dos biestables tipo D, a los que se denomina 74-1 y 74-2. El último se compone de cuatro acopladores inversores con salida de tres estados, y se le denominó 125. Sólo se permiten operaciones de escritura en los 74 y de lectura en el 125.

Los 74-1 y 2 usan las señales de cuenta mínima de ambos CAA como reloj de cambio de estado. La salida de cada uno se conecta a la terminal de arranque y paro de un 8253 y a la entrada de una compuerta del 125. La entrada D a los 74 tiene un nivel normalmente alto, para cumplir con los requerimientos de la señal de paro del 8253. El señal invertida necesaria para el IRQ se consigue a través de la inversión del 125. Además se usan las señales de borrado y prefijado del 74 para arrancar y parar los relojes en cualquier momento.

Cuando el microprocesador detecta la señal IRQ la secuencia que siempre

se debe seguir es: lectura del 125 y escritura sobre los 74.

El acceso al 125 se consigue cuando se tiene:

R/W	A3	A2	A1	A0
1	1	0	0	0

en estas condiciones se trasladan los valores de las salidas Q de los 74-1 y 74-2 a D0 y D1, respectivamente. Estos últimos bits se deben analizar de la siguiente forma:

D1	D0	SIGNIFICADO
1	1	no hay señal de cuenta mínima
1	0	cuenta mínima en el CAA-1
0	1	cuenta mínima en el CAA-2
0	0	cuenta mínima en ambos CAA

Para lograr el acceso al 74-1 se debe escribir sobre cualquiera de las localidades que siguen:

R/W	A3	A2	A1	A0
0	1	X	1	0

si A2=0 la escritura de cualquier dato coloca la salida del biestable 74-1 quede en estado lógico alto; si A2=1 la escritura produce el efecto contrario en el biestable.

El acceso al 74-2 se consigue si:

R/W	A3	A2	A1	A0
1	1	X	1	1

el efecto de la escritura es igual que en el 74-1.

La siguiente tabla resume el papel de las señales de control.

DS	R/W	A3	A2	A1	A0	DISPOSITIVO ACCESADO
0	X	0	0	X	X	8253-1
0	X	0	1	X	X	8253-2
0	0	1	0	0	0	CAA-1 (BPS)
0	0	1	0	0	1	CAA-1 (BMS)
0	0	1	0	1	0	74-1 (precarga)
0	0	1	0	1	1	74-2 (precarga)
0	0	1	1	0	0	CAA-2 (BPS)
0	0	1	1	0	1	CAA-2 (BMS)
0	0	1	1	1	0	74-1 (borrado)
0	0	1	1	1	1	74-2 (borrado)
0	1	1	0	0	0	125

A continuación se muestran los diagramas lógico y de disposición de componentes del tacómetro digital.

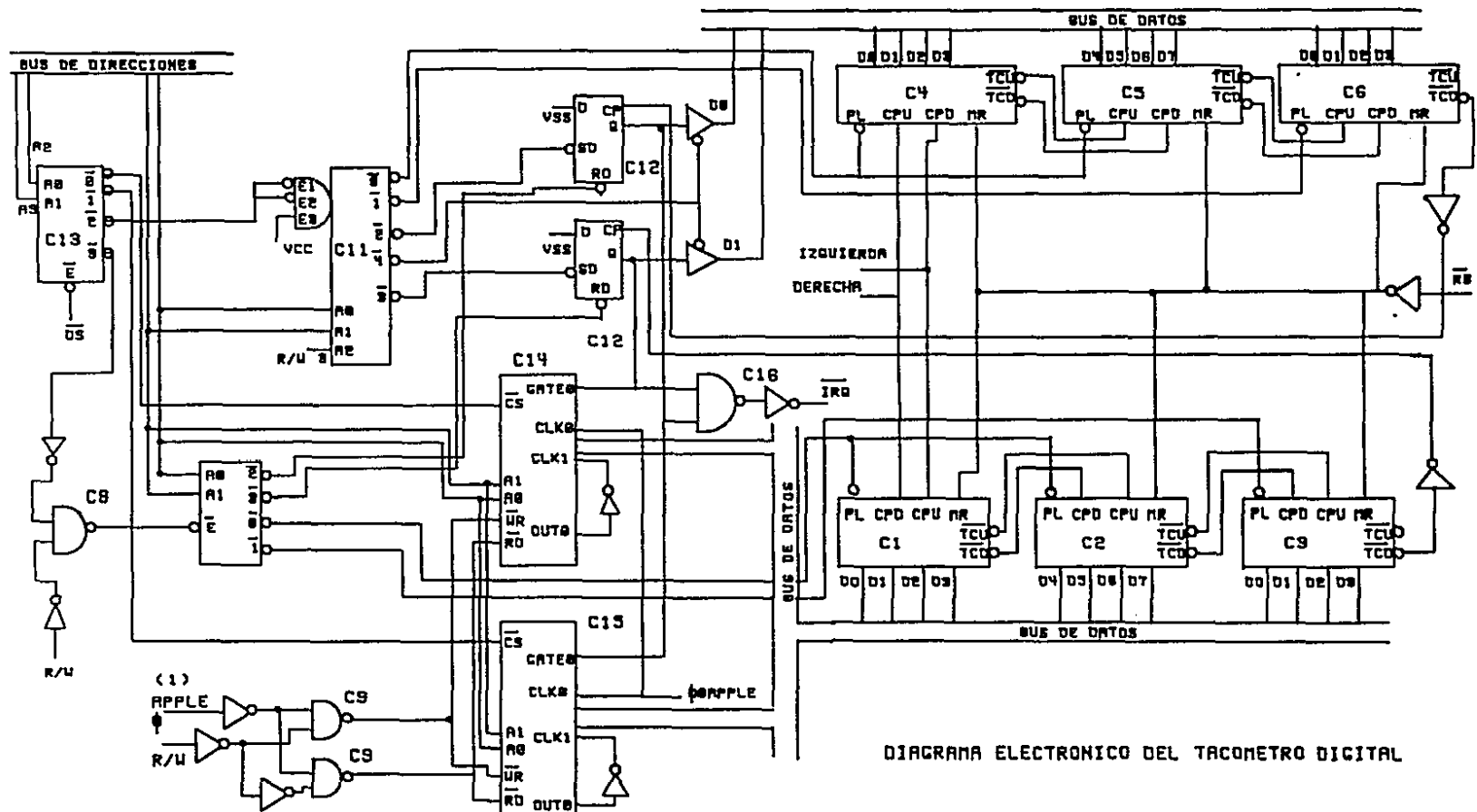
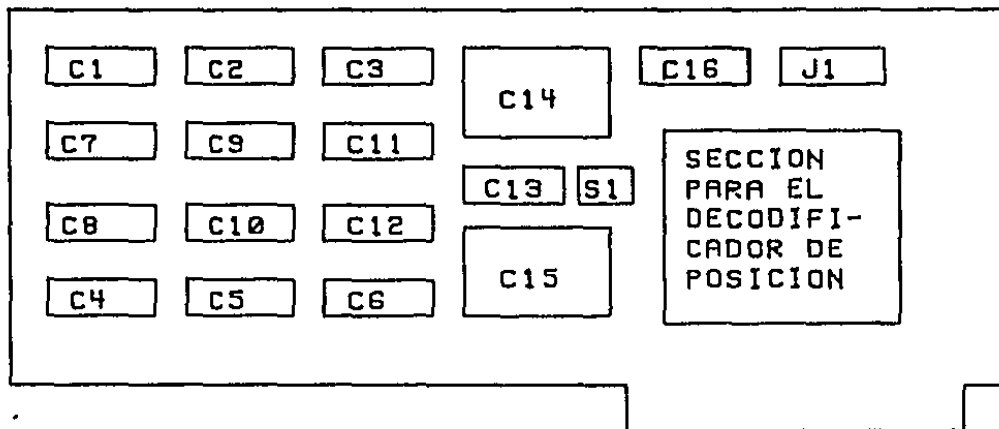


DIAGRAMA ELECTRONICO DEL TACOMETRO DIGITAL



C1 A C6: 74LS193
 C7 Y C8: 74LS04
 C9: 74LS00
 C10: 74LS125
 C11: 74LS198
 C12: 74LS74
 C13: 74LS139
 C14 Y C15: 18253
 C16: 74LS05
 S1: MICROINTERRUPTOR
 J1: CONECTOR AL DETECTOR
 DE POSICION

 ORIENTACION DE
 LOS CIRCUITOS

DIAGRAMA DE DISPOSICION DE COMPONENTES
 DEL TACOMETRO DIGITAL

RELOJ

DESCRIPCION GENERAL

El reloj que se emplea para enviar los pulsos a los motores, según la tabla de tiempos de conmutación, se basa en el circuito integrado MC-6840 de Motorola. Este dispositivo consta de tres contadores de 16 bits. Para la aplicación que se describe se colocaron dos de ellos en cascada. El primero genera a partir del reloj de la Apple II, una señal de 10, 100, 1,000 y 10,000 microsegundos de periodo. El segundo produce una señal de interrupción cuando se agota un valor prefijado en el contador. De esta forma la combinación de ambos contadores permite generar los pulsos con una precisión que es proporcional al tiempo entre pulsos.

El circuito se colocó en otra de las ranuras de la Apple II, y se ocuparon las ocho primeras localidades de memoria asignadas a ella. A continuación se describe el papel de cada una de las localidades según los valores de A0, A1, A2 y R/W:

R/W	A2	A1	A0	OPERACION
0	0	0	0	escribe registros control 1 y 3 (*)
0	0	0	1	escribe registro control 2
0	0	1	0	escribe BMS reloj 1
0	0	1	1	escribe BPS reloj 1
0	1	0	0	escribe BMS reloj 2
0	1	0	1	escribe BPS reloj 2
0	1	1	0	escribe BMS reloj 3
0	1	1	1	escribe BPS reloj 3

(*) el registro de control sobre el cual se escribe depende del bit cero del registro de control 2 (ver tabla más adelante)

R/W	A2	A1	A0	OPERACION
1	0	0	0	NINGUNA
1	0	0	1	lee registro de estado
1	0	1	0	lee BMS reloj 1
1	0	1	1	lee BPS reloj 1
1	1	0	0	lee BMS reloj 2
1	1	0	1	lee BPS reloj 2
1	1	1	0	lee BMS reloj 3
1	1	1	1	lee BPS reloj 3

REGISTROS DE CONTROL DE LOS RELOJES

Los relojes se manejan a través de un registro de control de 8 bits. Se llamará CRI-J al j-ésimo bit del i-ésimo registro de control. La interpretación de estos bits es como sigue.

CR1-0	BIT DE RESET INTERNO
0	arranca todos los relojes
1	para todos los relojes

CR2-0	APUNTADOR A CR1 Y CR3
0	apunta a CR3
1	apunta a CR1

CR3-0	BIT DE PREESCALAMIENTO
0	reloj 3 no preescalado
1	reloj 3 preescalado por 8

CRX-1	FUENTE DE TIEMPO PARA LOS RELOJES
0	reloj externo (señal en CX)
1	reloj de la Apple II

CRX-2	MODO DE CUENTA
0	palabra de 16 bits (simétrica)
1	dos palabras de 8 bits (asimétrica)

CRX-6	CONTROL DE INTERRUPCIONES
0	no produce interrupciones
1	produce interrupción (contador nulo)

CRX-7	CONTROL DE SALIDA
0	inhibe salida OX de reloj X
1	permite salida OX de reloj X

Los bits CR3 a CR5 se interpretan según la siguiente tabla

CRX-3	CRX-4	CRX-5	MODO DE OPERACION
0	X	0	continuo
0	X	1	disparo simple
1	0	X	comparación de frecuencia
1	1	X	comparación ancho de pulso

REGISTRO DE ESTADO

El MC-6840 está dotado con un registro de estado (RE) de ocho bits, de los cuales sólo se pueden interpretar cuatro: RS-0, RS-1, RS-2 y RS-7. Su significado es el siguiente:

RS-I	BIT INTERRUPCION RELOJ I
0	no interrupción reloj I
1	interrupción reloj I

I=1,2,3

RS-7	BIT INTERRUPCION GENRAL
0	ningún reloj interrupme
1	algún reloj interrumpe

Cuando los relojes producen una señal IRQ al microprocesador, este puede eliminarla de las siguientes formas:

- con una señal de restablecimiento (reset)
- con CR1-0=1
- por lectura de un contador de un reloj
- por escritura a un alimentador de un reloj (sólo RS-0 a RS-2)
- por inicialización de contadores (sólo RS-0 a RS-2)

INICIALIZACION DE LOS CONTADORES DE LOS RELOJES

Se deben escribir los dos bytes en las localidades indicadas en la tablas anteriores. La secuencia siempre debe ser: primero los bits más significativos y después los menos.

La señal de restablecimiento del sistema (reset) pone los contadores en máxima cuenta, mientras que el reset interno (CR1-0=1) no los altera.

Los relojes se cargan con el valor de sus alimentadores cuando:

- se borra la bandera individual de interrupción RS-0 a RS-2)
- se presenta un reset externo o interno
- cuando el valor de contador vale cero y hay transición negativa del reloj de cuenta.

A continuación se proporciona el diagrama de conexiones para el reloj.

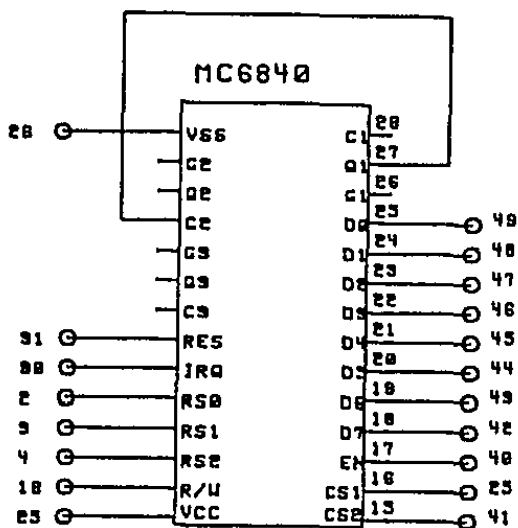


DIAGRAMA DE
CONEXIONES
DEL RELOJ

—○ AL CONECTOR EN
LAS RANURAS DE
LA APPLE II

DETECTOR DE POSICION

El detector de posición que se utilizó para las pruebas de los motores de pasos es el modelo HEDS-5000 producido por Hewlett Packard. Las características más importantes de este detector son:

- Detecta posición relativa.
- Dos canales de salida (defasados 90 grados uno respecto al otro).
- 500 ciclos por revolución.
- Alimentación TTL compatible (0-5 volts).
- Salidas LSTTL compatibles (0-5 volts, bajo consumo).

El detector se colocó en una base especial, sobre una flecha construida para el efecto. Esta última se acopló al motor a través de una flecha desmontable, sobre la que se coloca la inercia que debe mover el motor, que como ya se ha mencionado puede variar de un experimento a otro.

Información adicional sobre el detector se puede consultar en el catálogo del fabricante.

El detector de posición se conecta a través de un conector para cable plano estándar de 10 alfileres. La disposición de los mismos se muestra a continuación.

2	1
4	3
6	5
8	7
10	9

- 1 - Canal A
- 2 - 5 volts
- 3 - 0 volts
- 4 - s/c
- 5 - s/c
- 6 - 0 volts
- 7 - 5 volts
- 8 - Canal B
- 9 - 5 volts
- 10 - s/c

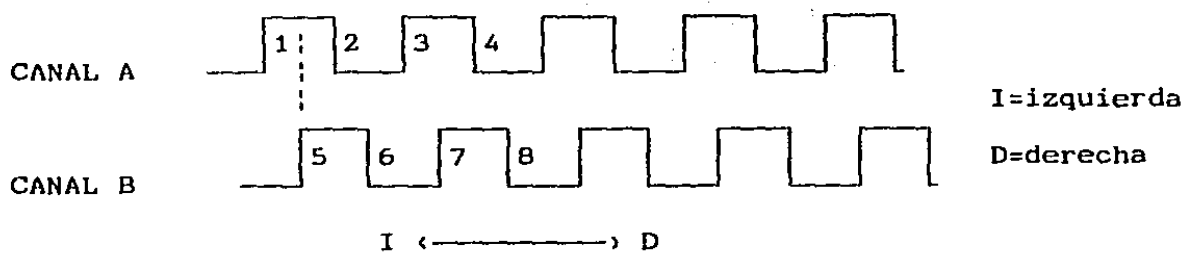
CONECTOR DEL
HEDS-5000

s/c = sin conexión

CODIFICADOR DE POSICION

La salida del detector de posición se debe codificar para convertir las señales de entrada de los dos canales, en otro par de señales que indiquen ahora movimiento asociados con cada una de las direcciones de giro angular, respectivamente.

La forma de las señales de salida del detector de posición se muestra a continuación:



en estas señales se pueden detectar ocho transiciones de estado independientes. Cuatro de ellas corresponden al análisis de las transiciones del canal B, considerando fijo el canal A, el resto a la consideración inversa. Las transiciones que se pueden codificar según se muestra en la siguientes tablas:

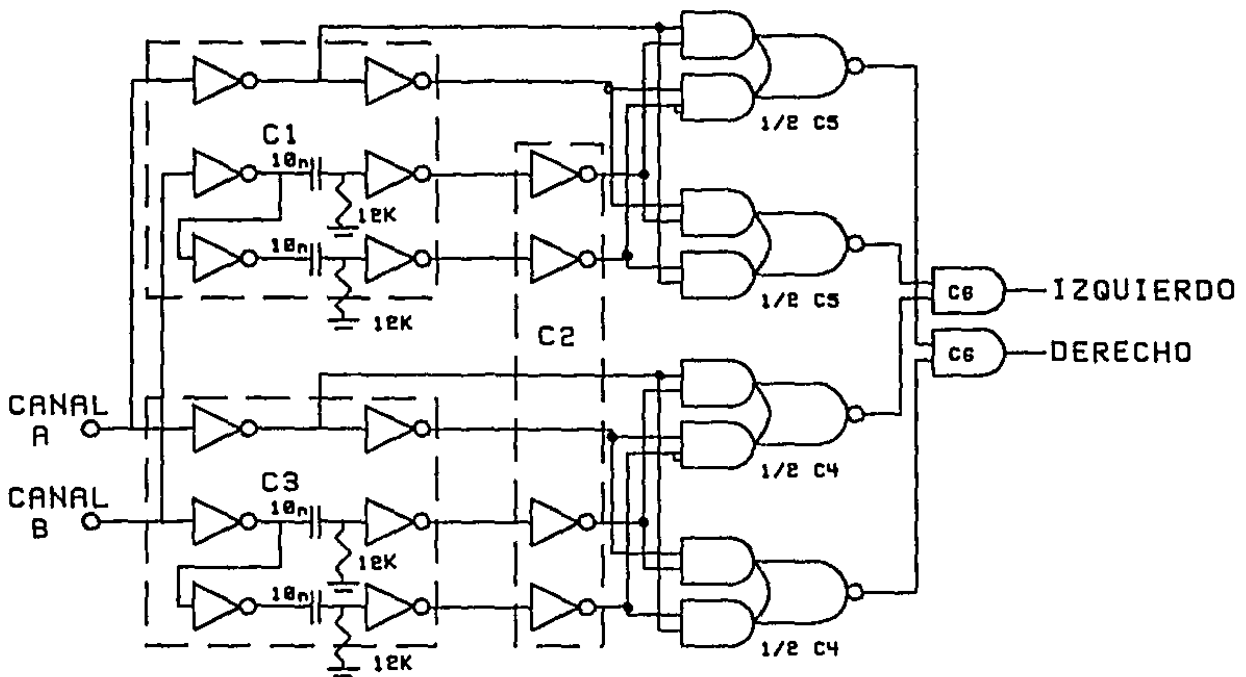
		CANAL A(fijo)	
		0	1
CANAL B	0→1	D	I
	1→0	I	D

(transición)

		CANAL B(fijo)	
		0	1
CANAL A	0→1	I	D
	1→0	D	I

(transición)

El codificador anterior se implantó a través del circuito que se muestra a continuación. En él se distinguen dos porciones simétrica; cada una corresponde a la implantación de una de las tablas que se mostraron arriba. Cada sección consta de compuertas inversoras con banda de histéresis (schmitt trigger) y de compuertas lógicas Y e O negadas. Las señales de ambas secciones se mezclan a través de dos compuertas Y.



C1 A C3: MC14584
 C4 Y C5: 74LS51
 C6: 74LS08

DIAGRAMA ELECTRONICO DEL DECODIFICADOR

El diagrama de disposición del codificador se muestra a continuación. Físicamente el codificador se colocó en la misma tarjeta que el tacómetro digital.

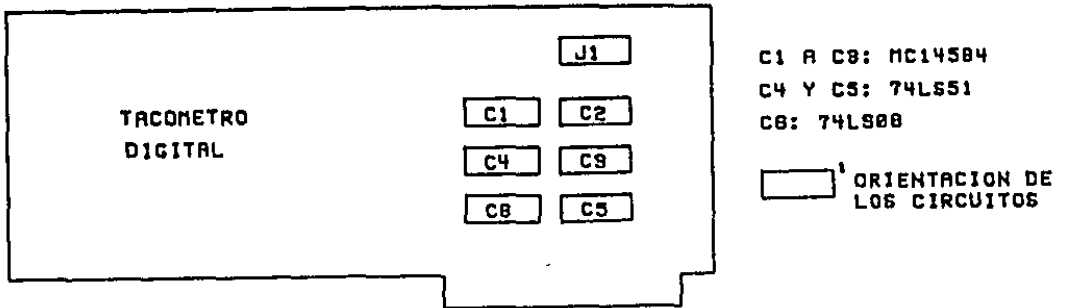


DIAGRAMA DE DISPOSICION DE COMPONENTES DEL DECODIFICADOR DE POSICION

El codificador se conecta al detector de posición por medio de un cable plano, que tiene por un extremo un conector compatible con el del HEDS-5000, y por el otro un conector tipo base de circuito integrado de dieciséis alfileres en dos hileras (DIP 16). La disposición de las señales en este conector se muestra a continuación.

5 volts	-	1		16	-	canal A
s/c	-	2		15	-	0 volts
0 volts	-	3		14	-	s/c
canal B	-	4		13	-	5 volts
s/c	-	5		12	-	5 volts
s/c	-	6		11	-	s/c
s/c	-	7		10	-	s/c
s/c	-	8		9	-	s/c

CONECTOR DEL TACOMETRO DIGITAL

s/c = sin conexión

La conexión entre el tacómetro digital y el codificador de posición se realizó a través de cuatro interruptores de un polo un tiro. La intención de estos interruptores es la de desconectar la sección de codificación del tacómetro digital, para permitir el empleo de este último en experimentos en que la señal se obtenga de otra forma.

La disposición de estos interruptores se muestra a continuación:

ENTRADA		SALIDA	
izquierdo	1	cuenta arriba	tacómetro 1
derecho	2	cuenta abajo	tacómetro 2
derecho	3	cuenta abajo	tacómetro 2
izquierdo	4	cuenta arriba	tacómetro 2

INTERRUPTORES DE
ACOPLAMIENTO EL
CODIFICADOR DE
POSICION Y EL
TACOMETRO DIGITAL

Cuando se quiere eliminar el efecto del codificador, se debe abrir los cuatro interruptores mencionados. Se debe conectar la nueva señal que se desea medir en el mismo conector que acopla al detector con el codificador de posición, según la distribución que se muestra a continuación

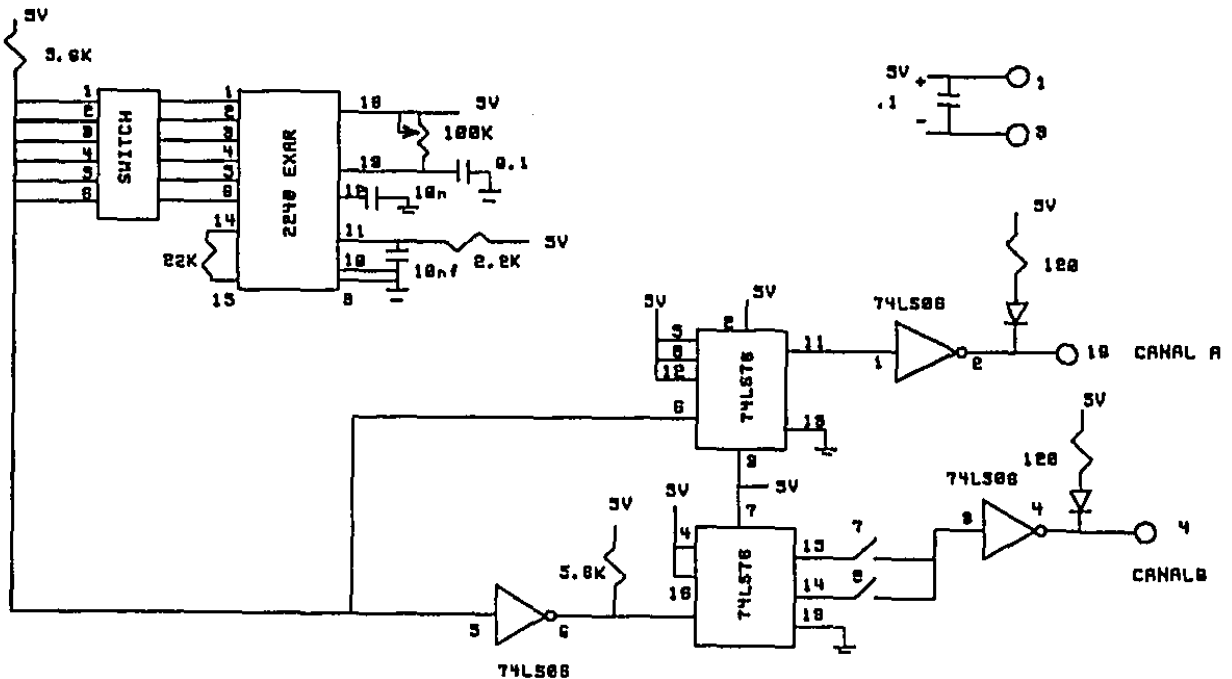
	1	16	
	2	15	
	3	14	
	4	13	
	5	12	
tacómetro 1, cuenta arriba	6	11	tacómetro 2, cuenta abajo
tacómetro 1, cuenta abajo	7	10	tacómetro 2, cuenta arriba
	8	9	

EMULADOR DEL DETECTOR DE POSICION

Con el fin de facilitar las pruebas del tacómetro digital y del codificador de posición, se construyó un emulador del funcionamiento del detector de posición.

Este emulador se construyó con base en un oscilador EXAR-2240 alimentado por un circuito RC. Este circuito actúa como un divisor de frecuencias, con seis salidas que corresponden a divisiones binarias de la frecuencia básica de alimentación. Se colocó un juego de ocho interruptores (DIP SWITCH-8). Seis de ellos permiten seleccionar una de las frecuencias de división, mientras que los otros dos sirven para simular el efecto de cambio de dirección. Se colocaron además dos biestables para filtrar las salidas del divisor.

El diagrama del emulador se muestra a continuación. Las conexiones al codificador de posición se realizan de la misma forma que con el detector real.



EMULADOR DEL DETECTOR DE POSICION

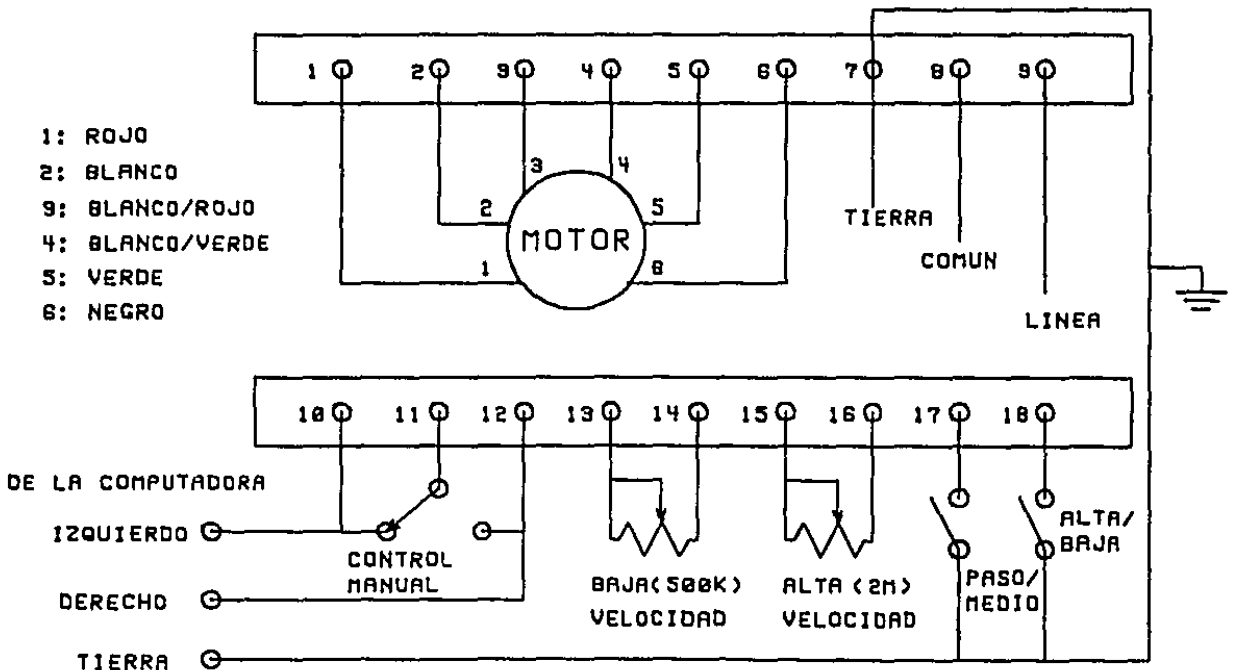
ACOPLAMIENTO DE POTENCIA PARA EL MOTOR DE PASOS

El acoplamiento de potencia que se empleó para manejar el motor de pasos bajo prueba es el modelo TBM105 que produce The Superior Electric Company.

Sus características más importantes son:

- Tipo voltaje dual
- Señales de alimentación TTL compatibles, lógica invertida.
- Velocidad máxima de operación 5000 pasos/segundo (pasos completos)
10000 pasos/segundo (medios pasos)
- Corriente de salida por fase 5 amperes.

Las conexiones básicas se muestran a continuación.



ANEXO D

DATOS DE LOS EXPERIMENTOS

A continuación se muestran los datos para los experimentos que se mostraron en el capítulo 9. Se incluyen los parámetros y las constantes de las condiciones deseadas de movimiento para el motor y se presentan tabulados para facilitar su interpretación.

TABLA DE PARAMETROS PARA LOS EXPERIMENTOS CON MOTORES DE PASOS

VARIABLE	UNIDAD	EXPERIMENTO No.				
		1	2	3	4	5
No. Fases		4	4	4	4	4
Resolución	Rad.	0.0314159	0.0314159	0.0314159	0.0314159	0.0314159
Par máx. disponible	KDina cm	17675	17675	17675	17675	17675
Pérdida de par(1)	KDina cm s	168	81	81	81	81
Relación de reducción		1	1	1	1	1
Tolerancia (2)	Rad.	0.00314159	0.00314159	0.00314159	0.00314159	0.00314159
Constante posición (3)		2000	2000	2000	4000	4000
Constante velocidad (3)		200	400	400	300	300
Fricción seca	KDina cm	0	0	0	0	0
Fricción viscosa	KDina cm s	636	0	0	0	0
Radio inercia disco	cm	4.3	4.3	4.3	4.3	4.3
Masa inercia disco	Kg	0.355	0.355	0.355	0.355	0.355
Longitud brazo	cm	0	0	0	0	0
Masa del brazo	Kg	0	0	0	0	0
Radio masa concentrada	cm	0	0	0	0	0
Masa concentrada	Kg	0	0	0	0	0
Impresión (4)		5	5	5	5	5
Condiciones deseadas (5)		8	8	8	8	8
Conmutación (6)		7	7	7	7	7
Incremento tiempo (7)	s	0.0001	0.00005	0.00001	0.00004	0.00004
Incremento inercia	%	0	0	0	0	0

(1) Según acoplamiento de potencia usado

(2) Para detectar el cruce por cero en curvas par-posición

(3) Para el algoritmo de control

(4) No. de periodos de simulación para impresión de resultados

(5) No. d periodos de simulación para cálculo de condiciones deseadas

(6) No. de periodos de simulación para recalcular par requerido

(7) Periodo para la simulación

VARIABLE	UNIDAD	6	7.1	7.2	7.3	7.4
No. Fases		4	4	4	4	4
Resolución	Rad.	0.0314159	0.0314159	0.0314159	0.0314159	0.0314159
Par máx. disponible	KDina cm	17675	17675	17675	17675	17675
Pérdida de par(1)	KDina cm s	81	81	81	81	81
Relación de reducción		1	1	1	1	1
Tolerancia (2)	Rad.	0.00314159	0.00314159	0.00314159	0.00314159	0.00314159
Constante posición (3)		4000	4000	2000	2000	2000
Constante velocidad (3)		1800	1800	400	400	400
Fricción seca	KDina cm	0	0	0	0	0
Fricción viscosa	KDina cm s	0	0	0	0	0
Radio inercia disco	cm	4.3	4.3	4.3	4.3	4.3
Masa inercia disco	Kg	0.355	0.648	0.648	0.648	0.648
Longitud brazo	cm	0	0	0	0	0
Masa del brazo	Kg	0	0	0	0	0
Radio masa concentrada	cm	0	0	0	0	0
Masa concentrada	Kg	0	0	0	0	0
Impresión (4)		5	5	5	5	5
Condiciones deseadas (5)		8	8	8	8	8
Conmutación (6)		7	7	7	7	7
Incremento tiempo (7)	s	0.00003	0.00003	0.00003	0.00003	0.00003
Incremento inercia	%	0	0	16	31	-14

VARIABLE	UNIDAD	7.5	8
No. Fases		4	4
Resolución	Rad.	0.0314159	0.0314159
Par máx. disponible	KDina cm	17675	
Pérdida de par(1)	KDina cm s	81	
Relación de reducción		1	
Tolerancia (2)	Rad.	0.00314159	
Constante posición (3)		2000	
Constante velocidad (3)		400	
Fricción seca	KDina cm	0	
Fricción viscosa	KDina cm s	0	
Radio inercia disco	cm	4.3	
Masa inercia disco	Kg	0.648	
Longitud brazo	cm	0	
Masa del brazo	Kg	0	
Radio masa concentrada	cm	0	
Masa concentrada	Kg	0	
Impresión (4)		5	
Condiciones deseadas (5)		8	
Conmutación (6)		7	
Incremento tiempo (7)	s	0.00003	
Incremento inercia	%	-29	